



This is a digital copy of a book that was preserved for generations on library shelves before it was carefully scanned by Google as part of a project to make the world's books discoverable online.

It has survived long enough for the copyright to expire and the book to enter the public domain. A public domain book is one that was never subject to copyright or whose legal copyright term has expired. Whether a book is in the public domain may vary country to country. Public domain books are our gateways to the past, representing a wealth of history, culture and knowledge that's often difficult to discover.

Marks, notations and other marginalia present in the original volume will appear in this file - a reminder of this book's long journey from the publisher to a library and finally to you.

Usage guidelines

Google is proud to partner with libraries to digitize public domain materials and make them widely accessible. Public domain books belong to the public and we are merely their custodians. Nevertheless, this work is expensive, so in order to keep providing this resource, we have taken steps to prevent abuse by commercial parties, including placing technical restrictions on automated querying.

We also ask that you:

- + *Make non-commercial use of the files* We designed Google Book Search for use by individuals, and we request that you use these files for personal, non-commercial purposes.
- + *Refrain from automated querying* Do not send automated queries of any sort to Google's system: If you are conducting research on machine translation, optical character recognition or other areas where access to a large amount of text is helpful, please contact us. We encourage the use of public domain materials for these purposes and may be able to help.
- + *Maintain attribution* The Google "watermark" you see on each file is essential for informing people about this project and helping them find additional materials through Google Book Search. Please do not remove it.
- + *Keep it legal* Whatever your use, remember that you are responsible for ensuring that what you are doing is legal. Do not assume that just because we believe a book is in the public domain for users in the United States, that the work is also in the public domain for users in other countries. Whether a book is still in copyright varies from country to country, and we can't offer guidance on whether any specific use of any specific book is allowed. Please do not assume that a book's appearance in Google Book Search means it can be used in any manner anywhere in the world. Copyright infringement liability can be quite severe.

About Google Book Search

Google's mission is to organize the world's information and to make it universally accessible and useful. Google Book Search helps readers discover the world's books while helping authors and publishers reach new audiences. You can search through the full text of this book on the web at <http://books.google.com/>



A propos de ce livre

Ceci est une copie numérique d'un ouvrage conservé depuis des générations dans les rayonnages d'une bibliothèque avant d'être numérisé avec précaution par Google dans le cadre d'un projet visant à permettre aux internautes de découvrir l'ensemble du patrimoine littéraire mondial en ligne.

Ce livre étant relativement ancien, il n'est plus protégé par la loi sur les droits d'auteur et appartient à présent au domaine public. L'expression "appartenir au domaine public" signifie que le livre en question n'a jamais été soumis aux droits d'auteur ou que ses droits légaux sont arrivés à expiration. Les conditions requises pour qu'un livre tombe dans le domaine public peuvent varier d'un pays à l'autre. Les livres libres de droit sont autant de liens avec le passé. Ils sont les témoins de la richesse de notre histoire, de notre patrimoine culturel et de la connaissance humaine et sont trop souvent difficilement accessibles au public.

Les notes de bas de page et autres annotations en marge du texte présentes dans le volume original sont reprises dans ce fichier, comme un souvenir du long chemin parcouru par l'ouvrage depuis la maison d'édition en passant par la bibliothèque pour finalement se retrouver entre vos mains.

Consignes d'utilisation

Google est fier de travailler en partenariat avec des bibliothèques à la numérisation des ouvrages appartenant au domaine public et de les rendre ainsi accessibles à tous. Ces livres sont en effet la propriété de tous et de toutes et nous sommes tout simplement les gardiens de ce patrimoine. Il s'agit toutefois d'un projet coûteux. Par conséquent et en vue de poursuivre la diffusion de ces ressources inépuisables, nous avons pris les dispositions nécessaires afin de prévenir les éventuels abus auxquels pourraient se livrer des sites marchands tiers, notamment en instaurant des contraintes techniques relatives aux requêtes automatisées.

Nous vous demandons également de:

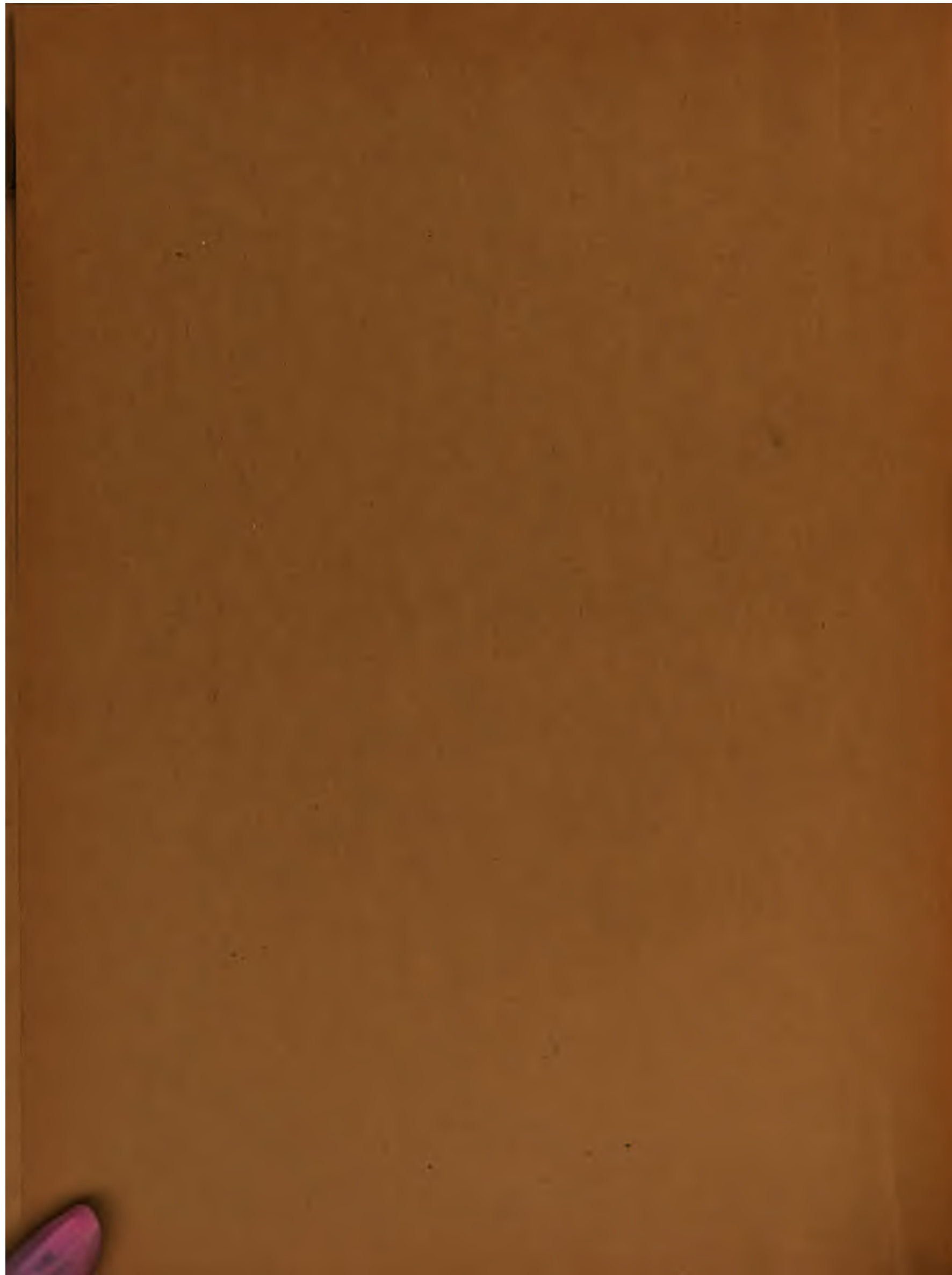
- + *Ne pas utiliser les fichiers à des fins commerciales* Nous avons conçu le programme Google Recherche de Livres à l'usage des particuliers. Nous vous demandons donc d'utiliser uniquement ces fichiers à des fins personnelles. Ils ne sauraient en effet être employés dans un quelconque but commercial.
- + *Ne pas procéder à des requêtes automatisées* N'envoyez aucune requête automatisée quelle qu'elle soit au système Google. Si vous effectuez des recherches concernant les logiciels de traduction, la reconnaissance optique de caractères ou tout autre domaine nécessitant de disposer d'importantes quantités de texte, n'hésitez pas à nous contacter. Nous encourageons pour la réalisation de ce type de travaux l'utilisation des ouvrages et documents appartenant au domaine public et serions heureux de vous être utile.
- + *Ne pas supprimer l'attribution* Le filigrane Google contenu dans chaque fichier est indispensable pour informer les internautes de notre projet et leur permettre d'accéder à davantage de documents par l'intermédiaire du Programme Google Recherche de Livres. Ne le supprimez en aucun cas.
- + *Rester dans la légalité* Quelle que soit l'utilisation que vous comptez faire des fichiers, n'oubliez pas qu'il est de votre responsabilité de veiller à respecter la loi. Si un ouvrage appartient au domaine public américain, n'en déduisez pas pour autant qu'il en va de même dans les autres pays. La durée légale des droits d'auteur d'un livre varie d'un pays à l'autre. Nous ne sommes donc pas en mesure de répertorier les ouvrages dont l'utilisation est autorisée et ceux dont elle ne l'est pas. Ne croyez pas que le simple fait d'afficher un livre sur Google Recherche de Livres signifie que celui-ci peut être utilisé de quelque façon que ce soit dans le monde entier. La condamnation à laquelle vous vous exposeriez en cas de violation des droits d'auteur peut être sévère.

À propos du service Google Recherche de Livres

En favorisant la recherche et l'accès à un nombre croissant de livres disponibles dans de nombreuses langues, dont le français, Google souhaite contribuer à promouvoir la diversité culturelle grâce à Google Recherche de Livres. En effet, le Programme Google Recherche de Livres permet aux internautes de découvrir le patrimoine littéraire mondial, tout en aidant les auteurs et les éditeurs à élargir leur public. Vous pouvez effectuer des recherches en ligne dans le texte intégral de cet ouvrage à l'adresse <http://books.google.com>

Library
of the
University of Wisconsin





GRANDES VOÛTES

GRANDES VOÛTES

PAR

Paul SÉJOURNÉ

INGÉNIEUR EN CHEF DES PONTS ET CHAUSSÉES
INGÉNIEUR EN CHEF DU SERVICE DE LA CONSTRUCTION
DE LA COMPAGNIE PARIS-LYON-MÉDITERRANÉE
PROFESSEUR A L'ÉCOLE NATIONALE DES PONTS ET CHAUSSÉES

TOME IV

2^{ME} PARTIE — VOÛTES ARTICULÉES

BOURGES

IMPRIMERIE V^{VE} TARDY-PIGELET ET FILS
15, RUE JOYEUSE, 15

—
1913

**Tous droits de reproduction, de traduction et d'adaptation
réservés pour tous pays.**

Copyright by Paul Séjourné — 1913.

303390

APR 27 1926

SPK
SE4
4

6281709

AVERTISSEMENT¹

DIVISIONS DE L'OUVRAGE

CLASSEMENT DES PONTS EN SÉRIES ET DANS CHAQUE SÉRIE PAR DATE

TABLEAUX SYNOPTIQUES — MONOGRAPHIES

SUITE, DANS CHAQUE MONOGRAPHIE,

DE FIGURES, PLANCHES. PHOTOGRAPHIES, RENVOIS, SOURCES.

DÉSIGNATION ABRÉGÉE DES MATÉRIAUX

UNITÉS AUXQUELLES ON RAPPORTE LES QUANTITÉS ET DÉPENSES

1. Divisions de l'ouvrage. — Cet ouvrage est ainsi divisé :

1^{re} Partie : Voûtes inarticulées². — Ce sont les voûtes ordinaires, ainsi qualifiées par opposition aux voûtes articulées.

2^e Partie : Voûtes articulées.

3^e Partie : Ce que l'expérience enseigne de commun à toutes les voûtes.

Appendice : Pratique des voûtes. — Instructions pour projeter et construire. — Ouvrages courants, Viaducs..... — Répertoires. — Tables numériques.....

Dans les 1^{re} et 2^e Parties, sont décrits les ponts qui ont — ou qui avaient — des voûtes de 40^m et plus de portée.

2. Classement des Ponts en séries. — J'ai classé par intrados les voûtes inarticulées, par type d'articulation les voûtes articulées.

Ce classement sera détaillé et justifié plus loin.

3. Classement dans chaque série par date d'exécution. — Dans chaque série, les ouvrages sont classés par date. On voit ainsi ce qui, dans un pont, est emprunté à un plus ancien.

4. Tableaux synoptiques. — Monographies. — Les dispositions comparables des ouvrages d'une série sont rapprochées dans des tableaux synoptiques : ainsi groupées elles instruisent.

1. — donné en tête des Tomes I, II, III.

2. — On les a quelquefois dites « encastrées » : à proprement parler, elles ne le sont pas. En histoire naturelle, ce qui n'a pas d'articulation est justement qualifié « inarticulé ».

Viennent ensuite les monographies de chaque ouvrage : on y trouvera ce qui lui est spécial, description, histoire, dessins, photographies.

Pour tous les ponts, on a donné une élévation à la même échelle, 2^{mm}, de l'arche ou des arches de 40^m et plus.

Autant qu'on l'a pu, en restant clair, on n'a donné qu'une seule fois chaque indication, soit dans les tableaux synoptiques, soit dans la monographie, soit dans les dessins.

5. Suite, dans chaque monographie, de figures, planches, photographies, renvois, sources. — Chaque ouvrage a sa suite :

de figures : f, f_1, \dots ;

de planches : Pl, Pl_1, \dots ;

de photographies : Φ, Φ_1, \dots ;

de renvois au bas des pages : $^1, ^2, \dots$;

de sources : S, S_1, \dots indiquées à la fin de chaque monographie, quelquefois subdivisées : S', S'', \dots .

6. Désignation abrégée des matériaux aux tableaux synoptiques et aux dessins.

Béton				B	
Moellons ordinaires		employés en blocage sans préparation spéciale		MO	
		choisis (c'est-à-dire avec sujétion)	employés en parement	à joints incertains	MOI
			grossièrement disposés par assises horizontales.		MOH
			employés en voûte	méplats, lités, prolongeant, soit chaque lit de douelle, soit un lit sur 2, sur 3.	
Moellons à face rectangulaire, les 4 arêtes dans un même plan	Moellons équarris ⁴	»		ME	
		taillés en voussoirs, lits pleins prolongeant exactement ceux de douelle. Joints et face de queue en partie pleins.		MEV	
	Moellons d'appareil ⁵	Dimensions imposées	»		MA
			taillés en voussoirs, lits et joints pleins.		MAV
Libages		Pierre de taille de grand appareil grossièrement équarrie.		L	
Pierre de taille		Blocs appareillés sur les 6 faces. Toutes les dimensions imposées.		PT	
Briques				Br	

3. — On peut ainsi contrôler et apprécier les renseignements donnés.

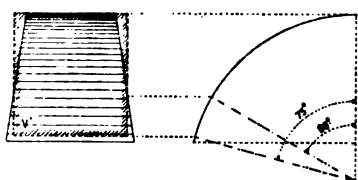
4. — Synonyme : Moellons têtus.

5. — Synonyme : Moellons smillés.

7. Unités adoptées pour comparer les quantités et dépenses.

A. — *Cintres*. — Dans la colonne 14 des Tableaux synoptiques, on a rapporté le cube de bois, le poids de fer et la dépense, au mètre carré de douelle d'une voûte V' à tympans verticaux, exigeant le même cintre.

La largeur uniforme de V' est celle de la voûte considérée :



au joint à 60° de la verticale pour les pleins cintres, les ellipses et les arcs de plus de 120° ;
aux naissances, pour les arcs de moins de 120° ;
c'est-à-dire, pour toutes les voûtes, au joint à partir duquel les voussoirs cessent de pouvoir être soutenus en faisant simplement déborder les couchis.

Comme il convient que les vaux se prolongent jusqu'à l'angle de 75°, on a pris pour surface de douelle celle de la voûte théorique V' :

à partir des angles de 75° pour les ellipses, pleins cintres, arcs de cercle de plus de 150° ;
à partir des naissances pour les arcs de cercle surbaissés de moins de 150°.

B. — *Ouvrage*. — La surface offerte à la circulation, S_p est le produit :

$$S_p = \left(\begin{array}{c} \text{Longueur totale entre les abouts} \\ \text{des parapets donnée colonne 2} \end{array} \right) \times \left(\begin{array}{c} \text{Largeur disponible entre parapets} \\ \text{donnée colonne 3} \end{array} \right)$$

S_p mesure l'utilité de l'ouvrage.

Soit S_e la surface vue d'élévation entre la voie portée, les murs en aile ou quarts de cône et le terrain naturel ;

Je considère le volume $W = S_e \times (\text{Largeur disponible entre parapets})$.

C'est le volume d'un mur plein ayant même surface d'élévation vue et même largeur utile que l'ouvrage. — Convenons de l'appeler le volume « utile ».

Soient Q et D le cube de maçonnerie de l'ouvrage et sa dépense.

Q : S_p est le cube de maçonnerie à mortier par m. q. de surface horizontale utile. C'est l'épaisseur d'une dalle en maçonnerie de même cube que l'ouvrage et qui aurait même longueur et même largeur utile.

Q : W est le cube de maçonnerie à mortier, par m. c. de volume « utile ».

D : S_p est le prix du m. q. de surface offerte à la circulation.

D : W est le prix du m. c. de volume « utile ».

Toutes ces quantités sont données à la colonne 18 des Tableaux synoptiques.

Quand les fondations sont très au-dessus de la vallée, on a donné de plus les rapports

Q : W', D : W'.

W' = (S_e , Surface d'élévation au-dessus des fondations) \times (Largeur disponible entre parapets).

W' est le volume « utile » au-dessus des fondations.

2^e PARTIE

VOÛTES ARTICULÉES

LIVRE I

POURQUOI ET COMMENT
ON A ARTICULÉ DES VOÛTES

LIVRE II

DESCRIPTION DES PONTS
QUI ONT OU AVAIENT DES VOÛTES ARTICULÉES
DE 40^m ET PLUS DE PORTÉE

LIVRE III

CE QUE L'EXPÉRIENCE ENSEIGNE
DE SPÉCIAL AUX VOÛTES ARTICULÉES

INTRODUCTION

A L'ÉTUDE DES VOÛTES ARTICULÉES

En 1870, Dupuit proposa, le premier, d'articuler les voûtes.

De cette idée française, on a en France peu ou mal parlé : on ne l'y applique point. Mais, en Allemagne, on l'a fort bien accueillie : depuis quelque 30 ans, on y articule des voûtes.

Dans les voûtes articulées, on est sûr des efforts : on y peut faire plus et mieux travailler les matériaux.

Plus souples, elles se prêtent, sans fissures, à des mouvements qui troublent les autres. Il convient vraiment d'articuler les voûtes dont les appuis peuvent reculer, s'enfoncer inégalement.

On construit de plus en plus en béton : à peine de fissures graves, il est prudent d'articuler aussi les grandes voûtes plates en béton.

Il faut donc étudier les voûtes articulées : elles le méritent.

Au livre I, on indique pourquoi et comment on a articulé des voûtes ; au livre II, on décrit les grandes voûtes articulées ; au livre III, on conclut.

LIVRE I

**POURQUOI ET COMMENT
ON A ARTICULÉ DES VOÛTES**

TYPES D'ARTICULATIONS

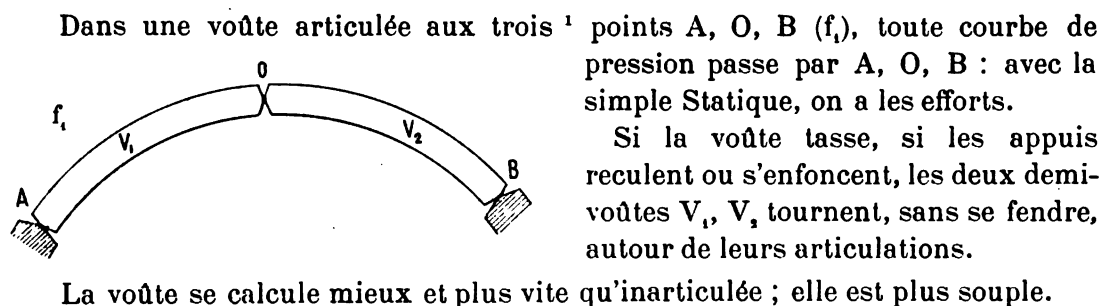
PRINCIPES. — FORMULES. — EXPÉRIENCES

HISTORIQUE

CLASSEMENT DES VOÛTES ARTICULÉES

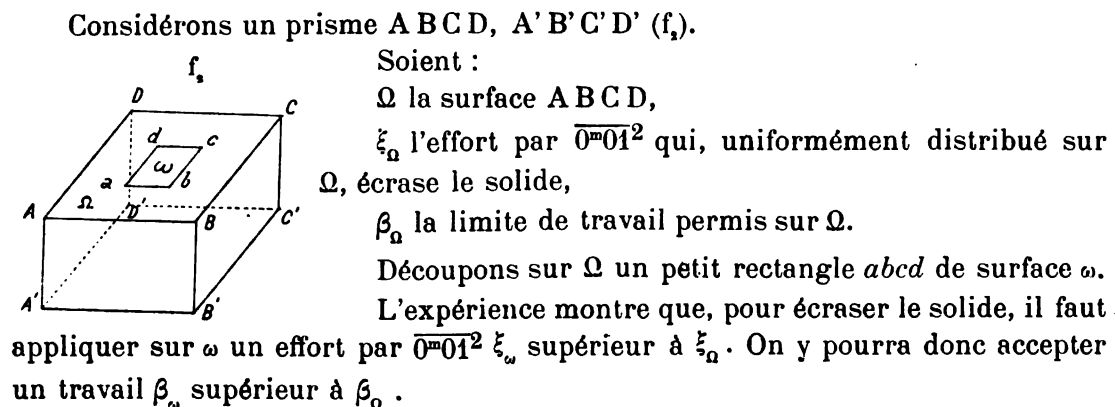
TITRE I

POURQUOI ON A ARTICULÉ DES VOÛTES



TITRE II

PROPRIÉTÉ DE LA MATIÈRE QUI PERMET LES ARTICULATIONS



1. — Les voûtes en maçonnerie, articulées, ont toujours trois articulations.
Quelques voûtes, mais en béton armé, en ont :
deux (Ludwigsbrücke sur la Schwabach, à Erlangen, portée entre rotules, 23-30, surbaissement 1/11) ;
une (Pont de Payerbach sur le Schwarzafluss, portée 26", flèche 1-80).

C. Kersten. — « Brücken in Eisenbeton » Teil II : « Bogenbrücken ». — Berlin 1910, pages 153, 159.

L'expérience ^{2,3} n'a pas dégagé de relation nette entre $\frac{\xi_{\omega}}{\xi_{\Omega}}$ et $\frac{\omega}{\Omega}$.

TITRE III

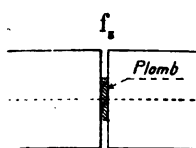
COMMENT ON A ARTICULÉ LES VOÛTES : QUATRE TYPES D'ARTICULATIONS

CHAPITRE I

ARTICULATIONS SUR PLOMB

§ 1. — PRINCIPE

Des bandes de plomb occupent la partie centrale des joints de clef et de retombées (f_1).



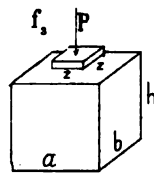
§ 2. — PROPRIÉTÉS DU PLOMB

Sous une charge croissante, le plomb, à partir d'une certaine limite, coule, s'étale, mais sans perdre sa cohésion. Son épaisseur diminue, sa section aug-

2. — Expériences de M. Durand-Claye sur des cubes de 10^m pressés par une plaque carrée, en pierres s'écrasant : les unes à 84^k, les autres à 576^k.

Annales des Ponts et Chaussées, 1887, - août - p. 230, M. Flamant.

Expériences de M. Bauschinger sur des cubes d'un grès s'écrasant à 685^k/0^m01², pressés par une plaque carrée d'acier de côté z variable (f_2).

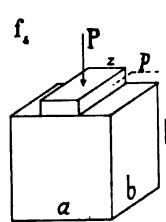
	Dimensions des blocs (en 0 ^m 01)			Côté de la plaque d'acier (en 0 ^m 01)	Effort en kg/0 ^m 01 ² sous la plaque d'acier au moment de la rupture $\xi_{\omega} = \frac{P}{z^2}$	Rapports	
	a	b	h	z		$\frac{\omega}{\Omega} = \frac{z^2}{ab}$	$\frac{\xi_{\omega}}{\xi_{\Omega}} = \frac{z^2}{685^k}$
	10 ^m	9 ^m 9	9 ^m 65	3 ^m 9	1052 ^k	0,154	1,536
	9.85	9.9	9.70	5.7	923	0,333	1,347
	10	9.85	9.70	7.8	772	0,618	1,127

« Mitteilung des mech. tech. Laboratoriums der Technischen Hochschule in München », 1876, 6^e Heft, p. 13.

Les pierres tendres et les pierres dures se comportent de façon très différente.

M. Mesnager : Cours (autographié) de Matériaux de Construction, professé à l'Ecole des Ponts et Chaussées, - 4^e Partie, p. 69.

3. — Expériences de M. Bach à Stuttgart, en 1888, sur des cubes d'un grès s'écrasant à 653^k, pressés par une bande d'acier p de largeur z variable (f_3).

	Dimensions des blocs (en 0 ^m 01)			Largeur de la bande d'acier (en 0 ^m 01)	Effort en kg/0 ^m 01 ² sous la bande d'acier au moment de la rupture $\xi_{\omega} = \frac{P}{bz}$	Rapports	
	a	b	h	z		$\frac{\omega}{\Omega} = \frac{z}{a}$	$\frac{\xi_{\omega}}{\xi_{\Omega}} = \frac{z}{653^k}$
	6 ^m 46	6 ^m 03	6 ^m 00	6 ^m 03	653 ^k	0,933	1
	10.04	9.99	9.89	2.50	926	0,249	1,418
	10.01	10.01	9.85	2.00	943	0,200	1,453
	10.02	10.03	9.82	1.50	1044	0,150	1,599
	9.99	9.95	9.84	1.00	1193	0,100	1,827
	9.96	10.02	9.84	0.50	2050	0,050	3,139

Bach. « Elastizität und Festigkeit ». Berlin chez Springer, 1889-1890, p. 49.

mente, de sorte que l'effort par $\overline{0^m01^2}$ sur la section ainsi augmentée croît peu^{4,5}.

La résistance par $\overline{0^m01^2}$ augmente quand l'épaisseur diminue^{6,7,8,9}.

On l'accroît en trempant le plomb, en lui alliant de l'antimoine⁸.

4. — Voici ce qu'a produit une charge croissant jusqu'à 930^k sur un cube de 8^m.

La hauteur a diminué de 5^m7; la base s'est étalée de 64^m à 196^m; la pression sur la base primitive s'élevant de 310^k à 930^k, la pression sur la base élargie n'a augmenté que de 239^k à 304^k.

Zeitschrift für Bauwesen, 1888, p. 235 à 260, Pl. 38, 39, 40 : « *Steinbrücken mit gelenkartigen Einlagen* », Stuttgart novembre 1887, Leibbrand, Kgl. Ober-Baurat.

5. — Sous une trop forte pression, le plomb coule continuellement.

Au Viaduc du Viar, on a soumis pendant 859 jours à une pression de 120^k deux plaques de plomb de 9^m68 d'épaisseur initiale : elles ont cédé assez régulièrement par jour de 2^m32, soit $\frac{2,4}{104}$ de leur épaisseur.

Expériences de M. Lannusse, Ingénieur des Ponts et Chaussées, 1901-1903.

6. — En plaques carrées de 10^m, le plomb mou a coulé :

avec 8^m d'épaisseur, sous 425^k par $\overline{0^m01^2}$;

avec 4^m d'épaisseur, sous 575^k.

Expériences faites à Munich. — Deutsche Bauzeitung, 1906, 21 avril, p. 219 à 222; 28 avril, p. 232 à 236; 12 mai, p. 261 à 264 : « *Die Illerbrücken bei Kempten in Allgäu* », von Regierungs Baumeister a. D. Colberg, Direktor der Firma Dyckerhoff und Widmann, p. 263.

De même, le mortier résiste en briquettes « normales » de 22^m d'épaisseur, 1 fois 1/2 à 2 fois comme en cubes; — en joints minces, 2 à 4 fois comme en cubes.

Communication faite par M. H. Tavernier, Ingénieur en Chef des Ponts et Chaussées, au Congrès des Méthodes d'essais, Paris, 9-16 juillet 1900.

7. — Aux essais faits à Munich par M. le Professeur Föppl, une bande de plomb de 10^m × 30^m × 5^m.

chargée, par $\overline{0^m01^2}$, de :	s'est comprimée, sous la charge, de :	après enlèvement de la charge, est restée comprimée de :	
280 ^k	1 ^m 2	1 ^m 09	sans couler
840 ^k	1 ^m 24	1 ^m 10	sans couler
1030 ^k	»	»	en commençant à couler
1200 ^k	»	1 ^m 5 au max.	en s'élargissant par places de 1 ^m

Beton und Eisen, 1904, p. 9 à 17, Pl. II. « *Münchner Brückenbauten* » II. « *Die Reichenbachbrücke in München* ». E. Burk.

8. — Essais faits en 1885 à Stuttgart au « Material-Prüfungs-Anstalt ».

	Charge en kg/ $\overline{0^m01^2}$, supportée		Sources
	sans déformation	en s'affaissant lentement	
Cubes de 8 ^m { Plomb fondu.....	52 ^k pendant 26 ^k sans gonflement latéral	74 ^k - Gonflement latéral	Zeitschrift des Vereines deutscher Ingenieure, 1885, p. 629.
Plomb trempé.....	258 ^k	310 ^k	
Disques de plomb fondu ou la- miné, de 16 ^m de diamètre, 15 ^m d'épaisseur.....	103 ^k	155 ^k	Fortschritte der Ingenieurwissen- schaften. « <i>Gewölbte Brücken</i> », K. von Leibbrand. Leipzig, 1897, p. 45.
Plaques carrées de 7 ^m de côté, 25 ^m d'épaisseur, à 5 0/0 d'anti- moine.....	413 ^k	517 ^k	

9. — Aux essais faits par M. Beutel, Ingénieur en chef de la Construction des Chemins de fer bavarois, à Munich, des plaques de plomb de 5^m1 × 5^m1 × 8^m :

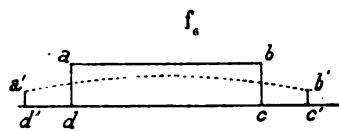
chargées par $\overline{0^m01^2}$ de : 39^k 77^k 115^k 154^k 192^k 400^k

se sont comprimées de : 0^m08 0^m16 0^m20 0^m53 0^m39 2^m44

« plus grande pression réalisée dans les ponts pour lesquels on a fait les essais.

Renseignements gracieusement adressés par M. Beutel, — juillet 1911.

§ 3. — COMMENT UNE BANDE DE PLOMB RÉALISE UNE ARTICULATION ¹⁰

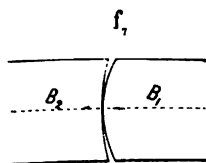


Le dessus plan, ab , des bandes de plomb, coule sous la compression ¹¹ qui s'exerce, tantôt sur a , tantôt sur b , et prend la forme $a'b'$ (f_s).

CHAPITRE II

ARTICULATIONS ROULANTES ¹²

§ 1. — PRINCIPE



Un bloc convexe B_1 roule sur un bloc concave ou plan B_2 (f_s). Ils sont, ou en acier, ou en pierre dure, ou en béton, armé ou non.

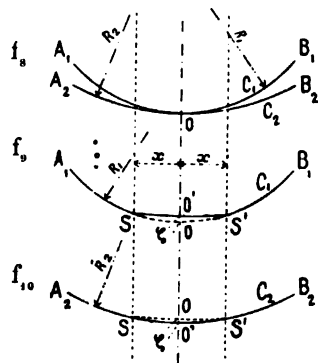
§ 2. — FORMULES THÉORIQUES DONNANT :

1° - LA LARGEUR EN $0^{\text{m}}01$ DE LA BANDE DE CONTACT ;

2° - LE TRAVAIL MAXIMUM PAR $0^{\text{m}}01^2$ AU CONTACT.

Art. 1. — Notations et unités, employées dans les formules.

Plaçons le cylindre convexe de rayon R_1 sur le cylindre concave de rayon R_2 (f_s).



S'il y a pression, le contact, d'abord réduit à l'arête O , s'élargit à $2x$ (f_s, f_{10}).

A_1OB_1 s'aplatit (f_s) et A_1OB_2 se creuse (f_{10}) suivant la courbe $SO'S'$ de flèche $OO' = \zeta$.

La compression β ($\text{kg}/0^{\text{m}}01^2$) est maxima en O , nulle en S et S' .

Moins les rayons diffèrent, plus est large la bande de contact, plus y est réduit le travail par $0^{\text{m}}01^2$, mais moins est fixé le centre de pression.

10. — On a très exceptionnellement employé, au lieu de plomb, des plaques d'asphalte : en 1886, à un pont en béton de 29^m à Erlach, (Deutsche Bauzeitung, 1906, p. 595 : Fortschritte im Bau weitgespannter massiver Brücken, Landesbaureat Leibbrand), en 1890, aux naissances des 2 voûtes en béton de 23^m au 1/5, expérimentées par la Commission des Ingénieurs et Architectes autrichiens, (Tome III - Liv. II).

11. — Les feuilles de plomb sous les appuis des tabliers métalliques se maintiennent si elles sont emprisonnées dans des feuillures. Sinon, elles s'allongent en long et en travers : on a constaté des allongements atteignant 15^m.

A l'entrée d'un train, le bord extrême rencontré le premier cède ; puis, la travée chargée prend une flèche qui comprime l'autre bord.

12. — « Walzgelenke » des Ingénieurs allemands.

Soient :

R_1, R_2 , les deux rayons en 0^m01 ;

N la pression normale en kg. par 0^m01 de longueur d'arête (pression totale en kg. divisée par la longueur en 0^m01 de l'arête) ;

$\varepsilon_1 \times 10^5, \varepsilon_2 \times 10^5$, les coefficients d'élasticité des deux solides B_1, B_2 (kg/0^m01²)

ν_1, ν_2 , les coefficients de Poisson, c'est-à-dire les rapports :

$$\frac{\text{dilatation transversale relative}^{13,14}}{\text{raccourcissement longitudinal relatif}}$$

Les formules théoriques indiquées plus loin supposent la matière homogène et isotrope : elles donnent, en fonction de $R_1, R_2, N, \varepsilon, \nu$, la largeur $2x$ (en 0^m01) de la bande de contact, et le travail maximum qui s'y produit, $\text{MAX } \beta$ (en kg/0^m01²).

Art. 2. — Formules de Hertz. — Hertz¹⁵ a, par la théorie de l'Elasticité, établi des formules qui, avec mes notations et unités, sont les suivantes :

$$\left\{ \begin{aligned} 2x &= \frac{4}{100\sqrt{10}\pi} \sqrt{\left(\frac{1-\nu_1^2}{\varepsilon_1} + \frac{1-\nu_2^2}{\varepsilon_2}\right) \frac{N}{\frac{1}{R_1} - \frac{1}{R_2}}} & (1) \\ \text{MAX } \beta &= \frac{4}{\pi} \left(\frac{N}{2x} \text{ pression moyenne}\right) = \frac{100\sqrt{10}}{\sqrt{\pi}} \sqrt{\frac{N}{\frac{1-\nu_1^2}{\varepsilon_1} + \frac{1-\nu_2^2}{\varepsilon_2}} \left(\frac{1}{R_1} - \frac{1}{R_2}\right)} & (2) \end{aligned} \right.$$

Si, (et c'est le cas général), les deux cylindres sont de même matière, $\nu_1 = \nu_2, \varepsilon_1 = \varepsilon_2$; les formules deviennent :

$$\left\{ \begin{aligned} 2x &= \frac{4\sqrt{2}}{100\sqrt{10}\pi} \sqrt{\left(\frac{1-\nu^2}{\varepsilon}\right) \frac{N}{\frac{1}{R_1} - \frac{1}{R_2}}} = \frac{\eta}{\sqrt{\varepsilon}} \sqrt{\frac{N}{\frac{1}{R_1} - \frac{1}{R_2}}} & (1') \\ \text{MAX } \beta &= \frac{4}{\pi} \left(\frac{N}{2x}\right) = \frac{100\sqrt{10}}{\sqrt{2\pi}} \sqrt{\frac{N\varepsilon}{1-\nu^2} \left(\frac{1}{R_1} - \frac{1}{R_2}\right)} = \chi \sqrt{\varepsilon} \sqrt{N \left(\frac{1}{R_1} - \frac{1}{R_2}\right)} & (2') \end{aligned} \right.$$

Pour $\nu =$	0,25	0,30	1/3
on a : $\eta =$	0,009772	0,009628	0,009515
$\chi =$	130,294	132,248	133,809

13. — Soient : b une dimension transversale, l une dimension longitudinale : on a $\nu = \frac{\Delta b}{b} \cdot \frac{\Delta l}{l}$.

14. — Pour les corps homogènes isotropes, Poisson avait indiqué la valeur théorique $\nu = \frac{1}{4}$.

L'expérience donne : entre 0 et 1/2 pour tous les corps solides ; - entre 0,26 et 0,36 pour l'acier ; - des valeurs très diverses pour la pierre.

M. Mesnager : *Cours* (autographié) de *Matériaux* professé à l'Ecole des Ponts et Chaussées, 5^e Partie : *Métaux*, - 1909, p. 26, 27.

15. — Journal für die reine und angewandte Mathematik, 1882, p. 156 à 171 « *Über die Berührung fester elastischer Körper* ». Heinrich Hertz - Janvier 1881.

16. — Soient 2 rotules de mêmes rayons R_1, R_2 , soumises au même effort N par 0^m01 de contact, ayant même μ ; le rapport des largeurs de contact sera : $\frac{2x}{2x'} = \sqrt{\frac{\varepsilon'}{\varepsilon}}$.

17. — En interprétant les formules de M. Boussinesq « *Application des potentiels à l'étude de l'équilibre et du mouvement des solides élastiques* » (1885), M. l'Ingénieur en chef Galliot et M. Rousseau ont retrouvé les formules de Hertz, mais avec :

$$\begin{aligned} \eta &= 0,00691 \text{ et } \chi = 184 & (\text{M. Galliot}). \\ \eta &= 0,00957 \text{ et } \chi = 132,98 & (\text{M. Rousseau}). \end{aligned}$$

Annales des Ponts et Chaussées, septembre 1892, p. 391 et suivantes. « *Note sur le calcul des efforts dans les corps cylindriques en contact* ». M. Galliot, Ingénieur en chef des Ponts et Chaussées.

Annales des Travaux publics de Belgique, avril 1910, n° 2, p. 181. « *Note relative au Calcul des rotules et des rouleaux de dilatation* », par E. Rousseau, Capitaine du Génie de réserve, Ingénieur aux Ateliers de construction électrique de Charleroi.

Si on accepte :

$$\eta = 0,0096 \quad \chi = 132$$

les 2 formules pratiques à appliquer sont :

$$2x \left(\begin{array}{c} \text{largeur en cm} \\ \text{de la bande de contact} \end{array} \right) = \frac{0,0096}{\sqrt{\epsilon}} \sqrt{\frac{N}{\frac{1}{R_1} - \frac{1}{R_2}}} \quad (1'')$$

$$\text{MAX } \beta \left(\begin{array}{c} \text{effort maximum en Kg/cm}^2 \\ \text{dans la bande de contact} \end{array} \right) = 1,273 \left(\frac{N}{2x} \right) = 132 \sqrt{\epsilon} \sqrt{N \left(\frac{1}{R_1} - \frac{1}{R_2} \right)} \quad (2'')$$

	Pierres							Acier		
	Béton de ciment									
Pour $\epsilon =$	1	1 1/2	2	3	4	5	6	18	20	22
$\frac{0,0096}{\sqrt{\epsilon}} =$	0,0096	0,0078	0,0068	0,0055	0,0048	0,0043	0,0039	0,00226	0,00215	0,00205
$132 \sqrt{\epsilon} =$	132	162	187	229	264	295	323	560	590	619

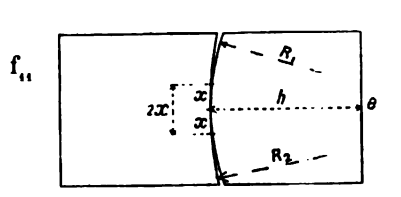
Pour $R_1 = R_2$, on aurait $2x = \infty$ et $\text{MAX } \beta = 0$. Les formules ne s'appliquent pas pour R_1, R_2 peu différents.

Pour un cylindre convexe roulant sur un plan ($R_2 = \infty$), les équations 1'', 2'' deviennent :

$$2x = \frac{0,0096}{\sqrt{\epsilon}} \sqrt{NR} \quad (1''')$$

$$\text{MAX } \beta = \frac{4}{\pi} \left(\frac{N}{2x} \right) = 1,273 \left(\frac{N}{2x} \right) = 132 \sqrt{\epsilon} \sqrt{\frac{N}{R}} \quad (2''')$$

Art. 3. — Formules de Köpcke (f_{11}).



$$\left\{ \begin{array}{l} \text{MAX } \beta = 25 \sqrt[3]{\frac{9}{10} \frac{N^2 \epsilon}{h} \left(\frac{1}{R_1} - \frac{1}{R_2} \right)} \\ 2x = \frac{3N}{2 \text{MAX } \beta} = 0,02 \sqrt[3]{\frac{30Nh}{\epsilon \left(\frac{1}{R_1} - \frac{1}{R_2} \right)}} \end{array} \right.$$

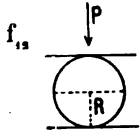
Si une des 2 surfaces est plane, $R_2 = \infty$.

$$\text{MAX } \beta = 25 \sqrt[3]{\frac{9 N^2 \epsilon}{10 R h}} \quad 2x = 0,02 \sqrt[3]{\frac{30 N R h}{\epsilon}}$$

18. — Zeitschrift des Architekten und Ingenieur Vereins zu Hannover, 1888, p. 373 à 380. « *Über die Verwendung von drei Gelenken in Steingewölben* », von Geh. Finanzrath C. Köpcke zu Dresden.

19. — Elles résultent d'une série d'hypothèses, dont quelques-unes un peu osées.

20. — Si au lieu d'un bloc d'articulation on avait un rouleau de longueur l entre 2 plaques (f_{12}), $h = R$,



$$\text{MAX } \beta = 25 \sqrt[3]{\frac{9 N^2 \epsilon}{10 R^2}}$$

D'où :

$$Nl = P = \frac{8}{3} l R \text{ MAX } \beta \sqrt{\frac{\text{MAX } \beta}{\epsilon \times 10^6}}$$

C'est la formule en usage pour calculer les rouleaux de dilatation des ponts métalliques. (M. Résal. *Ponts métalliques*, chez Baudry, 1885, Tome I, p. 91).

Art. 4. — Formules de Barkhausen ²¹ (f₁₁).

Soit :

$$c = \frac{R_1 \epsilon \times 10^5 \times e \left(1 - \frac{R_1}{R_2}\right)}{4 N h}$$

M. Barkhausen propose :

$$\frac{x}{R_1} \left[\frac{\text{MAX. } \beta}{\frac{N}{e}} - \frac{c}{3} \frac{x^2}{R_1^2} \right] = \frac{e}{2 R_1} \quad (1)$$

$$R_1 = \frac{R_2}{2} + \sqrt{\frac{R_2^2}{4} - \frac{4 N R_2 h \log. \text{nat.} \left(1 + \frac{\text{MAX. } \beta}{\frac{N}{e}}\right)}{\epsilon \times 10^5 \times e \times \left(\frac{x}{R_1}\right)^2}} \quad (2)$$

Ces formules supposent R_1 compris entre $\frac{R_2}{2}$ et R_2 : elles ne s'appliquent, ni pour R_1 très voisin de R_2 , ni pour $R_1 = \infty$ (surface convexe roulant sur un plan).

On les résout par essais ²², ²³ ; ils ne laissent pas d'être assez longs.

21. — Centralblatt der Bauverwaltung, 16 mai 1900, p. 232 : « Berechnung der in den Gelenken steinerne Brücken auftretenden grössten Pressungen », M. Schuster.

22. — Voici le calcul de x et de $\text{MAX. } \beta$ fait par M. Barkhausen * pour l'articulation de clef du Pont de Hauconcourt sur la Moselle : (Portée, 33^m ; montée, 4^m30).

$R_1 = 235^{\text{m}}$, $R_2 = 300^{\text{m}}$, $h = 61^{\text{m}}$, $e = 70^{\text{m}}$, $N = 1590^{\text{t}}$, $\epsilon = 2$, d'où $c = 1837$.

L'équation (1) est :

$$\frac{x}{R_1} \left[\frac{\text{MAX. } \beta}{\frac{1590}{70}} - \frac{1837}{3} \frac{x^2}{R_1^2} \right] = \frac{70}{2 \times 235}, \text{ d'où } \text{MAX. } \beta = \frac{1590}{70} \left[\frac{70}{2 \times 235} \frac{1}{\frac{x}{R_1}} + \frac{1837}{3} \frac{x^2}{R_1^2} \right]$$

$$\text{L'équation (2) est : } 235 = \frac{300}{2} + \sqrt{\frac{300^2}{4} - \frac{4 \times 1590 \times 300 \times 61}{2 \times 10^5 \times 70 \times \frac{x^2}{R_1^2}} \log. \text{nat.} \left(1 + \frac{\text{MAX. } \beta}{\frac{1590}{70}}\right)}$$

Essayons $\frac{x}{R_1} = 0,0316$

$$\text{MAX. } \beta = \frac{1590}{70} \left[\frac{70}{2 \times 235} \times \frac{1}{0,0316} + \frac{1837}{3} \times 0,0316^2 \right] = 121^{\text{t}}$$

$$235 = 150 + \sqrt{22500 - \frac{116,388}{14} \times \frac{1,84371}{0,0316^2}} = 234,6$$

Approximation suffisante.

Avec cette valeur de $\frac{x}{R_1}$ les formules donnent : $\text{MAX. } \beta = 121^{\text{t}}$ $2c = 14^{\text{m}}8$.

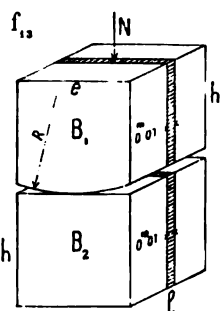
* A. Teichmann : « Zahlenbeispiel zur statischen Berechnung von massiven Dreigelenkbrücken mittelst Einflusslinien », p. 3, C. W. Kreidel's Verlag, Wiesbaden 1904.

23. — Les formules de Hertz, Barkhausen, Köpcke, donnent des résultats fort différents. Les voici pour la clef du Pont de Hauconcourt (Art. 4, renv. 22) :

Formules de	Hertz	Köpcke	Barkhausen
$2x$	8 ^m 8	23 ^m	14 ^m 8
$\text{MAX. } \beta$	229 ^t	103 ^t	121 ^t

§ 3. — EXPÉRIENCES SUR DES ARTICULATIONS EN PIERRE, EN BÉTON

Art. 1. — Expériences de M. Bach sur des blocs de granit et de grès, l'un convexe, l'autre plan (f_{11}), pour vérifier les formules de Hertz (§ 2, art. 2) :



$$2x \left(\begin{array}{c} \text{Largeur en } 0.01 \\ \text{de la bande} \\ \text{de contact} \end{array} \right) = \frac{0,0096}{\sqrt{\epsilon}} \sqrt{NR} \quad (1''')$$

$$\text{MAX } \beta \left(\begin{array}{c} \text{effort maximum} \\ \text{en Kg } 0.01^2 \text{ sur} \\ \text{l'arête de contact} \end{array} \right) = 1,273 \left(\frac{N}{2x} \right) = 132 \sqrt{\epsilon} \sqrt{\frac{N}{R}} \quad (2''')$$

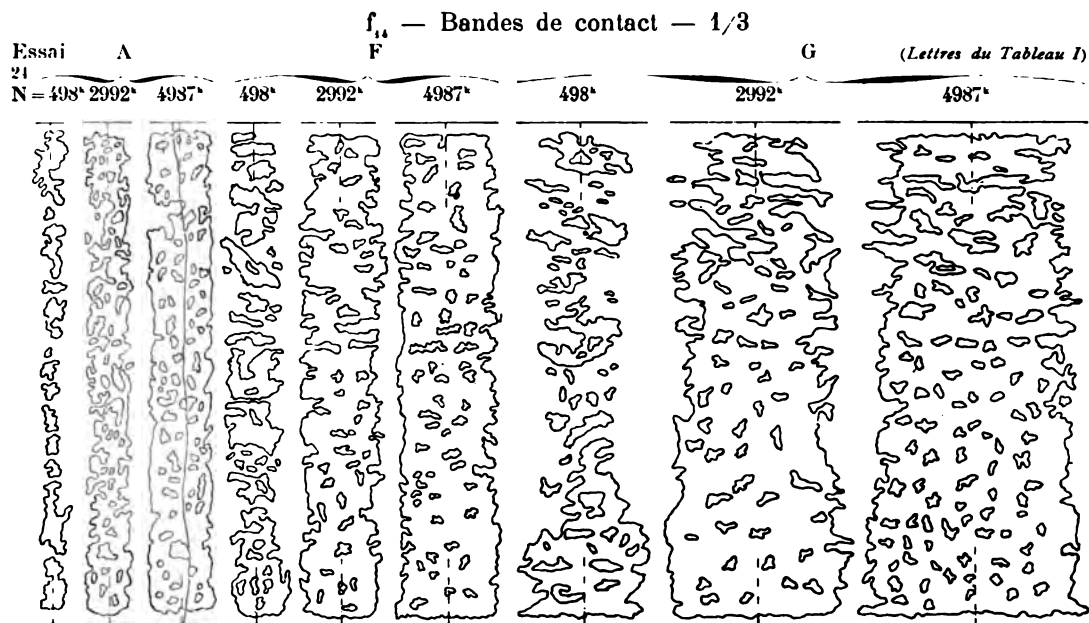
A. — *Ce qui a été observé.* — M. Bach a éprouvé : d'abord des blocs de granit à surfaces très exactement tournées et dressées²⁵ ; plus tard, du grès²⁶.

Il a relevé les empreintes du contact sous les charges N, les a planimétrées, puis, en divisant leur surface par la longueur l du contact, obtenu la largeur $2x$.

On n'a pas le moyen de mesurer $\text{MAX } \beta$: on a seulement $\frac{N}{2x}$.

Les deux surfaces, pressées l'une contre l'autre, se touchent, non suivant une bande pleine, mais d'abord par des îlots isolés, puis par des surfaces continues, mais avec des îlots non pressés (f_{11}).

Expériences sur des blocs de granit ($e = 30^{\text{cm}}$, $h = 50^{\text{cm}}$).



24. — Les notations et unités sont celles indiquées § 1, art. 1, - et répétées p. 15.

25. — Zeitschrift des Vereines deutscher Ingenieure, 1903, p. 1439 : « Versuche mit Granitquadern zu Brückengelenken », C. Bach.

26. — Id., 1904, p. 1915. « Versuche mit Sandsteinquadern zu Brückengelenken ». C. Bach.

TABLEAU I. — Largeur $2x$. — Rapports $\frac{2x}{\sqrt{N}}$, $\frac{0,0096^2 NR}{4x^2}$ [qui, d'après la formule (I'') de Hertz devrait être ϵ] ϵ * (pour le granit éprouvé) : 2,55 à 4,02 $\epsilon \times 10^5$ = Coefficient d'élasticité en Kg/cm^2

R	l	20.05 (A)				20.15 (B)				20.05 (C)			
Rayon du bloc convexe	Longueur en cm de l'arête de contact												
	N	498 ^k	2493 ^k	4738 ^k	4987 ^k		2853 ^k	4094 ^k	4590 ^k	498 ^k	2493 ^k	4488 ^k	4728 ^k
	(en Kg par cm^2 de l)				Rupture				Rupture				Rupture
	$2x$	0.42	0.90	1.35	1.40		1.16	1.23	1.24	0.43	0.99	1.40	1.47
	Largeur moyenne mesurée de la bande												
	$\frac{2x}{\sqrt{N}}$	0,018	0,018	0,019	0,019		0,021	0,019	0,018	0,019	0,019	0,020	0,021
	$\frac{0,0096^2 NR}{4x^2} = \epsilon$	6,99	6,99	6,27	6,27		5,13	6,27	6,99	6,27	6,27	5,66	5,13
	l	20.10 (D)				20.10 (E)				20.05 (F)			
	N	497 ^k	2485 ^k	3980 ^k	4975 ^k	497 ^k	2985 ^k	4975 ^k	5970 ^k	498 ^k	2992 ^k	5984 ^k	6483 ^k
	(en Kg par cm^2 de l)				Rupture				Rupture				Rupture
	$2x$	0.95	2.16	2.73	3.05	1.01	2.51	3.32	3.68	1.01	2.32	3.43	3.59
	Largeur moyenne mesurée de la bande												
	$\frac{2x}{\sqrt{N}}$	0,042	0,043	0,043	0,043	0,045	0,045	0,047	0,047	0,045	0,042	0,044	0,044
	$\frac{0,0096^2 NR}{4x^2} = \epsilon$	5,13	4,01	4,01	4,01	4,47	4,47	4,10	4,10	4,47	5,13	4,68	4,68
	l	20.05 (G)				20.00 (H)				20.10 (I)			
	N	498 ^k	3990 ^k	7481 ^k		500 ^k	4000 ^k	7640 ^k		497 ^k	3980 ^k	7960 ^k	
	(en Kg par cm^2 de l)			Rupture				Rupture				Rupture	
	$2x$	1.47	5.44	7.85		2.02	5.54	8.66		2.24	6.74	9.11	
	Largeur moyenne mesurée de la bande												
	$\frac{2x}{\sqrt{N}}$	0,065	0,086	0,090		0,090	0,087	0,099		0,100	0,106	0,102	
	$\frac{0,0096^2 NR}{4x^2} = \epsilon$	8,04	4,68	4,18		4,29	4,68	3,52		3,48	3,10	3,35	

TABLEAU II. — Rupture des blocs.

$$\mathcal{N} \begin{cases} \text{Charge de rupture} \\ \text{par } 0,001 \text{ d'arête} \end{cases} \quad \begin{cases} \text{Pression de rupture} \\ \text{dans la bande de contact} \\ \text{(en Kg/cm}^2\text{)} \end{cases} \quad \left\{ \begin{array}{l} \text{moyenne } \frac{\mathcal{N}}{2x} \\ \text{MAX (sur l'axe de la bande)} = 1,273 \frac{\mathcal{N}}{2x} = \Xi \end{array} \right.$$

 Π_A — Granit — ξ (résistance à l'écrasement en cubes) = 1200^k à 1500^k

R (en cm^2)	25 ^{cm}			100 ^{cm}			375 ^{cm}		
	(A)	(B)	(C)	(D)	(E)	(F)	(G)	(H)	(I)
$\frac{2x}{l}$	0,046	0,041	0,049	0,10	0,12	0,12	0,29	0,29	0,30
\mathcal{N}	4987 ^k	4590 ^k	4728 ^k	4975 ^k	5970 ^k	6483 ^k	7481 ^k	7640 ^k	7960 ^k
$\frac{\mathcal{N}}{2x}$	3562 ^k	3701 ^k	3216 ^k	1631 ^k	1622 ^k	1806 ^k	953 ^k	882 ^k	873 ^k
Ξ	4536 ^k	4727 ^k	4106 ^k	2077 ^k	2066 ^k	2300 ^k	1214 ^k	1124 ^k	1113 ^k

II_B — Grès — ξ (résistance à l'écrasement en cubes) = 540^k à 620^k

R (en 0°01)	10 ^{cm}	20 ^{cm}	40 ^{cm}	100 ^{cm}	375 ^{cm}
$\frac{2x}{l}$	0,088	0,119	0,20	0,37	0,91
\mathcal{N}	1366 ^k	1466 ^k	1826 ^k	2686 ^k	6666 ^k
$\frac{\mathcal{N}}{2x}$	1030 ^k	814 ^k	606 ^k	483 ^k	486 ^k
Ξ	1312 ^k	1037 ^k	772 ^k	616 ^k	619 ^k

B. — Ce qui résulte des expériences.

I. Largeur 2 x de la bande de contact (Granit — Tableau I).

a. — Pour le rayon de 25^{cm} et celui de 100^{cm}, $\frac{2x}{\sqrt{N}}$ a été sensiblement constant, c'est-à-dire que, suivant la formule (1''') de Hertz, la largeur de la bande de contact a été, pour ces 2 rayons, proportionnelle à la racine carrée de la charge.

b. — Le rapport $\frac{0,0096^2 NR}{4x^2}$ a varié de 3 à 8. Or, d'après la formule (1''') de Hertz, ce serait le coefficient ε , lequel, pour le granit éprouvé, ne variait que de 2,55 à 4,02.

II. Rupture. — Charge \mathcal{N} sur la bande de contact.

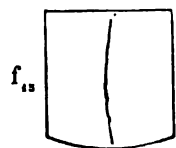
Pressions moyenne $\frac{\mathcal{N}}{2x}$ et maxima $\Xi = 1,273 \frac{\mathcal{N}}{2x}$ (Granit et grès — Tableaux II_A et II_B).

a. — R augmentant, \mathcal{N} augmente, Ξ diminue et paraît tendre vers la pression de rupture du matériau en cubes.

b. — Pour un même rayon, Ξ augmente avec l'épaisseur e ²⁷.

c. — Sur 9 essais, le bloc convexe B₁ s'est rompu 2 fois le 1^{er}.

d. — Les blocs se fendent, à partir du contact, près du plan diamétral passant par l'arête de contact : on voit, sur la photographie de blocs sous charge, la fissure plus ouverte au milieu ; elle se refermait quand on supprimait la pression.



C'est la tension qui rompt les blocs.

D'ailleurs, les pierres ne sont ni homogènes, ni isotropes ; elles n'ont pas, à vrai dire, de coefficient d'élasticité²⁸ ; les rotules de pierre s'appliquent mal l'une sur l'autre ; toutes conditions contraires à celles que supposent les formules de Hertz²⁹.

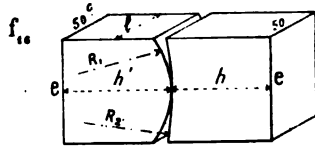
Il ne faut donc pas s'étonner si les essais ne les justifient guère.

27. —	R = 20 ^{cm} ,	h = 15 ^{cm}
e =	10 ^{cm}	15 ^{cm} 20 ^{cm}
Ξ =	925 ^k	1037 ^k 1150 ^k

loc. cit., renvoi 26.

28. — Tome III, Livre II.

29. — Hertz a vérifié ses théories pour le verre : lentille de verre sur plaque de verre.



Art. 2. — Expériences faites à Berlin et à Dresde sur des rotules en béton³⁰ (f₁₀).

Expériences faites :		Rotules éprouvées					Charge, en Tonnes, par 0 ^m 01 de l'produisant :			
au Laboratoire mécano-technique	à l'occasion de la construction de 4 Ponts sur la Moselle Nom - (Portée) MAX. \bar{p} (clef) kg/0 ^m 01 ²	Dimensions en 0 ^m 01				Composition du béton	Age du béton en jours	la première fissure dans le bloc		la rupture
		R ₁	R ₂	e	h (h')			concave \mathcal{N}	convexe \mathcal{N}	
Charlottenburg (Berlin)	³¹ Hauconcourt (33 ^m) 25 ^k	235°	300°	70°	61°	1 ^r , 2 ^r 5, 2 ^r 5 noyau : 1 ^r , 1 ^r 5, 1 ^r 5	150 j	4°7 ³⁵ 4°2 ³⁵	— —	— 10°
	³² Malling 1899-1901 (41 ^m) 22°8	280°	325°	94°5	91°	1 ^r , 2 ^r , 2 ^r ^{36, 38}	400 j	8° 7°4 7°5 7°1	9°1 5°3 7°4 7°	— — — —
	³³ Moulins-lès-Metz 1904-1905 (44 ^m) 23°34	280°	325°	95°5	93°5 (96°) 94°5 (96°5)	1 ^r , 2 ^r , 2 ^r ^{36, 38}	115 j 116 j 120 j	8°1 ³⁵ 8°1 ³⁵ 7°3 ³⁵	Pas de fissure sous : 11°8 11°7 ³⁵ 9°1 ³⁵	Pas de rupture sous : — 11°8 ³⁷ 12° ³⁷
	³⁴ Sauvage 1906-1907 (36 ^m) 23°	250°	327°	65°	70°	1 ^r , 2 ^r , 2 ^r ^{36, 38}	210 j	5°5 7° 6°	Pas de fissure 7°2 6°7	10°7 12°7 12°2

Voici des largeurs de bande de contact observées au laboratoire de Dresde sur des rotules de mêmes dimensions que celles du pont de Sauvage (béton à 170 jours) :

Charge en kg par 0 ^m 01 d'arête de contact N	Largeur de la bande de contact en 0 ^m 01 : 2r		
	mesurée	calculée par la formule de	
		Hertz (§ 2, art. 2)	Barkhausen (§ 2, art. 4)
		$\frac{0,0096}{\sqrt{\epsilon}} \sqrt{\frac{N}{\frac{1}{R_1} - \frac{1}{R_2}}}$ Avec $\epsilon = 1,5$	
2000 ^k	7°5	11°3	19°5
4000 ^k	14°3	16°	23°8
6000 ^k	18°5	19°6	30°

30. — Centralblatt der Bauverwaltung, 22 juillet 1908, p. 395, 396. « Über Gelenkquader aus Beton » vom Regierungs und Geheimen Baurat Blumhardt in Strassburg, et : Deutsche Bauzeitung 1908, 23 mai p. 283 à 288, 3 juin p. 303 et 307. « Die Anwendung von Gelenken bei Brückenbauten... » M. A. Köhler, Ing. dipl. Dir. technique de la Maison Windschild et Langelott de Cossebaude, près Dresde.

31, 32, 33, 34. — Voir pour ces ponts Livre III.

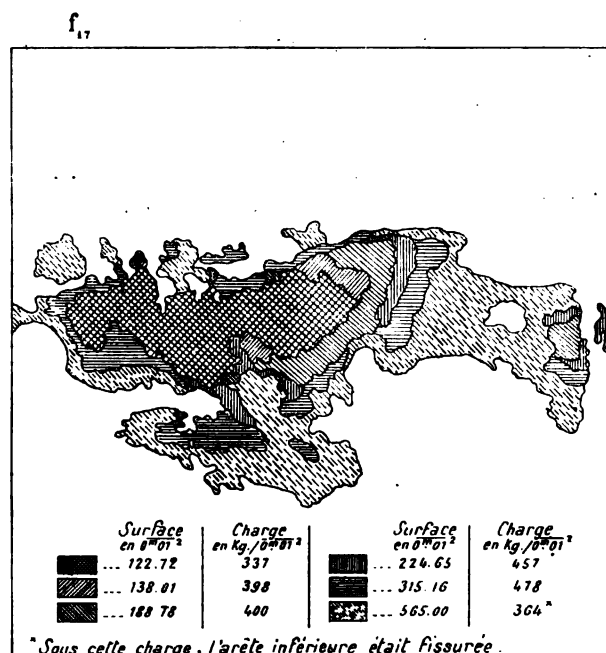
35. — Fissure dans le plan de symétrie passant par l'arête de contact.

36. — Surfaces de contact au mortier à 1^r, 1^r.

37. — Puissance maxima de la presse.

38. — Voici la moyenne de 3 essais sur des cubes de 30° :

Age du béton en jours	Charge en kg/0 ^m 01 ² produisant	
	les fissurés	la rupture
59 j	341 ^k	359 ^k
87 j	445 ^k	466 ^k



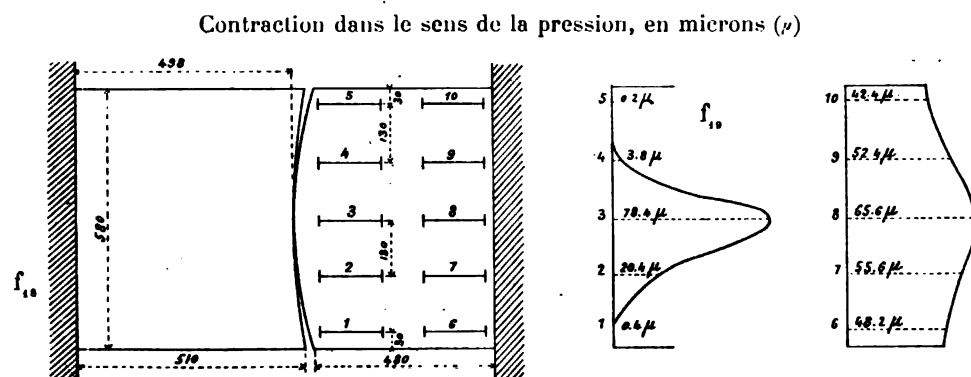
Aux essais pour le Pont de Moulins-lès-Metz, on a pris³⁹ sur papier b'eu l'empreinte des surfaces en contact sous les charges (f_{17}).

Malgré le soin apporté à leur exécution, elles sont fort irrégulières.

La pression moyenne par cm^2 sur la bande de contact, — charge totale rapportée aux surfaces d'empreinte, — croît d'abord, puis diminue légèrement jusqu'à l'apparition des fissures (f_{17}).

Art. 3. — Expériences de M. Krüger sur des rotules en béton (1906)⁴⁰.

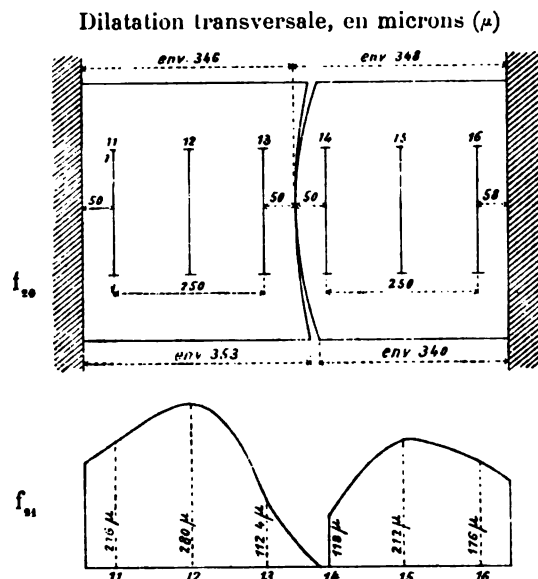
Dans le sens de la pression, les fibres centrales se raccourcissent. C'est la fibre passant par le contact qui se raccourcit le plus (f_{18} , f_{19}).



39. — Deutsche Bauzeitung, 1908, 23 mai, p. 283 à 288 ; — 3 juin, p. 303 et 307 : « Die Anordnung von Gelenken bei Brückenbauten », — M. A. Köhler, Ing. Dipl., Directeur technique de la maison Windschild et Langelott, de Cossebaude, près Dresde.

40. — A l'occasion de la construction du « Dresdener Innundations Viadukt » par l'Administration des Chemins de fer de Saxe. — On a mesuré les déformations au $\frac{1}{5}$ de micron ($\frac{\mu}{5}$) avec l'appareil optique Martens.

Deutsche Bauzeitung, 1906, p. 219 à 222, 232 à 236, 261 à 264 : « Die Illerbrücken bei Kempten in Allgäu », M. Colberg.

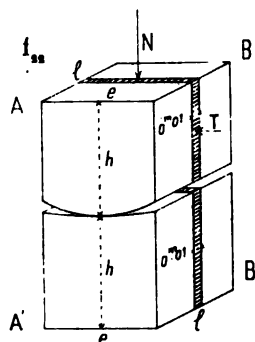


Normalement à la pression, comme toujours dans les prismes comprimés, les sections s'élargissent : il y a tension latérale (f_{10} , f_{11}). C'est elle qui rompt les blocs.

Le rapport :

$$\frac{\text{allongement transversal relatif}}{\text{raccourcissement longitudinal relatif}}$$

(coefficient de Poisson)⁴¹ est à peu près 28/100.



On en déduit :

$$T \left(\begin{array}{l} \text{effort de traction sur une tranche} \\ \text{perpendiculaire à l'arête de contact,} \\ \text{de } 0.01 \text{ d'épaisseur et de hauteur } h \end{array} \right) = 0,28 \text{ N} \left(\begin{array}{l} \text{compression} \\ \text{par } 0.01 \text{ d'arête} \\ \text{de contact} \end{array} \right)$$

$$\eta \left(\begin{array}{l} \text{effort moyen de traction} \\ \text{par } 0.01^2 \end{array} \right) = \frac{T}{h \text{ (en } 0.01)}$$

Si T est distribué suivant les ordonnées d'une parabole,

$$\text{MAX } \eta = \frac{3}{2} \frac{T}{h} = 1,5 \times \frac{0,28 \text{ N}}{h} = 0,42 \frac{\text{N}}{h}$$

La dilatation maxima, par suite la tension maxima, se produit à une distance du point de contact égale à la moitié de l'épaisseur e du sommier (f_{11}).

Pour qu'il n'y ait pas de tension transversale dans les lits AB, A'B', des sommiers (f_{11}), leur hauteur h sera au moins égale à leur épaisseur e .

C'est vers le milieu que se produisent les plus grandes tensions : si la matière n'y résiste pas assez, c'est ce milieu qu'il faudra armer ou fretter.

41. — Voir plus haut, § 2, art. 1.

Les blocs se sont, en général, fendus parallèlement à la face A B C D (f_u).
 Pour le porphyre, et surtout le béton, les bandes de contact étaient fort irrégulières.
 Voici pour celles qui étaient à peu près rectangulaires, les largeurs mesurées et calculées :

Pour le porphyre, et surtout le béton, les bandes de contact étaient fort régulières.

Voici pour celles qui étaient à peu près rectangulaires, les largeurs mesurées et calculées :

42. — Je les ai demandées pour déterminer les rotules de deux passages supérieurs articulés, en béton, à construire sur la ligne de Miramas à l'Estaque.

42. — Je les ai demandées pour déterminer les rotules de deux passages supérieurs articulés, en béton, à construire sur la ligne de Miramas à l'Estaque.

Expériences sur des rotules, faites à l'École des Ponts et Chaussées (1911-1912)

*Empreintes des surfaces de contact***Porphyre
de St Raphaël**

$$R_1 = 200^m$$

$$R_2 = 275^m$$

$$e = h = l = 20^m$$

(Voir f_{23})

2'5



5'



7'5



10'



12'5



15'

**Calcaire de Ruoms**

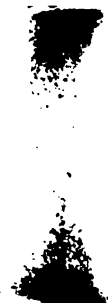
$$R_1 = 200^m$$

$$R_2 = 300^m$$

$$e = h = l = 20^m$$

(Voir f_{23})

2'5



5'



10'



12'5

**Béton**

Ciment Portland.... 350'

Sable de St Tropez.. 500'

Gravier du Cavaou.. 500'

Eau douce..... 96'

$$R_1 = 200^m$$

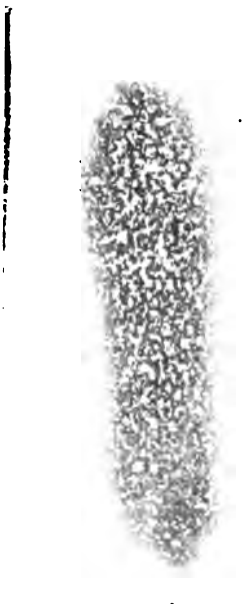
$$R_2 = 300^m$$

$$e = h = 20^m$$

$$l = 40^m$$

(Voir f_{23})

1'25



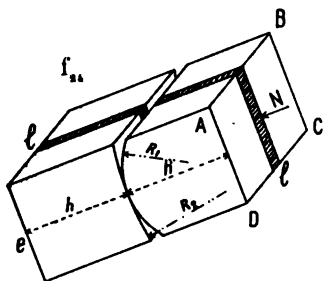
2'5



3'75



Art. 5. — Que conclure des formules et des essais de laboratoire pour déterminer les dimensions des sommiers ?



On veut articuler une voûte.

Pour chaque paire de sommiers, on calcule la charge normale F qui s'exerce sur l'appui tel que $ABCD$ (f_{11}).

On a donc : $N = \frac{F \text{ (en kg)}}{l \text{ (en 0.01)}} \left(\frac{\text{charge normale}}{\text{par 0.01 d'arête de contact}} \right)$

On a déterminé, pour le « matériau » des sommiers, ses caractéristiques : l'effort ξ en $\text{kg}/0.01^2$ qui l'écrase, taillé, ou moulé en cubes, — et son coefficient d'élasticité $\epsilon \times 10^5$ ($\text{kg}/0.01^2$).

Quelles dimensions (e , h , l), quels rayons R_1 , R_2 , faut-il adopter pour que N soit le $1/4$, le $1/5$, de la charge \mathcal{N} qui rompt le sommier ?

Les formules de Hertz, qui paraissent les plus solides de celles proposées, ont assez mal résisté à l'expérience.

Les essais de laboratoire n'y suppléent pas : ils sont peu nombreux, ne concluent pas. Il en faut d'autres.

A leur défaut, nous essayerons de déduire quelque chose des voûtes faites.

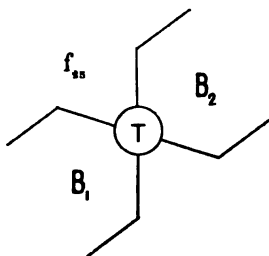
De suite, je puis dire qu'il faut encore être très prudent et, avant de se décider, essayer le « matériau » et les rayons des rotules.

CHAPITRE III

ARTICULATIONS TOURNANTES⁴³

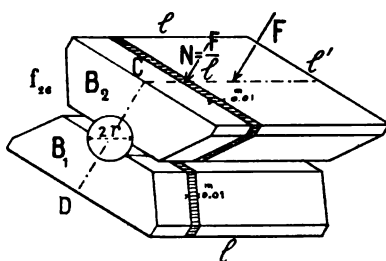
§ 1. — PRINCIPE

Deux balanciers B_1 , B_2 tournent autour d'un tourillon T en fonte ou en acier (f_{11}).



§ 2. — CALCULS

Art. 1. — Diamètre du tourillon. — Soient (f_{11}) :



l , l' , la longueur et la largeur en 0.01 de la face supérieure du balancier B_1 ;

r le rayon du tourillon en 0.01 ;

F la charge totale en Kg sur le balancier B_1 ;

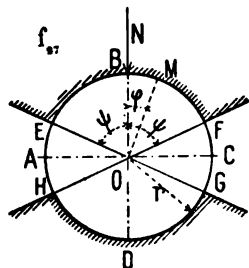
N la charge en Kg par 0.01 de longueur du tourillon :

$$N = \frac{F}{l} ;$$

β la compression permise en $\text{kg}/0.01^2$ sur le métal du tourillon.

N se distribue (f_{11}) sur une partie EBF , GDH des $1/2$ circonférences ABC , ADC ; elle tend à aplatir le tourillon suivant BD , à l'élargir suivant AC .

Si on l'étale uniformément sur la section diamétrale AOC , on a une compression β' ($\text{Kg}/0.01^2$) = $\frac{N}{2r}$



43. — « Zapfengelenke » des Ingénieurs allemands.

On calcule r par la formule pratique : $\beta' = \frac{N}{2r} = K\beta$

On se donne K . M. Résal accepte $K = \frac{1}{4}$ ⁴⁴. Un calcul, discutable⁴⁵, — des expériences, à contrôler⁴⁶, permettraient plus.

Art. 2. — Dimensions des balanciers. — On les calcule comme encastrés dans le plan CD (f_{10}), supportant l'effort $\frac{F}{2}$ à $\frac{l'}{2}$ du plan CD.

§ 3. — ESSAIS DE M. LE PROFESSEUR FÖPPL A MUNICH⁴⁷,

44. — « Cours de Ponts métalliques », Béranger, Paris 1908, Tome I, p. 477.

45. — N se distribue (f_{17}) en une série de pressions élémentaires telles que : $\beta_p \left(\frac{\text{pression par } \sigma_{01}^2 \text{ en M}}{\sigma_{01}^2} \right) \times ds = \beta_p r d\varphi$
Sa composante verticale est $r\beta_p \cos \varphi d\varphi$. — Il ne paraît pas interdit de supposer avec M. Bach⁴⁸, que :

$$\beta_p = \beta_0 \left(\text{pression par } \sigma_{01}^2 \text{ en B, laquelle } y \text{ est maxima} \right) \times \cos \varphi$$

Supposons encore que N se répartisse, non sur la 1/2 circonférence ABC, mais seulement sur un arc EBF = 2ψ :

$$N = \beta_r \int_{-\psi}^{+\psi} \cos^2 \varphi d\varphi = \beta_r \left(\psi + \frac{1}{2} \sin 2\psi \right)$$

Enfin, si, comme l'admet M. Müller-Breslau⁴⁹, EBF est le 1/4 de la circonférence, $2\psi = \frac{\pi}{2}$:

$$N = \beta_r \left(\frac{\pi}{4} + \frac{1}{2} \right) = 1,2854 \beta_r \text{ ou } \beta' = \frac{N}{2r} = 0,64 \beta$$

⁴⁸ C. Bach — *Maschinen Elemente*, p. 402. ⁴⁹ Müller-Breslau — Vorlesung in Berliner Polytechnikum — *Eiserne Brücken*, p. 39.

46. — M. Bobrowsky a déterminé, sur des tourillons d'un acier de limite d'élasticité β_e , la compression limite par σ_{01} de longueur N_e , à partir de laquelle les déformations du tourillon sont permanentes ; soit, par σ_{01}^2 de la section diamétrale, une compression limite $\beta'_e = \frac{N_e}{2r}$

Il a trouvé :

	K_{β}/σ_{01}^2	1 ^{er} essai	2 ^e essai	3 ^e essai
Limite d'élasticité de l'acier en cubes. β_e		1910 ^a	2680 ^a	3400 ^a
Compression de la section diamétrale au moment où commence la déformation permanente β'_e		2470	3330	4200
	Rapport $\frac{\beta'_e}{\beta_e}$	1,29	1,24	1,23

c'est-à-dire que β'_e serait en moyenne $\frac{5}{4} \beta_e$ — Attendons d'autres expériences.

Der Eisenbau, — décembre 1912, p. 447. « Berechnung der Kippzapfen von Brückengelenken », S. Bobrowsky.

47. — Charge par σ_{01}^2 de surface diamétrale du tourillon		50 ^a	100 ^a	200 ^a	300 ^a	400 ^a	500 ^a	600 ^a
Coefficient de frottement fonte sur acier	sans graissage	0,235	0,223	0,216				
	à l'huile de machine		0,191	0,192				
	à la graisse de machine		0,171	0,162	0,148			
	avec au suif		0,015	0,0075	0,0064	0,0048	0,0046	0,0039
	graissage à la stéarine		0,022	0,013	0,010	0,0075	0,006	0,005
	à 1 p. suif, 3 p. stéarine		0,011	0,0046	0,0042	0,0040	0,0038	0,0033
	à la paraffine		0,0062	0,0051	0,0036	0,0027	0,0026	0,0025
Epaisseur en mm de la couche de lubrifiant, avec graissage :	à l'huile de machine	Epaisseur initiale	trop mince en fin d'expérience pour la mesurer. On la constatait seulement au toucher.					
	à la graisse de machine							
	au suif							
	à la stéarine							
	à 1 p. suif, 3 p. stéarine							
	à la paraffine		0,8	0,3				0,1
			0,9	0,9				0,25
			1,4	0,4				0,1
			1,4	0,4				0,1

(Centralblatt der Bauverwaltung. 24 août 1901, p. 197, 198. « Reibung in Brückengelenken. » A. Föppl — Munich — Janvier 1901).

A titre de comparaison, voici ce qu'ont donné des essais faits en 1909 à Paris, au Laboratoire de l'Ecole des Ponts et Chaussées en vue de la construction par la C^e P-L-M, du pont tournant de Caronte (Ligne de Miramas à l'Estaque).

Charge par σ_{01}^2 de surface diamétrale du tourillon		74 ^a	112 ^a	149 ^a	215 ^a	280 ^a
Coefficient de frottement acier sur bronze	sans graissage	0,172	0,166	0,167	0,168	0,172
	à l'huile de machine	0,148	0,146	0,142	0,145	0,150
	à la graisse de machine	0,134	0,128	0,129	0,130	0,129
	graissage à la paraffine	0,024	0,017	0,013	0,011	0,009

AU LABORATOIRE D'ESSAIS DE MATÉRIAUX (1901)

1° — Le coefficient de frottement de fonte sur acier diminue quand la pression augmente.

Il y a donc intérêt à augmenter celle-ci : donc à réduire la surface d'appui ; donc à employer des tourillons de petit diamètre.

2° — Le meilleur lubrifiant est la paraffine.

3° — Sous les plus fortes pressions, il subsiste, entre les tourillons et les coussinets, une mince couche de lubrifiant.

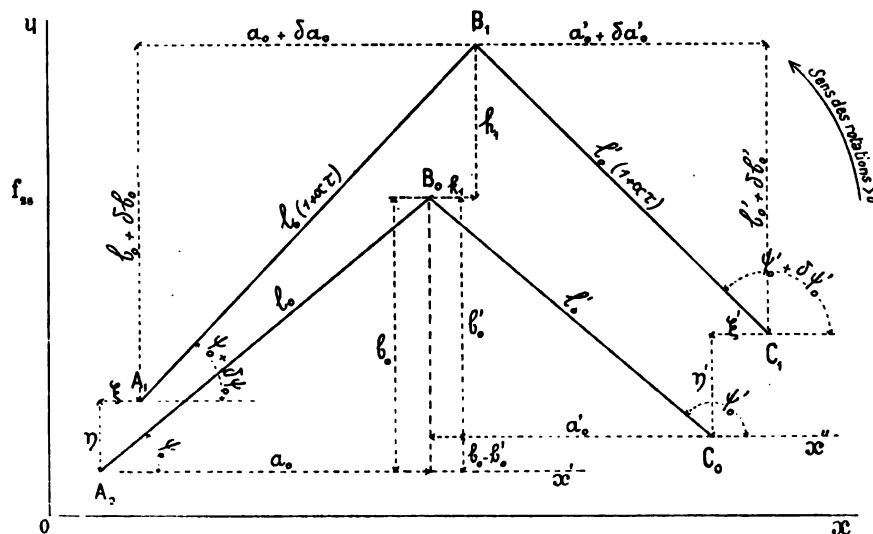
§ 4. — *ROTATIONS AUTOUR DES APPUIS, MOUVEMENTS DE LA CLEF POUR UN CHANGEMENT DE TEMPÉRATURE ET UN DÉPLACEMENT DES APPUIS* (f_{τ}).

Art. 1. — Comment change la ligne $A_0 B_0 C_0$ des 3 articulations.

Je suppose, par rapport à une température initiale, un changement de τ . Chaque dimension linéaire l_0 devient $l_0 (1 + \alpha\tau)$. Les appuis ne varient pas avec τ .

Mais je suppose de plus que, pour une cause étrangère à τ , ces appuis se déplacent : horizontalement de ξ, ξ' , verticalement de η, η' .

Le triangle primitif $A_0 B_0 C_0$ devient $A_1 B_1 C_1$.



Art. 2. — Conventions pour les signes.

τ est > 0 pour les élévations de température, < 0 pour les abaissements.

ξ, ξ' sont > 0 dans le sens Ox ; η, η' sont > 0 dans le sens Oy .

Les rotations sont > 0 de Ox vers Oy .

Art. 3. — Calcul des rotations $\partial\psi_0, \partial\psi'_0$.

ψ_0 est l'angle dont il faut faire tourner A_0x' dans le sens des rotations positives pour l'appliquer sur A_0B_0 .

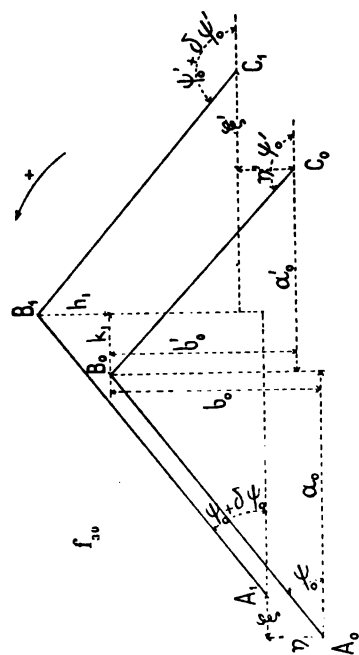
ψ'_0 est l'angle dont il faut faire tourner C_0x'' dans le sens des rotations positives pour l'appliquer sur C_0B_0 .

Projetons sur l'horizontale, puis sur la verticale, le contour $A_0 A_1 B_1 C_1 C_0 A_0$.

$$(1) \begin{cases} \xi + l_0 (1 + \alpha\tau) \cos (\psi_0 + \delta\psi_0) - l'_0 (1 + \alpha\tau) \cos (\psi'_0 + \delta\psi'_0) - \xi' - a'_0 - a_0 = 0. \\ \eta + l_0 (1 + \alpha\tau) \sin (\psi_0 + \delta\psi_0) - l'_0 (1 + \alpha\tau) \sin (\psi'_0 + \delta\psi'_0) - \eta' - b_0 + b'_0 = 0. \end{cases}$$

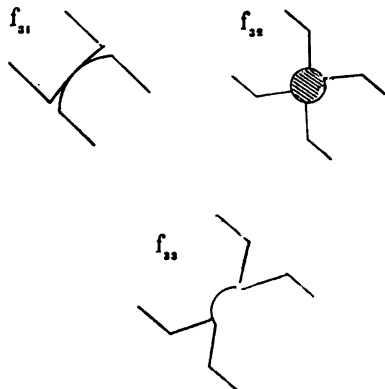
Art. 5. — FORMULES

Rotations autour des appuis et mouvements de la clef

pour un changement de température τ et un déplacement des appuis (f_{30}).

Naissances dénivelées $b_0 \gtrless b'_0$		Naissances au même niveau ($b_0 = b'_0 = b$)	
Appuis déplacés de $\xi, \eta; \xi', \eta'$		Appuis déplacés de $\xi, \eta; \xi', \eta'$	
$a_0 \gtrless a'_0$		$a_0 = a'_0 = a$	
Rotations		Appuis fixes	
$\left\{ \begin{array}{l} \delta\psi_0 = \\ \delta\psi'_0 = \end{array} \right.$	$\frac{a'_0(\xi - \xi') - b'_0(\eta - \eta') + \alpha\tau[a'_0(a_0 + a'_0) - b'_0(b_0 - b'_0)]}{a'_0 b_0 + a_0 b'_0}$	$\frac{\xi - \xi'}{2b} - \frac{\eta - \eta'}{2a} + \alpha\tau \frac{a}{b}$	
	$\frac{-a_0(\xi - \xi') - b_0(\eta - \eta') - \alpha\tau[a_0(a_0 + a'_0) + b_0(b_0 - b'_0)]}{a'_0 b_0 + a_0 b'_0}$		
$\left\{ \begin{array}{l} \text{vertical} \\ h_i (\uparrow +) = \\ \text{horizontal} \\ k_i (\rightarrow +) = \end{array} \right.$	$\eta + \frac{a_0[a'_0(\xi - \xi') - b'_0(\eta - \eta')]}{a'_0 b_0 + a_0 b'_0} + \alpha\tau \left[\frac{a'_0 a'_0}{b} + \frac{a'_0(a_0 + a'_0) - b'_0(b_0 - b'_0)}{a'_0 b_0 + a_0 b'_0} \right] + b'_0$	$\frac{a(\xi - \xi')}{2b} + \frac{\eta + \eta'}{2} + \alpha\tau \left(\frac{a^2}{b} + b \right)$	
	$\xi - \frac{b_0[a'_0(\xi - \xi') - b'_0(\eta - \eta')]}{a'_0 b_0 + a_0 b'_0} - \alpha\tau \left[\frac{a'_0(a'_0 - a_0)}{b} - \frac{a'_0(a'_0 - a_0)}{2a} \right]$		

CHAPITRE IV

ARTICULATIONS A GENOU ⁵⁰

Un bloc convexe roule dans un bloc concave de rayon plus grand : c'est une articulation *roulante* ($f_{1,2}$).

Deux blocs concaves enserrant un tourillon de même rayon et glissent l'un et l'autre autour de lui : c'est une articulation *tournante* ($f_{1,2}$).

Deux blocs, l'un concave, l'autre convexe, de même rayon, tournent en glissant l'un dans l'autre ($f_{1,2}$) : c'est une articulation *à genou*.

TITRE IV

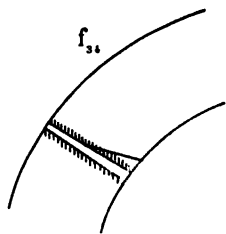
HISTORIQUE

ARTICULER LES VOÛTES EST UNE IDÉE FRANÇAISE

§ 1. — C'EST DUPUIT QUI A ÉMIS LE PREMIER (EN 1870)
L'IDÉE D'ARTICULER LES VOÛTES

Il y a 43 ans, Dupuit écrivait : ⁵¹

« il nous semble qu'on peut..... ramener la pression au centre du joint
« (de rupture) par une disposition ($f_{1,2}$) qui consisterait à remplacer, du côté de
« l'intrados, le prolongement du joint par une ligne faisant
« avec celui-ci un angle très obtus raccordé par une courbe
« sur laquelle roulerait la voûte au décintrement, si cette
« partie du joint n'était garnie que d'étoupe. On détermine-
« rait ainsi un point de passage obligé de la courbe de pres-
« sion et qui la placerait comme on voudrait par rapport à
« l'intrados ; on pourrait faire quelque chose d'analogue à la
« clef. Il n'y aurait plus alors rien d'indéterminé dans le
« tracé de la courbe de pression, ce qui permettrait de la faire passer par le milieu
« de tous les joints en faisant varier convenablement le poids de la voûte.... Il est
« inutile que cette articulation se trouve précisément au joint de rupture, théori-
« quement elle aurait partout le même effet ; mais de même qu'une ligne droite est
« d'autant mieux déterminée par deux points qu'ils sont plus écartés entre eux, de
« même il conviendrait ici d'éloigner ce point de passage de la clef et nous croirions
« convenable de placer l'articulation dans un point accessible après le décintrement...



50. — « Umschliessungsgelenke » des Ingénieurs allemands.

51. — « Traité de l'équilibre des voûtes et de la construction des ponts en maçonnerie » par J. Dupuit, Inspecteur Général des Ponts et Chaussées, — Paris, Dunod, 1870, p. 195, 196, 197.

« La voûte étant ainsi construite, la rotation au moment du décintrément se ferait nécessairement autour du point de contact, qu'on pourrait placer de 2 ou 3 centimètres en arrière du centre du joint.... Il est évident que les deux pierres en contact seraient dans des conditions bien plus favorables à la résistance que dans le système de la pose ordinaire.... D'ailleurs,.... rien n'empêcherait de prendre pour ces deux rangs de voussoirs des pierres d'une qualité excessivement dure.... Remarquons même que la pose de ces deux voussoirs de chaque côté de la voûte ayant pour résultat de faire passer la courbe de pression par le milieu de tous les autres, permettrait d'employer pour ceux-ci des matériaux moins résistants que ceux qu'on s'impose aujourd'hui dans l'indécision où on se trouve pour le passage de la courbe de pression...

« Il n'est pas sans exemple,.... dans les constructions publiques de voir des pierres supportant des charges énormes ; dans les ponts métalliques les poutres ou les arcs reposent sur les pierres des culées et des piles ;.... les portes gigantesques des écluses à la mer, les ponts tournants reposent sur des pivots qui transmettent leur pression à des pierres de taille. Ces pierres résistent parfaitement aux pressions considérables qui leur sont transmises, parce que ces pressions ont lieu seulement sur la partie centrale de leur surface. On pourrait d'ailleurs augmenter cette résistance en intercalant au point de contact des plaques de fonte encastées dans les deux voussoirs, de manière que la surface métallique remplacerait celle de la pierre.... »

Dupuit a donc formellement prévu la réduction de surface des appuis⁵², la triple articulation roulante, les sommiers en pierre dure, en fonte⁵³.

52. — En 1878, M. Brosselin, alors Ingénieur ordinaire des Ponts et Chaussées, proposait (*Note sur la construction des ponts en maçonnerie*, Paris 15 décembre 1878, Bibliothèque de l'École des Ponts et Chaussées : C. 705, - 12538) de placer, à la clef et aux joints de rupture des voûtes, deux assises de voussoirs en pierre de taille résistante, d'y faire un joint de hauteur réduite à ciment pur, à mortier riche, au plomb, à l'étain.

Pour la voûte centrale du pont de Tolbiac à Paris, alors en projet (Portée, 35^m20, montée, 8^m25), il indiquait les épaisseurs de 0^m75 à la clef, 0^m90 au milieu de la montée ; voûte en meulière à ciment ; sommiers en pierre de taille de Souppes ; entre eux, joints en ciment pur sur la moitié de l'épaisseur de la voûte, travaillant : au décintrément, à 140 ou 150^k ; aux épreuves, à 250 ou 300^k.

Ces indications n'ont pas été suivies : les voûtes du pont de Tolbiac sont inarticulées.

Le projet de M. Brosselin a été rappelé dans deux mémoires :

1° - *Note sur la construction récente en Allemagne de ponts en maçonnerie avec articulations à la clef et aux joints de rupture* par M. G. La Rivière, Ingénieur en chef des Ponts et Chaussées.

Annales des Ponts et Chaussées, 1891, I, p. 899 à 940, Pl. 46 à 48.

2° - *Ponts en maçonnerie, articulés aux naissances et à la clef* par M. Bourdelles, Inspecteur Général des Ponts et Chaussées.

Annales des Ponts et Chaussées, 1898, III, p. 31 à 92.

53. — Le Président Leibbrand l'a très explicitement reconnu. En raison de son importance, je donne ici le texte même de sa déclaration :

« Schon seit langer Zeit wurden deshalb von Dupuis (Dupuit) andere Vorschläge gemacht, welche bewirken sollten, dass die Resultante der inneren Kräfte in den Bruchfugen sich möglichst wenig von der Mitte derselben entferne; die Abschrägung dieser Fugen, die geradlinige oder bogenförmige Erweiterung derselben nach aussen ohne und mit gleichzeitiger Anbringung von Metallrollen zur Verhütung der Verschiebung der Gelenksteine, die Verstärkung dieser Fugen durch bleibende Metalleinlagen von einer Drehbewegung zulassenden Form, die Einlegung bleibender cylindrischer Eisengelenke, das Einfügen provisoirischer Eisengelenke, welche nach dem Ausschalen des Gewölbes wieder beiseiteigt werden sollten, wurden als Mittel zur Verhütung von Rissen und zur Festlegung der Druckkurven bezeichnet... »

Fortschritte der Ingenieurwissenschaften : « *Gewölbte Brücken* » von Karl Leibbrand, Leipzig, 1897, p. 42.

Traduction :

« Depuis longtemps déjà, d'autres propositions avaient été faites par Dupuit, pour arriver à ce que la résultante des forces intérieures s'écartât le moins possible de l'axe aux joints de rupture, diminution de ces joints par chanfreinage des arêtes, suivant des surfaces planes ou courbes, avec ou sans introduction de goujons métalliques pour empêcher le déplacement de l'articulation ; renforcement de ces joints au moyen de dispositifs permanents en métal, de forme convenable pour permettre la rotation ; introduction de rotules cylindriques permanentes en fer ou d'articulations métalliques provisoires à supprimer après décintrément ; autant de moyens indiqués pour empêcher les fissures et fixer les courbes de pression.... »

**§ 2. — APPLICATION EN ALLEMAGNE, APRÈS 1880,
DE L'IDÉE DE DUPUIT**

C'est Köpcke de Dresde qui, en 1880, a exécuté les premières articulations roulantes⁵⁴; c'est le Président Leibbrand qui, en 1885, a articulé la première voûte sur plomb à Höfen⁵⁵ (Wurtemberg).

Les articulations tournantes ont été employées pour la première fois, en 1895, par M. Max Leibbrand au pont d'Inzigkofen⁵⁶.

TITRE V

CLASSEMENT DES VOÛTES ARTICULÉES

**§ 1. — CLASSEMENT DES VOÛTES ARTICULÉES
SUIVANT LE TYPE D'ARTICULATION**

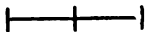
Quel que soit leur intrados, les voûtes articulées sont toujours en arc surbaissé entre leurs articulations de retombées.

Une voûte articulée en plein cintre, en ellipse, en arc peu surbaissé, est, en réalité, une voûte en arc surbaissé avec culées en surplomb.

Je conserverai les symboles des voûtes inarticulées pour désigner l'intrados, le nombre d'arches, la voie portée.

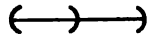
Mais, pour les voûtes articulées, le caractère dominateur n'est plus la courbe d'intrados : c'est le type d'articulation.

Elles seront donc classées d'abord d'après ce type, dans l'ordre suivant et avec les symboles que voici sous celui de l'intrados :

Bandes de plomb : 

Articulations roulantes : 

Articulations tournantes : 

Articulations à genou : 

**§ 2. — DISTINCTION ENTRE LES VOÛTES « SEMI-ARTICULÉES »
C-A-D ARTICULÉES TEMPORAIREMENT, AU POIDS MORT SEULEMENT, LES
ARTICULATIONSETANTCONDAMNÉESAVANTL'OUVERTUREALACIRCULATION,
ET LES VOÛTES « ARTICULÉES »**

*C-A-D DE FAÇON PERMANENTE, SOUS LE POIDS MORT, LES SURCHARGES,
POUR LES VARIATIONS DE TEMPÉRATURE,....*

Dans nombre d'ouvrages on a, après achèvement et avant l'ouverture à la circulation, condamné les articulations.

La voûte est alors articulée seulement pour le poids mort.

54. — à un pont près de Langenhennersdorf (Saxe), ligne de Pirna à Bergieshübler, - 3 voûtes en arc : portée, 13^m; montée, 3^m; épaisseurs : à la clef, 0^m50; aux retombées, 0^m60. — Rayons des surfaces en contact : 1105^{mm} et 977^{mm}.

(Zeitschrift des Architekten-und Ingenieur-Vereins zu Hannover, 1888, Heft 4, p. 374 à 380 : « Über die Verwendung von dres Gelenken in Steingewölben » von Geh. Finanzrath C. Köpcke, zu Dresden.

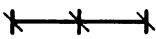
55. — \bar{A}^1 r^{te} ($\geq 40^m$)¹, Tome IV, Livre II


56. — \bar{A}^1 r^{te} ($\geq 40^m$)¹, Tome IV, Livre II

La courbe de pression du poids mort passe par les articulations, mais les surcharges et les variations de température la déplacent.

Ces voûtes seront dites « *semi-articulées* ».

Elles ont les symboles des voûtes articulées, mais avec une barre sur le signe de l'articulation :

Bandes de plomb : 

Articulations à genou : 

Ces voûtes, qui se rapprochent des voûtes inarticulées, seront décrites les premières.

§ 3. — SÉRIES DANS LESQUELLES ONT ÉTÉ CLASSÉES LES VOÛTES ARTICULÉES $\geq 40^m$





Les voûtes à 3 articulations seront donc classées : d'abord en voûtes semi-articulées et voûtes articulées ; puis, dans chacune de ces divisions, d'abord d'après le type d'articulation ; enfin, comme les voûtes inarticulées, par intrados, nombre d'arches, voie portée.

Pour les voûtes de 40^m et au-dessus, voici les séries :

I. — Voûtes $\geq 40^m$ semi-articulées,

c'est-à-dire articulées temporairement, au poids mort seulement, articulations condamnées avant l'ouverture à la circulation.








Ponts en arc très surbaissé

Types d'articulations	à une seule grande arche		à plusieurs grandes arches sous route
	sous route	sous chemin de fer à voie normale	
sur plomb	 $\bar{A}^1 r^{te} (\geq 40^m)$	»	»
à genou	 $\bar{A}^1 r^{te} (\geq 40^m)$	 $\bar{A}^1 F^r (\geq 40^m)$	 $\bar{A}^n r^{te} (\geq 40^m)$

II. — Voûtes $\geq 40^m$ articulées,

c'est-à-dire de façon permanente, sous le poids mort, les surcharges, pour les variations de température,...

Ponts

Types d'articulations	en ellipse à plusieurs grandes arches sous chemin de fer à voie normale	en arc peu surbaissé à une seule grande arche sous chemin de fer à voie normale	en arc très surbaissé		
			à une seule grande arche		à plusieurs grandes arches sous route
			sous route	sous chemin de fer à voie normale	
sur plomb	 $E^n F^r (\geq 40^m)$	»	»	»	»
roulantes	 $E^n F^r (\geq 40^m)$	 $\bar{A}^1 F^r (\geq 40^m)$	 $\bar{A}^1 r^{te} (\geq 40^m)$	 $\bar{A}^1 F^r (\geq 40^m)$	 $\bar{A}^n r^{te} (\geq 40^m)$
tournantes	»	»	 $\bar{A}^1 r^{te} (\geq 40^m)$	»	»

LIVRE II

DESCRIPTION DES PONTS

QUI ONT OU AVAIENT

DES

VOÛTES ARTICULÉES

DE 40^m ET PLUS DE PORTÉE

TABLEAUX SYNOPTIQUES

MONOGRAPHIES

LIVRE II

DESCRIPTION DES PONTS

QUI ONT OU AVAIENT

DES

VOÛTES ARTICULÉES

DE 40^m ET PLUS DE PORTÉE

TABLEAUX SYNOPTIQUES

MONOGRAPHIES

VOÛTES

SEMI-ARTICULÉES

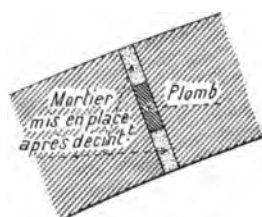
**C'EST-A-DIRE ARTICULÉES TEMPORAIREMENT
AU POIDS MORT SEULEMENT
ARTICULATIONS CONDAMNÉES
AVANT L'OUVERTURE A LA CIRCULATION**

VOÛTES SEMI-ARTICULÉES ¹

ARTICULATIONS

SUR

PLOMB



Symbole : ¹



VOÛTES SEMI-ARTICULÉES ¹

ARTICULATIONS SUR PLOMB ¹

ARCS TRÈS SURBAISSÉS






PONTS A UNE SEULE GRANDE ARCHE

SOUS ROUTE

Série  ¹ r^{te} ($\geq 40^m$) ¹

¹. — Pour le classement des voûtes articulées et le sens des symboles, voir Tome IV, Livre I, p. 28 et 29.

PONT A UNE SEULE GRANDE ARCHE SOUS ROUTE

PONT	PROJET							
	ENSEMBLE		GRANDE VOÛTE					
	Longueur entre abouts des parapets Déclivités Hauteur maxima de la chaussée au-dessus du sol ou de l'étiage	Largeurs entre parapets entre tympans sous la plinthe Fruit des tympans Revanche de la chaussée sur l'extrados	INTRADOS Portée Montée Surbaissement Rayon	ÉPAISSEURS CORPS ET TÊTES Clef Retombées	BANDES DE PLOMB Épaisseur Largeur Clef Retombées Pour les pressions, voir Tome IV, Livre III.	MATÉRIAUX Mortier Poids, pour 1 ^m c de sable, de chaux ou de ciment	PRESSIONS en kg/0 ^m 01 ² Hypothèse adoptée Surcharges supposées	1° ÉVIDEMENTS DES TYMPANS 2° DÉCORATION DES TÊTES
1	2	3	4	5	6	7	8	9
de Höfen Wurtemberg 1885  1 ^{re} (≥ 40 ^m) ¹	35 ^m 60 20 ^m 5 ^m 85	$\left\{ \begin{array}{l} 3^m 90 \\ 3^m 40 \end{array} \right.$ Pas de fruit 0 ^m 55	Sur le sol de fondation, Portée : 41 ^m 00 Au-dessus du sol, Arc de cercle 28 ^m 00 2 ^m 80 $\frac{1}{10} = 0,10$ 36 ^m 40	$\left\{ \begin{array}{l} 1^m 00 \\ 1^m 50 \end{array} \right.$	20 ^{mm} $\left\{ \begin{array}{l} 35^m \\ 50^m \end{array} \right.$	PT ¹ Grès (917 ^k à 1036 ^k) Ciment Portland de Blaubeuren 0 ^m c 666	Pressions maxima : Clef : 29 ^k Joint de rupture : 22 ^k Retombées : 24 ^k	1° Aux reins, 6 voûtes transversales vues, en plein cintre de 1 ^m 40, sur piles de 0 ^m 70. Au cerveau, évidement longitudinal 2° »
de Marbach Wurtemberg 1886-1887  2 ^{re} (≥ 40 ^m) ²	41 ^m 70 20 ^m 20 ^m 7 ^m 55	$\left\{ \begin{array}{l} 6^m 20 \\ 5^m 60 \end{array} \right.$ Pas de fruit 0 ^m 55	Sur le sol de fondation, Portée : 43 ^m 50 Au-dessus du sol, Arc de cercle 32 ^m 00 3 ^m 10 $\frac{1}{10,32} = 0,097$ 42 ^m 84	$\left\{ \begin{array}{l} 1^m 20 \\ 1^m 50 \end{array} \right.$	22 ^{mm} $\left\{ \begin{array}{l} 40^m \\ 50^m \end{array} \right.$	Bandcaux : PT ¹ Keuper (577 ^k à 644 ^k) Douelle et Queutage : MEV ¹ Muschelkalk résistant mal à la gelée et à l'humidité (992 ^k à 1169 ^k) Sommiers d'articulations : Grès (718 ^k à 768 ^k) Ciment — 0 ^m c 500	Pressions maxima : Clef : 27 ^k Joint de rupture : 25 ^k	1° Les tympans et 2 murs longitudinaux de 0 ^m 50 écartés de 1 ^m portent une plate-forme en béton à 1 ^{re} , 2 ^{re} , 3 ^{re} . 2° »
de Baiersbronn Wurtemberg 1889  3 ^{re} (≥ 40 ^m) ³	38 ^m 50 5 ^m 5 ^m 50	$\left\{ \begin{array}{l} 6^m 60 \\ 5^m 81 \end{array} \right.$ Pas de fruit »	Sur le sol de fondation, Portée : 40 ^m 00 Au-dessus du sol, 33 ^m 00 3 ^m 30 $\frac{1}{10} = 0,10$ »	$\left\{ \begin{array}{l} 0^m 60 \\ 0^m 80 \end{array} \right.$	20 ^{mm} $\left\{ \begin{array}{l} 17^m \\ 18^m \end{array} \right.$	PT ¹ Grès bigarré (675 ^k)	Pressions maxima : Clef : 42 ^k Joint de rupture : 53 ^k Retombées : 33 ^k	1° 3 voûtes longitudinales de 1 ^m 07, sur murs de 0 ^m 50 2° »

1. — Pour le sens de ces abréviations, voir Avertissement, Tome IV, p. II, n° 6.

EXÉCUTION

FONDATIONS		GRANDE VOÛTE											
Nature du sol		CINTRE				MODE DE CONSTRUCTION	DÉCINTREMENT État d'avancement du Pont Temps entre le dernier clavage et le décintrement Date	TASSEMENTS DE LA CLEF					
Profondeur sous l'étiage	Pressions sur le sol en kg/cm ²	FERMES		Cube de bois Poids de fer Dépenses				sur cintre t_c	au décin- trement t_v				
Procédé	Type	Matière	Nombre	Totaux	par mq de douelle ²			après t_p					
10	11	Appareils de décintrement	Épaisseur Ecartement d'axe en axe Surhaussement	13	14	15	16	17					
Grès bigarré dur — 2 ^m Pression maxima : 9 ^k Épauements dans des batardeaux	Fixe	}	3	»	»	A pleine épaisseur à partir des retombées	Voûtes d'évidement en construction	$t_c = 2^{mm}$ (moyenne des 2 têtes) sous le poids de tous les voussoirs					
	Montants et contrefiches		25 ^{cm}	»	»	Joints bourrés, après la pose de	35 jours	$t_v = 42.5$	aval				
	»		1 ^m 35	5373 ⁴	56 ⁴ 4	chaque assise, de mortier à ciment 1 ^v sable 1 ^v 5	»	$t_p = 16.5$	(À 28j.)				
	Boîtes à sable carrées, en fonte	»					$t_c + t_v = 59$	52.5					
Muschelkalk dur, compact, assise — 2 ^m Pression maxima : 7 ^k »	Cintre du Pont de Teinach $A_1 r^2 (\geq 40^m)^2$ (Tome III)	}	5	»	»	2 rouleaux à partir des retombées.	»	$t_c = 72^{mm}$					
	Fixe		25 ^{cm}	»	»	Joints en douelle bourrés après la pose de 4 assises à sec.	42 jours	$t_v = 39^{mm}$					
	Montants et contrefiches		»	3147 ⁴	17 ⁴ 3	»	»	$t_p = 16^{mm}$ jusqu'à l'achèvement du pont					
	Boîtes à sable	»					$t_c + t_v = 55^{mm}$						
Granit » Pression : 18 ^k »	Fixe			»	»	»	»	$t_c = 92^{mm}$					
	»			»	»	»	28 jours	$t_c + t_v = 163^{mm}$ « par suite de fautes dans la confection des maçonneries »					
	Montants et contrefiches			3201 ⁴	16 ⁴ 2								

4. W = Surface vue de l'élévation \times Largeur entre parapets. 5. W' = Surface de l'élévation au-dessus des fondations \times Largeur entre parapets.
Pour S_p , W , W' , voir Avertissement, Tome IV, p. III, n° 7 — B.

VOÛTES SEMI-ARTICULÉES ARTICULATIONS SUR PLOMB
 ARCS TRÈS SURBAISSÉS
 PONTS A UNE SEULE GRANDE ARCHE SOUS ROUTE

SÉRIE $\overset{\text{A}}{\underset{\text{rte}}{\text{A}}}^1 (\geq 40^m)$

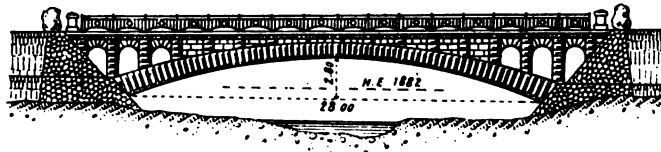
MONOGRAPHIES

PONT SUR L'ENZ, EN AVAL DE HÖFEN¹ (WURTEMBERG)

1885

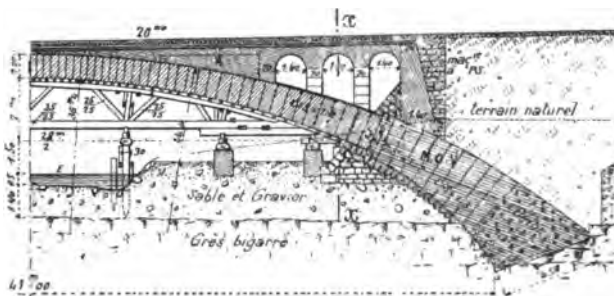
$\overset{\text{A}}{\underset{\text{rte}}{\text{A}}}^1 (\geq 40^m)$ ¹

f_1 — Élévation — 2^{mm}

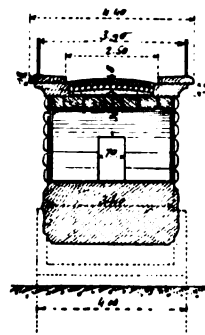


1. Articulations. — C'est un arc en maçonnerie à culées perdues, articulé, pendant sa construction, par des bandes de plomb de 20^{mm} d'épaisseur, occupant le 1/3 central des joints de clef et de retombées.

f_2 — Demi-coupe en long et cintre — 3^{mm}



f_3 — Coupe en travers sur xx de f_2 — 5^{mm}



2. Trottoirs. — Ils sont en encorbellement sur consoles ancrées dans les tympans ; leurs bordures sont protégées par des fers cornières.

1. — Station de la ligne de Pforzheim à Wildbad, à 5^e de Wildbad.

3. Chape. — Le dos de la grande voûte est revêtu de 3^{cm} de mortier de Portland à 1^r/2^r ; — les voûtes d'évidement, de 7^{mm} de feutre asphalté.

La chape, à deux pentes de 2% vers l'axe longitudinal, conduit l'eau sous un fer Zorès qui l'écoule derrière les culées.

4. Ciment employé. — A la traction, le mortier à 1^r de ciment de Blaubeuren pour 3^r de sable normal, après un jour sous l'eau et 6 jours à l'air, devait résister au moins à 8^k3 pour le ciment prompt (employé en fondations seulement), à 12^k4 pour le ciment lent.

5. Cintre. — On a employé les boîtes à sable carrées, en fonte, de 25^{cm} de côté, du pont de Teinach².

Le sable, sec, était protégé par une feuille de fer-blanc ; il était, dans les boîtes, de 5^{mm} plus haut qu'au projet.

Les boîtes étaient reliées électriquement à la maison du gardien, qui eût été prévenu de suite d'une descente anormale.

6. Fondations. — Le bas des culées est en béton pilonné à 1^r/3^r/6^r (ciment et grès cassé), avec 30% de pierres (grès) posées suivant le rayon.

Le haut est en moellons ordinaires lités, avec 20% de mortier de ciment employé sec à 1^r/3^r.

La douelle était appuyée sur une forme de pierres sèches recouverte de mortier de ciment.

7. Exécution de la voûte. — On chargea le cintre de tous les voussoirs : les appuis tassèrent de 1 et 3^{mm}.

Puis on posa les bandes de plomb des retombées³ en soutenant leur bord inférieur par 3 chevilles scellées au plomb dans leur sommier, et saillant de 10^{mm}.

On bouchait le joint avec de l'étoupe.

On a construit la voûte en partant des retombées.

On posait une assise de voussoirs sur lattes en bois tendre de 15^{mm} × 50^{mm} ; on lavait les joints ; puis, on y versait du mortier à l'état de fluide épais (1^r de ciment, 1^r 1/2 de sable), et on l'y enfonçait avec des fers plats.

Aux têtes et en douelle, on bourrait les joints d'étoupe sur 3^{cm} de profondeur.

Pendant la pose des 5 assises voisines des retombées, le joint sec sur plomb s'élargit à l'extrados.

Les 5 dernières assises à la clef furent fermées en même temps.

Après clavage aux retombées, on coula du plomb dans les vides ouverts entre les bandes de plomb et leurs sommiers.

La voûte a été faite en 7 jours 1/4 par deux équipes de 4 maçons et 4 manœuvres.

2. — \hat{A}^1 r^{te} ($\geq 40^m$)² — Tome III.

3. — Longueur 1^m05 ; intervalle entre les bandes 0^m10.

8. Décintrement. — Il fut fait en 3 fois par 21 hommes.

	Nombre		Tassements totaux en mm	
	de jours après clavage	d'abaisséments de 3 ^{mm}		
			amont	aval
1 ^{re} opération	15	6	19,5	15,5
2 ^e opération	28	3	30	26
3 ^e opération	35	4	42,5	38

On n'observa pas de fissures.

On acheva les voûtes d'évidement, les tympans ; on posa le couronnement.

4 semaines après le décintrement, 9 semaines après le clavage, l'ouvrage étant terminé, le tassement atteignait : à l'amont, 59^{mm} ; à l'aval, 52^{mm}5.

Il n'a plus augmenté.

9. Variation en mm de l'épaisseur des lames de plomb (épaisseur initiale : 20^{mm}) (augmentation + ; diminution —).

Largeur des bandes :	Clef 0 ^m 35				Retombées 0 ^m 50							
	amont		aval		Rive gauche				Rive droite			
					amont		aval		amont		aval	
	extr.	intr.	extr.	intr.	extr.	intr.	extr.	intr.	extr.	intr.	extr.	intr.
après clavage	+1	+3	-3	+4	+9	-8	+6	-1.5	+13	-6	+12	-2
au { 1 ^{re} opération	0	+1	-4	+4	+10	-8.5	+6	-3	+13	-7.5	+12	-3
2 ^e —	0	+1.5	-4.5	+4	+10	-9	+6.5	-4	+13	-8	+12	-3.5
décintrement { 3 ^e —	-1	+2.3	-5.5	+4.8	+10.5	-9.5	+6.5	-4.5	+13.6	-8.5	+12.4	-4.1
après achèvement du pont.	-1.4	+2.3	-5.7	+4.7	+10.3	-9.5	+6.3	-4.6	+13.4	-8.9	+12.2	-4.3

A la clef, les bandes de plomb restèrent constamment en contact sur toute leur largeur avec les moellons.

Si le centre de pression est au 1/6 supérieur de la bande, la pression maxima est : sur l'arête supérieure, 124^k ; sur la maçonnerie, 29^k1.

Aux retombées, les bandes de plomb ne portaient plus à l'extrados et ne portaient que sur 35^{cm} à l'intrados.

Dans le cas le plus défavorable, la pression maxima sur l'arête inférieure du plomb est 134^k3, et, sur la maçonnerie, moins de 23^k8.

10. Comment on a condamné les articulations. — L'ouvrage achevé, les joints vides ont été remplis de mortier de ciment.

11. Epreuves.

		Tassements à la clef en mm, le rouleau			
		passant vite		immobile	
		amont	aval	amont	aval
Rouleau compresseur..	vide : 5 ⁷ 4.....	0,2	0,3	0,15	0,15
	chargé : 11 ⁷	de 0,4 à 0,65	de 0,4 à 0,8	0,35	0,35
Pas de tassement permanent.					

12. Dépenses ⁴.

Fondations (partie cachée)	{	Fouilles et épuisements.....	4.178'	}	9.566'
		Béton et maçonnerie de moellons ordinaires lités	4.980'		
		Pierres sèches et divers.....	408'		
Élévation (partie vue)	{	Charpentes et cintres.....●.....	5.373'	}	20.638'
		Maçonnerie.....	11.542'		
		Garde-corps (43' le mètre-courant)...	2.295'		
		Plomb.....	617'		
		Asphalte, fers (cornières des bordures, ancrage), divers.....	811'		
Dépense totale.....					30.204'

13. Personnel.

Projet : M. Leibbrand, « Kgl. Ober-Baurath ».

Travaux : { Direction générale : M. Stuppel « Königl. Bauinspector » à Calw.
Conduite : M. Paul Braun, « Königl. Regierungs-Baumeister ».

4. — 1 Mark = 1'234.

SOURCE :

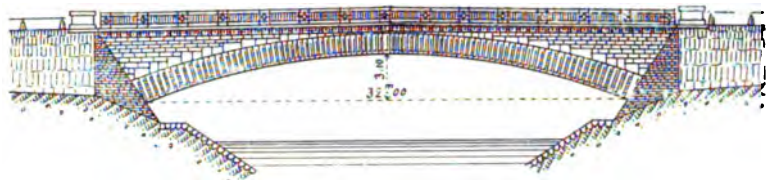
S₁. — Zeitschrift für Bauwesen 1888, p. 235 à 260, Pl. 38 à 40 : « Steinbrücken mit « gelenkartigen Einlagen » ; - p. 242 à 250, Pl. 38 : « Brücke über die Enz bei Höfen », - Stuttgart, novembre 1887, Leibbrand, Kgl. Ober-Baurath.

PONT SUR LA MURR, PRÈS DE MARBACH¹ (WURTEMBERG)

1886-1887

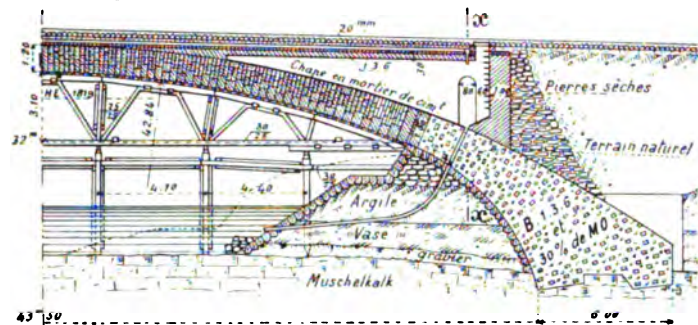
$\overset{\text{A}}{\underset{\text{A}}{\text{A}}}^1 \text{ r}^{\text{le}} (\geq 40^{\text{m}})^2$

f₁ — Élévation — 2^{mm}

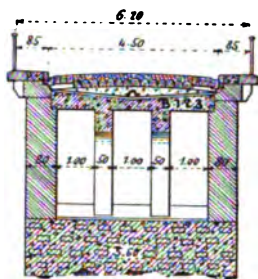


1. Articulations. — C'est un arc en maçonnerie à culées perdues, articulé, pendant sa construction, par des bandes de plomb de 22^{mm} occupant le 1/3 central des joints de clef et de retombées.

f₂ — Demi-coupe en long et cintre — 3^{mm}



f₃ — Coupe en travers sur xx de f₁ — 5^{mm}



2. Plinthes. — Les plinthes, en grès, sont en encorbellement sur consoles ancrées.

3. Chape. — On a étendu sur le dos de la voûte une couche de mortier à 1^v/2^v ; et, sur la plate-forme que portent les murs d'élégissement, un feutre asphalté de 7^{mm}.

4. Matériaux des culées. — Pour aller plus vite, on les a faites en béton (ciment 1^v, sable 3^v, pierre cassée calcaire et gros gravier 6^v, et 30 % de moellons calcaires).

Le béton résistait à la compression, à 5 mois, en cubes de 30^{cm} d'arête :

		avec gravier	avec muschelkalk cassé au lieu de gravier
avec ciment	{ prompt (sous l'eau)	86 ^k à 107 ^k	»
	{ lent (au-dessus de l'eau)	121 ^k à 135 ^k	119 ^k à 151 ^k

1. — Au confluent de la Murr et du Neckar. Station de la ligne de Bietigheim à Backnang, à 12^{km} de Bietigheim.

5. Cintre. — On a réemployé celui du pont de Teinach sur la Nagold², construit 5 ans avant.

Sous la moitié des matériaux de la voûte, il tassa irrégulièrement, soit parce que les bois étaient pourris, soit parce que ses appuis ont cédé.

On le déchargea, puis on le redressa.

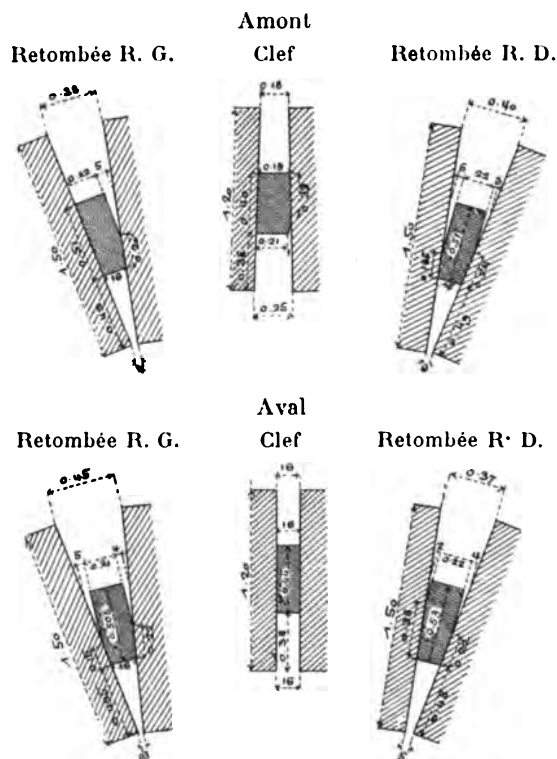
6. Exécution de la voûte. — A partir des retombées, la voûte a été construite en 21 jours en deux rouleaux.

En douelle, on posait 4 assises avec joints secs maintenus par des lattes de 20^{mm}; puis on fichait du mortier (ciment 1^v, sable 2^v).

Le queutage est en moellons bien équarris.

Pendant la construction, le cintre tassa de 55^{mm}, et il se produisit, à la 1/2 voûte rive droite, quelques fissures que l'on boucha immédiatement.

f_1 — Mouvements des joints d'articulation,
au décintrement — 2^{cm}



7. Décintrement. — On décintra en 13 jours, 6 semaines après le clavage.

On n'a pas constaté de fissures, ni de recul des culées.

Les joints sur plomb s'étaient comprimés à l'extrados de la clef et à l'intrados des retombées, et ouverts à l'intrados de la clef et à l'extrados des retombées (f_1).

La pression maxima était, sur l'arête de contact :

à la clef (pour une largeur de 33 ^{cm})	72 ^k
aux retombées (pour une largeur de 22 ^{cm})	120 ^k

8. Comment on a condamné les articulations. — Deux semaines après le décintrement, les tympanes construits, on coula du plomb dans les vides ouverts entre les bandes et les voussoirs, puis on ferma le reste du joint au mortier de ciment à 1^v/2^v.

9. Dépenses³.

Fondations (partie cachée)	{	Fouilles et épuisements.....	4.220'	{	10.803'
		Béton.....	6.583'		
Elévation (partie vue)	{	Cintre. — Pont de service.....	3.147'	{	29.229'
		Voûte.....	9.493'		
		Plomb.....	886'		
		Asphalte.....	390'		
		Garde-corps.....	2.345'		
		Maçonnerie au-dessus de la voûte.....	9.014'		
		Divers.....	3.954'		
Dépense totale					40.032'

10. Personnel.

Projet : M. Leibbrand, « Kgl. Ober-Baurath ».

Travaux { Direction générale : M. Gulde, « Kgl. Bauinspector ».
 { Conduite : M. Fleischhauer, « Kgl. Regierungsbaumeister »

3. — 1 Mark = 1'234.

SOURCE :

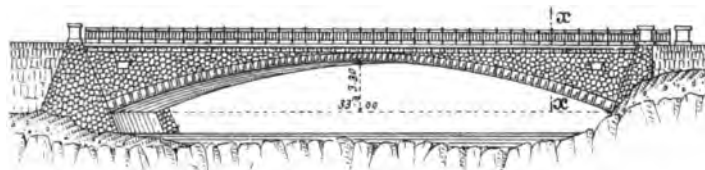
S₁. — Zeitschrift für Bauwesen, 1888, p. 235 à 260, Pl. 38, 39, 40 : « Steinbrücken mit gelenkartigen Einlagen » ; — p. 254 à 258, Pl. 40 : « Brücke über die Murr bei Marbach ». Stuttgart, novembre 1887, Leibbrand, Kgl. Ober-Baurath.

PONT SUR LA MURG, EN AVAL DE BAIERSBRONN¹ (WURTEMBERG)

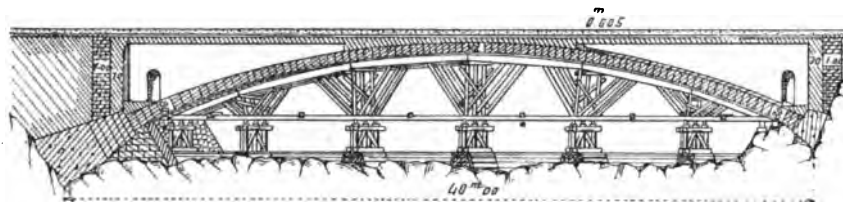
1889

\bar{A}^1 r^{te} ($\geq 40^m$)³

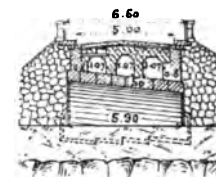
f₁ — Élévation — 2^{mm}



f₂ — Coupe en long et cintre — 2^{mm}5



f₃ — Coupe en travers
sur xx de f₁ — 2^{mm}



1. — Station de la ligne de Freudenstadt à Klosterreichenbach, à 8^m6 de Freudenstadt.

SOURCE :

S₁. — Fortschritte der Ingenieurwissenschaften, - Zweite Gruppe, 7 Heft ; « *Gezöhlte Brücken* », von Karl von Leibbrand, Präsident der K. Württ. Ministerial-Abteilung für den Strassen - und Wasserbau, Leipzig, 1897.

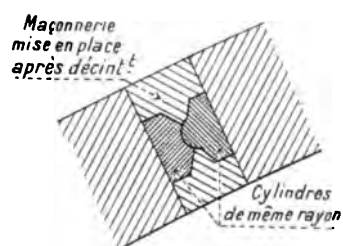
S'₁. — Tableaux statistiques, p. 50-51 et 52-53.

S''₁. — Dessins : Pl. I, fig. 6 à 10.

VOUTES SEMI-ARTICULÉES ¹

ARTICULATIONS

A GENOU ¹



Symbole : ¹



1. — Voir Tome IV, Livre I :

p. 28, — pour la définition des voûtes « semi-articulées »,

p. 26, — pour la définition des articulations « à genou »,

p. 28 et 29, — pour le sens du symbole.

PONT A UNE SEULE GRANDE ARCHE SOUS ROUTE

PONT	PROJET								ÉVIDEMENTS DES TYMPANS
	ENSEMBLE		GRANDE VOÛTE						
	Longueur entre abouts des parapets Déclivités Hauteur maxima de la chaussée au-dessus du sol ou de l'étiage	Largeurs entre parapets entre tympans sous la plinthe Fruit des tympans Revanche de la chaussée sur l'extrados	INTRADOS Portée Montée Surbaissement Rayons	ÉPAISSEURS CORPS ET TÊTES Clef Joints de rupture Retombées	ROTULES Pour les dimensions, rayons, pressions,... voir Tome IV, Livre III.	MATÉRIAUX Mortier Poids, pour 1 ^m c de sable, de chaux ou de ciment	PRESSIONS en kg/0 ^m 01 ² Hypothèse adoptée Surcharges supposées		
Date	1	2	3	4	5	6	7	8	9
Symbole									
de	68 ^m 59	{ 8 ^m 00 7 ^m 40	Arc d'anse de panier à 3 centres	{ 1 ^m , 00 1 ^m , 40 1 ^m 10	Rotules d'acier prises dans des caissons en tôle,	B ¹ Ciment lent.... 1 ^r (Oberschwäbischen Cement- werke, Ehingen, Blaubeuren) Sable 2 ^r 5 Gravier 5 ^r	Clef..... 35 ^k 3 Joint de rupt. Re- tomb. » 400 ^k /m ²	RG RD 37 ^k 9 39 ^k 2 35 ^k 5 37 ^k 0	1 ^o 2 étages de voûtes longitudinales de 0 ^m 90, sur murs de 0 ^m 60. 2 ^o Bandeaux en mortier de ciment coloré, à 1 ^r , 2 ^r .
Munderkingen	30 ^m RD		Sur le sol de fondation, Portée : 59 ^m , 00 Au-dessus du sol : 50 ^m , 00 5 ^m 00 1/10 = 0,10 Rayons : à gauche de la clef : 65 ^m à droite : Cerceau : 69 ^m 70 Reins : 40 ^m						
Württemberg	RG								
1893									
A ¹ r ^{te} (≥ 40 ^m) 1	7 ^m 20	0 ^m 50							

1₂ — Pour le sens de ces abréviations, voir Avertissement, Tome IV, page II, n° 6.

SÉRIE **A**¹ r^{le} ($\geq 40^m$)

TABLEAU SYNOPTIQUE

EXÉCUTION										CUBE DE MAÇONNERIE A MORTIER			
GRANDE VOÛTE										Q			
CINTRE										DÉPENSE			
FONDATIONS	FERMES				Cube de bois Poids de fer Dépenses		MODE DE CONSTRUCTION	DÉCINTREMENT	TASSEMENTS DE LA CLEF		Totaux		
Nature du sol Profondeur sous l'étiage Pressions sur le sol en kg/0 ^m 1 ² Procédé	Type Matière Appareils de décintrement	Nombre Épaisseur Ecartement d'axe en axe Surhaussement		Totaux	par mq de douelle 2			État d'avancement du pont Temps entre le dernier clavage et le décintrement Date	sur cintre t _c au décin- trement t' _c après t'' _c		et de surface utile S _p ³ de volume « utile » W ⁴		
10	11	12		13	14	15		16	17		18		
Rive droite : Rocher » Pression normale : 15 ^k » Rive gauche : Gravier » Pression verticale : MAX..... 3 ^k moy 2 ^k 1 horizontale : sans frottement : 3 ^k 5 avec frottement de 0,7 : 1 ^k 2 Pilotis et Épuisements	Fixe Montants et contrefiches » Coins en chêne à 1/12	5 24 ^c 1 ^m 85 120 ^{mm}		» » 8761'	» » 22'6	A pleine épaisseur 4 attaques Tranches de 1 ^m à 1 ^m 50		» 28 jours 4 septembre	am' aval t' 30''-38'' t'' 72''-72'' (136 j.) (voir la monographie, p. 59) Mouvements des culées au décintrement Recul Tasse- ment 2'' 3''-5 à à 6''-5 4'' 3''-6 2''	D	Fon- dations 17276'	Élé- vation 70338'	En- semble 87614'
										D : S _p	32'3	131'5	163'8
										D : W	4'0	16'4	20'5

2. Pour le calcul de la surface de douelle, voir Avertissement, Tome IV, p. III, n° 7 — A. 3. S_p = Longueur (col. 2) \times Largeur entre parapets (col. 3) — C'est la surface offerte à la circulation.4. W = Surface vue de l'élévation \times Largeur entre parapets. 5. W' = Surface de l'élévation au-dessus des fondations \times Largeur entre parapets.Pour S_p , W , W' , voir Avertissement, Tome IV, p. III, n° 7 — B.

VOÛTES SEMI-ARTICULÉES ARTICULATIONS A GENOU
ARCS TRÈS SURBAISSÉS
PONTS A UNE SEULE GRANDE ARCHE SOUS ROUTE

SÉRIE $\overset{\text{A}}{\text{A}}^1$ r^{te} ($\geq 40^m$)

MONOGRAPHIES

PONT SUR LE DANUBE, A MUNDERKINGEN¹ (WURTEMBERG)

1893

$\overset{\text{A}}{\text{A}}^1$ r^{te} ($\geq 40^m$)¹

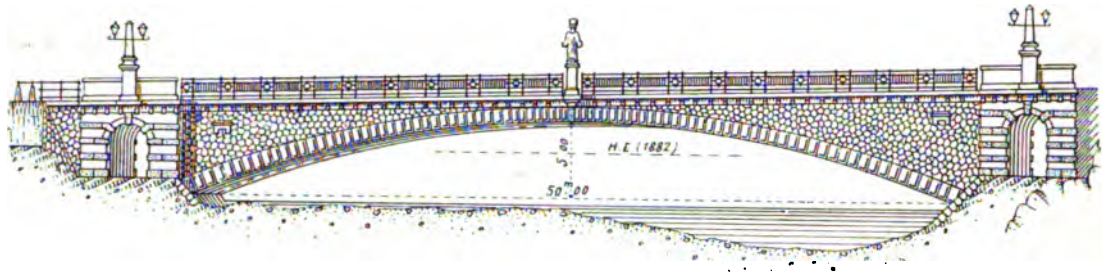
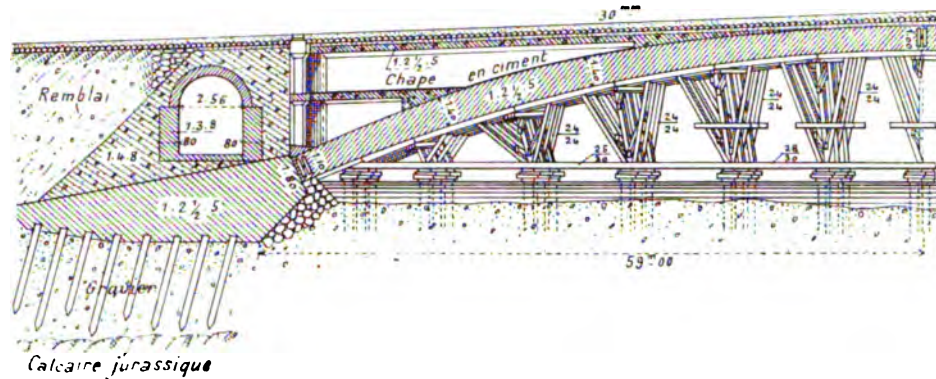
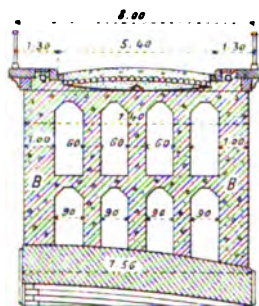
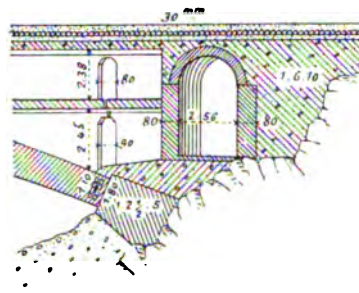
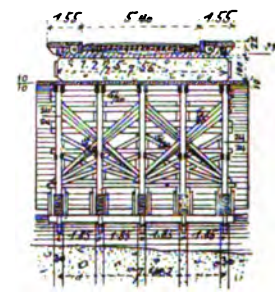
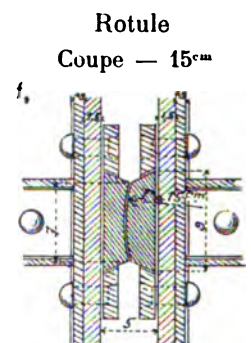
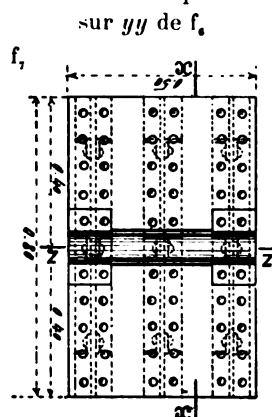
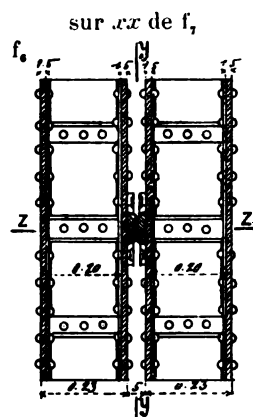
Φ_1 (S₁)



1. Pourquoi on a fait la voûte en béton. — Parce qu'on avait sur place du sable et du gravier excellents, — qu'on était près d'usines à ciment, — que l'arche est biaise (75°).

2. Courbes d'intrados et d'extrados. — Elles ont été définies par la condition que la fibre moyenne coïncidât avec la courbe de pression dans la voûte uniformément surchargée.

1. — Station de la ligne d'Ulm à Immendingen, à 44^m9 d'Ulm.

f_1 — Élévation amont — 2^{mm} f_2 — Demi-coupe en long rive gauche, et cintre — 3^{mm} f_3 — Coupe en travers aux retombées — 4^{mm} f_4 — Culée rive droite — 3^{mm} f_5 — Coupe en travers à la clef — 3^{mm}Rotule et Caisson
Coupes — 5^{cm}

3. Articulations (f_4 à f_5). — Chaque charnière a 12 rotules de 0^m50 de longueur, disposées en échelons à cause du biais.

Une rotule comprend deux pièces d'acier de 70^{mm} de largeur, 25^{mm} d'épaisseur, à surfaces de contact polies suivant des surfaces cylindriques de 15^m de rayon (f_4).

Elles sont encastrées dans des caissons en tôle (f_4 à f_5), appuyés sur des blocs de béton moulé de 110^{cm} × 63^{cm}.

Chaque rotule avec ses caissons coûte 142^f et pèse : tôle d'acier doux, 385^k; acier fondu, 16^k.



4. Joints de dilatation dans les tympans. — Au-dessus des articulations des naissances, on a ménagé des joints vides, masqués par les pilastres en saillie des petites arches de rive. Ils sont recouverts sous la chaussée et sous les trottoirs par deux fers Γ pouvant glisser l'un sur l'autre.

5. Parements. — Les têtes de la grande voûte sont crépies au mortier coloré en rouge. Les bandeaux des petites voûtes de rive, les consoles et les plinthes sont en béton moulé.

Tous ces parements jouent le grès rouge.

Les tympans sont en moellons calcaires, à joints incertains.

6. Chaussée et trottoirs. — Sur le béton (f), on a étalé une couche de ciment, puis 7^{mm} d'asphalte; dessus, du sable, puis l'empierrement.

Un fer en Λ , posé sur la chape, conduit l'eau à la culée rive gauche, la plus basse.

Les trottoirs, asphaltés, sont en encorbellement de 0^m30 sur consoles en béton moulé.

Le garde-corps est en fer (68^k à 0^m60 par mètre courant).

7. Matériaux.

A. Composition du béton.

		Composition en volume Ciment 1 ^v		Poids de ciment pour 1 ^m ³ de béton en œuvre	
		Sable	Gravier		
Béton damé	Fondations	sans blocs noyés.....	2 ^v 5	5 ^v	238 ^k
		avec 1/4 de blocs noyés.....	4	8	191
	Voûte	sans blocs noyés.....	2 5	5	253
		mortier de tête coloré.....	2		244
	Autres parties.....		3	6	250
			4	8	200
		5	10	164	
Béton moulé	non coloré.....	2 5	5	407	
	coloré	ciment ordinaire.....	2 5	5	302
		supplément de ciment coloré.....			20

Dans les fondations seulement, le béton a été fait à la main.

On a employé dans l'ouvrage 552 tonnes de ciment.

B. Béton de la voûte. — Le ciment à prise lente pour la voûte était moulu très fin : pas de résidu sur le tamis à 900 mailles par 0^m01², 15 % sur le tamis à 5000 mailles.

A 7 jours, le mortier à 1 pour 3 de sable normal résistait en moyenne à 29^k à la traction.

D'après les essais, le meilleur dosage a été : 1 - 2,5 - 5.

Voici la résistance du béton ainsi dosé, sortant de la bétonnière :

Durée d'exposition à l'air	Arêtes des cubes essayés	Nombre d'expériences	Résistances à la compression, en Kg/0 ^m 01 ²		
			minima	maxima	moyenne
7 jours	10 ^{cm}	10	146 ^k	270 ^k	209 ^k
28 jours	10	10	208	326	262
5 mois	20	4	333	358	343
2 ans 7 mois	20	4	526	537	532

Le sable et le gravier étaient soigneusement lavés.

8. Fondations. — La culée rive gauche est fondée sur 145 pieux battus avec une inclinaison de 15°.

Sur le fond nettoyé, on a coulé, sous 0^m50 d'eau, du béton à prise rapide; puis, au-dessus de l'eau, le béton lent, tenu sec.

Chaque pieu porte : suivant son axe, 34^t8; transversalement, en tenant compte du frottement du béton sur le sol (0,7), 10^t3 par 0^m01² (1/12 de sa résistance transversale).

9. Exécution de la voûte. — On posa les rotules des naissances ; on chargea le cintre de 25 tonnes ; puis on pilonna le béton par couches de 30^{cm}, en tranches de 1^m à 1^m50, entre deux cloisons transversales ayant deux échelons à cause du biais.

Toutes les parois étaient recouvertes de gros papier huilé : en douelle et sur les têtes, étaient cloués des liteaux pour simuler des joints.

On bétonnait à partir des retombées, alternativement une tranche rive droite et une tranche rive gauche. On enlevait les cloisons 3 heures après le bétonnage.

Quand les faces bétonnées paraissaient sèches, on les enduisait de mortier de ciment pour les relier au béton suivant.

Lorsqu'on fut ainsi arrivé à 8^m des retombées, on établit sur le cintre, à 16^m des retombées, un appui permettant une nouvelle attaque qui a été poussée jusqu'à 2^m de la clef : on a ainsi construit en 4 tronçons.

Avant de couler le béton des têtes, on appliquait contre les cloisons de tête, une couche de 10^{cm} de mortier sec (ciment coloré 1^v, sable fin 2^v).

10. Mouvement des rotules des retombées. — Les abouts du cintre ayant tassé pendant la construction de 6^{mm}5 à 14^{mm}, les rotules d'acier furent déplacées.

On enleva le béton autour des caissons ; on boulonna entre eux les deux caissons d'une même rotule, et on les suspendit à la culée.

On boulonna de même entre elles les deux pièces des rotules de clef et on les maintint en place au moyen de coins en fer posés sur le cintre.

Après le clavage, on enleva les boulons pour permettre le jeu des rotules.

On avait mouillé le cintre pendant le bétonnage et on le laissa sécher après clavage. Pour le cas où une pluie l'aurait de nouveau gonflé, on l'abaissa, 10 jours après clavage, de 30^{mm}.

11. Tassements de la clef après le clavage.

Dates	Opérations	Température à 8 ^h du matin	Abaissements totaux à la clef, en mm			
			observés		ramenés à + 10° c ²	
			amont	aval	amont	aval
1893						
7 août	Clavage	15°	»	»	»	»
17 —	Avant le 1 ^{er} abaissement du cintre, de 30 ^{mm}	10°	23	7	23	7
22 —	Après — — —	12°	43	40	45	42
4 septembre	Avant le 2 ^e abaissement du cintre ³	8°	45	34	43	32
	Après le décintrement complet	16°	75	72	82	79
19 —	»	12°	93	82	95	84
26 octobre	»	10°	127	122	127	122
1894						
18 janvier	»	-3°	147	144	133	130

⁻⁶
2. — On a admis comme coefficient de dilatation du béton $8,8 \times 10$. — Le mouvement vertical à la clef correspondant est de 1^{mm}1 pour 1° centigrade.

3. — Les coins (en chêne au 1/12°) descendirent très difficilement.

12. Comment on a condamné les articulations. — Le 26 octobre 1893, on condamna les articulations au mortier (ciment 1^v, sable 2^v).

13. Dépenses (non compris les abords).

Fondations.....	17.276'
Cintre.....	8.761'40
Pont proprement dit.....	49.853'60
Surveillance et divers.....	11.723'
Total.....	87.614'

14. Quelques prix d'unité. — Le mètre cube de béton a coûté :

comme fabrication	2'17
en œuvre.....	5'55

Le salaire d'un ouvrier était de 3'21.

15. Personnel.

Projet et Direction générale des Travaux : M. le Président Leibbrand.

Conduite des Travaux : M. Euting « Oberbaurath » à Stuttgart ;

M. Braun « Strassenbauinspector » à Ehingen.

Entrepreneur : M. Max Buck, d'Ehingen.

SOURCES :

S₁. — Zeitschrift für Bauwesen, 1894, p. 541 à 558, Pl. 64 et 65 : « *Betonbrücke über die Donau bei Munderkingen* », — Président Leibbrand, — Stuttgart, février 1894.

S₂. — Ce que j'ai vu — août 1908.

VOÛTES SEMI-ARTICULÉES ¹

ARTICULATIONS A GENOU ¹

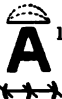
ARCS TRÈS SURBAISSÉS ¹



(Suite)


PONTS A UNE SEULE GRANDE ARCHE

SOUS CHEMIN DE FER A VOIE NORMALE

Série  ¹ F^r (≥ 40^m) ¹

1. — Pour le classement des voûtes articulées et le sens des symboles, voir Tome IV, Livre I, p. 28 et 29.

PONT A UNE SEULE GRANDE ARCHE SOUS CHEMIN DE FER

PONT	PROJET																			
	ENSEMBLE		GRANDE VOÛTE					1° ÉVIDEMENTS DES TYMPANS 2° DÉCORATION DES TÊTES												
	Longueur <i>entre abouts des parapets</i>	Largeurs <i>(entre parapets entre tympans sous la plinthe)</i>	INTRADOS Portée Montée Surbaissement Rayon	ÉPAISSEURS CORPS ET TÊTES Clef Retombées	ROTULES <i>Pour les dimensions, rayons, pressions,... voir Tome IV, Livre III.</i>	MATÉRIAUX Mortier Poids, pour 1 ^{mc} de sable, de chaux ou de ciment	PRESSIONS en kg/0 ^m 01 ² Hypothèse adoptée Surcharges supposées													
Date	Déclivités	Hauteur maxima du rail au-dessus du sol ou de l'étiage																		
Symbole	1	2	3	4	5	6	7	8	9											
de Morbegno <i>Italie</i> 1902-1903  F ^r (≥ 40 ^m)1	117 ^m 15 0 12 ^m 56 étiage	$\left\{ \begin{array}{l} 4^m 50 \\ 5^m 00 \end{array} \right.$ Fruit : 1/20 1 06 jusqu'à 1 ^m 06 au-dessus du rail	Arc d'anse de panier à 3 centres $\left\{ \begin{array}{l} 70^m 00 \\ 10^m 00 \end{array} \right.$ $\frac{1}{7} = 0,143$ Rayons : Cerceau : 74 ^m sur 27° 31' 30'' Reins : 50 ^m 696 sur 21° 53' 22''	$\left\{ \begin{array}{l} 1^m 50 \\ 2^m 20 \end{array} \right.$	Rotules d'acier prises dans des caissons en tôle,	PT 1 Granit (1100 ^k) Ciment — 600 ^k	Pression maxima : <table><tr><td></td><td>sans sur- charge</td><td>avec sur- charge</td></tr><tr><td>Clef</td><td>38^k 4 (intr.)</td><td>47^k 3 (extr.)</td></tr><tr><td>Reins</td><td>43^k 8 (extr.)</td><td>55^k 4 (extr.)</td></tr><tr><td>Re- tomb.</td><td>29^k 5 (extr.)</td><td>46^k 9 (extr.)</td></tr></table> avec refroidissement de 34° Clef : 69 ^k 4 (extr.) Reins : 70 ^k 1 (intr.) Arc élastique Méthode Ritter 5750 ^k /1 ^{mc}		sans sur- charge	avec sur- charge	Clef	38 ^k 4 (intr.)	47 ^k 3 (extr.)	Reins	43 ^k 8 (extr.)	55 ^k 4 (extr.)	Re- tomb.	29 ^k 5 (extr.)	46 ^k 9 (extr.)	1° 8 voûtes transversales- vues, en plein cintre de 4 ^m 50, en béton sur piles de 1 ^m 10. On a articule à la clef et aux reins celles au-dessus des articulations de retombée de la grande voûte. 2° Archivolte
	sans sur- charge	avec sur- charge																		
Clef	38 ^k 4 (intr.)	47 ^k 3 (extr.)																		
Reins	43 ^k 8 (extr.)	55 ^k 4 (extr.)																		
Re- tomb.	29 ^k 5 (extr.)	46 ^k 9 (extr.)																		

SÉRIE A¹ Fr (≥40m)

EXÉCUTION

EXÉCUTION										CUBE DE MAÇONNERIE A MORTIER	
GRANDE VOÛTE										Q	
CINTRE										DÉPENSE	
FERMES										D	
Cube de bois Poids de fer Dépenses										Totaux	
Type Matière Appareils de décintrement										par mq de douelle	
Nombre Épaisseur Écartement d'axe en axe Surhaussement										Totaux	
MODE DE CONSTRUCTION										TASSEMENTS DE LA CLEF sur cintre t ₁ au décin- tremement t ₂ après t ₃	
ÉTAT d'avancement du pont Temps entre le dernier clarage et le décintrement Date										et par unité { de surface utile S _p * de volume « utile » W *	
10										18	
Rive droite :											
Rocher											
»											
»											
»											
Rive gauche :											
Alluvion											
solide											
»											
»											
Béton :											
Portland 400°											
Sable 1°											
Gravier 1°											

3. Pour le calcul de la surface de douelle, voir Avertissement, Tome IV, p. III, n° 7 - A. 3. S_p = Longueur (col. 2) \times Largeur entre parapets (col. 3) - C'est la surface offerte à la circulation

4. W = Surface vue de l'élévation \times Largeur entre parapets. 5. W' = Surface de l'élévation au-dessus des fondations \times Largeur entre parapets

Pour S_p , W , W' , voir Avertissement, Tome IV, p. III, n° 7 - B.

VOÛTES SEMI-ARTICULÉES ARTICULATIONS A GENOU
ARCS TRÈS SURBAISSÉS

PONTS A UNE SEULE GRANDE ARCHE
SOUS CHEMIN DE FER A. VOIE NORMALE

SÉRIE \bar{A}^1 $F^r (\geq 40^m)$

MONOGRAPHIES

PONT SUR L'ADDA, PRÈS DE MORBEGNO (ITALIE - Valteline)

Ligne de Colico à Sondrio¹

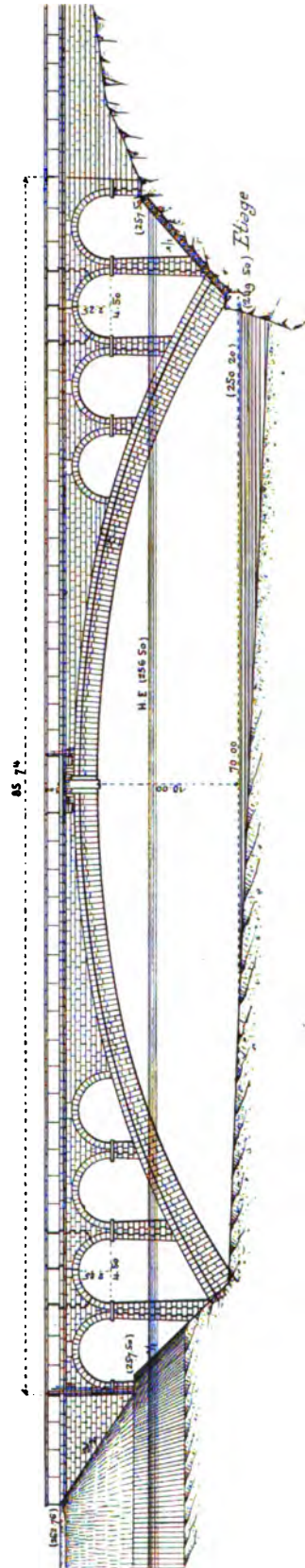
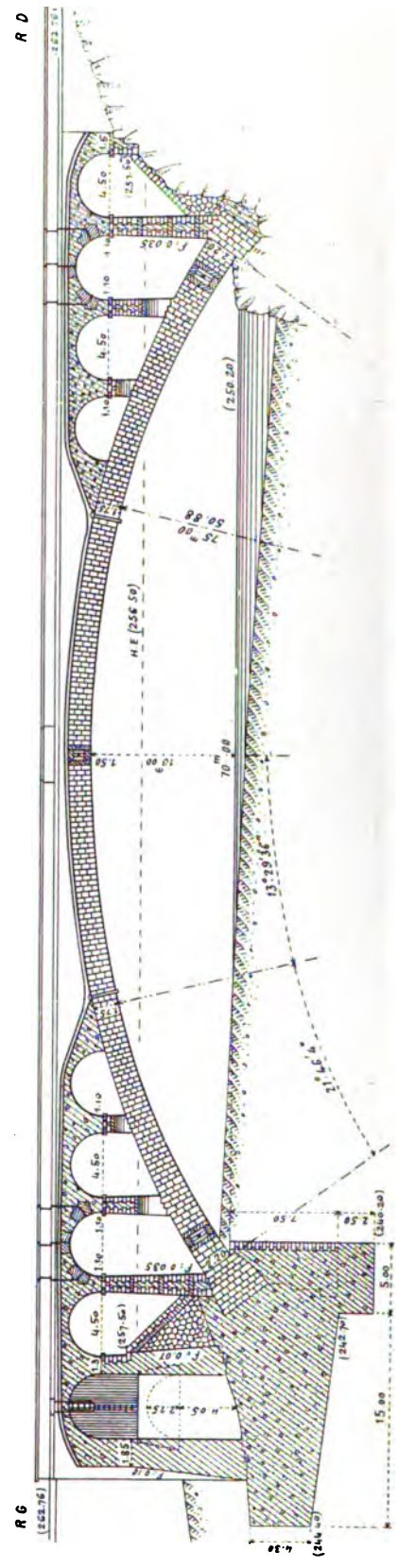
1902-1903

\bar{A}^1 $F^r (\geq 40^m)$ ¹



1. Pourquoi on a fait une grande voûte. — Parce que les crues de l'Adda, subites et violentes (S_e), auraient bousculé des fondations en rivière.

1. — Ligne électrique à 1 voie normale. — Le pont est au P' 19'979 (S''_1).

f_1 — Élévation, amont — 2^{mm} f_2 — Coupe en long — 2^{mm}

2. Aspect. — Le pont a même aspect général, même archivolt, que le pont Antoinette².

 $\Phi_2 (S_0)$


3. Intrados (S').

		Projet	Exécution Clef surélevée de 120mm
Cerveau	{ Rayon de l'arc de cercle.....	75 ^m	74 ^m
	{ Amplitude.....	26°59'12"	27°31'30"
Reins	{ Rayon de l'arc de cercle.....	50 ^m 88	50 ^m 696
	{ Amplitude de chaque côté.....	21°46'4" (S')	21°53'22"

4. Extrados. — Il est défini par la condition que la fibre moyenne soit la courbe de pression sous le poids propre (S₁).

L'épaisseur e de la voûte varie de 1^m50 à la clef à 2^m20 aux retombées, suivant la formule :

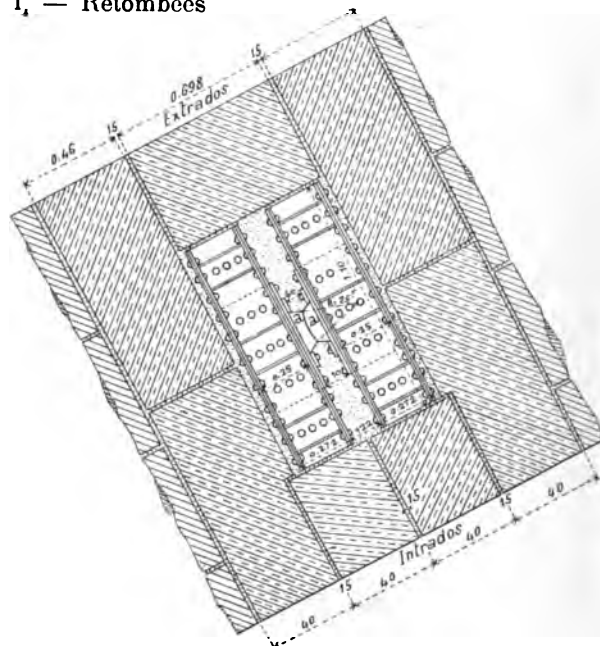
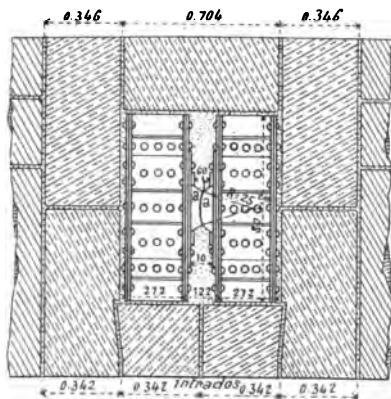
$$e = 1^m50 + 0,000841 x^2 \quad (S'_1)$$

5. Articulations. — Ce sont des blocs d'acier aa (f_i, f_r), à surface de contact cylindrique, pris dans des caissons en tôle.

Articulations — Coupes — 3^{cm}

f_i — Clef

f_r — Retombées



Les pierres de taille condamnant les articulations, n'ont été mises en place qu'après décintrement et achèvement des maçonneries.

Avant qu'on ait condamné les articulations (S_i)

Φ_i — Clef



Φ_r — Retombées



6. Dispositif permettant aux tympans de suivre les mouvements de la grande voûte (S'_i) (Φ_i ; f_i , f_r). — Les voûtes d'évidement sont en béton (mortier de ciment à 600^k, - 1^m7 de gravier) (S_i).

Celles au-dessus des articulations des retombées (les troisièmes à partir de la clef) sont elles-mêmes articulées à la clef et aux reins.

Les voussoirs de granit AA', BB', CC' (f_0), sont taillés en j , suivant deux surfaces cylindriques de 1^m555 et 1^m580 de rayon, roulant l'une sur l'autre.

Φ_0 — Voûtes d'évidement articulées au-dessus des retombées de la grande voûte (S_0)



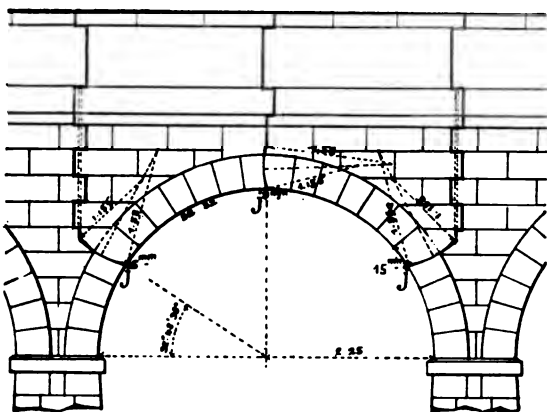
A j correspondent, dans les tympans et le couronnement, des joints de 20^{mm} laissés vides.

Ils sont fort apparents (Φ_0).

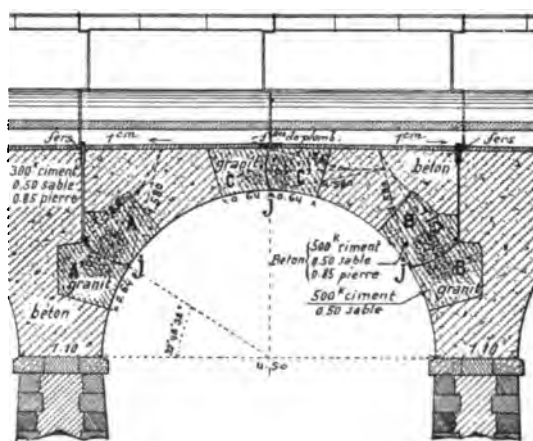
Articulations des voûtes d'évidement au-dessus des retombées de la grande voûte

Joints vides dans les tympans — 10^{mm}

f_0 — Élévation



f_0 — Coupe en long



7. Calcul des efforts (f_i). — Comme les articulations n'ont été condamnées que le pont terminé, et avant le passage des trains, la voûte est articulée pour le poids mort, inarticulée (ou « encastrée ») pour les charges roulantes et les changements de température.

Pour chaque joint, on a placé la surcharge dans la position la plus défavorable.

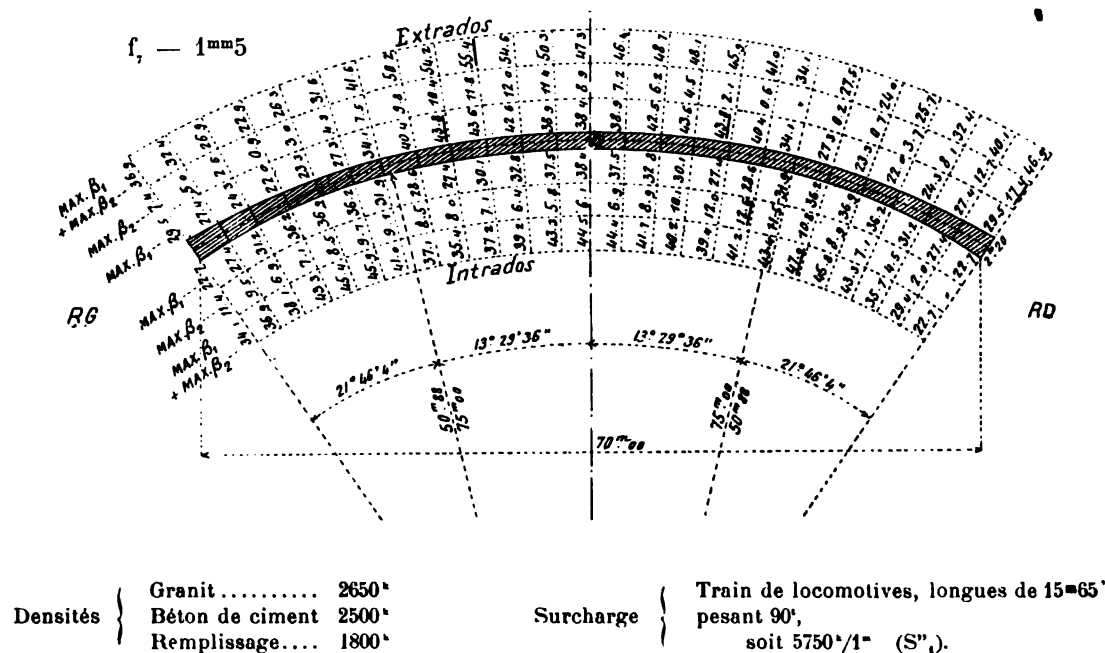
Le graphique f_i résume les épures et les calculs.

Pressions maxima à l'intrados et à l'extrados, en $kg/\overline{0^m01^2}$.

MAX β_1 sous la charge permanente,

MAX β_2 sous la surcharge roulante, dans la position la plus défavorable,

MAX $\beta_1 + \text{MAX } \beta_2$ sous la charge permanente et la surcharge roulante.

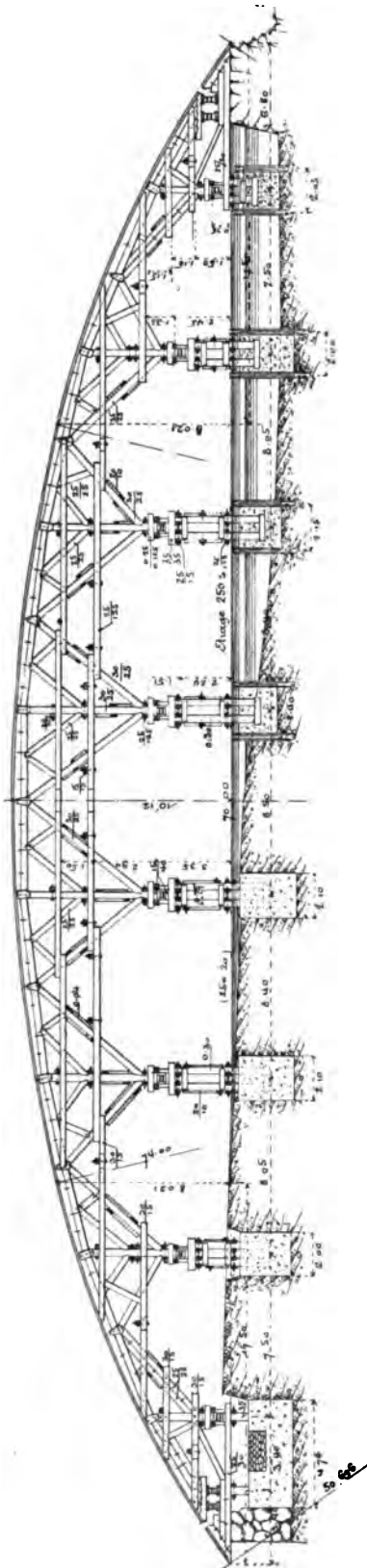


8. Cintre (S' , S'') (f_i à f_{ii}). — Dans les pièces qui ne sont pas exposées à flamber, l'effort maximum est de $80^k/\overline{0^m01^2}$.

La pression sur le sommet des palées est de 52^k .

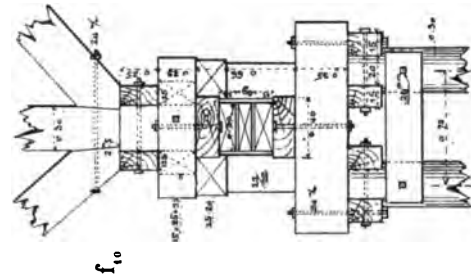
Les coins de décintrement, à 3 pièces³, étaient maintenus pendant l'exécution par la pièce p et l'arrêt B (f_{ii}).

Cintre
 f_c — Élévation — 2mm5

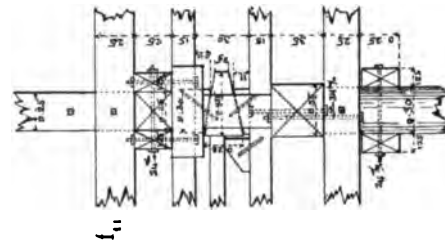


Appuis — 2^m

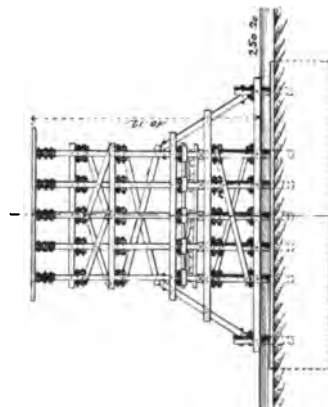
Vue en long



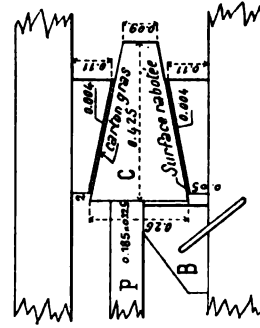
Vue en travers



f_c — Coupe en travers — 2mm5

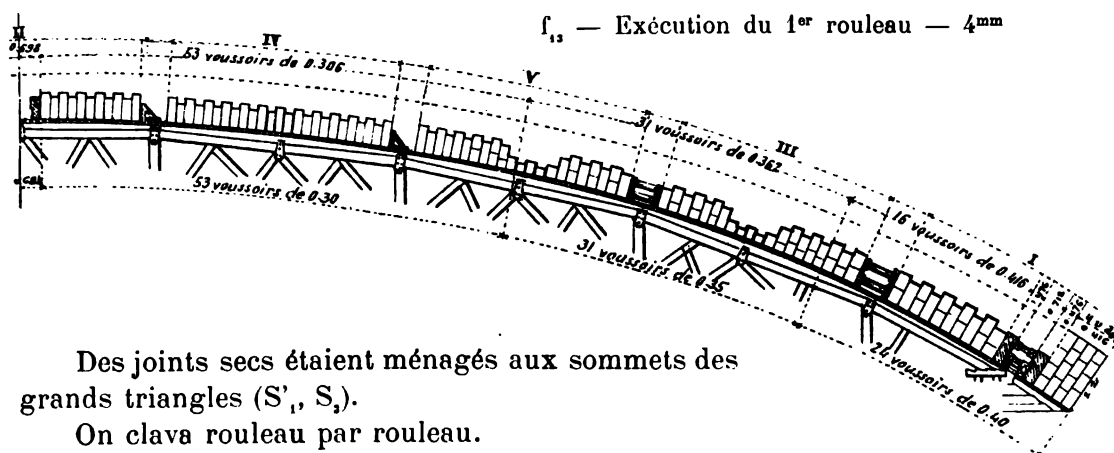


f_{11} — Coins de décintrement — 5^m

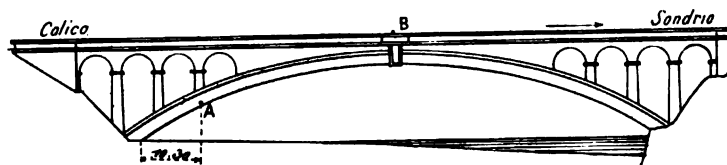


9. Exécution de la voûte. — On l'a construite :

à pleine épaisseur, jusqu'aux articulations des retombées ;

au-dessus, en trois rouleaux de 10 tronçons chacun, limités, au droit des montants du cintre, par des coffrages vers les retombées, par des taquets au cerveau (f_{11}).Des joints secs étaient ménagés aux sommets des grands triangles (S'_1 , S_1).

On clava rouleau par rouleau.

10. Décintrement et achèvement. — On décintra le 4 mai 1903 (S_1 , S_1).En août, on acheva les maçonneries au-dessus de l'extrados, et on condamna les articulations (S_1).**11. Epreuves (10 mars 1904) (S''_1).** — On installa : f_{11} — Position des appareils de mesure — 1^{mm}aux reins (A) (f_{11}), des verniers disposés verticalement et horizontalement ;

à la clef (B) deux fleximètres Trau (1 dans chaque niche).

Puis on fit passer un train de 5 locomotives dans le sens \rightarrow .Voici, en mm , les mouvements observés :**1^o Aux reins (A) (f_{11})**1/2 voûte Colico chargée..... \rightarrow 0,3

Tout le pont chargé..... 0

1/2 voûte Sondrio chargée..... \leftarrow 0,1

Train passant en vitesse.....

2^o A la clef (B) (f_{11})

Train passant en vitesse.....

Déplacements	
horizontaux	verticaux
\rightarrow 0,3	\downarrow 1,3
0	\uparrow 0,7
\leftarrow 0,1	\uparrow 0,9
	passager \downarrow 1 ^{mm} 6
	permanent \downarrow 0 ^{mm} 3
	passager \downarrow 2 ^{mm}
	(MAX)

Ces mouvements sont de l'ordre de ceux qu'on observe au décintrement.

12. Effet des changements de température.

A. - Mouvements de la voûte (f_{11} à f_{18}). — La voûte est dans l'air sur toute sa douelle et les $\frac{4}{10}$ environ de son extrados.

De mars 1904 à mars 1905, on releva chaque jour la température de la voûte et celle de l'air (S_1).

Les diagrammes (f_{11} à f_{18})⁴ établissent ceci (S_1) :

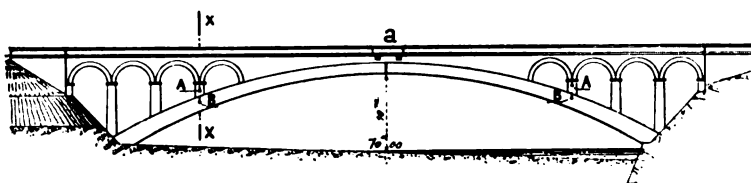
1° — Le corps de la voûte est à la température moyenne des 24^h.

2° — Dans l'année, la variation totale fut de 34° (+26° le 15 août, — 8° au commencement de janvier).

3° — Les mouvements de la clef suivent exactement les variations de la température de la voûte.

Emplacement des thermomètres

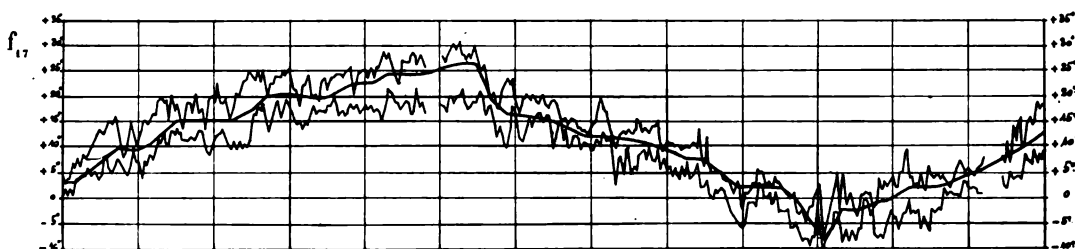
f_{11} — Élévation — 1^{mm}



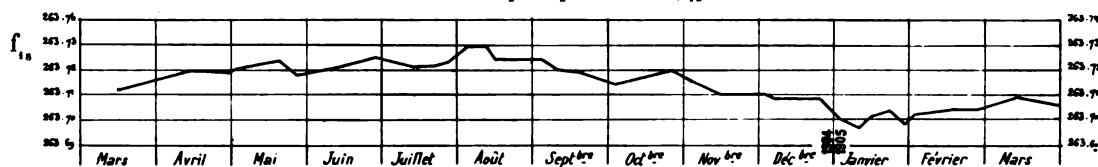
f_{18} — Coupe sur xx de f_{11}



Températures { — maxima et minima de la journée (thermomètre A)
— de la maçonnerie (thermomètre B à 0^m60 de l'extrados de la voûte).



Cote du parapet en a (f_{18})



La variation totale, de la première quinzaine d'août à la première quinzaine de janvier, a été de 33^{mm} (S_1).

M. le Professeur Guidi a calculé ce déplacement par les formules des arcs élastiques, avec le coefficient de dilatation déterminé par Bouniceau pour le granit, 8×10^{-6} .

4. — Gracieusement communiqués par M. le Commandeur Cajo, en janvier 1910.

Il a trouvé : Δb (en mm) = $1,1\tau$

Soit, pour $\tau = 34^\circ$: $\Delta b = 37^{mm}$. On a mesuré 33^{mm} .

Les résultats concordent.

Sous les variations de température, la voûte se comporte réellement comme un solide élastique.

On vient de voir qu'aux épreuves, la clef n'avait baissé que de 2^{mm} : c'est ce qu'aurait produit un refroidissement de 2° .

En janvier 1906, M. l'Ingénieur Figari constata près de chaque culée, au-dessus de la clef d'une voûte d'évidement, deux fissures de 3^{mm} ⁵ environ traversant des moellons de granit et montant jusqu'au parapet (S₁).

B. - Variation du travail par $\overline{0^m01^r}$. — M. le Professeur Guidi (S₁) a calculé, en supposant l'arc élastique, les efforts dans la voûte pour un refroidissement de 34° :

	Naissances		Clef	
	Intrados	Extrados	Intrados	Extrados
Il a trouvé.....	+ 36 ^k	— 39 ^k	— 28 ^k	+ 22 ^k
Sous l'action des surcharges, les efforts	compression	tension	tension	compression
sont (S'') :				
Maximum.....	+ 11 ^{k4}			+ 8 ^{k9}
Minimum.....		— 8 ^{k6}	— 2 ^{k1}	
Ensemble (efforts limites sous la surcharge				
la plus défavorable, avec refroidissement de 34°).	+ 47 ^{k4}	— 47 ^{k6}	— 30 ^{k1}	+ 31 ^k
L'effort sous la charge permanente est (S'').	+ 22 ^{k7}	+ 29 ^{k5}	+ 38 ^{k4}	+ 38 ^{k4}
Effort résultant.....	+ 70 ^{k1}	— 18 ^{k1}	+ 8 ^{k3}	+ 69 ^{k4}

Si la voûte avait été clavée avec un écart de 34° par rapport au jour le plus froid, elle se serait, ce jour-là, ouverte aux reins de l'extrados.

13. Personnel⁶.

Ingénieurs. — *Projet* : M. Giovanni Marro, aidé de M. Fausto Lolli.

(Bureaux de M. l'Ingénieur Rinaldo Rinaldi, Sous-Directeur général des Chemins de fer de l'Etat. — Direction des Travaux d'Ancône).

Direction des Travaux : M. Edouard Garneri, alors Chef de la section d'Entretien de Milan ; — M. Giovanni Raseri.

Entrepreneur : M. Carlo Bregani.

5. — Soit, pour les 4 fissures, environ 12^{mm} .

6. — Renseignements gracieusement communiqués, sur l'invitation de M. le Commandeur Cajo, par M. Ed. Garneri.

SOURCES :

S₁. — Società Italiana per le Strade Ferrate Meridionali, — Linea Colico-Sondrio
« *Ponte in Muratura della luce di metri 70, sul fiume Adda presso Morbegno, al Km. 19 + 979* ».

S'₁. — Atlas de 11 planches.

S''₁. — Relazione dei Calcoli di Resistenza (Janvier 1904).

gracieusement adressés par M. le Commandeur Cajo, alors Directeur des Travaux à Ancône.

S₂. — Il Politecnico, mai 1903, p. 277 et suivantes, Pl. 22.

S₃. — Schweizerische Bauzeitung, 5 septembre 1903, p. 116 à 120 : « *Die neue steinerne Addabrücke bei Morbegno der Eisenbahnlinie Colico-Sondrio* », A. Acatos, Ingenieur.

Le Génie Civil a donné une note extraite de S₃ (n° du 24 octobre 1903, p. 409 et 410) :
« *Pont en maçonnerie sur l'Adda à Morbegno (Italie)* ».

S₄. — « *Influenza della temperatura sulle costruzioni murarie* » (Note de M. le Professeur Guidi, — Académie des Sciences de Turin, — Turin 1906).

S₅. — Il Politecnico, juin 1907 : « *Influenza della temperatura nelle costruzioni in muratura, cemento e cemento armato* », p. 339 et suivantes. (Communication de M. l'Ingénieur L. Figari).

S₆. — Ce que j'ai vu — septembre 1904.

Sur l'invitation de M. le Commandeur Cajo, M. l'Ingénieur Fausto Lolli, de la Direction des Travaux d'Ancône, a bien voulu m'accompagner à Morbegno.

S₇. — Photographies que m'a très aimablement remises M. Fausto Lolli - septembre 1904.

VOÛTES SEMI-ARTICULÉES ¹

ARTICULATIONS A GENOU ¹

ARCS TRÈS SURBAISSÉS ¹




(Suite)

PONTS A PLUSIEURS GRANDES ARCHES
SOUS ROUTE

Série  ⁿ r^{le} ($\geq 40^m$) ¹

1. — Pour le classement des voûtes articulées et le sens des symboles, voir Tome IV, Livre I, p. 28 et 29.

PONT A PLUSIEURS GRANDES ARCHES SOUS ROUTE

PONT	PROJET							
	ENSEMBLE		GRANDES VOÛTES					1° ÉVIDEMENTS DES TYMPANS
	Longueur entre abouts des parapets Déclivités Hauteur maxima de la chaussée au-dessus du sol ou de l'étiage	Largeurs entre parapets entre tympans sous la plinthe Fruit des tympans Revanche de la chaussée sur l'extrados	INTRADOS Portée Montée Surbaissement Rayons	ÉPAISSEURS CORPS ET TÊTES Clef Joints de rupture Retombées	ROTULES Pour les dimensions, rayons, pressions,... voir Tome IV, Livre III.	MATÉRIAUX Mortier Poids, pour 1 ^{me} de sable, de chaux ou de ciment	PRESSIONS en kg/0 ^m 01 ² Hypothèse adoptée Surcharges supposées	
1	2	3	4	5	6	7	8	9
<p>de la Coulouvrenière à Genève <i>Suisse</i> 1895-1896</p> <p> ⁿ ¹ ^{te} $\geq 40^m$ 1</p> <p>2 routes égales de 40^m Entre elles, une arche de 10^m 80 Sur la rive droite, une arche de 12^m</p>	<p>150^m</p> <p>En profil en long, la chaussée est en courbe de 50^m de flèche</p> <p>6^m 46 (R.G.) étiage</p>	<p>$\left\{ \begin{array}{l} 18^m 00 \\ 18^m 70 \end{array} \right.$</p> <p>Pas de fruit</p> <p>0^m 75</p>	<p>$\left\{ \begin{array}{l} 40^m 00 \\ 5^m 40 \\ \frac{1}{7,407} = 0,135 \end{array} \right.$</p>	<p>$\left\{ \begin{array}{l} 1^m 00 \\ 1^m 40 \\ 1^m 20 \end{array} \right.$</p>	<p>Rotules d'acier prises dans des caissons en tôle.</p>	<p>B ¹ fait à la machine</p> <p>Pour 1^{me} de béton, Ciment de Reuchenette et du Pasquier (fin) 425^k Sable de l'Arve.. 0^{me} 5 Gravier de l'Arve 0^{me} 8</p> <p>Résistance à 28 j. 289^k à 302^k</p>	<p>Pression maxima : Clef : 30^k</p> <p>»</p> <p>1000^k/m²</p>	<p>1° 3 étages de 9 voûtes longitudinales en béton, de 1^m 40 sur murs de 0^m 45.</p> <p>Tirants entre tympans.</p> <p>2° Écussons dans les tympans</p>

SÉRIE $A^n r^{1e} (\geq 40m)$

TABLEAU SYNOPTIQUE

EXÉCUTION										CUBE DE MAÇONNERIE A MORTIER			
GRANDES VOÛTES										Q			
FONDATIONS	CINTRES				MODE DE CONSTRUCTION	DÉCINTREMENT État d'avancement du Pont Temps entre le dernier clavage et le décintrement Date	TASSEMENTS DE LA CLEF sur cintre t. au décin- trement t. après t."	DÉPENSE					
	FERMES		Cube de bois Poids de fer Dépenses					D					
	Type	Nombre	Totaux	par mq de douelle 2				Totaux					
	Matière	Épaisseur Ecartement d'axe en axe Surhaussement						et					
Appareils de décintrement							par unité {	de surface utile S _p *	de volume « utile » W *				
10	11	12	13	14	15	16	17	18					
Nature du sol Profondeur sous l'étiage Pressions sur le sol en kg/0m ² Procédé													
Culée rive gauche: Glaise et boue glacière » Pression maxima : 3 ^m 2 Pieux verticaux et obliques *	Fixe	13 » 1 ^m 50	402 ^{mc} pour les 2 arches, non compris couchis et semelles	A pleine épaisseur, entre cloisons distantes de 1 ^m	Voûte rive droite		Maçonnerie au-dessus des voûtes, en cours 79 jours 9 décembre	t _c = 26 ^{mm} (am' 25" aval 24" t" 21 ^{mm} 5 (100 j.) Pile RG Culée RD au décintrement : → 2 ^{mm} après : 5 ^{mm} ↓ → 6 ^{mm}	Q = 19244 ^{mc} Q : S _p = 6 ^{m.9} Q : W = 0 ^{m.7}				
» - 3 ^m 70 sous le lit - 7 à 8 ^m sous l'eau Pression maxima : 2 ^m 2 Épuisements	»				200 ^{mm}	6				Voûte rive gauche		Maçonnerie au-dessus des voûtes, en cours 74 jours 28 janvier	t _c = 19 ^{mm} (am' 30 ^{mm} 5 aval 32" t" 11 ^{mm} 7 (51 j.) Culée RG Pile RD au décintrement : ← 5 ^{mm} 2 ^{mm} ↓ après : ← 1 ^{mm} 5 0
Culée ive droite : » » Pression maxima : 3 ^m 9 »	Boîtes à sable Plâtre entre le piston et la boîte Coins sous les hautes eaux									Pieux			

Pour le calcul de la surface de douelle, voir Avertissement, Tome IV, p. III, n° 7 — A. 3. S_p = Longueur (col. 2) × Largeur entre parapets (col. 3) — C'est la surface offerte à la circulation4. W = Surface vue de l'élévation × Largeur entre parapets.5. W' = Surface de l'élévation au-dessus des fondations × Largeur entre parapets.Pour S_p , W , W' , voir Avertissement, Tome IV, p. III, n° 7 — B.

VOÛTES SEMI-ARTICULÉES ARTICULATIONS A GENOU
ARCS TRÈS SURBAISSÉS
PONTS A PLUSIEURS GRANDES ARCHES SOUS ROUTE

SÉRIE $\bar{A}^{n^{\text{re}}}_{r^{\text{te}}} (\geq 40^{\text{m}})$

MONOGRAPHIES

PONT DE LA COULOUVRENIÈRE, SUR LE RHÔNE, A GENÈVE¹

1895-1896

$\bar{A}^{n^{\text{re}}}_{r^{\text{te}}} (\geq 40^{\text{m}})^1$

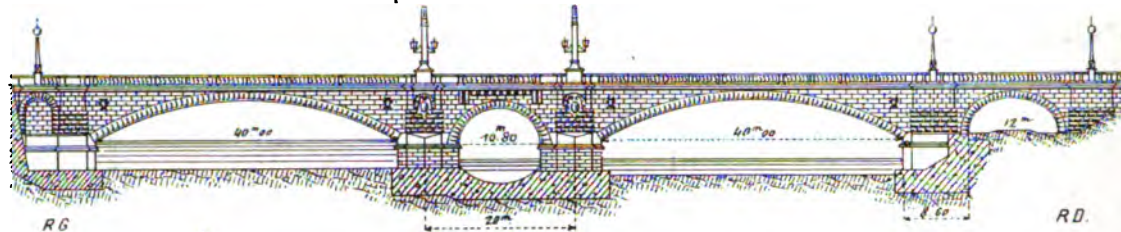
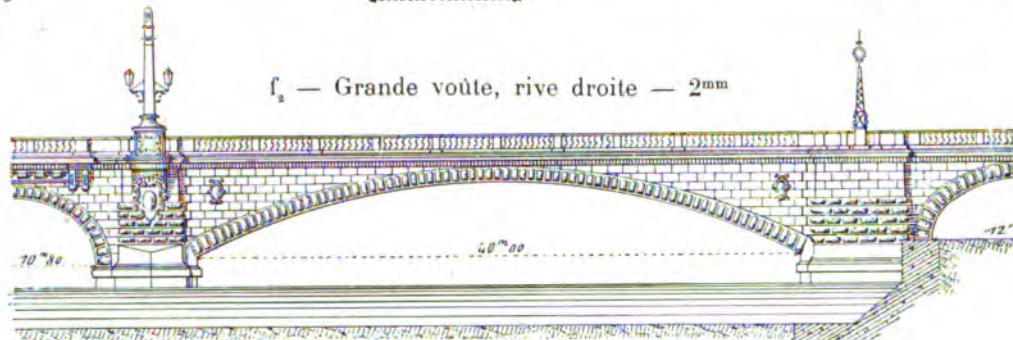
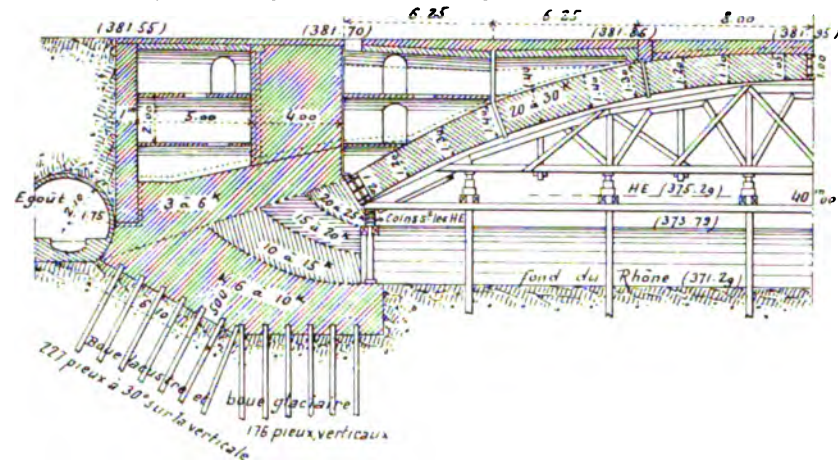
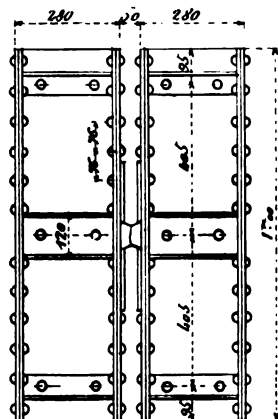
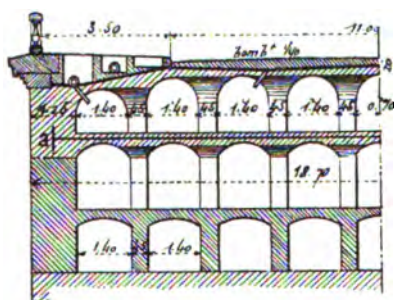
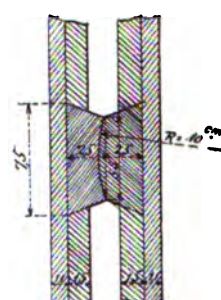


1. Articulations (f_1, f_2). — Les deux grands arcs en béton ont été, pendant la construction, articulés à la clef et aux retombées par des rotules² d'acier prises dans des caissons en tôle ; après décintrement, on a fermé au mortier les joints d'articulation : celui de la clef, avant les épreuves ; les autres, après.

La voûte du milieu ($10^{\text{m}}80$) et celle de rive droite (12^{m}) ont été simplement articulées par des bandes de plomb (S_1).

1. — Entre les Boulevards de Plainpalais (rive gauche) et de James Fazy (rive droite).

2. — « copiées » sur celles du pont de Munderkingen (1893). $\bar{A}^{1^{\text{re}}}_{r^{\text{te}}} (\geq 40^{\text{m}})^1$ — Tome IV (S_1).

f_1 — Ensemble, amont — 1^{mm} f_2 — Grande voûte, rive droite — 2^{mm} f_3 — Demi-coupe en long et cintre de la grande voûte rive gauche — 3^{mm} f_4 — Rotule et caisson — 5^{cm} f_5 — Demi-coupe en travers aux retombées — 5^{mm} f_6 — Rotule — 20^{cm}

2. Voûtes d'évidement (f_1, f_2). — La poussée des voûtes d'évidement sur les tympans est arrêtée par des tirants en fer a (f_1) de 17^m50 de longueur et 35^{mm} de hauteur, disposés tous les mètres et articulés en 3 points (S_1).

3. Matériaux.

A. — Béton. — A_1 . — Grandes voûtes. — Voici les résultats des essais à 28 jours du béton des grandes voûtes (425^k de ciment par m.c. en œuvre).

		Arche rive gauche	Arche rive droite
Résistance	minima.....	230 ^k	250 ^k
	maxima.....	380	420
	moyenne.....	289	302

A 28 jours, la résistance est plus grande dans le sens du pilonnage que dans l'autre.

A 84 jours, elle est la même.

A_2 . — Culées. — Là où la pression dépasse 6^k, le béton est à ciment (200^k à 300^k par mc.) ; ailleurs, à chaux hydraulique de Lafarge ou de Noiraigue (200^k).

B. — Parements des têtes. — Les bossages des bandeaux sont faits d'éclats de pierre noyés dans le béton (S_1).

Les piles sont parementées en pierre jaune de Saint-Ismier (S_2) ; les socles, jusqu'à 0^m30 sous les naissances, sont en granit (blocs erratiques de la région du Salève) ; les tympans, en pierre blanche de Divonne (S_3).

La corniche est en marbre bleu-noir de Saint-Triphon ; les balustres et les colonnes, en granit rose de Baveno.

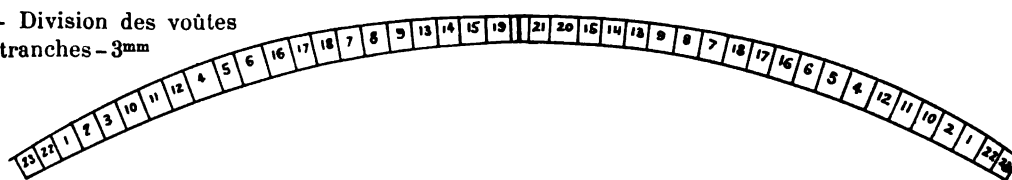
On a mis les moins bons matériaux là où il y a le plus de travail.

4. Fondation de la culée rive gauche. — On y a rencontré de la glaise, puis de la boue lacustre, puis de la boue glaciaire.

On dressa le terrain, horizontalement à l'amont, à 30° environ à l'arrière, et on y battit des pieux.

5. Voûtes. — On les bétonna par tranches de 1^m d'épaisseur environ entre deux cloisons transversales, dans l'ordre des chiffres de f_1 .

f_1 - Division des voûtes
en tranches - 3^{mm}



6. Décintrement.

*A. - Grande arche rive droite*³. — On abaissa d'abord les 6 fermes de rang pair ; puis les impaires dans cet ordre : 1, 5, 9, 13, 3, 7, 11.

Voici les observations faites au décintrement, et après :

Dates		Abaissement des pistons en mm	Mouvements en mm								Observations		
			Pile culée rive gau- che	Arche rive droite						Pile-culée rive droite			
				Naissance rive gau ^{ch}		Clef		Naissance rive droite					
				amont ↓	aval ↓	amont ↓	aval ↓	amont ↓	aval ↓	↓			→
Décin- trement	9 — 5 ^h 15 s	10	0	10	9	12	10	12	9	0	0	On déboulonne les abouts du cintre. Pas de fissures. Joints de dilatation ouverts. On reprend à 1 ^h du soir les descentes des pistons par 20 ^{mm} jusqu'à 100 ^{mm} .	
	10 — 10 ^h 30 m	20		16	14	20	20	18	14	0	0		
	1 ^h s	30		16.6	16	22	23	20	15.6				
		40		18	17	23	23	20	16				
(Décembre 1895)	11 } matin			20	18	25	26	21	18				
	11 } après- midi	100		20	18	25	24	22	17	0	→ 2		
Après décin- trement (1896)	Janvier 30		2			40				0	→ 6		
	Février 14		5			43				1	→ 6		
	Février 29					43.5							

B. - Grande arche rive gauche. — Voici les observations faites au décintrement, et après :

Dates			Abaissement des pistons en mm	Mouvements en mm									Observations			
				Culée rive gauche	Arche rive gauche						Pile culée rive droite					
					à 10 ^m de la clef, côté rive gau ^{ch}		Clef		à 10 ^m de la clef, côté rive droite							
					←	amont ↓	aval ↓	amont ↓	aval ↓	amont ↓		aval ↓		amont ↓	aval ↓	aval ↓
Décin- trement	{	28	{	soir	10			8	6	17	13	9	6	Plus de tassement. On démonte les abouts du cintre.		
		7 ^h 30 m			20					12	11	19	18		12	9
					30					14	13	24	21.6		12.6	11.8
(Janvier 1896)	{	29	{	4 ^h s	50			16	16	28	27	16.6	19.6		2	
		30 — 8 ^h m			←5	2	3	16	17	30.5	32	14	18			
					←6.5		3			37						
Après décin- trement (1896)	{	Février	{	14						41.5						
		29						42.5								
		Mars		{	14				43							
21																

³. — La voûte de 12^m (rive droite) avait été décintree le 17 septembre 1895 ; celle de 10^m 80 du milieu, le 30 septembre.

7. Épreuves (1896).

A - 23-24 mars. — On chargea la voûte rive gauche, à partir de sa retombée rive droite, de 0^m50 de gravier sur les trottoirs⁴, et de 0^m28 sur la chaussée (500^k par m. q.).

B. - 11 avril. — Deux locomotives à voie normale, pesant 75 et 76 tonnes, couvrant ensemble 42^m, ont passé au pas, avec un arrêt de 3 minutes.

On n'a pas constaté de mouvement sous les surcharges.

8. Dates.

		1895
Commencement des travaux.....		mars
Fondations	Battage des pieux	verticaux..... 2 août - 1 ^{er} septembre
		obliques..... 16 octobre - 14 décembre
	Commencement du bétonnage	Culée rive droite.... 1 ^{er} avril
		Massif central..... 26 avril
		Culée rive gauche... 10 septembre

	Voûtes		
	Rive gauche	Centrale	Rive droite
Commencement du montage des cintres	1895 4 novembre	1895 22 juin	1895 17 juillet
Bétonnage des voûtes.....	4-16 nov.	9-16 août	2-21 septembre
Commencement des travaux au-dessus des voûtes.....	18 novembre 1896	22 août	22 septembre
Décintrement.....	28 janvier		9 décembre
Épreuves.....	{ 23-24 mars 11 avril		

On a condamné les articulations : aux clefs, le 18 mars 1896 ; aux naissances, peu après le 24 mars ; inauguré et ouvert à la circulation, le 27 avril 1896.

9. Quantités.

Pierre de taille.....	1.568 ^m
Béton.....	16.058 ^m
Pierres de l'ancien pont, retaillées.....	1.618 ^m
Total.....	19.244 ^m

On a employé 3400 tonnes de ciment et 1570 tonnes de chaux.

4. — Pour tenir compte des parties inachevées. La surcharge sur les trottoirs était ainsi de près de 1000^k par mq.

10. Personnel. — *Projet^s et Direction des Travaux (en régie)* :
M. Constant Buttica, Ingénieur, Directeur des Services industriels de la Ville
de Genève.

Calculs : M. Bois, Ingénieur du Service des Eaux.

Conduite des Travaux : M. de Haller, Ingénieur.

Décoration : M. Bouvier, Architecte de l'Exposition de Genève.

5. — Le projet a été examiné par M. Karl von Leibbrand, de Stuttgart, auteur du pont de Munderkingen \hat{A}^n 1^{re} ($\geq 40^m$)¹, puis choisi entre plusieurs par MM. Ritter, professeur au Polytechnikum de Zurich et Ed. Elskes, Ingénieur à Lausanne.

SOURCES :

S₁. — Pièces qu'a bien voulu me communiquer M. Buttica (juin 1910) :

S'₁. — Mémoire sur le projet et l'exécution ;

S''₁. — Dessins.

S₂. — Génie Civil, 27 juin 1896, p. 129 à 132, Pl. IX : « *Le pont de la Coulourenière.*
« *Nouveau pont en béton sur le Rhône à Genève* », M. Berthier, Ingénieur.

S₃. — Ce que j'ai vu — été 1901.

Texte : Ce qui n'est pas spécifié S₁ ou S₂ est de S₃.

Dessins : f₁ est réduit de S'₁ ; les autres dessins, de S₃.

VOÛTES ARTICULÉES

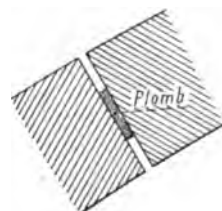
C'EST-A-DIRE ARTICULÉES DE FAÇON PERMANENTE,
SOUS LE POIDS MORT, LES SURCHARGES,
POUR LES VARIATIONS DE TEMPÉRATURE,...

VOÛTES ARTICULÉES

ARTICULATIONS

SUR

PLOMB

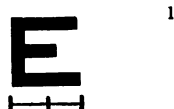


Symbole :



VOÛTES ARTICULÉES
ARTICULATIONS SUR PLOMB ¹

ELLIPSES



PONTS A PLUSIEURS GRANDES ARCHES
SOUS CHEMIN DE FER A VOIE NORMALE

Série $\underline{\mathbf{E}}^n \mathbf{F}^r (\geq 40^m)$ ¹

1. — Pour le classement des voûtes articulées et le sens des symboles, voir Tome IV; Livre V, p. 28 et 29.

PONT A PLUSIEURS GRANDES ARCHES SOUS CHEMIN DE FER

PONT	PROJET							
	ENSEMBLE		GRANDES VOÛTES					1°
	Longueur entre abouts des parapets	Largeurs entre parapets entre tympans sous la plinthe	INTRADOS Portée Montée Surbaissément Rayon	ÉPAISSEURS CORPS ET TÊTES Clef Retombées	BANDES DE PLOMB Épaisseur Largeur Clef Retombées Pour les pressions, voir Tome IV, Livre III.	MATÉRIAUX Mortier Poids, pour 1 ^m c de sable, de chaux ou de ciment	PRESSIONS en kg/0 ^m 01 ² Surcharges supposées	ÉVIDEMENTS DES TYMPANS 2° DÉCORATION DES TÊTES
Date Symbole En quoi consiste l'ouvrage	2	3	4	5	6	7	8	9
de Garching Bavière 1907-1908 Eⁿ Fr (≥ 40^m)¹ 3 voûtes en anse de panier de 33 ^m 89 à 1/2,65, 44 ^m 35 à 1/3,32, 33 ^m 95 à 1/2,58.	141 ^m 95 6 ^m 15 ^m 93	{ 4 ^m 60 3 ^m 80 Fruit : 1/50 0 ^m 80	Au-dessus de l'horizontale des naissances: Anse de panier à 9 centres 44 ^m 35 13 ^m 34 $\frac{1}{3,32} = 0,30$ Rayons à partir de la clef : 33 ^m 70 26 ^m 35 18 ^m 70 Au-dessous du plomb des reins : 15 ^m 50 6 ^m 80 Au-dessus du plomb des reins Arc d'anse de panier à 5 centres 38 ^m 55 7 ^m 23 $\frac{1}{5,33} = 0,187$	1 ^m 10 Pas de renflement au joint de rupture 1 ^m 75	8 ^{mm} 38 ^{cm} 83 ^{cm}	B ¹ « Brückencement » « Stuttgarter Cementfabrik » de Blaubeuren... 1 ^r Sable 2 ^r 5 Gravier 2 ^r 5 Pierre cassée .. 2 ^r 5 Sommiers des articulations : B ¹ 1 ^r - 2 ^r - 2 ^r résistant à 400 ^{kg} /0 ^m 01 ²	Pression maxima : 26 ^k » 8160 ^{kg} /1 ^m c ²	1° Évidement ovale au-dessus des piles 2° Tympans striés de joints creux horizontaux.

1. — Pour le sens de ces abréviations, voir Avertissement, Tome IV, p. II, n° 6.

6. — La courbe est prolongée au-dessous des naissances jusqu'au socle.

VOÛTES ARTICULÉES ARTICULATIONS SUR PLOMB
ELLIPSES

PONTS A PLUSIEURS GRANDES ARCHES
SOUS CHEMIN DE FER A VOIE NORMALE

SÉRIE $E_{II}^n Fr (\geq 40m)$

MONOGRAPHIES

PONT SUR L'ALZ, A GARCHING¹ (BAVIÈRE)

Ligne de Mühldorf à Freilassing

1907-1908

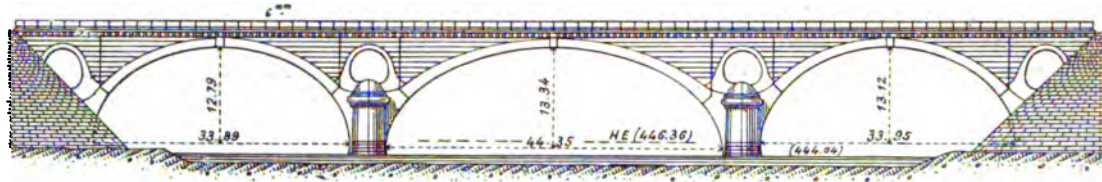
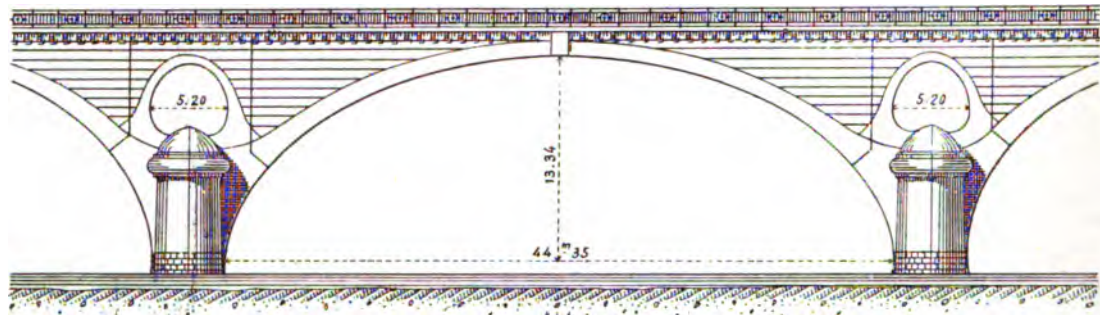
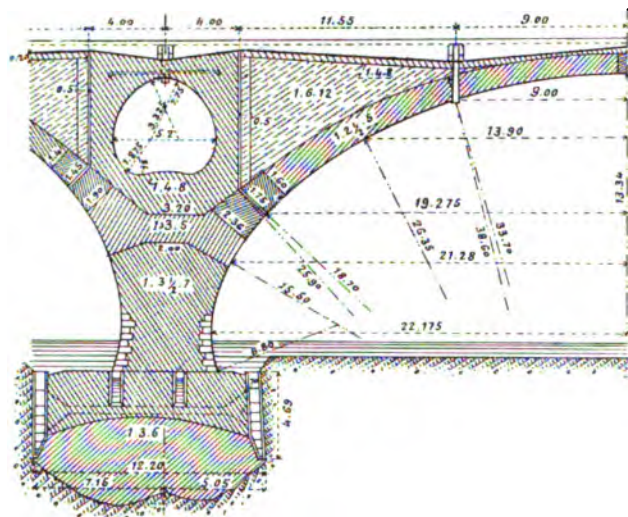
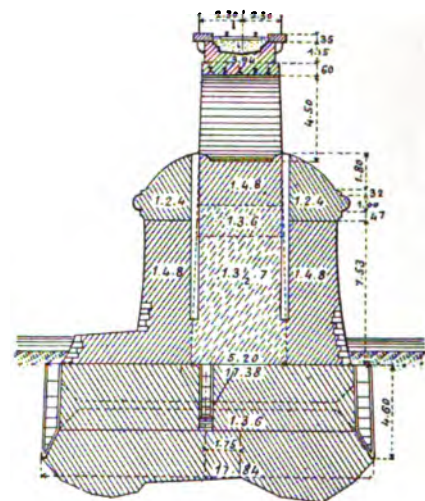
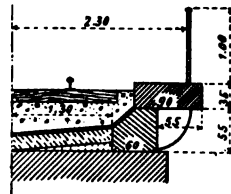
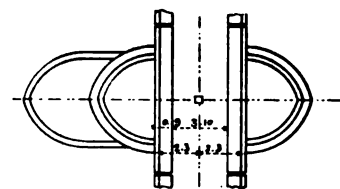
$E_{II}^n Fr (\geq 40m)^1$

$\Phi_1 (S_1)$



1. Quelques observations. — Sauf les parements des piles au-dessous des hautes eaux, qui sont en brèche grossièrement appareillée, tout est en béton (S_1).

1. — Près de la station de Garching, vers Freilassing.

f_1 — Ensemble — 1^m  f_2 — Arche centrale — 2^m  f_3 — Coupe en long — 2^m5  f_4 — Coupe en travers sur l'axe d'une pile — 2^m5  f_5 — Couronnement — 1^m  f_6 — Plan au-dessus d'une pile — 2^m5 

Les fondations sont pour deux voies ; l'élévation, pour la voie aval seule (f₁).
L'énorme tore et le gros chaperon qui couronnent les piles sont bien lourds², surtout sous un évidement.

Ceux d'amont ne sont que posés : si l'on construit le pont amont, on les déplacera (S₁).

Les quarts de cône coupent de façon fâcheuse les derniers évidements (S₂).

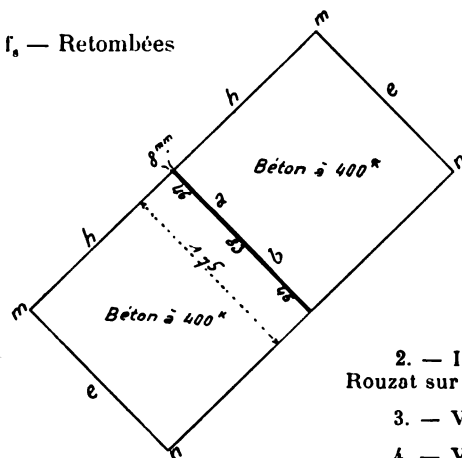
Φ₁ (S₂)



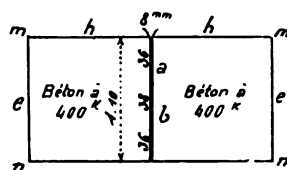
2. Articulations sur plomb³ (S₁). — Ce sont les plus grandes voûtes articulées sur bandes de plomb.

Articulations. — Bandes de plomb et sommiers — 15mm

f₁ — Retombées



f₁ — Clef



Les sommiers ne sont pressés par le plomb que sur *ab*. Sur l'autre face *mn*, à cause du porte-à-faux sur *ab*, il y a tension.

Pour la réduire, il faut *h* assez grand.

$h = \frac{e}{2}$ a paru insuffisant : on a pris $h = e$.⁴

2. — Il y en a d'assez semblables, - mais moins gros, - au pont de Rouzat sur la Sioule (1855).

3. — Voir les expériences sur le plomb, Tome IV, Livre I, p. 8.

4. — Voir les expériences de M. Krüger, Tome IV, Livre I, p. 18.

3. Effort limite admis sur les sommiers en béton (S''). — Le béton des sommiers résiste à 400^k .

Pour un effort réparti sur toute sa surface, on n'eût pas dépassé $\frac{400^k}{8} = 50^k$.

Mais, comme il n'est pressé que sur une partie de cette surface, on a accepté un effort limite de $\frac{400^k}{5} = 80^k$.

4. Résistance du béton (S_1). — La Direction des Chemins de fer imposait la résistance à 28 jours, à charge par l'Entreprise de trouver le dosage.

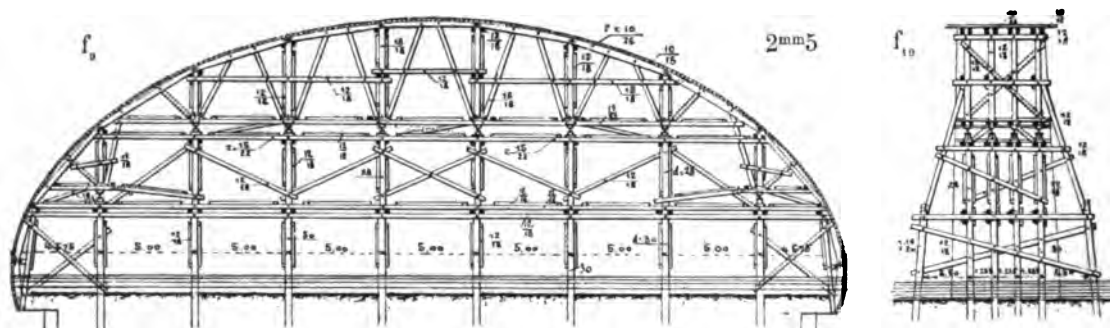
Voici le résultat des essais faits sur des cubes prélevés en cours d'exécution (S_1) :

Composition du béton fait à la machine, à la consistance de terre humide 1 vol de « Brückencement » ⁵ de la « Stuttgarter Cementfabrik » de Blaubeuren			Résistance exigée à 28 jours	Charge de rupture		Épreuves faites :
Sable de l'Alz lavé, trié, de 0 à 7 ^{mm} ; on y a remis le fin, enlevé au lavage	Gravier de l'Alz de 10 à 60 ^{mm} trié et lavé	Pierre cassée de 10 à 50 ^{mm}		à	Kg	
3,5	7	»	150 ^k	15 j 28 j 159 j	166 ^k 170 ^k 264 ^k	sur les chantiers
Piles						
3	5	1	200 ^k	6 j 33 j 138 j	228 ^k 274 ^k 375 ^k	au Laboratoire d'Essais de l'Ecole Polytechnique de Stuttgart
Fondations						
2,5	2,5	2,5	240 ^k	6 j 69 j 153 j	195 ^k 305 ^k 400 ^k	sur les chantiers au Laboratoire d'Essais de l'Ecole Polytechnique de Stuttgart
Corps des voûtes						
2	1	1	400 ^k	7 j 28 j 36 j 154 j	321 ^k 318 ^k 369 ^k 445 ^k	sur les chantiers au Musée industriel de Nuremberg au Laboratoire d'Essais de l'Ecole Polytechnique de Stuttgart
Sommiers des articulations						

Les faces des cubes essayés à Stuttgart étaient exactement dressées.

La pression était toujours exercée dans le même sens que le pilonnage.

5. Cintre (S_1).



5. — Finesse : 16 à 18 % de résidu au tamis de 5000 mailles.

6. Fondations (S₁). — On a descendu par havage un caisson en béton armé, à l'aide d'une drague installée dessus⁶.

Ses déplacements en plan n'ont pas dépassé 14^{cm}.

7. Personnel (S₁). — *Projet et Direction Générale des Travaux* : M. Beutel, Ingénieur en chef de la Construction à la Direction générale des Chemins de fer bavarois, à Munich.

Entrepreneurs : MM. Sager et Woerner, de Munich.

6. — Système proposé par M. Probst, Ingénieur en chef de l'Entreprise.

SOURCES :

S₁. — Dessins d'exécution (S'₁) et renseignements (S'') gracieusement communiqués par M. l'Ingénieur en chef Beutel.

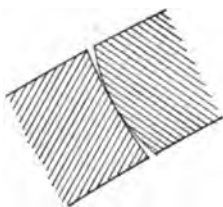
S₁. — « *Mitteilung über die Druckfestigkeit von Betonkörpern, hergestellt während dem Bau der gewölbten Bogenbrücken der Hauptbahn Mühlendorf-Freilassing.... aus Brückencement der Stuttgarter Cementfabrik Blaubeuren.* »

Essais certifiés par M. l'Ingénieur en chef Beutel, le 11 décembre 1908.

S₁. — Ce que j'ai vu — août 1909.

VOÛTES ARTICULÉES

ARTICULATIONS ROULANTES¹



Symbole : ²



Voir Tome IV, Livre I :
1. — p. 10, pour la définition de l'articulation roulante,
2. — p. 28, pour le sens du symbole.

VOÛTES ARTICULÉES
ARTICULATIONS ROULANTES ¹

ELLIPSES ¹



¹

PONTS A PLUSIEURS GRANDES ARCHES
SOUS CHEMIN DE FER A VOIE NORMALE

Série **EⁿF^r** ($\geq 40^m$) ¹

1. — Pour le classement des voûtes articulées et le sens des symboles, voir Tome IV, Livre I, p. 28 et 29.

PONT		PROJET							1° ÉVIDEMENTS DES TYMPANS
		ENSEMBLE		GRANDES VOÛTES					
Date	Symbole	Longueur <i>entre abouts des parapets</i>	Largeurs <i>(entre parapets entre tympan sous la plinthe</i>	INTRADOS <i>Portée</i> <i>Montée</i> <i>Surbaissement</i> <i>Rayon</i>	ÉPAISSEURS CORPS ET TÊTES <i>Clef</i> <i>Joint</i> <i>de rupture</i> <i>Retombées</i>	ROTULES <i>Pour les dimensions, rayons, pressions,... voir Tome IV, Livre III.</i>	MATÉRIAUX <i>Mortier</i> <i>Poids, pour 1^{mc} de sable, de chaux ou de ciment</i>	PRESSIONS <i>en kg/0^{mc}01²</i> <i>Surcharges supposées</i>	2° DÉCORATION DES TÊTES
En quoi consiste l'ouvrage	1	2	3	4	5	6	7	8	9
de Chemnitz <i>Saxe</i> 1898-1900 Eⁿ Fr ($\geq 40^m$) ¹ <i>11 voûtes en anse de panier: 4 de 27^m90; 6 de 26^m65; 1 de 43^m10; toutes articulées.</i>	370 ^m 5 10 ^m 17 ^m	» 4 ^m 00 <i>entre bandeaux</i> » »	Anse de panier à 9 centres Entre appuis : 43 ^m 10 » »	1 ^m 10 1 ^m 50 1 ^m 25	Granit	Béton Ciment..... 1' Sable..... 4' Pierre cassée.. 4'5		1° Pas d'évidements. 2° »	

1. — Pour le sens de ces abréviations, voir Avertissement, Tome IV, p. II, n° 6.

TABLEAU SYNOPTIQUE

4. W = Surface vue de l'élévation \times Largeur entre parapets.
Pour S_p , W , voir Avertissement, Tome IV, p. III, n° 7 - B.

VOÛTES ARTICULÉES ARTICULATIONS ROULANTES
ELLIPSES

PONTS A PLUSIEURS GRANDES ARCHES
SOUS CHEMIN DE FER A VOIE NORMALE

SÉRIE $E^n Fr (\geq 40m)$

MONOGRAPHIES

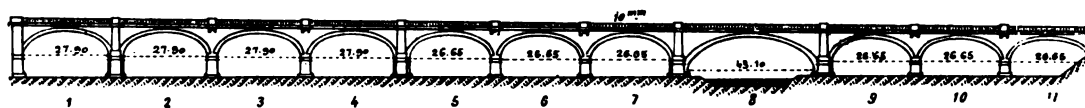
PONT SUR LA CHEMNITZ, A CHEMNITZ (SAXE)

Ligne de Kieritzsch à Chemnitz¹

1898-1900

$E^n Fr (\geq 40m)^1$

f_1 — Ensemble — 0^m4

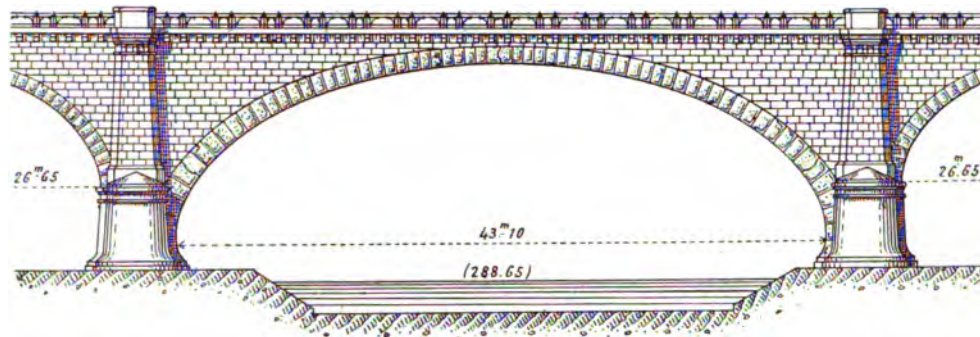


1. — Pour une voie de marchandises.

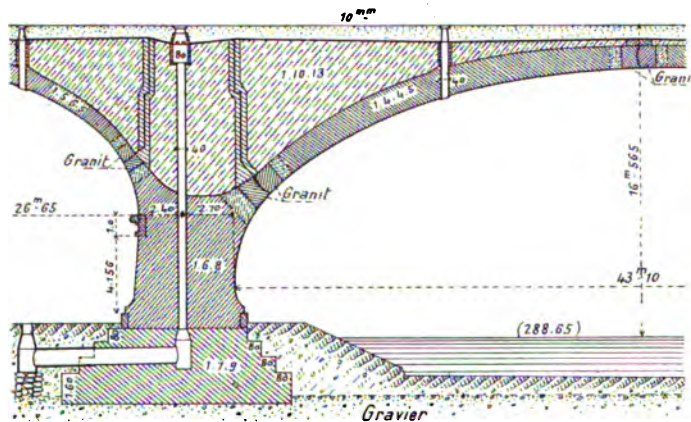
2. — Voûte n° 3 de f_1 .

1. Matériaux. — Tout est en béton, sauf :
 les rotules, qui sont en granit ;
 le couronnement, les chaperons, les cordons au-dessus des piles, qui sont en grès.
 Les têtes sont en mortier de ciment coloré, jouant la pierre de taille.

Grande voûte
 f_1 — Élévation — 2^{mm}



f_2 — Coupe en long — 2^{mm}5



2. Articulations et joints de dilatation.
 — Les 11 voûtes sont articulées sur rotules de granit.

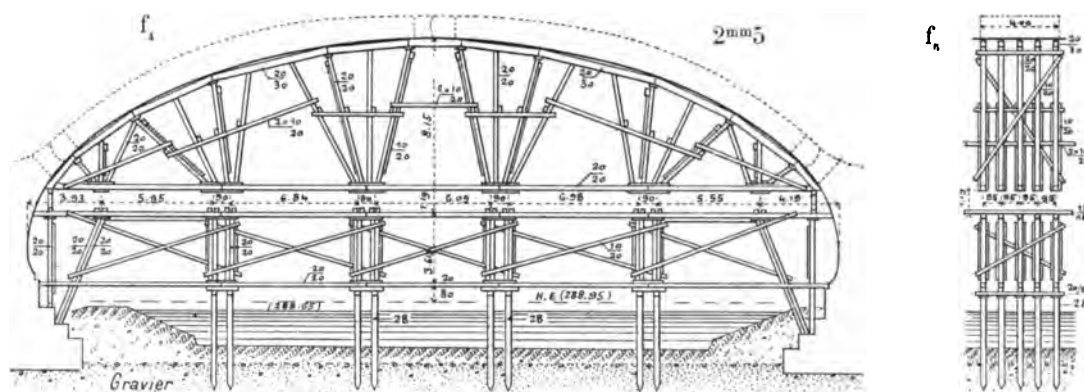
Au-dessus des rotules des reins, un joint vide coupe les tympans : on le voit un peu trop.

3. Béton.

Composition. Efforts.

3. Béton. <i>Composition. Efforts.</i>	Composition Pour 1 ^r de ciment		Pression en Kg/0 ^m 1 ²		
	Sable	Pierre cassée	permise	fissurant des cubes de 40 ^m âgés de :	
				13 semaines	1 an
Fondations.....	7 ^r	9 ^r	»	169 ^k	180 ^k
Piles et parements.....	6 ^r	8 ^r	13 ^k 5	183 ^k	232 ^k
Tympans	10 ^r	13 ^r	»	118 ^k	137 ^k
Voûtes {	de 26 ^m 65 et 27 ^m 90...	5 ^r	25 ^k	208 ^k	260 ^k
	de 43 ^m 10.....	4 ^r	28 ^k 5	253 ^k	Pas de fissure pour 311 ^k
			pas de tension		

4. Cintre.



5. Epreuve de la grande voûte (29 juin 1901).

		Tassement de la clef	Déplacements transversaux
Sous 5 locomotives de 42 ^t	immobiles.....	0 ^{mm} 8	»
	passant lentement.....	0 ^{mm} 2 à 0 ^{mm} 6	»
	passant vite.....	»	0 ^{mm} 5 0 ^{mm} 25 à chaque tête
Sous 1 locomotive de 42 ^t passant vite.....		»	0 ^{mm} 3

6. Personnel.

Direction : Chemins de fer de l'Etat saxon.

Projet et Entreprise : MM. Dyckerhoff et Widmann, de Dresde.

SOURCES :

S₁. — Documents qu'a bien voulu me communiquer M. le Professeur Otto Colberg, de Hambourg — février 1912 :

S'₁. — Dessins.

S''₁. — Notice publiée par la maison Dyckerhoff et Widmann, pour l'Exposition de Dusseldorf en 1902, — p. 31 à 34.

S₂. — Ce que j'ai vu — août 1908.

VOÛTES ARTICULÉES
ARTICULATIONS ROULANTES ¹

ARCS PEU SURBAISSÉS ¹



PONTS A UNE SEULE GRANDE ARCHE
SOUS CHEMIN DE FER A VOIE NORMALE

Série  ¹ **F^r (> 40^m)**

1. — Pour le classement des voûtes articulées et le sens des symboles, voir Tome IV, Livre I, p. 28 et 29.

PONT A UNE SEULE GRANDE ARCHE SOUS CHEMIN DE FER

PONT	PROJET								
	ENSEMBLE			GRANDE VOÛTE					1° ÉVIDEMENTS DES TYMPANS 2° DÉCORATION DES TÊTES
	Longueur <i>entre abouts des parapets</i> Déclivités Hauteur maxima du rail au-dessus du sol ou de l'étiage	Largeurs (entre parapets entre tympans sous la plinthe Fruit des tympans Revanche du rail sur l'extrados	INTRADOS Portée Montée Surbaissement Rayons	ÉPAISSEURS CORPS ET TÊTES Clef Joint de rupture Retombées	ROTULES <i>Pour les dimensions, rayons, pressions,... voir Tome IV, Livre III.</i>	MATÉRIAUX Mortier Poids, pour 1 mc de sable, de chaux ou de ciment	PRESSIONS en kg/0m01 ² Surcharges supposées		
Date	1	2	3	4	5	6	7	8	9
Symbole	1	2	3	4	5	6	7	8	9
de Kempten <i>Bavière</i> 1906	<i>Ponts aval</i>								
	153 ^m 41	{ 16 ^m 75 16 ^m 00	Au-dessus des naissances : Arc d'anse de panier à 11 centres 63^m 80 25 ^m 758 $\frac{1}{2,477} = 0,403$ Rayons : à partir de la clef : 37 ^m 706 89 ^m 25 38 ^m 403 26 ^m 187 au-dessous des rotules : 20 ^m 39 34 ^m 22 Au-dessus des rotules : 50^m 60 8 ^m 85 $\frac{1}{5,517} = 0,174$	1 ^m 35 2 ^m 00 Aux articulations de retombées, Corps : 1 ^m 85 Têtes : 2 ^m 60	Rotules d'acier moulé, appuyées sur des sommiers de béton moulé	Entre rotules		1° Pas d'évidements au-dessus de l'arc articulé. Remplissage en béton maigre à 1 : 12 2° "	
	10 ^m RD RG	4 voies Fruit : 1/45	B ¹ damé Ciment..... 1 ^r Sable 2 ^r 5 Pierre cassée... 5 ^r Pression maxima : 35 ^k Résistance en cubes de 30 ^r , à 28 j. : 291 ^k						
	33 ^m 25 étiage	0 ^m 80	Sommiers des rotules B ¹ moulé Ciment..... 1 ^r Sable 2 ^r Gravier basaltique..... 2 ^r Pression maxima : 66 ^k Résistance à 90 j. : 478 ^k						
<i>Pont amont</i>									
2° Pont amont	»	{ 8 ^m 25 7 ^m 50	Au-dessus des naissances : 64^m 50 27 ^m 576 $\frac{1}{2,339} = 0,428$ Rayons : au-dessous des rotules : 20 ^m 39 36 ^m 42 Le reste comme aux Ponts aval			Pieds-droits, sous les rotules			
	10 ^m RD RG	Fruit : 1/45				1 ^r Ciment et : Sable Pierre cassée Pression maxima : Sommet 3 6 26 ^k Base 4 8 19 ^k Fondations 5 9 8 ^k 2			
	31 ^m 39 étiage	»				Ciment Dyckerhoff et fils, de Karlsruhe	Surcharge par mc ³ de voie : Locomotives : 8160 ^k Wagons : 3810 ^k		

A VOIE NORMALE

SÉRIE \hat{A}^1 $F^r (\geq 40^m)$

TABLEAU SYNOPTIQUE

EXÉCUTION											CUBE DE MAÇONNERIE A MORTIER	
GRANDE VOÛTE											Q	
CINTRE											DÉPENSE	
FERMES											D	
Cube de bois Poids de fer Dépenses											Totaux et par unité { de surface utile S _p , de volume « utile » W ,	
MODE DE CONSTRUCTION											Tassements totaux à comparer avec le surhaussement	
ÉTAT D'AVANCEMENT DU PONT											Tassements sur cintre t _c au décin- trement t' après t''	
TEMPS ENTRE LE DERNIER CLAVAGE ET LE DÉCINTREMENT											Tassements totaux à comparer avec le surhaussement	
Date											Tassements totaux à comparer avec le surhaussement	
Date											Tassements totaux à comparer avec le surhaussement	
Date											Tassements totaux à comparer avec le surhaussement	
Date											Tassements totaux à comparer avec le surhaussement	
Date											Tassements totaux à comparer avec le surhaussement	
Date											Tassements totaux à comparer avec le surhaussement	
Date											Tassements totaux à comparer avec le surhaussement	
Date											Tassements totaux à comparer avec le surhaussement	
Date											Tassements totaux à comparer avec le surhaussement	
Date											Tassements totaux à comparer avec le surhaussement	
Date											Tassements totaux à comparer avec le surhaussement	
Date											Tassements totaux à comparer avec le surhaussement	
Date											Tassements totaux à comparer avec le surhaussement	
Date											Tassements totaux à comparer avec le surhaussement	
Date											Tassements totaux à comparer avec le surhaussement	
Date											Tassements totaux à comparer avec le surhaussement	
Date											Tassements totaux à comparer avec le surhaussement	
Date											Tassements totaux à comparer avec le surhaussement	
Date											Tassements totaux à comparer avec le surhaussement	
Date											Tassements totaux à comparer avec le surhaussement	
Date											Tassements totaux à comparer avec le surhaussement	
Date											Tassements totaux à comparer avec le surhaussement	
Date											Tassements totaux à comparer avec le surhaussement	
Date											Tassements totaux à comparer avec le surhaussement	
Date											Tassements totaux à comparer avec le surhaussement	
Date											Tassements totaux à comparer avec le surhaussement	
Date											Tassements totaux à comparer avec le surhaussement	
Date											Tassements totaux à comparer avec le surhaussement	
Date											Tassements totaux à comparer avec le surhaussement	
Date											Tassements totaux à comparer avec le surhaussement	
Date											Tassements totaux à comparer avec le surhaussement	
Date											Tassements totaux à comparer avec le surhaussement	
Date											Tassements totaux à comparer avec le surhaussement	
Date											Tassements totaux à comparer avec le surhaussement	
Date											Tassements totaux à comparer avec le surhaussement	
Date											Tassements totaux à comparer avec le surhaussement	
Date											Tassements totaux à comparer avec le surhaussement	
Date											Tassements totaux à comparer avec le surhaussement	
Date											Tassements totaux à comparer avec le surhaussement	
Date											Tassements totaux à comparer avec le surhaussement	
Date											Tassements totaux à comparer avec le surhaussement	
Date											Tassements totaux à comparer avec le surhaussement	
Date											Tassements totaux à comparer avec le surhaussement	
Date											Tassements totaux à comparer avec le surhaussement	
Date											Tassements totaux à comparer avec le surhaussement	
Date											Tassements totaux à comparer avec le surhaussement	
Date											Tassements totaux à comparer avec le surhaussement	
Date											Tassements totaux à comparer avec le surhaussement	
Date											Tassements totaux à comparer avec le surhaussement	
Date											Tassements totaux à comparer avec le surhaussement	
Date											Tassements totaux à comparer avec le surhaussement	
Date											Tassements totaux à comparer avec le surhaussement	
Date											Tassements totaux à comparer avec le surhaussement	
Date											Tassements totaux à comparer avec le surhaussement	
Date											Tassements totaux à comparer avec le surhaussement	
Date											Tassements totaux à comparer avec le surhaussement	
Date											Tassements totaux à comparer avec le surhaussement	
Date											Tassements totaux à comparer avec le surhaussement	
Date											Tassements totaux à comparer avec le surhaussement	
Date											Tassements totaux à comparer avec le surhaussement	
Date											Tassements totaux à comparer avec le surhaussement	
Date											Tassements totaux à comparer avec le surhaussement	
Date											Tassements totaux à comparer avec le surhaussement	
Date											Tassements totaux à comparer avec le surhaussement	
Date											Tassements totaux à comparer avec le surhaussement	
Date											Tassements totaux à comparer avec le surhaussement	
Date											Tassements totaux à comparer avec le surhaussement	
Date											Tassements totaux à comparer avec le surhaussement	
Date											Tassements totaux à comparer avec le surhaussement	
Date											Tassements totaux à comparer avec le surhaussement	
Date											Tassements totaux à comparer avec le surhaussement	
Date											Tassements totaux à comparer avec le surhaussement	
Date											Tassements totaux à comparer avec le surhaussement	
Date											Tassements totaux à comparer avec le surhaussement	
Date											Tassements totaux à comparer avec le surhaussement	
Date											Tassements totaux à comparer avec le surhaussement	
Date											Tassements totaux à comparer avec le surhaussement	
Date											Tassements totaux à comparer avec le surhaussement	
Date											Tassements totaux à comparer avec le surhaussement	
Date											Tassements totaux à comparer avec le surhaussement	
Date											Tassements totaux à comparer avec le surhaussement	
Date											Tassements totaux à comparer avec le surhaussement	
Date											Tassements totaux à comparer avec le surhaussement	
Date											Tassements totaux à comparer avec le surhaussement	
Date											Tassements totaux à comparer avec le surhaussement	
Date											Tassements totaux à comparer avec le surhaussement	
Date											Tassements totaux à comparer avec le surhaussement	
Date											Tassements totaux à comparer avec le surhaussement	
Date											Tassements totaux à comparer avec le surhaussement	
Date											Tassements totaux à comparer avec le surhaussement	
Date											Tassements totaux à comparer avec le surhaussement	
Date											Tassements totaux à comparer avec le surhaussement	
Date											Tassements totaux à comparer avec le surhaussement	
Date											Tassements totaux à comparer avec le surhaussement	
Date											Tassements totaux à comparer avec le surhaussement	
Date											Tassements totaux à comparer avec le surhaussement	
Date											Tassements totaux à comparer avec le surhaussement	
Date											Tassements totaux à comparer avec le surhaussement	
Date											Tassements totaux à comparer avec le surhaussement	
Date											Tassements totaux à comparer avec le surhaussement	
Date											Tassements totaux à comparer avec le surhaussement	
Date											Tassements totaux à comparer avec le surhaussement	
Date											Tassements totaux à comparer avec le surhaussement	
Date											Tassements totaux à comparer avec le surhaussement	
Date											Tassements totaux à comparer avec le surhaussement	
Date											Tassements totaux à comparer avec le surhaussement	
Date											Tassements totaux à comparer avec le surhaussement	
Date											Tassements totaux à comparer avec le surhaussement	
Date											Tassements totaux à comparer avec le surhaussement	
Date											Tassements totaux à comparer avec le surhaussement	
Date												

Pour le calcul de la surface de douelle, voir Avertissement, Tome IV, p. III, n° 7 — A. 3. S_p = Longueur (col. 2) \times Largeur entre parapets (col. 3) — C'est la surface offerte à la circulation

4. W = Surface vue de l'élévation \times Largeur entre parapets. 5. W' = Surface de l'élévation au-dessus des fondations \times Largeur entre parapets

Pour S , W , W' , voir Avertissement, Tome IV, p. III, n° 7 — B.

VOÛTES ARTICULÉES ARTICULATIONS ROULANTES
ARCS PEU SURBAISSÉS

PONTS A UNE SEULE GRANDE ARCHE
SOUS CHEMIN DE FER A VOIE NORMALE

SÉRIE \hat{A}^1 $F^r \geq 40^m$

MONOGRAPHIES

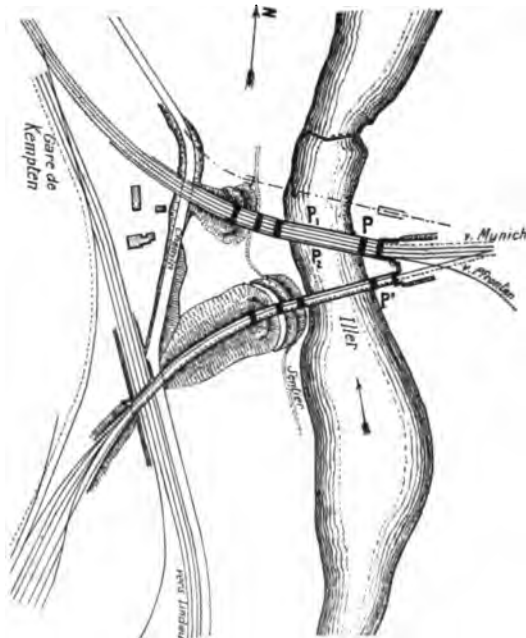
3 PONTS SUR L'ILLER, PRÈS DE LA GARE DE KEMPTEN (BAVIÈRE)

1906

\hat{A}^1 $F^r \geq 40^m$ 1, 2, 3

1. Emplacement des trois ponts (f_1). — La ligne Munich-Kempten traversait l'Iller, d'abord sur une poutre Howe en bois, puis sur un pont en fer devenu à son tour insuffisant pour les nouvelles machines.

f_1 — Plan d'ensemble — 0^m15



Pour le remplacer, on a construit :

en P (f_1), deux ponts à 2 voies P_1 , P_2 , de même portée : 63^m80; de même largeur entre têtes : 7^m95; à 10^m l'un de l'autre, sur fondation commune (S_1);

en P', un troisième pont à deux voies, à 1^m82 (S_2) plus haut que les ponts P, de 64^m50 de portée, de 7^m50 de largeur entre têtes.

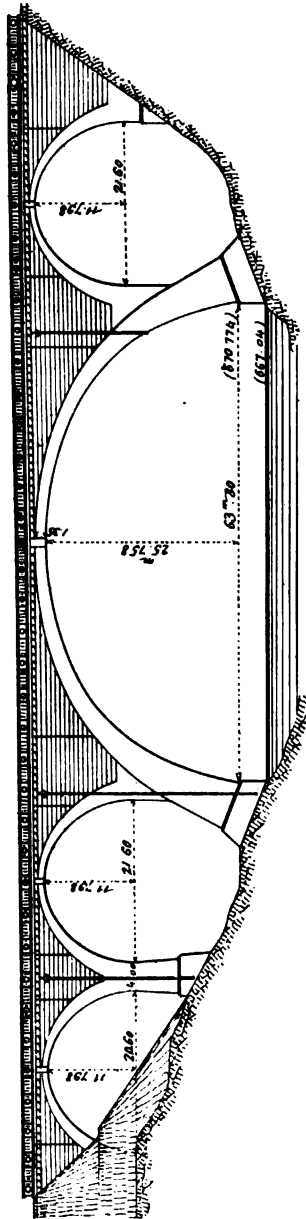
2. Dispositions communes.

Les 3 ponts sont en béton.

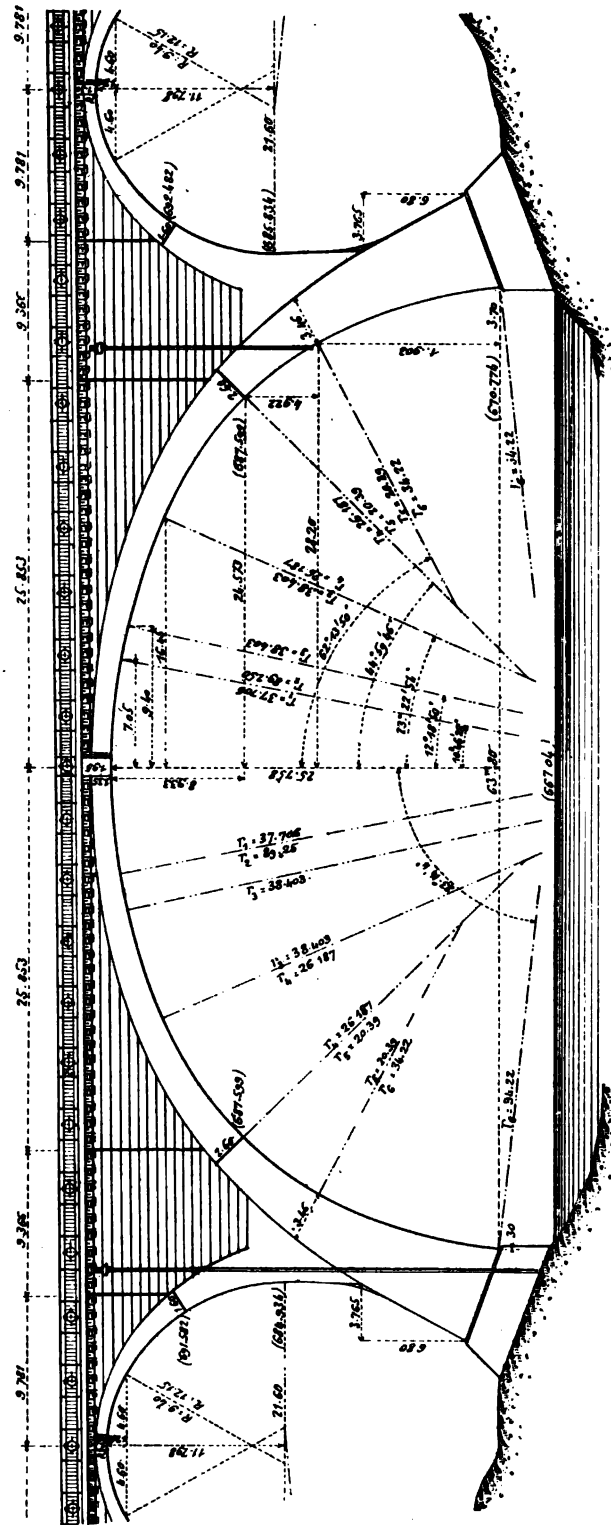
Les voûtes, grandes et petites, sont articulées à la clef et aux reins; toutes sont en arc sur culées en surplomb.

Il est très évident qu'on ne s'est pas préoccupé de l'aspect (S_3).

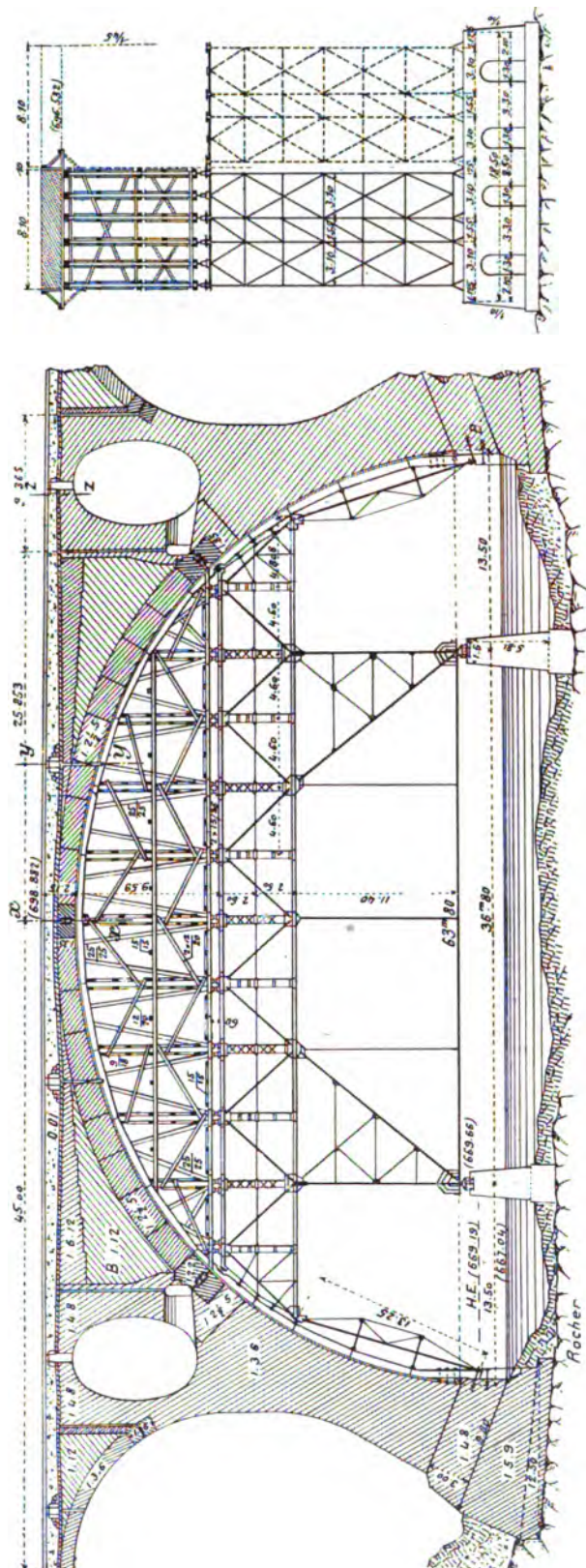
Ponts aval P (P_1 , P_2 , — f_1)
 f_1 — Ensemble — 1^{mm}



f_2 — Grande voûte — 2^{mm}

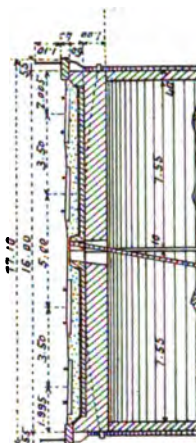


f_s — Coupe en travers
sur xx de f_s — 2mm

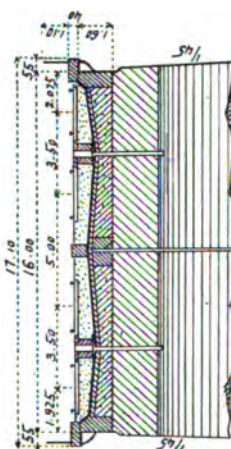


Coupes en travers

sur \mathbb{R} de f , — 3^{em}



sur yy de f , — 3^{mm}



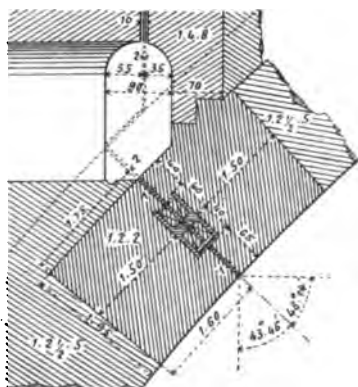
$\Phi, (S_1)$ — Pont amont P' (de f_1)



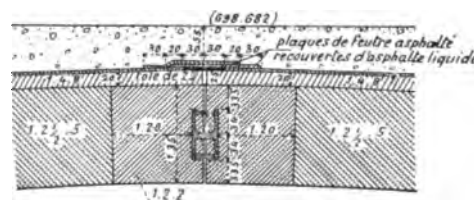
4. Joints de dilatation des tympans. — Au-dessus des rotules, les tympans et le remplissage sont coupés par des joints de dilatation de 2^m, fermés par une tôle galvanisée de 2^{mm} d'épaisseur, 60^{cm} de largeur, recouverte de deux feuilles de feutre asphalté (f_{11}).

Rotules et sommiers — 1^m (S_1)

f_{10} — Retombées



f_{11} — Clef



5. **Sommiers en béton des rotules.** — On avait imposé à l'Entreprise une résistance de 400^k à 28 jours.

Voici le résultat des essais :

A. — Cubes de béton de 30^m :

Composition 1 vol ciment Dyckerhoff et fils et :				Résistance à l'écrasement, en $Kg/\overline{0^m01^2}$			
Sable (7^{mm})		Gravier ou Pierre cassée (1/3 de 7 à 15^{mm} ; 2/3 de 15 à 25^{mm})		à 28 jours, avec sable :		à 90 jours, avec sable :	
Provenance	Dosage	Provenance	Dosage	non lavé	lavé	non lavé	lavé
Heising	1	Pierre cassée basaltique d'Immendingen	1 1/4	348	372	418	468
	1 1/2		1 1/2	346	367	432	447
	2		2	343	350	413	478
	1	Dolomite de Pfronten	1 1/4		329		390
	1 1/2		1 1/2		314		381
	2		2		283		351
	1	Gravier de Heising	1 1/4	344	324	406	401
	1 1/2		1 1/2	313	317	374	393
	2		2	304	311	344	389
basaltique d'Immendingen	1	Pierre cassée Basalte	1 1/4	339	343	444	489
	1 1/2		1 1/2	282	339	401	494
	2		2	241	331	352	469

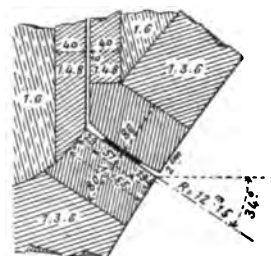
B. — Cubes de mortier de 10^m :

1 vol. ciment Dyckerhoff et fils et :	Dosage				
Sable de Heising.....	2 1/2	457	462	542	521
	4	371	314	397	466
Pierre écrasée de Heising.....	2 1/2	304		369	
	4	261		284	
Dolomite écrasée de Pfronten.....	2 1/2	330		408	
	4	267		331	
Sable de Heising et dolomite écrasée de Pfronten	2 1/2	368		431	
par moitié.....	4	273		309	

On a accepté 350^k au dosage 1', 2', 2' (*chiffres en italiques du tableau A*).

6. Articulations sur plomb et joints de dilatation des voûtes

$f_{1,2}$
Retombée
d'une voûte
latérale
1^{cm}



latérales. — Ces voûtes sont articulées par des bandes de plomb¹ de 8^{mm} d'épaisseur, 35^m (S_1) de largeur à la clef et 57^m aux retombées, posées entre des sommiers de béton : elles travaillent à 29^k par $\overline{0^m01^2}$ à la clef, à 48^k aux reins.

1. — Aux essais faits à Munich, des plaques carrées du même plomb, de 10^m de côté, 8^{mm} d'épaisseur, ne cédaient qu'à 425^k .

7. Cintre. — Le cintre, pesant 250 tonnes, a été déplacé parallèlement, du pont P_1 sous le pont P_2 , puis démonté et remonté sous le pont P' (f_1).

Il était calculé pour supporter une fois $1/2$ le poids des voûtes.

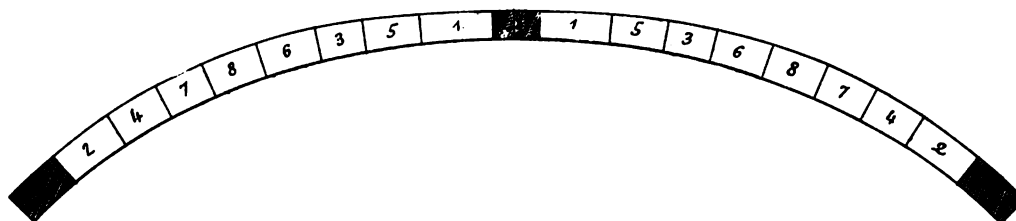
L'effort limite admis par 0^m01^2 était :

pour le fer.....	1200 ^k
pour le bois { dans le sens des fibres.....	28 ^k
{ dans le sens perpendiculaire.....	12 ^{k 2}

On n'a pas chargé le cintre.

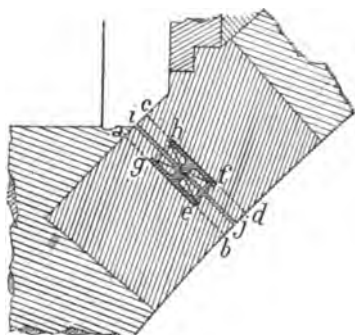
8. Exécution des grandes voûtes. — Chaque grande voûte a été construite à pleine épaisseur, en 16 tranches symétriques, chaque tranche en une seule journée, dans l'ordre des chiffres de f_{11} .

f_{11} — Ordre d'exécution des tranches — $2^m m 5$



Pendant la construction, les deux parties d'une même rotule étaient solidarisées par des boulons de $16^m m$.

f_{11} — Bétonnage
entre les sommiers d'articulation
 1^m (S_2)



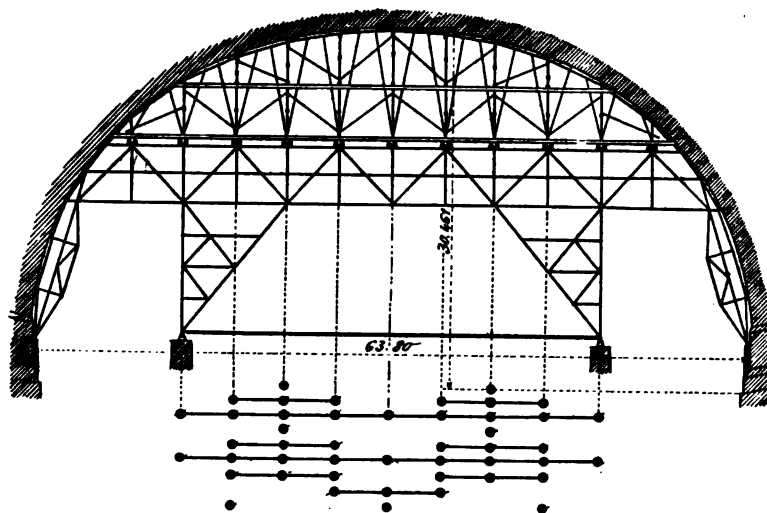
Avant de bétonner l'intervalle entre les lits ab et cd (f_{11}), on réservait, suivant le lit ij de contact des rotules, un intervalle libre de 1^m05 , par des plaques de liège de 1^m entre feuilles de zinc de $0^m m 25$. Quand le béton arrivait aux boulons condamnant les rotules, on les sciait, puis on achevait de bétonner.

9. Décintrement. — On décintra entre rotules, avant de construire les tympans, 6 semaines après le clavage, en allant du milieu de chaque demi-voûte vers sa clef et vers sa retombée³.

2. — Au Pont Cornélius [\hat{A}^n r^{te} ($\geq 40^m$)³], les semelles s'étaient écrasées sous 26^k (S_2).

3. — C'était considérer l'arc à 3 articulations comme formé de deux voûtes à 2 articulations.

f_{1s} — Marche du décintrement — 1^m5



Les points réunis par un trait horizontal sous le croquis f_{1s} ont été abaissés en même temps de la même quantité.

On ne constata pas de fissures.

14 jours après, on décintra au-dessous des rotules.

Au décintrement, les voûtes travaillent à 18^k7 à la compression et à 1^k4 à la traction.

10. Quantités. — Voici le cube du béton employé dans les 3 ponts :

Fondations.....	4.500 ^{m³}
Pieds-droits avec leurs appuis.....	11.000
Grandes voûtes.....	2.500
Petites voûtes.....	1.600
Tympan et remplissage.....	4.200
Total.....	23.800 ^{m³}

11. Personnel.

Projet et Direction générale des Travaux : M. Beutel, Ingénieur en chef de la Construction à la Direction Générale des Chemins de fer bavarois, à Munich.

Direction immédiate : M. Gumprich, « Regierungs-Rat » à Kempten ;
M. Endres, « Gen^{al} Dir^{on} Rat » à Munich.

La partie métallique du cintre a été projetée et exécutée par les Etablissements de construction de ponts de Gustavsborg (Usines réunies d'Augsbourg et Nuremberg).

Entrepreneurs : Ponts P_1 , P_2 (de f_1) : MM. A. Kunz et C^{ie}, de Kempten ;
Pont P' (de f_1) : MM. Dyckerhoff et Widmann, de Karlsruhe.

SOURCES :

S_1 . — Dessins d'exécution gracieusement remis par MM. Beutel et Kunz.

S_2 . — Deutsche Bauzeitung, 1906, 21 avril, p. 219 à 222 ; — 28 avril, p. 232 à 236 ; — 12 mai, p. 261 à 264 : « Die Illerbrücken bei Kempten in Allgäu », von Regierungs-Baumeister a. D. Colberg, Direktor der Firma Dyckerhoff und Widmann, Karlsruhe.

S_3 . — Ce que j'ai vu — août 1908.

Ce pont a été décrit dans le Génie Civil du 16 février 1907, p. 257 à 260, Pl. XVI : « Ponts en béton à 3 rotules, sur l'iller, à Lautrach et à Kempten (Bavière) » A. C.

Texte : Ce qui n'est pas spécifié S_3 est de S_2 .

Dessins : Ils sont réduits de S_1 et rectifiés d'après S_2 pour les modifications en cours d'exécution.

VOÛTES ARTICULÉES
ARTICULATIONS ROULANTES¹

ARCS TRÈS SURBAISSÉS¹






¹

PONTS A UNE SEULE GRANDE ARCHE
SOUS ROUTE

Série ¹ r^{te} ($\geq 40^m$)¹

1. ... Pour le classement des voûtes articulées et le sens des symboles, voir Tome IV, Livre I, p. 28 et 29.

PONT A UNE SEULE GRANDE ARCHE SOUS ROUTE

PONT	PROJET							
	ENSEMBLE		GRANDE VOÛTE					1° ÉVIDEMENTS DES TYMPANS
	Longueur entre abouts des parapets Déclivités Hauteur maxima de la chaussée au-dessus du sol ou de l'étiage	Largeurs entre parapets entre tympans sous la plinthe Fruit des tympans Revanche de la chaussée sur l'extrados	INTRADOS Portée Montée Surbaissement Rayons	ÉPAISSEURS CORPS ET TÊTES Clef Joints de rupture Retombées	ROTULES Pour les dimensions, rayons, pressions,... voir Tome IV, Livre III.	MATÉRIAUX Mortier Poids, pour 1 ^m c de sable, de chaux ou de ciment	PRESSIONS en kg/0 ^m 01 ² Surcharges supposées	
1	2	3	4	5	6	7	8	9
de Grasdorf <i>Hanovre</i> 1899-1900  1 ^{re} (≥ 40 ^m) ¹	64 ^m 20 ^m 20 ^m Palier sur 4 ^m à la clef	$\left\{ \begin{array}{l} 6^m 00 \\ 6^m 00 \end{array} \right.$ Pas de fruit	Arc de cercle. Entre appuis : $\left\{ \begin{array}{l} 40^m 00 \\ 4^m 50 \\ \frac{1}{8,88} = 0,112 \end{array} \right.$ Entre axes des rotules : $\left\{ \begin{array}{l} 40^m 386 \\ 4^m 518 \\ \frac{1}{8,93} = 0,111 \end{array} \right.$ 46 ^m 694	$\left\{ \begin{array}{l} 0^m 85 \\ 1^m 16 \\ 0^m 90 \end{array} \right.$	Granit	B ¹ Ciment Portland 1 ^r Sable de la Leine 2 ^r 5 Basalte cassé... 4 ^r Résistance : à 42 j..... 178 ^k à 96 j..... 228 ^k	Pression maxima dans la voûte : 37 ^k Surcharges : 2 tuyaux de conduite ; 400 ^k /1 ^m ² ; Voiture de 20 ^t à essieux de 1 ^m 50 espacés de 4 ^m	1° 10 voûtes transversales vues, en plein cintre 8 de 1 ^m 30, 2 de 1 ^m 40, sur piles de 0 ^m 60. 2° »
de Göhren <i>Saxe</i> 1903-1904  1 ^{re} (≥ 40 ^m) ²	76 ^m 90 35 ^m 35 ^m 7	$\left\{ \begin{array}{l} 5^m 40 \\ 5^m 40 \end{array} \right.$ Pas de fruit	Arc d'anse de panier. Entre appuis : $\left\{ \begin{array}{l} 60^m 00 \\ 6^m 75 \\ \frac{1}{8,88} = 0,112 \end{array} \right.$ Entre axes des rotules : $\left\{ \begin{array}{l} 60^m 56 \\ 6^m 80 \\ \frac{1}{8,89} = 0,112 \end{array} \right.$	$\left\{ \begin{array}{l} 1^m 10 \\ 1^m 50 \\ 1^m 20 \end{array} \right.$	Granit	Voûte en petits moellons Aux têtes, crépi simulant de grandes PT ¹ Ciment — 0 ^m c4	Pressions : sans surcharge : MAX. moy. Clef 31 ^k 30 ^k 1 Joints de rupt. 30 ^k 6 28 ^k 5 Retom- bées 33 ^k 5 28 ^k 1 avec surcharge : MAX. moy. Clef 35 ^k 7 34 ^k 9 Joints de rupt. 39 ^k 1 37 ^k 8 Retom- bées 40 ^k 2 33 ^k 1 400 ^k /1 ^m ² Rouleau de 30 ^t	1° 6 voûtes transversales vues, en plein cintre de 2 ^m , 2 ^m 40, 2 ^m 80 sur piles de 0 ^m 90 et 1 ^m 00 2° »
de la Wallstrasse à Ulm <i>Wurtemberg</i> 1904-1905  1 ^{re} (≥ 40 ^m) ³	90 ^m 50 10 ^m 44 ^m Palier sur 5 ^m à la clef	$\left\{ \begin{array}{l} 10^m 00 \\ 8^m 80 \end{array} \right.$ Fruit : 1/20	Anse de panier à 7 centres. Entre appuis : $\left\{ \begin{array}{l} 65^m 448 \\ 11^m 942 \\ \frac{1}{5,48} = 0,182 \end{array} \right.$ Au-dessus des rotules : Arc d'anse de panier à 5 centres $\left\{ \begin{array}{l} 57^m 00 \\ 5^m 80 \\ \frac{1}{9,827} = 0,101 \end{array} \right.$ Rayons à partir de la clef : 60 ^m , 80 ^m , 20 ^m au-dessus des rotules : 5 ^m	$\left\{ \begin{array}{l} 1^m 06 \\ 1^m 60 \\ 1^m 50 \end{array} \right.$	Acier moulé	B ¹ Ciment..... 1 ^r de Blaubeuren Sable du Danube 3 ^r Pierre cassée calcaire..... 5 ^r Densité : 2400 ^k Au voisinage des articulations : Ciment..... 1 ^r Sable..... 1 ^r Pierre cassée... 2 ^r 5 (porphyre) Densité : 2300 ^k	Pression maxima : 40 ^k Sur les trottoirs : 450 ^k /1 ^m ² sur la chaussée : 400 ^k /1 ^m ² Rouleau à vapeur de 18 ^t	1° Plate-forme de 16 ^m en béton armé, sur piliers carrés de 30 à 45 ^m d'arête, en béton armé 2° »

1. — Pour le sens de ces abréviations, voir Avertissement, Tome IV, p. II, n° 6.

SÉRIE $\bar{A}^1 r^{te} (\geq 40^m)$

TABLEAU SYNOPTIQUE

EXÉCUTION								CUBE DE MAÇONNERIE A MORTIER	
FONDACTIONS	GRANDE VOÛTE							Q DÉPENSE D Totaux et par unité { de surface utile S_p^* de volume « utile » W^*	
	CINTRE				MODE DE CONSTRUCTION	DÉCINTREMENT État d'avancement du pont Temps entre le dernier clavage et le décintrement Date	TASSEMENTS DE LA CLEF sur cintre t_c au décin- trement après t'_c t''_c		
	FERMES		Cube de bois Poids de fer Dépenses						
	Type Matière Appareils de décintrement	Nombre Épaisseur Ecartement d'axe en axe Surhaussement	Totaux	par mq de douelle ²					
10	11	12	13	14	15	16	17	18	
Nature du sol Profondeur sous l'étiage Pressions sur le sol en kg. 0^m01² Procédé	Fixe	5 18 ^{cm} 1 ^m 45 90 ^{mm}			A pleine épaisseur, en 16 tranches symétriques construites à partir des retombées Béton pilonné par couches horizontales de 20 ^{cm}	Tympan achevés 49 jours 12 septembre	$t_c = 55^{mm}$ $t'_c = 24^{mm}$ $t''_c = 32^{mm}$ (129 j.)	Fondations : 1050 ^{mc} Élévation : 2000 ^{mc} Q = 3050 ^{mc} Q : $S_p = 7^{mc} 94$ Q : W = 1 ^{mc} 09 D = 113 158 ^f (Forfait) D : $S_p = 294' 7$ D : W = 40' 4 D : Q = 37' 1	
Gravier sablonneux 1 ^m 30 au-dessus de la marne Pression : 4^k à 5^k sans tenir compte de la poussée des terres	Montants et contrefiches Sapin Boîtes à sable (grillé) placées entre billots la veille du décintrement								
Rocher (Granulite) - 4 ^m à - 7 ^m 50 sous le terrain Pressions MAXIMA : 8^k 9 moyenne : 8^k 2 Batardeau à double enceinte	Fixe	6 20 ^{cm} Fermes interm.: 1 ^m 00 1 ^m 03 Fermes de rive: 1 ^m 08 122 ^{mm}	Cintre 141 ^{mc} Palées 30 ^{mc} 171 ^{mc}	0 ^{mc} 51	A pleine épaisseur, en 6 tronçons	Voûte nue 42 jours 1 ^{er} et 2 décembre	$t_c = 66^{mm}$ $t'_c = 31^{mm} 3$ $t''_c = 10^{mm} 7$ (3 j.) Recul des culées (moyennes de l'amont et de l'aval) R D 0 ^{mm} 47 R G 0 ^{mm} 71	Q = 2 099 ^{mc} Q : $S_p = 5^{mc} 05$ Q : W = 0 ^{mc} 57 D = 72 226 ^f D : $S_p = 173' 9$ D : W = 19' 5 D : Q = 34' 4	
	Montants et contrefiches » Coins								
Bon calcaire jurassique » Pression maxima : 8^k »	Fixe	8 25 ^{cm} 1 ^m 40 90 ^{mm}	400 ^{mc} y compris les cloisons de tête »	0 ^{mc} 58 »	A pleine épaisseur, en 28 tranches symétriques	Ouvrage presque entièrement achevé 63 jours »	Clef 12 ^{mm} t_c J ^{re} de 15 ^{mm} et rupt. 18 ^{mm} dû en partie à la compression du sable des boîtes $t'_c = 7^{mm} 4$ Recul des culées : Nord 0 ^{mm} 2 Sud 0 ^{mm} 3	Q = 4 540 ^{mc} Q : $S_p = 5^{mc} 01$ Q : W = 0 ^{mc} 44 D = 195 836 ^f D : $S_p = 216' 4$ D : W = 19' 0 D : Q = 43' 1	
	Montants et contrefiches » Boîtes à sable								

Pour le calcul de la surface de douelle, voir Avertissement, Tome IV, p. III, n° 7 - 4. 3. S_p = Longueur (col. 2) \times Largeur entre parapets (col. 3) - C'est la surface offerte à la circulation.

4. W = Surface vue de l'élévation \times Largeur entre parapets. 5. W' = Surface de l'élévation au-dessus des fondations \times Largeur entre parapets.

Pour S_p , W, W', voir Avertissement, Tome IV, p. III, n° 7 - B.

PONT A UNE SEULE GRANDE ARCHE SOUS ROUTE

PONT	PROJET							
	ENSEMBLE		GRANDE VOÛTE					1° ÉVIDEMENTS DES TYMPANS
	Longueur entre abouts des parapets Déclivités Hauteur maxima de la chaussée au-dessus du sol ou de l'étiage	Largeurs entre parapets entre tympans sous la plinthe Fruit des tympans Revanche de la chaussée sur l'extrados	INTRADOS Portée Montée Surbaissement Rayons	ÉPAISSEURS CORPS ET TÊTES Clef Joints de rupture Retombées	ROTULES Pour les dimensions, rayons, pressions,... voir Tome IV, Livre III.	MATÉRIAUX Mortier Poids, pour 1 ^m c de sable, de chaux ou de ciment	PRESSIONS en kg/0 ^m 01 ² Surcharges supposées	
1 Date Symbole	2	3	4	5	6	7	8	9
Élise à Neubourg Bavière 1906-1907 A ¹ r ^{te} (≥ 40 ^m) ⁴	80 ^m 10 12 ^m 12 ^m Palier sur 8 ^m à la clef 8 ^m 45 étiage	{ 8 ^m 90 8 ^m 70 Pas de fruit 0 ^m 40	Arc avec raccord vertical aux retombées: Portée entre culées : 47 ^m 50 Entre axes des rotules : 43 ^m 50 4 ^m 40 1 9,886 = 0,101	{ 0 ^m 95 1 ^m 20 1 ^m 15	Rotules d'acier moulé prises dans des sabots en fonte appuyés sur des sommiers de granit	Bandeaux : PT ¹ Muschelkalk Ciment — 325 ^k Douelle et Queutage : B ¹ Ciment..... 1 ^r Sable..... 2 ^r 1/3 Pierre cassée et gravier. 4 ^r 2/3	Pression maxima : sans surcharge : Clef : 25 ^k Joints de rupture : 21 ^k 5 Retombées : 22 ^k avec surcharge : Clef : 27 ^k Joints de rupture : 35 ^k 7 Retombées : 24 ^k 5 500 ^k /1 ^m ² et Rouleau à vapeur de 20 ^r	1° 8 voûtes transversales biaises, cachées, en arc, de 2 ^m 40 d'ouverture biaise, sur piles de 0 ^m 40. 2° »

1 — Pour le sens de ces abréviations, voir Avertissement, Tome IV, page II, n° 6.

SÉRIE **A**¹ r^{1e} ($\geq 40^m$)

TABLEAU SYNOPTIQUE (Suite)

EXÉCUTION										CUBE DE MAÇONNERIE A MORTIER	
GRANDE VOÛTE										Q	
CINTRE										DÉPENSE	
FERMES										D	
Cube de bois Poids de fer Dépenses										Totaux	
Totaux										et	
par mq de douelle ²										par unité { de surface utile S _p ³ de volume « utile » W ⁴ .	
10										18	
11										18	
12										18	
13										18	
14										18	
15										18	
16										18	
17										18	
Rocher										Béton : 1920 ^{mc}	
»										Maçonnerie : 300 ^{mc}	
Pression maxima :										Q = 2220 ^{mc}	
avec surcharge: 5 ^k 1										Q : S _p = 3 ^{mc} 11	
sans surcharge: 4 ^k 4										Q : W = 0 ^{mc} 39	
»										D = 209 780 ^f	
										D : S _p = 294 ^f 3	
										D : W = 36 ^f 7	
										D : Q = 94 ^f 5	

Pour le calcul de la surface de douelle, voir Avertissement, Tome IV, p. III, n° 7 — A. 3. S_p = Longueur (col. 2) \times Largeur entre parapets (col. 3) — C'est la surface offerte à la circulation

4. W = Surface vue de l'élévation \times Largeur entre parapets. 5. W' = Surface de l'élévation au-dessus des fondations \times Largeur entre parapets.

Pour S_p , W , W' , voir Avertissement, Tome IV, p. III, n° 7 — B.

VOÛTES ARTICULÉES ARTICULATIONS ROULANTES
ARCS TRÈS SURBAISSÉS
PONTS A UNE SEULE GRANDE ARCHE SOUS ROUTE

SÉRIE \bar{A}^1 r^{te} ($\geq 40^m$)

MONOGRAPHIES

PONT SUR LA LEINE, PRÈS DE **GRASDORF**¹ (*ALLEMAGNE - Hanovre*)

*Route reliant l'usine d'alimentation de la Ville de Hanovre
à la Route de Hanovre à Hildesheim*

1899-1900

\bar{A}^1 r^{te} ($\geq 40^m$)¹



1. — à 8^m3 du village.

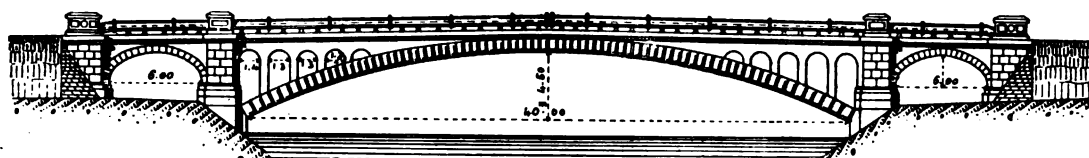
1. Grande voûte. — C'est un arc en béton à 3 articulations de granit. On a fait une grande arche pour ne pas relever les hautes eaux, qui atteignent déjà le village de Grasdorf.

On a adopté le béton parce qu'on avait, sur place, d'excellent sable.

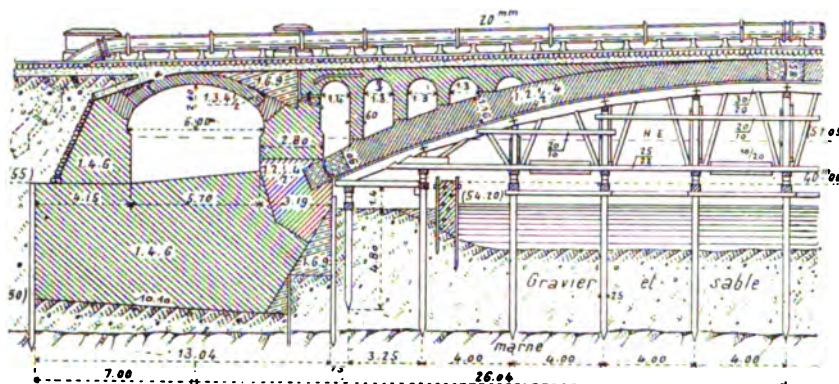
L'intrados est en arc de cercle. L'extrados est renflé en arc d'anse de panier à 7 centres.

Les bandeaux de la voûte et les pilastres sont à forts bossages et joints simulés : les tympans, à surface lisse.

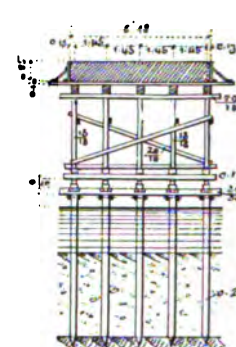
f_1 — Élévation — 2^{mm}



f_2 — Demi-coupe en long et cintre — 3^{mm}



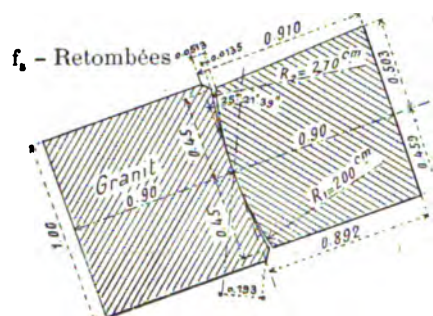
f_3 — Coupe en travers du cintre — 3^{mm}



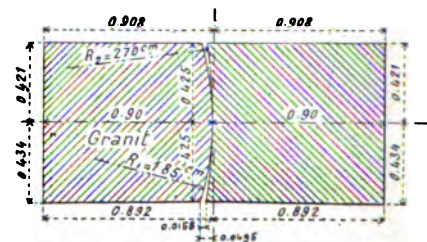
2. Articulations (f_4, f_5). — Elles sont du type arrêté et décrit par M. Köpcke², type « qui s'est fort bien comporté dans nombre d'ouvrages » (S_1).

Les faces courbes sont polies sur environ 50^{cm}.

Articulations — 25^{mm}

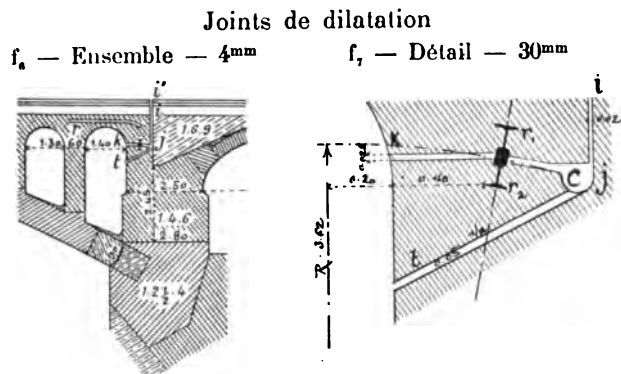


f_5 — Clef



2. — Zeitschrift des Architekten-und Ingenieur-Vereins zu Hannover, — vol. XXXIV, — 1888, — p. 373 à 380 : « Über die Verwendung von drei Gelenken in Steingewölben », vom Geh. Finanzrath C. Köpcke zu Dresden ».

3. Joints de dilatation (f_0, f_1). — La retombée sur la culée de la dernière voûte d'évidement est coupée par un joint vide $kjii'$ (f_0).



6 coupons de vieux rails r (f_0) arrêtent la poussée.

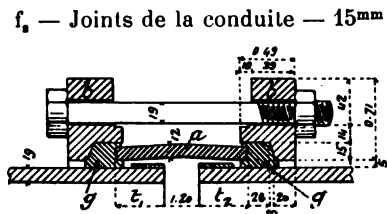
Dans le béton sont encastrés deux vieux rails r_1, r_2 (f_1) ; leurs champignons, qui doivent glisser l'un sur l'autre, sont polis, — celui de r_1 suivant un plan, — celui de r_2 suivant un cylindre dont le rayon est la distance à la ligne de contact de la rotule des retombées.

r_2 , pris dans la culée, reste immobile avec elle.

r_1 est entraîné avec la grande voûte : il tourne autour de l'axe de la rotule de retombée, lequel n'est sans doute pas exactement fixe dans l'espace puisqu'il y a roulement, mais qu'on peut considérer comme tel.

4. Joints mobiles du tuyau de conduite d'eau. — Le pont porte la conduite d'alimentation de Hanovre.

Pour qu'elle puisse se dilater librement, et aussi pour suivre les mouvements de la voûte, elle est, au droit de chacune des 3 articulations, coupée par un joint mobile a ainsi disposé (f_2) : un anneau en fer forgé a recouvre l'intervalle de 20mm à 30mm entre les tuyaux t_1, t_2 . Il est pris entre deux colliers de caoutchouc g par les anneaux de fonte b , serrés par des boulons.



5. Ecoulement des eaux. — Sur une couche de ciment, est posée une feuille de feutre de 4mm entre deux couches de 3mm d'un mélange d'asphalte, de mastic d'asphalte et de goudron de houille. Les eaux s'écoulent suivant l'axe du pont sous un fer Zorès entouré de gros graviers.

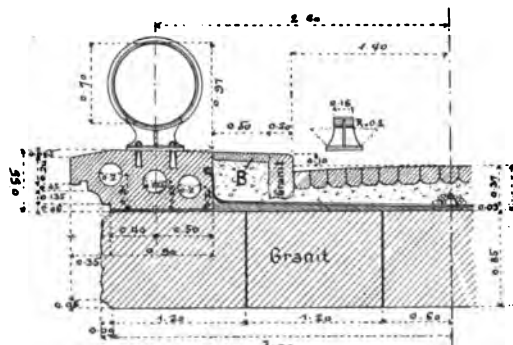
Au droit des joints de dilatation, la chape est renforcée de feuilles alternées de carton et de plomb, courbées pour en suivre le jeu. Le tout est protégé par un fer plat f (f_3).

Si de l'eau entrant dans le joint de dilatation i (f_0, f_1, f_2), elle sortirait par le tuyau t (f_0, f_1).

f_3 — Chape
au-dessus des joints
de dilatation — 15mm



Sous les voûtes d'évidement, une chape en ciment rejette l'eau vers les têtes.

f₁₀ — Coupe en travers à la clef — 1^m5

6. Chaussée et trottoirs (f₁₀).

La chaussée de 2^m80 est en vieux pavés de la ville de Hanovre, avec joints bourrés de mastic d'asphalte (12^k par m. q.).

La conduite est posée le long d'un trottoir : il y a la place pour en poser une autre le long de l'autre trottoir.

7. Plinthes et dés. — Les

plinthes sont en béton moulé. Leurs surfaces vues sont enduites de mortier coloré.

Les dés surmontant les pilastres sont aussi en béton moulé : leur noyau creux a été rempli de béton maigre.

8. Parements simulant le granit. — On a donné l'aspect du granit aux têtes, et aux plinthes, en les lavant à l'acide chlorhydrique étendu, qui met à nu le gravier.

9. Matériaux.

A. *Ciment*. — On a employé pour le corps de l'ouvrage du ciment Portland « Vorwohler », et pour les têtes, du ciment « Stern » à cause de sa couleur.

B. *Gravier du lit de la Leine*. — Il contenait 0,4 de sable à arêtes vives et 0,6 de pierres de diverses grosseurs.

C. *Pierre cassée*. — Dans le basalte cassé, il y avait 45,5 % de vides.

D. *Béton*. — Le cahier des charges n'en fixait pas la composition. Il devait résister à la compression, à 28 jours :

pour les culées, à 124^k ; pour les voûtes, à 207^k.

Voici, avec les dosages adoptés, les densités et résistances (voir f₁).

	Composition (fixée par l'Entreprise) Ciment 1 ^{re}			Densité moyenne	Age moyen au moment de l'épreuve	Efforts moyens en kg/cm ² produisant	
	Sable	Pierre cassée	Grav- vier			des fissures	la rupture
Grande voûte.....					96 ⁱ	214 ^k	228 ^k
Haut des culées de la grande voûte, sur 3 ^m comptés suivant la courbe de pression	2 ^r 5	4 ^r	»	2447 ^k	42 ⁱ	169 ^k	178 ^k
Voûtes de rive et haut de leurs culées.....	3 ^r	4 ^r 5	»	2453 ^k	94 ⁱ	226 ^k	247 ^k
Le reste des culées de la grande voûte					63 ⁱ	135 ^k	138 ^k
Piles-culées des voûtes de rive.....	4 ^r	»	6 ^r	2267 ^k	119 ⁱ	124 ^k	133 ^k
Voûtes d'évidement, tympans.....					»	»	»
Remplissage sur les reins des voûtes de rive.....	6 ^r	»	9 ^r	»	»	»	»

Ces essais ont été faits au Laboratoire de Charlottenbourg, sur des cubes de 20^{cm} et 40^{cm}, en béton prélevé au moment de l'emploi.

Il était plus comprimé que le béton de l'ouvrage.

On a fait à la machine presque tout le béton de la grande voûte.

E. Granit des rotules. — C'est du granit bleu à grain fin des carrières d'Edenstetten (canton de Deggendorf, forêt de Bavière), étudié déjà par M. Max Leibbrand à l'occasion du projet de pont articulé, en béton, sur l'Eyach à Imnau, exécuté en 1896⁴.

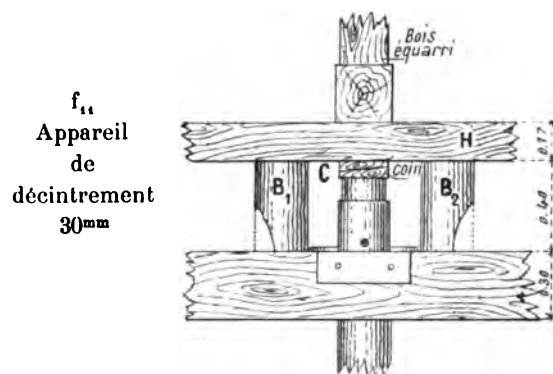
Des essais de résistance avaient alors été faits à Stuttgart par M. C. von Bach et à Munich par M. le Professeur Föppl⁵.

On avait trouvé :

Densité moyenne.....	2.640 ^k
Résistance	à l'écrasement..... 1.099 ^k
moenne,	à l'arrachement (éprouvettes de 100 ^{cm} de section moyenne)..... 46 ^k 9
en kg/0 ^m 01 ² :	à la flexion (prismes de 105 ^{cm} de long et 15 ^{cm} × 15 ^{cm} de section)..... 86 ^k 6
	au choc (cylindres de 40 ^{cm} de long, 13 ^{cm} de diamètre, prolongés à chaque extrémité par une partie prismatique de 15 ^{cm} × 15 ^{cm} de section) 80 ^k 2

Aux essais faits à Stuttgart, sur des cylindres de granit de 50^{cm} et 75^{cm} de long, pour des efforts de 134^k à 186^k, les modules d'élasticité ont varié de $1,43 \times 10^9$ à $2,15 \times 10^9$.

10. Appareils de décintrement (f_{11}). — On devait, comme au pont de Claix⁶, faire porter chaque poteau du cintre sur deux billots B_1 , B_2 ; puis, la veille du décintrement, installer entre B_1 et B_2 une boîte à sable serrée contre la



semelle H par des coins en chêne C; enfin, au décintrement, ruiner d'abord B_1 , B_2 à coups de hache, puis enlever le sable des boîtes.

Mais la semelle H étant trop faible avec 17^{cm}, on fit porter chaque poteau du cintre sur 3 billots (B_1 , B_2 et un 3^e, B_3 , entre eux). La veille du décintrement, on remplaça B_3 par une boîte à sable.

4. — arc de 30^m au 1/10. — Zeitschrift für Bauwesen, 1898, p. 187 à 206, Pl. 26 : « Betonbrücke mit Granitgelenken über die Eyach bei Imnau in Hohenzollern », vom Landesbaurat Max Leibbrand, mitgeteilt vom Ober-Ingenieur Alfred Gaedertz. (Voir Tome IV, Livre III).

5. — Zeitschrift des Vereines deutscher Ingenieure, 1897, n° 9, M. C. von Bach, — et Zeitschrift für Bauwesen, 1898 (article de M. Gaedertz, cité ci-dessus, renvoi 4).

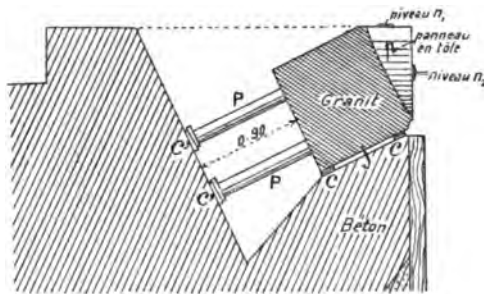
6. — $\hat{A}^1 r^{te} (\geq 40m)^5$ — Tome III.

Les boîtes à sable voisines des culées étaient à 0^m70 en contrebas des autres : pour elles, on abaissa le niveau des eaux à l'intérieur d'un petit batardeau spécial (f_1).

11. Fondations. — On descendit, en épuisant à l'intérieur d'une enceinte de pieux de 8^m50 et de palplanches de 8^m et 0^m16 d'épaisseur, dans le gravier sablonneux surmontant la marne. Les palplanches, trop minces, ne purent l'atteindre et on s'arrêta sur le gravier à 1^m30 au-dessus.

12. Exécution de la grande voûte. — *A. Pose des rotules de retombées.* — *A₁. Pose des blocs concaves (f_{11}).* — En bétonnant les culées, on avait ménagé la place de ces blocs et, par derrière, un vide de 0^m90.

f_{11} — Pose des blocs concaves des rotules de retombées — 15^{mm}



Ceux de rive droite avaient 1^m de long et pesaient 2^t4 ; ceux de rive gauche avaient 1^m20 et pesaient 2^t9.

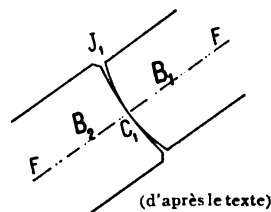
Ils furent posés, à l'aide d'un panneau p en tôle d'acier de 1^{mm} d'épaisseur, muni de deux niveaux n_1, n_2 , sur 4 paires de coins en fer c , et soutenus par des poteaux P et des coins en bois c' .

Après la pose de toute la file, on mata avec un fer plat le joint inférieur j de 3^{cm} environ, au mortier à l'état de terre humide ; puis on enleva les coins en fer c

et on bétonna l'espace vide de 90^{cm} en enlevant, au fur et à mesure, les poteaux P et les coins c' .

A₂. Pose des blocs convexes (f_{12}). — On avait calculé l'abaissement au

f_{12} — Pose des blocs convexes des rotules de retombées — 15^{mm}



décintrement ; on en avait déduit le roulement de B_1 sur B_2 , puis la variation d'ouverture Δj_1 du joint j_1 .

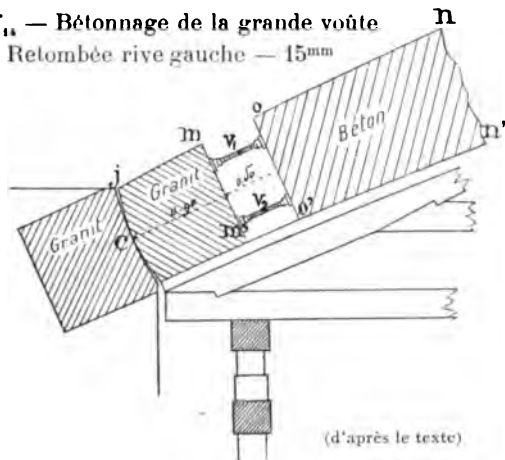
On connaissait donc la valeur de j_1 pour que le contact C_1 fût sur la fibre moyenne FF , et, par conséquent, l'ouverture avant mouvement $j_1 - \Delta j_1$; on l'a fixée par des coins en fer.

On a pu poser ainsi les rotules de telle sorte qu'après le mouvement, C_1 fût sur la fibre moyenne.

B. Bétonnage de la grande voûte. — Après la pose des rotules, le cintre fut chargé, sur 1^m de hauteur, de sacs de gravier qu'on enlevait au fur et à mesure du bétonnage.

Immédiatement avant de poser le béton, on revêtait la douelle de 1 à 2^{cm} de mortier, afin de cacher les pierres du béton.

f_{11} — Bétonnage de la grande voûte
Retombée rive gauche — 15^{mm}

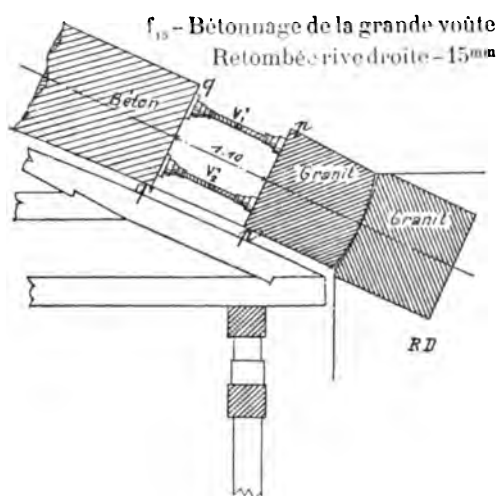


Après décintrement, on la dressait et on y étendait un lait de ciment.

Le 4 juillet 1900, on exécuta, côté rive gauche, une tranche $mm'nn'$ (f_{11}) de 2^m35, appuyée sur le sommier supérieur de retombée.

Mais on constata le lendemain que, par suite d'un tassement du cintre, le joint sec j d'extrados entre les blocs de granit de la rotule, s'était ouvert de 4^{mm}5, ce qui correspondait à un abaissement du point de contact c de 70^{mm}.

On enleva alors, non sans peine, sur 50^{cm}, le béton $mm'oo'$ (f_{11}) en contact avec le bloc supérieur ; on remit le bloc exactement en place et on le pressa contre le béton par des vérins à vis V_1, V_2 .



Puis on commença le bétonnage côté rive droite, après avoir ménagé sur le bloc supérieur d'articulation un vide $pp'qq'$ (f_{12}) de 1^m10, au moyen de vérins à vis V'_1, V'_2 .

On continua alors, comme l'indique f_{10} , par tranches alternatives sur chaque demi-voûte, jusqu'à 0^m86 en arrière de la rotule de clef.

Le béton était pilonné par couches horizontales de 20^{cm} d'épaisseur. Autant que possible, les parties faites chaque jour étaient limitées normalement à la courbe de pression.

f_{10} — Dates d'exécution des différentes parties du pont — 2^{mm}



En même temps qu'on posait le béton, on pilonnait contre les cloisons de tête une couche de 8^{cm} environ de mortier composé de ciment coloré, de gravier de la haute vallée du Harz, et de sable blanc.

Avant de poser le béton frais, on lavait la surface du béton de la veille et on y projetait du mortier de ciment clair, qu'on étendait vigoureusement au balai.

C. Clavages. — C_1 . — *aux retombées.* — Les vérins $V_1, V_2 (f_{11}), V'_1, V'_2 (f_{12})$ étant fortement serrés, on s'assura, en introduisant une lame d'acier de 2^{cm} de largeur et 0^{mm}2 d'épaisseur, que les blocs étaient en contact sur toute leur largeur.

On enlevait chaque rangée de vérins lorsque le béton était arrivé à sa hauteur.

Mais lorsqu'on lâcha les vérins supérieurs $V_1, V'_1 (f_{11}, f_{12})$, le joint d'extrados entre rotules s'écarta, les blocs tournant vers le bas.

On resserra les vérins $V_1 (f_{11})$ et on les entoura de cloisons de bois montant jusqu'à l'extrados. On bétonna entre les cloisons, puis on enleva les vérins et les cloisons et on remplit les vides.

C_2 . — *à la clef.* — Après tassement au décintrement, l'intrados des blocs d'articulation de clef doit être un arc de cercle $abc (f_{17})$, et le point de contact C sur la fibre moyenne.

f_{17} — Comment doit être
l'articulation de clef
après décintrement — 15^{mm}



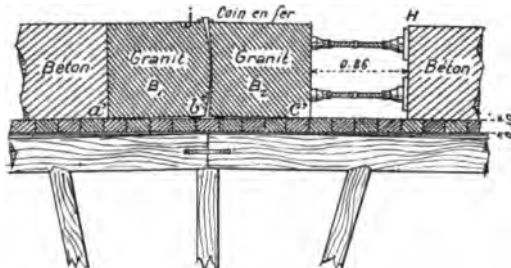
On posa ces blocs sur coins, de façon que leur intrados fût en ogive $a'b'c' (f_{18})$.

La largeur à l'extrados du joint sec j était maintenue par un coin de fer à la demande.

Les blocs convexes $B_1 (f_{18})$ furent posés comme les blocs concaves des retombées sur coins en fer, à l'aide d'un panneau en tôle ; puis on pilonna le béton par derrière.

Le lendemain, on posa les blocs concaves B_2 sur coins ; on les serra par des vérins et on clava la voûte à la clef.

f_{18} — Pose du bloc concave de l'articulation
de clef — 15^{mm}



Au moment des clavages, le béton était âgé de :

- 13 jours à la retombée rive droite ;
- 17 jours à la retombée rive gauche ;
- 6 jours à la clef.

La pression des vérins était de 5000^k, répartie sur environ 650^{cm}² (surface d'appui des blocs de bois H) (f_{19}), soit environ 8^k/0^m01².

13. Construction des voûtes d'évidement et de décharge. — Après le clavage, on construisit les voûtes d'évidement, les voûtes de décharge et leurs tympans.

Le rail supérieur du joint de dilatation (r_1 de f_1) fut posé à 1^{cm} en arrière de la position indiquée au projet, pour tenir compte des mouvements de la voûte au décintrement.

Le joint horizontal $kj (f_6, f_7)$ fut ménagé au moyen d'une couche de 5^{mm} de sable.

Les surfaces de glissement se comportèrent bien au décintrement, quoique le béton des voûtes d'élégissement n'eût que 9 jours.

14. Décintrement. — On vida plus tôt et plus vite les boîtes du centre.

15. Tassements.

			Température moyenne en degrés Centig.		Tassements de la clef en m/m	
			du jour de l'observation	des 10 jours précédents	partiels	cumulés
du cintre (1900)	avant le bétonnage	au moment de la pose du cintre (surhaussé de 90 ^{mm})	»	»	0 ^{mm}	
		26 juin - avant chargement du cintre.....	»	»	5	5 ^{mm}
		2 juillet - après chargement.	»	»	13	18
	pendant le bétonnage	de la grande voûte { 13 juillet.....	»	»	4	22
		17 juillet.....	»	»	0	22
		26 juillet - (après clavage)...	+ 28°	+ 23°	14	36
		des voûtes d'évidement { 1 ^{er} août.....	+ 19°	+ 21°	4	40
		11 août.....	+ 16°	+ 17°	2	42
		8 septembre.....	+ 16°	+ 16°	8	50
		de la grande voûte { au décintrement (12 septembre 1900) { avant décintrement, les boîtes à sable mises en place.	+ 14°	+ 15°	5	55
		après décintrement.....	+ 14°	+ 15°	24	79
de la grande voûte	pendant l'achèvement du pont (1901)	19 janvier.....	0°	- 5°	32	111
		13 juillet (temps très sec)...	+ 26°	+ 22°	- 12 relèvement	99
		23 août.....	+ 20°	+ 20°	6	105

On n'a pas pu observer de mouvements horizontaux des culées.

16. Achèvement du pont. — Avant de poser la chape à la clef, on coula de l'asphalte chaud sur 8^{cm} de profondeur à l'extrados du joint d'articulation.

On fit de même aux retombées : de plus, on boucha la partie inférieure du joint avec de la ficelle mince entourée d'une épaisse couche d'asphalte.

17. Dates.

		1899
Commencement des travaux.....		8 août
Construction des batardeaux {	rive droite.....	30 août - 21 octobre
	rive gauche.....	23 août - 18 novembre
	rive droite.....	25 novembre - 8 décembre
Bétonnage des culées.. {	rive gauche.....	{ 11 et 12 décembre 1899
		{ 28 mars - 10 avril 1900

(Les travaux furent suspendus du 13 décembre 1899 au 28 mars 1900, à cause du froid, puis d'une crue).

		1900
Bétonnage de la voûte.....		4 - 25 juillet
Clavages {	aux retombées { rive droite.....	20 - 21 juillet
	rive gauche.....	21 - 22 juillet
	à la clef.....	25 juillet
Décintrement.....		12 septembre

18. Dépenses. — L'ouvrage a été exécuté à forfait pour 91.700 marks (113.158^f), non compris les tuyaux, les murs en béton soutenant derrière les culées les tuyaux coudés, le pavage, le garde-corps, les remblais et quarts de cône.

19. Personnel.

Ingénieurs :

Direction générale : M. A. Bock, « Direktor der Städtischen Kanalisations- und Wasserwerke », à Hanovre.

Projet et Direction des travaux : M. C. Dolezaleck, « Ingenieur der Städtischen Kanalisations- und Wasserwerke » à Hanovre.

Entrepreneurs : MM. B. Liebold et C^{ie}, d'Holzminden.

SOURCES :

S₁. — Dessins d'exécution (S') et photographies (S'') que m'a très aimablement adressés M. C. Dolezaleck, en avril 1910.

Les dessins sont extraits de S₁, sauf f₁₃, f₁₄, f₁₅, f₁₇ restitués d'après le texte.

S₂. — Zeitschrift für Architektur und Ingenieurwesen 1901, p. 47 à 54 et 313 à 338, Pl. 3 et 4 : « Brücke über die Leine bei Grasdorf », MM. A. Bock et C. Dolezaleck.

Le texte est extrait de S₂.

S₃. — Renseignements gracieusement communiqués par M. B. Liebold, en juillet 1910.

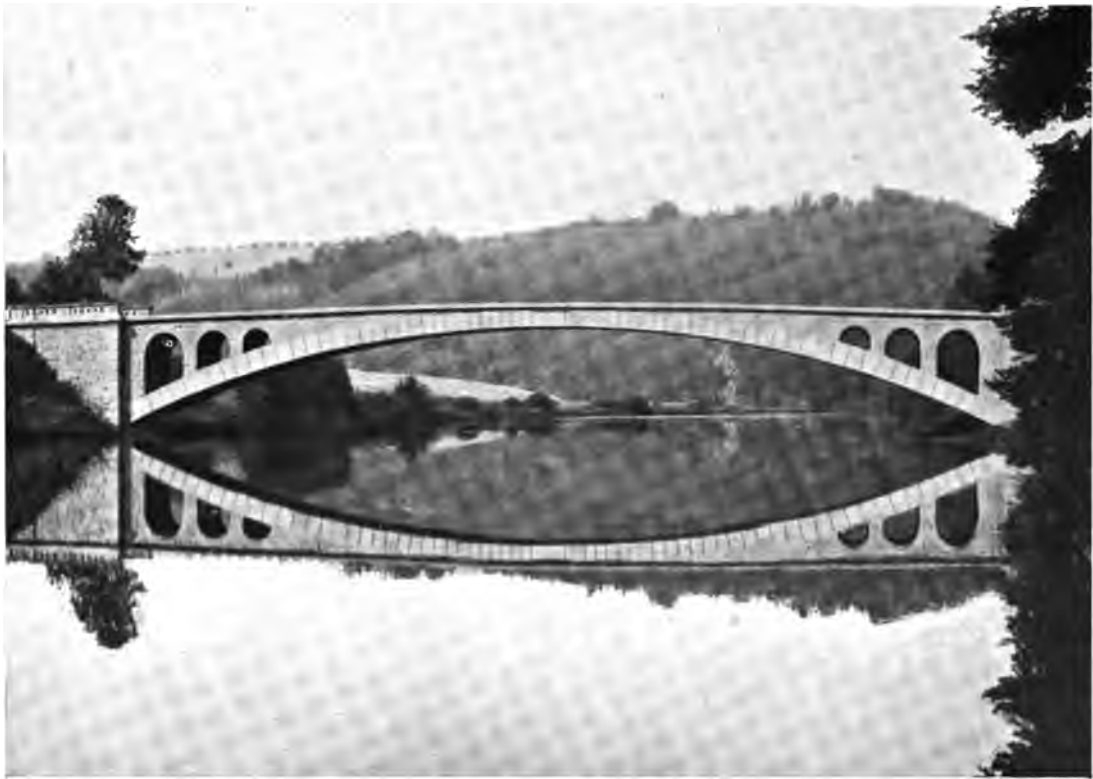
PONT SUR LA ZWICKAUER MULDE, PRÈS DE GÖHREN (SAXE)

Route de Göhren à Cossen

1903-1904

$\overset{\text{A}}{\text{A}}^1 r^{te} \geq 40^m)^2$

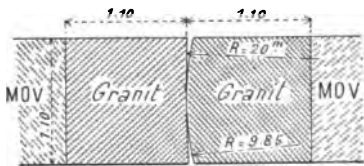
$\Phi_1 - \text{aval } (S_1)$



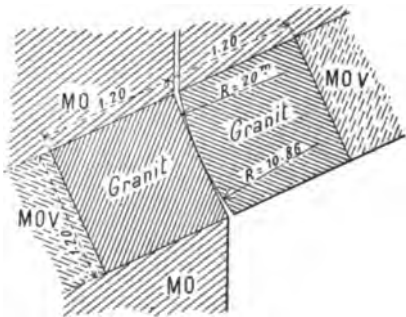
1. Articulations (f₁, f₂).

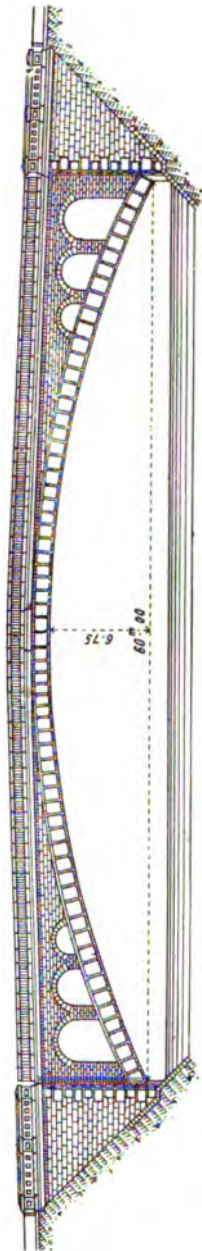
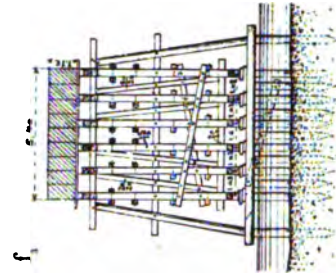
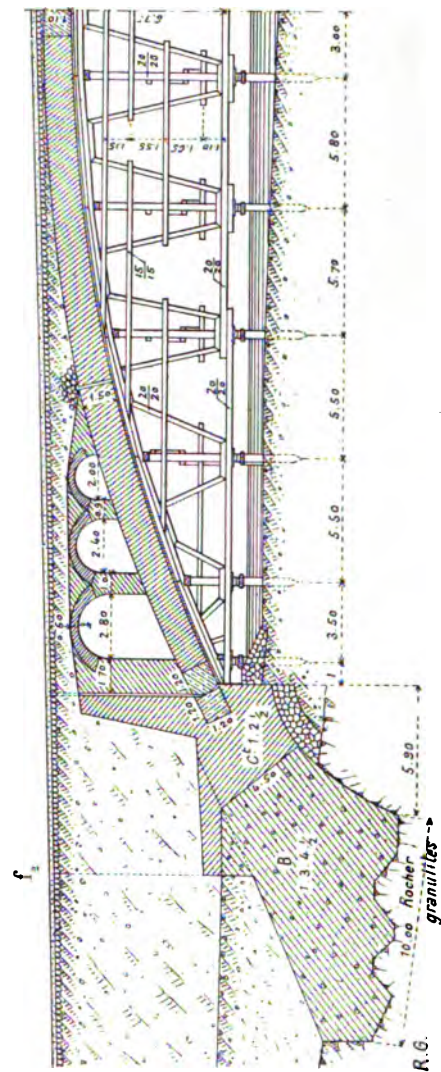
15mm

f₁ — Clef



f₂ — Retombées

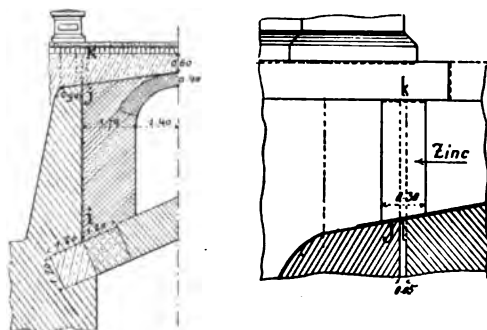


f₁ — Élévation — 2^{mm}Coupes et cintre — 3^{mm}



2. Joints de dilatation au-dessus des articulations des naissances (f_0, f_1).

Joint de dilatation
 f_0 — Ensemble — 4mm f_1 — Détail — 2cm



On a coupé la culée de la dernière voûte d'évidement par un joint vide vertical ijk (f_0) de 5cm, masqué en élévation par les murs en retour.

Le haut du joint jk est fermé par une feuille de zinc de 2mm d'épaisseur et 30cm de largeur, qui se relève le long du parement intérieur des tympans (f_1).

3. Matériaux et exécution de la voûte. —

On a d'abord étalé sur le platelage du cintre un lit de mortier : la

douelle apparaît lisse, sans lits, ni joints.

Aux têtes, on a simulé¹, avec un mortier spécial, des joints de pierre de taille.

La voûte a été construite en 6 tronçons soutenus par des taquets en bois.

1. — Suivant les errements de la maison Liebold. Voir Pont de Plauen $\hat{A}^1 r^{te} (\geq 40m)^{10}$; Pont sur la Chemnitz $\hat{A}^1 Fr (\geq 40m)^{14}$; Ponts de Silésie $\hat{A}^1 r^{te} (\geq 40m)^4$ à 9; $\hat{A}^n r^{te} (\geq 40m)^5$ et 6, Tome III.

4. Dates.

	1903
Commencement des travaux.....	25 mars
Fondations.....	6 avril — 10 juillet
Grande voûte ..	7 — 19 octobre
Décintrement.....	1 ^{er} et 2 décembre
	1904
Ouverture à la circulation.....	16 juin

5. Cube de maçonnerie.

Voûte, sans les sommiers des articulations, — moellons ordinaires lités	431 ^m
Autres maçonneries, — moellons ordinaires à ciment.....	885
Béton des culées (1 ^r , 3 ^r , 4 ^r 5).....	783
Total.....	2.099 ^m

6. Personnel.

Projet et Entreprise : MM. Liebold et C^{ie}, de Langebrück (Saxe).

Direction des Travaux : M. Köhler, « Baurat, Vorstand der Strassen- u- Wasserbauinspektion », de Grimma ; M. Matthes « Bauinspektor ».

SOURCES :

S₁. — Renseignements et dessins d'exécution gracieusement communiqués par M. le Directeur de la « Königliche Sächsische Wasserbaudirektion » à Dresde.

S₂. — Ce que j'ai vu — août 1908.

PONT DE LA WALLSTRASSE, A ULM (BAVIÈRE)

PRÈS DE LA GARE, PAR DESSUS 13 VOIES DE CHEMIN DE FER

1904-1905

$\bar{A}^1 r^{te} \geq 40^m)^3$

$\Phi_1 (S_1)$



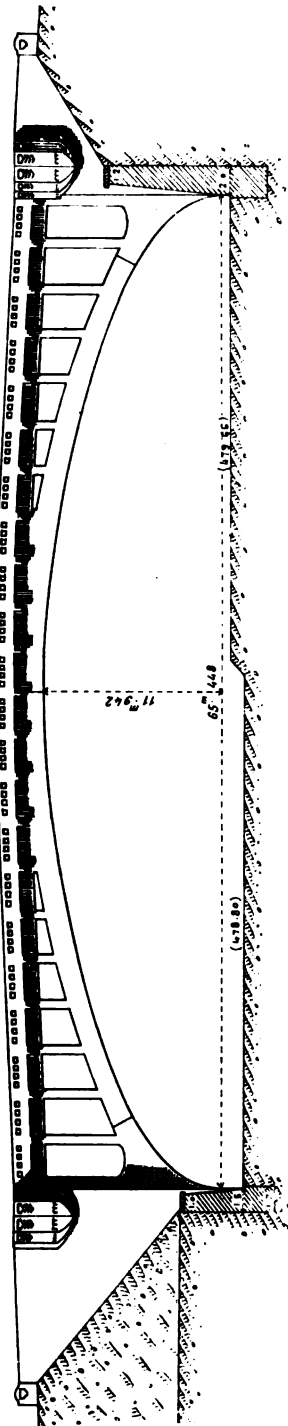
1. Matériaux employés. — La voûte est en béton, à 3 articulations en acier moulé.

La plate-forme et ses piliers, les consoles sous trottoirs, les parapets, sont en béton armé.

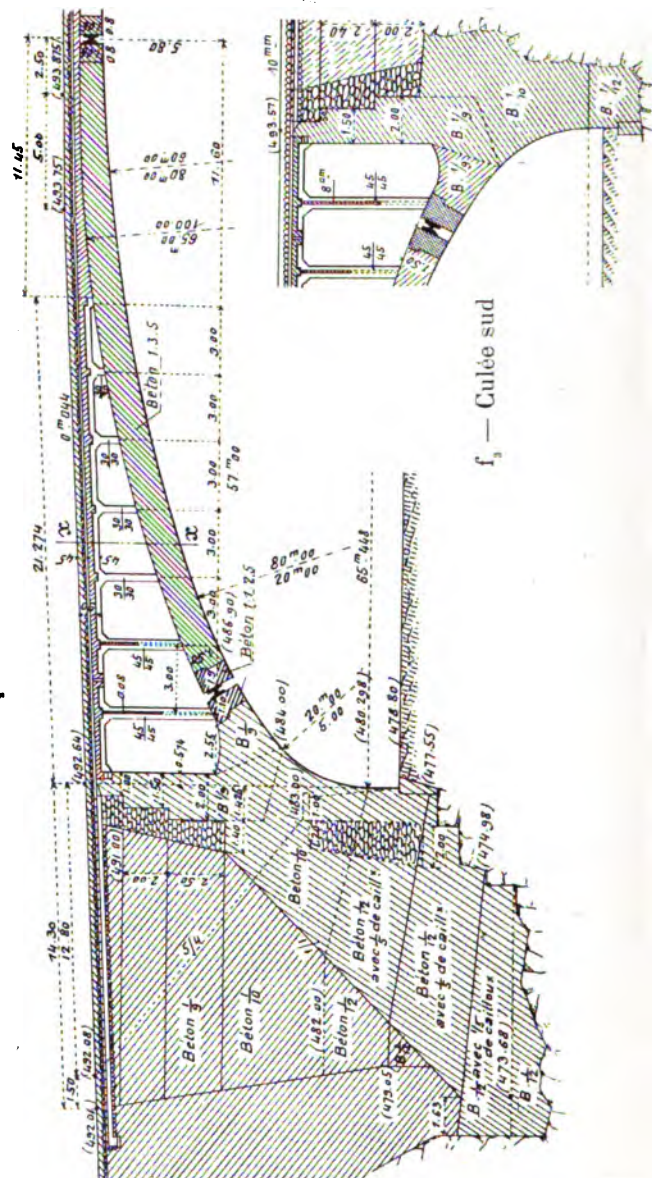
2. Tracé de la voûte. — La fibre moyenne est la courbe de pression sous le poids mort.

Aux retombées, on a raccordé l'intrados aux culées par un petit rayon : leurs rotules sont au-dessus de la fibre moyenne.

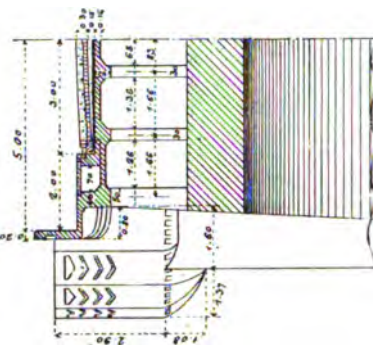
f_1 — Élévation — 2mm



Coupes en long — 3mm
 f_2 — Demi-voûte nord



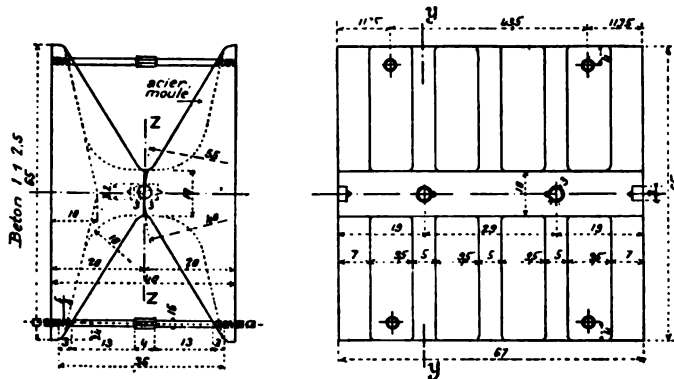
f_3 — Demi-coupe en travers
sur xx de f_2 — 5mm



Rotules — 6^{cm}

f_1 — Coupe sur yy de f_0

f_0 — Vue sur zz de f_0



cage en béton, de 14^{cm} à 15^{cm} d'épaisseur.

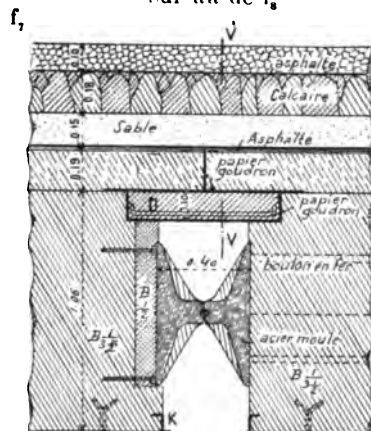
4. Éléçissement des tympans (f_1 à f_0). — Le tablier, en béton armé de 16^{cm}, repose sur des piliers en béton armé de 30^{cm} × 30^{cm} à 45^{cm} × 45^{cm}. Il n'est pas armé au cerveau.

On a, pour l'aspect, élargi à 60^{cm} les faces des piliers de tête.

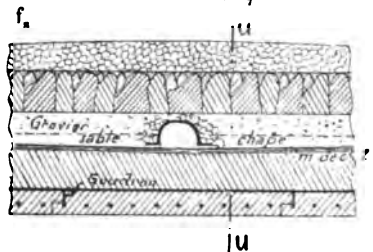
5. Chape (f_1 , f_0). — Le tablier est recouvert de 2^{cm} de mortier de ciment à deux pentes versant vers l'axe, et d'une chape Siebel¹.

Joints de dilatation — 3^{cm}

Clef
Coupes
sur uu de f_1

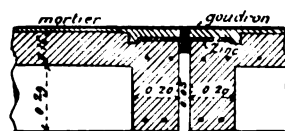


sur rr de f_1

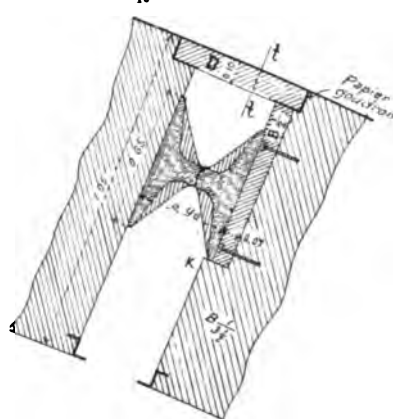


Retombées

Coupes en long
 f_0 — Plate-forme



f_{10} — Voûte



f_{11} — Coupe en travers sur tt de f_{10}



6. Joints de dilatation (f_1 à f_{11})

Aux retombées, le haut des joints de dilatation du tablier est recouvert d'une feuille de zinc recourbée, dans le creux de laquelle on a versé du goudron (f_1).

La console de clef est coupée par le joint d'articulation.

1. Feuilles de plomb et feutre asphalté.

7. Trottoirs. — Ils sont en béton armé, sur consoles en béton armé, saillant de 0^m80.

Cette saillie, rationnelle, fait bon effet (S₁).

8. Parapet. — Le parapet, en béton armé, est plein, avec quelques dessins en creux pour en accider la surface : il eût peut-être convenu de l'ajourer.

Malgré les joints ménagés, on y remarque (août 1908) quelques minces fentes verticales aux angles des culs-de-lampe et en quelques autres points.

9. Culées. — Elles n'ont pas de plinthe : on ne la regrette pas. Leurs culs-de-lampe sont un peu lourds.

10. Aspect du pont (S₁). — Pas d'arêtes vives : on a, par exemple, arrondi en rayon de 10^{cm} les arêtes d'intrados et d'extrados de la voûte.

Tout le pont est enduit du même badigeon blanc.

Il est moulé, et le paraît.

11. Béton. — *A. - Pierre cassée.* — Les pierres calcaires pour le béton s'écrasaient de 560^k à 840^k; les plus dures étaient réservées à la voûte et cassées à part.

Le concasseur fournissait 4 à 5^{m³} par heure, et donnait :

55 % de pierre de 15^{mm} à 40^{mm} de grosseur ;

25 % de gravier de 8^{mm} à 15^{mm} ;

20 % de sable rouge, dur, de 0 à 8^{mm}.

B. - Dosages.	1 vol. Ciment de Blaubeuren, qualité « Brückencement »				Consistance du béton
	Sable		Pierre cassée		
	Dosage en vol.	Provenance	Dosage en vol.	Nature de la pierre	
Voûte	3 ^r	Danube	5 ^r	Pierre et gravier calcaires, durs	Terre humide
Près des rotules	1 ^r	Danube	2 ^r 5	Porphyre lavé de Dossenheim (Bade)	Terre humide
Béton armé	4 ^r 5	Gravier broyé	»	»	Fluide épais

C. - Essais, faits à l'Ecole Polytechnique de Stuttgart, pendant la construction, sur du béton pris à la bétonnière.

	Composition du béton Ciment Portland : 1 ^r		Mode de fabrication	Age en jours	Densité	Résistance à l'écrasement en Kg/0 ^m 01 ²
	Sable	Pierre cassée				
Culées	2 ^r 25 Pfühl	6 ^r 75 Calcaire tendre	Machine	64 i	2 ^r 25	200 ^k
	2 ^r 25 Pfühl	6 ^r 75 Gravier du Danube, cassé	—	66	2 41	277 ^k
Voûte.....	2 ^r 25 Danube	7 ^r 75 Calcaire tendre	—	81	2 37	264 ^k
	3 ^r Danube	5 ^r Calcaire dur	—	57	2 42	346 ^k
Près des articulations (f ₁₀ , f ₃₀)	1 ^r Danube	2 ^r 5 Gravier porphyrique en 5 grosseurs de 3 à 35 ^{mm} , lavé	—	44	2 30	410 ^k
Clavage derrière les rotules (f ₁₀ , f ₃₀)	0 ^r 5 Danube (lavé)	1 ^r 5 Gravier porphyrique, jusqu'à 8 ^{mm}	Main	37	2 22	373 ^k

D. - Mortier des parements. — Tous les parements en élévation sont en un mortier, jouant la pierre, dont voici la composition :

Portland.....	1 ^r
Sable rouge dur.....	1 ^r 5
Sable blanc tendre (pour avoir un ton clair)	2 ^r

Il était appliqué plastique.

12. Cintre (f₁₀ à f₃₀). — Le sable des boîtes (quartz à grains fins) était grillé : pour le maintenir sec, on remplissait de goudron l'intervalle entre le piston et la boîte. Une toile à voile entourait le tout.

Dans le calcul, on admettait un effort de 60^k suivant le sens des fibres, de 20^k normalement aux fibres.

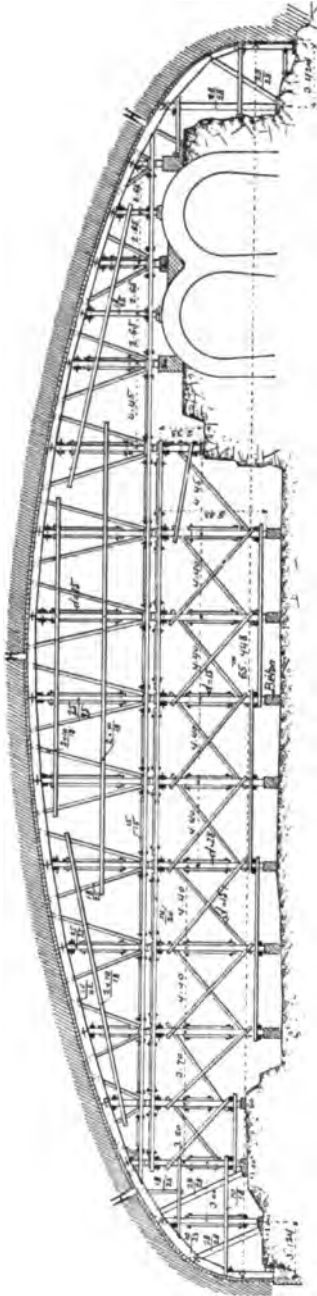
Pour tenir compte des trépidations pendant le pilonnage, on a majoré de 50 % le poids de la voûte.

13. Fondations. — On a noyé les redans taillés dans le rocher avec du béton à 1^r de ciment pour 12^r de sable et pierre cassée; puis on a posé le béton du corps des culées, en le pilonnant par couches en forme de coin de 20^{cm} à 25^{cm} d'épaisseur : on a noyé dans le bas 1/5 de pierres (f₁).

Le béton était presque plastique.

On en posait chaque jour de 55^{mc} à 90^{mc}.

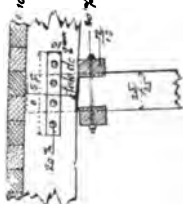
Cintre
 f_1 — Élévation — 2^{mm}5



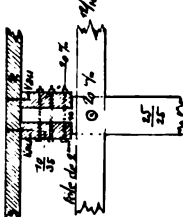
Détails — 2^{cm}

Platelage et vaux

f_{13} — Vue de face

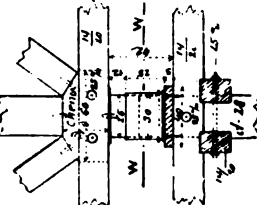


f_{14} — Vue de côté

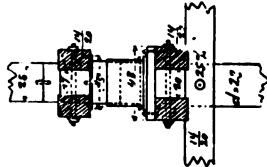


Appui des montants et contrefiches

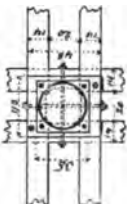
f_{15} — Vue de face



f_{16} — Vue de côté

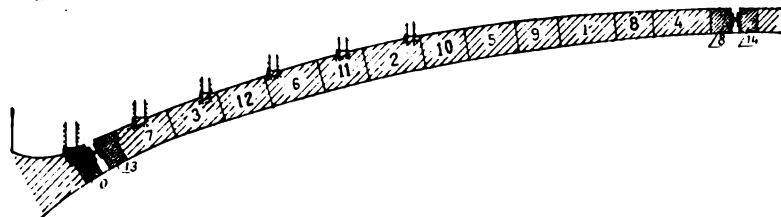


f_{17} — Coupe sur ww de f_{15}



14. Exécution de la grande voûte (f_{11}). — Chaque demi-voûte était divisée en 14 tranches alternées, les unes plus épaisses, ayant leur axe au-dessus des montants du cintre, les autres un peu plus minces.

f_{11} — Ordre d'exécution des tranches — 3^{mm}



En un jour, on pouvait poser une tranche et sa symétrique (55^m à 75^m).

On bétonna d'abord les tranches épaisses, puis leurs intervalles. On main-

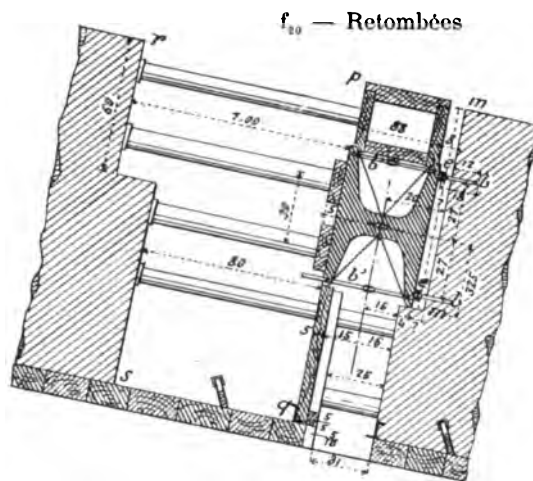
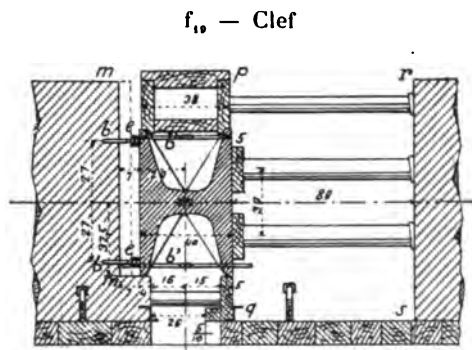
tint ouverte une des tranches voisines de l'articulation de clef, pendant 8 jours après l'achèvement du reste.

Pour le mortier de parement à 1/3,5, on avait disposé, à 8^m en arrière des cloisons de tête, d'autres cloisons en tôle de 40^m de hauteur; on y pilonnait le mortier en même temps que le béton du corps de la voûte; puis on enlevait de suite les tôles.

Ce mortier devait être posé presque plastique, bien pilonné et soigneusement arrosé après l'enlèvement des cloisons.

15. Pose des rotules. — On avait arrêté le béton des tranches 0 et 8 (f_{11}), à 7^m des rotules (f_{10} , f_{12}): on y avait fixé des boulons b (4 par rotule), portant

Pose des rotules — 30^{mm}



des écrous e , vissés de façon à se trouver exactement dans le plan d'appui des rotules.

Pour mettre celles-ci en place, on solidarisaient leurs sommiers par 4 boulons b' , qu'on sciera plus tard, avant le décintrement.

On appuyait le bloc ainsi formé contre les 4 écrous ee , après avoir bétonné l'intervalle pqr s (tranches 13 et 14 de f_{11}). On pilonnait, dans l'intervalle de 7^m resté vide m , du mortier à 1^r de Portland et 2^r de sable porphyrique.

A l'extrados, l'intervalle au-dessus des rotules est recouvert par des dalles de béton D (f_1, f_{10}, f_{11}) à joints remplis de goudron.

Les 39 rotules furent posées en une semaine par 3 hommes.

On construisit la voûte en 15 jours (770^m de béton, 28^t 5 d'acier des rotules).

16. Décintrement. — A la clef, la chaleur avait un peu détaché la voûte du platelage.

On plaça deux hommes à chacune des 104 boîtes.

On a d'abord abaissé le sable de 3^{mm} dans toutes les boîtes, puis de 5^{mm} au cerveau seulement, puis encore de 3^{mm} à toutes les boîtes ; enfin, on abaissa complètement les pistons des reins.

17. Mouvements dûs à la température (observations faites à la clef, sur le trottoir Est).

Date de l'observation	Température en ° C.	Niveau de la clef au-dessous de la cote prise avant décintrement
4 août 1905	+ 27°	4 ^{mm} 5
4 janvier 1906	- 12°	53 ^{mm}

La clef a donc baissé de 48^{mm}5 pour un abaissement de température de 39°. ²

18. Dates.

Commencement des travaux..... fin de l'automne 1904

Commencement du bétonnage de la voûte..... 29 avril 1905

Ouverture à la circulation..... milieu d'octobre 1905

19. Personnel. — Le pont a été construit par les Chemins de fer de l'Etat de Wurtemberg.

Projet, Calculs, Direction des Travaux :

Direction Générale : M. Neuffer, « Ober-Baurat » à Stuttgart.

Direction locale : M. Lupfer « Eisenbahnbauinspektor » ; — M. Barth « Regierungs-Bauführer ».

Architecture : M. Bonatz, Architecte, de l'Ecole Polytechnique de Stuttgart.

Entrepreneurs : MM. A. Kunz et C^{ie}, de Kempten.

$$2. - \text{La formule : } \delta b \left(\begin{smallmatrix} \text{tassement dû à une} \\ \text{variation} \\ \text{de température } \tau. \end{smallmatrix} \right) = \alpha \left(\begin{smallmatrix} \text{coefficient} \\ \text{de dilatation} \\ \text{du béton} \end{smallmatrix} \right) \tau_0 \left[b \text{ (montée)} + \frac{[\alpha \text{ (demi-portée)]}^2}{b} \right]$$

$$\text{donne pour : } \alpha = 8,8 \times 10^{-6}, \quad \tau_0 = 39^\circ, \quad b = 5^m80, \quad 2a = 57^m : \quad \delta b = 50^m \quad (S_2).$$

SOURCES :

S₁. — Dessins d'exécution gracieusement communiqués par M. Neuffer, en juin 1909.

S₂. — Deutsche Bauzeitung (Mitteilungen über Zement, Beton und Eisenbetonbau), 1907, 9 janvier, p. 1 à 4 ; — 23 janvier, p. 7 et 8 ; — 6 février, p. 11 et 12 : « Die Wallstrassenbrücke » in Ulm a. D. », Ober-Baurat Neuffer in Stuttgart.

S₃. — Ce que j'ai vu — août 1908.

Ce qui n'est pas spécifié S₃ est de S₁.
Les dessins sont réduits de S₁.

PONT ÉLISE, SUR LE BRAS DROIT DU DANUBE, A NEUBOURG¹ (BAVIÈRE
Route de Neubourg à Ingolstadt

1906-1907

$$\overset{\text{A}^1}{\text{A}} \text{ r}^{\text{te}} (\geq 40^{\text{m}})^4$$

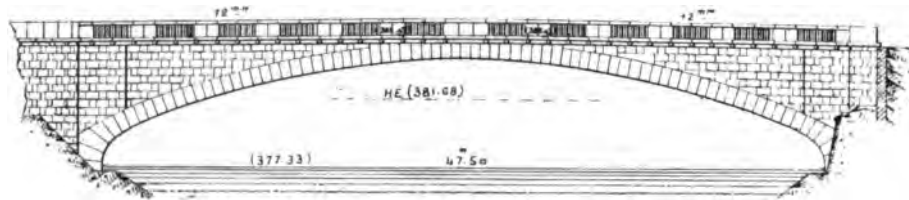
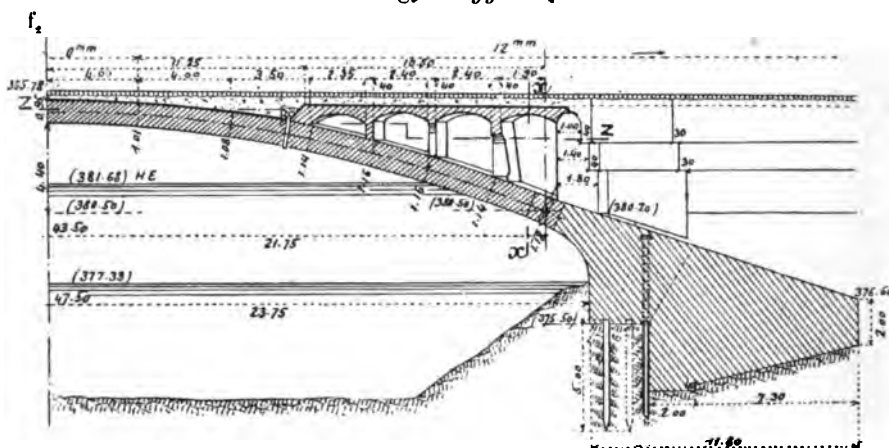
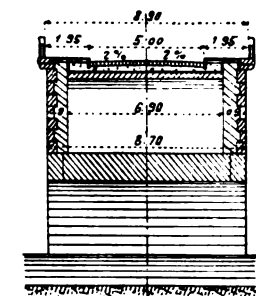
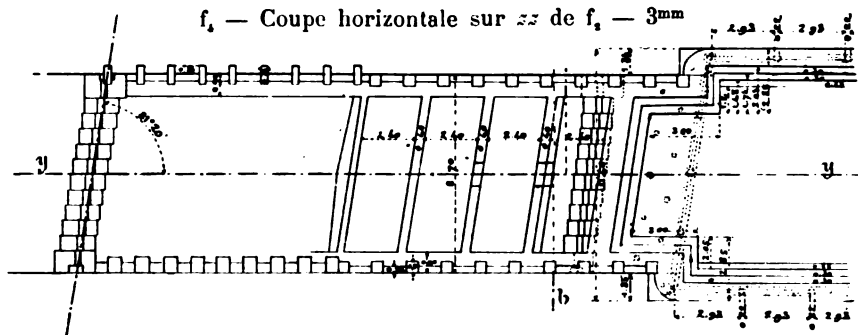
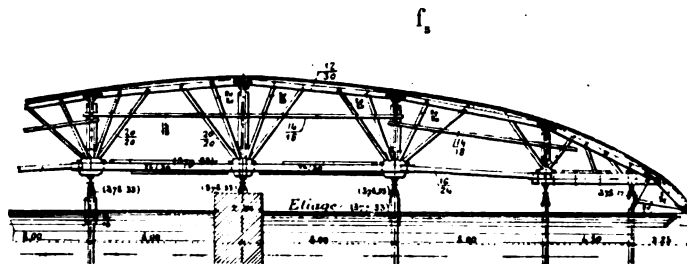
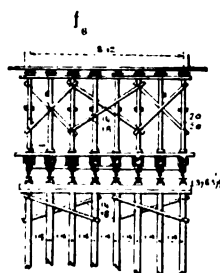
Φ_1 (S₁)

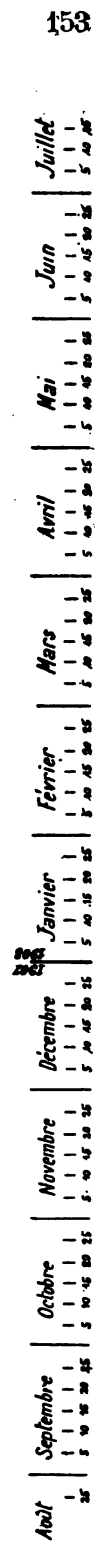


1. Dates (S'').

Commencement des travaux.....	7 novembre 1906
Fondations.....	14 décembre 1906 - 18 avril 1907
Grande voûte.....	12-20 septembre 1907
Décintrement.....	31 octobre 1907
Ouverture à la circulation.....	14 décembre 1907

1. — Neuburg a. Donau.

f_1 — Élévation — 2^{mm}Coupes — 3^{mm}
en long, sur yy de f_1 en travers
sur xx de f_1  f_1 — Coupe horizontale sur zz de f_1 — 3^{mm}Cintre — 2^{mm}5



3. Personnel (S''). — *Projet et Entreprise* : MM. Sager et Wœrner, de Munich.

Direction des Travaux : M. Egler, « K. Baurat » du « K. Strassen-und Flussbauamt » de Neubourg.

SOURCES :

S₁. — Dessins d'exécution (S') et renseignements (S'') qu'ont bien voulu me donner MM. Sager et Wœrner.

S₂. — Graphique que m'a gracieusement remis, à Munich, M. Probst, Ingénieur en Chef de l'Entreprise Sager et Wœrner.

S₃. — Ce que j'ai vu — août 1908.

VOÛTES ARTICULÉES

ARTICULATIONS ROULANTES ¹

ARCS TRÈS SURBAISSÉS ¹



¹


(Suite)

PONTS A UNE SEULE GRANDE ARCHE

SOUS CHEMIN DE FER A VOIE NORMALE

Série  ¹ F^r ($\geq 40^m$) ¹

PONT A UNE SEULE GRANDE ARCHE SOUS CHEMIN DE FER

PONT		PROJET							1° ÉVIDEMENTS DES TYMPANS
		ENSEMBLE	GRANDE VOÛTE					2° DÉCORATION DES TÊTES	
Date	Symbol	Longueur entre abouts des parapets Déclivités Hauteur maxima du rail au-dessus du sol ou de l'étiage	Largeurs (entre parapets entre tympans sous la plinthe Fruit des tympans Revanche du rail sur l'extrados	INTRADOS Portée Montée Surbaissement Rayons	ÉPAISSEURS CORPS ET TÊTES Clef Joints de rupture Retombées	ROTULES Pour les dimensions, rayons, pressions,... voir Tome IV, Livre III.	MATÉRIAUX Mortier Poids, pour 1 ^{me} de sable, de chaux ou de ciment	PRESSIONS en kg/0 ^m 1 ² Surcharges supposées	
1		2	3	4	5	6	7	8	9
d' Illerbeuren		88 ^m 80	$\left\{ \begin{array}{l} 4^m 60 \\ 4^m 00 \end{array} \right.$	Entre culées : Anse de panier à 7 centres Portée : 59 ^m 00 Entre rotules : Arc d'anse de panier à 5 centres Fruit : 1/20 57 ^m 164 9 ^m 817 $\frac{1}{5,82} = 0,171$ Rayons : à partir de la clef : RG RD m m 48,25 41,80 41,885 53,85 43,75 au-dessous des rotules : 4,81 4,67	$\left\{ \begin{array}{l} 1^m 10 \\ RG \\ 1^m 63 \\ RD \\ 1^m 65 \\ 4^m 40 \end{array} \right.$	Acier moulé	B ¹ damé Ciment..... 1 ^r Sable : 2 ⁵ Gravier cassé.. 5 ^r fait à la machine 240 ^k à 28 j. Sommiers d'articulations : B ¹ moulé Ciment..... 1 ^r Sable 1 ⁵ Gravier cassé.. 1 ⁵ Ciment Dyckerhoff et fils à Mannheim	Pression maxima dans la voûte, pour la position la plus défavorable de la surcharge : 31 ^k Pas de tension Surcharge : 2 locomotives puis, des wagons Par m ² : Locomotives 4400 ^k Wagons 3500 ^k	1° 10 voûtes transversales vues, en plein cintre de 2 ^m 35, sur piles de 0 ^m 70, 0 ^m 75, 0 ^m 80, traversées par une voûte longitudinale en ogive de 1 ^m 30 2°
Bavière		RG 22 ^m 5 RD							
1903-1904									
 F ^r (≥ 40 ^m) ¹		14 ^m 50	0 ^m 55						

1. — Pour le sens de ces abréviations, voir Avertissement, Tome IV, p. II, n° 6.

A VOIE NORMALE

SÉRIE $\overset{\text{A}}{\underset{\text{H}}{\text{A}}}^1 \text{Fr} (\geq 40^m)$

TABLEAU SYNOPTIQUE

EXÉCUTION										CUBE DE MAÇONNERIE A MORTIER																																																																															
GRANDE VOÛTE										<u>Q</u>																																																																															
CINTRE										DÉPENSE																																																																															
FERMES										<u>D</u>																																																																															
Cube de bois Poids de fer Dépenses										Totaux																																																																															
MODE DE CONSTRUCTION										et																																																																															
DÉCINTREMENT										par unité																																																																															
ÉTAT D'AVANCEMENT DU PONT										de surface utile S_p																																																																															
TEMPS ENTRE LE DERNIER CLAVAGE ET LE DÉCINTREMENT										de volume « utile » W																																																																															
Date										18																																																																															
TASSEMENTS DE LA CLEF																																																																																									
sur cintre t_c																																																																																									
au décin- trement t'_c																																																																																									
après t''_c																																																																																									
10																																																																																									
11																																																																																									
12																																																																																									
13																																																																																									
14																																																																																									
15																																																																																									
16																																																																																									
17																																																																																									
<div>Marne dure « Flinz »</div> <div>RG - 4^m50 RD - 4^m80</div> <div>Pression maxima : 3^k4</div> <div>Peu épuisements</div>										<div>Fixe</div> <div>Montants et contrefiches</div> <div>Sapin</div> <div>Vérins soulagés pendant le bétonnage par des coins</div>										<div>5</div> <div>Etage supérieur 20^c</div> <div>Etage inférieur 26^c</div> <div>1^m28</div> <div>60^{mm}</div>										<div>294^{mc}</div> <div>»</div> <div>24700^f env.</div> <div></div>										<div>0^{mc}89</div> <div>»</div> <div>75^f8</div> <div></div>										<div>A pleine épaisseur, en 14 tranches de 4^m de largeur</div> <div></div> <div>2 et 3 novembre</div>										<div>Voûtes d'évidement achevées</div> <div>30 jours</div> <div></div>										<div>$t_c = 15^{\text{mm}}$ jusqu'au clavage</div> <div>$t'_c = 9^{\text{mm}}$ avant de desserrer les vérins des retombées</div> <div>Au décintrement, les rotules de retombées glissèrent de 10 et 18^{mm}</div>										<div>Q = 2404^{mc}</div> <div>Q : S_p = 5^{mc}88 Q : W = 0^{mc}46</div> <div>D = 112 294^f</div> <div>D : S_p = 274^f9 D : W = 21^f7 D : Q = 46^f7</div>									

pour le calcul de la surface de douelle, voir Avertissement, Tome IV, p. III, n° 7 - A. 3. S_p = Longueur (col. 2) \times Largeur entre parapets (col. 3) - C'est la surface offerte à la circulation

4. W = Surface vue de l'élévation \times Largeur entre parapets. 5. W' = Surface de l'élévation au-dessus des fondations \times Largeur entre parapets

Pour S_p , W , W' , voir Avertissement, Tome IV, p. III, n° 7 - B.

VOÛTES ARTICULÉES ARTICULATIONS ROULANTES
ARCS TRÈS SURBAISSÉS

PONTS A UNE SEULE GRANDE ARCHE
SOUS CHEMIN DE FER A VOIE NORMALE

SÉRIE $\overset{\text{A}}{\underset{\text{H}}{\text{A}}}^1$ Fr ($\geq 40^m$)

MONOGRAPHIES

PONT SUR L'ILLER, A ILLERBEUREN¹ (ALLEMAGNE - Souabe bararoise)
Chemin de fer d'intérêt local² de Legau à Memmingen

1903-1904

$\overset{\text{A}}{\underset{\text{H}}{\text{A}}}^1$ Fr ($\geq 40^m$)¹

Φ_1 (S₁)



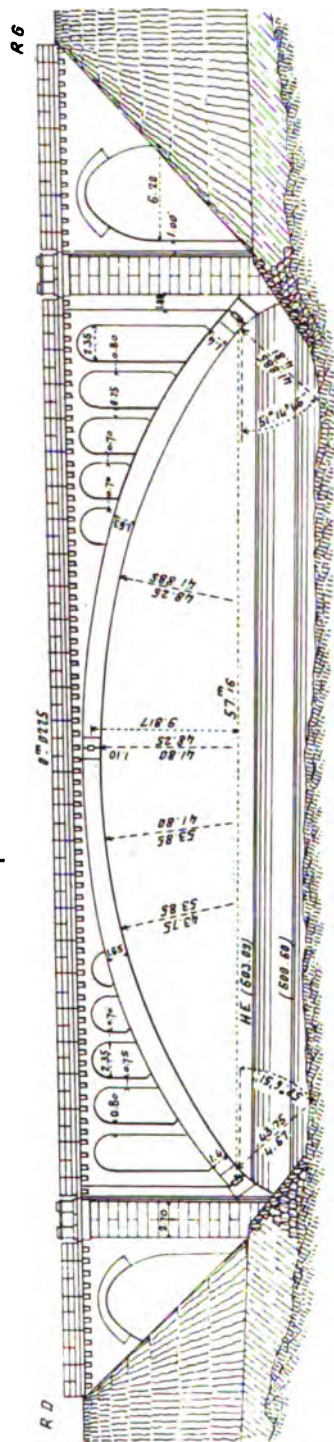
1. Le pont est en béton. — Tout est en béton,
soit coulé en place : grande et petites voûtes, culées, pilastres à refends
horizontaux jouant la pierre de taille ;
soit moulé à l'avance : sommiers des rotules, plinthes, consoles.
On l'a employé par économie³ : on avait, tout près, de bon sable et de bon
gravier.

1. — Entre les stations de Lautrach et d'Illerbeuren, à 200^m environ de celle-ci. Il semble plus
naturel de l'appeler « Pont d'Illerbeuren » que « Pont de Lautrach ».

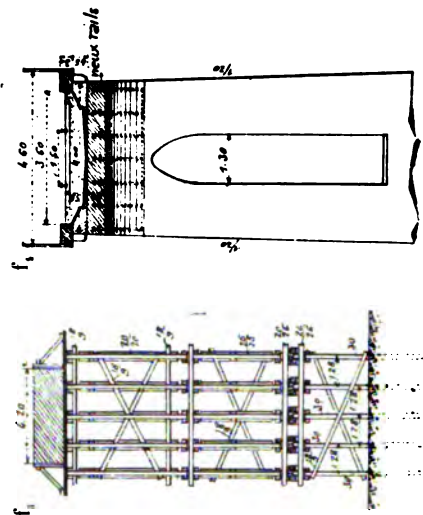
2. — A voie de 1^m50.

3. — L'ouvrage a coûté 112.294' ; en métal, il eût coûté 135.740' (S₁).

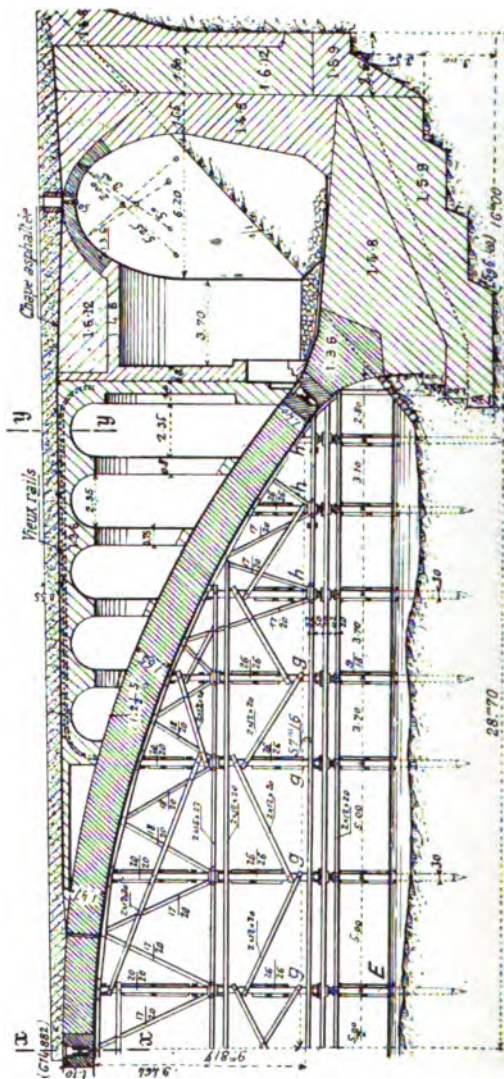
f₁ — Élévation — 2^{mm}



Coupes en travers
sur xx de f_1 — 3mm sur yy de f_1 — 5mm



f₁ — Demi-coupe en long et centre — 3^{mm}



2. Quelques observations. — On a tenu compte de la pente (22^m5) dans les rayons d'intrados et l'épaisseur au joint de rupture de chaque demi-voûte.

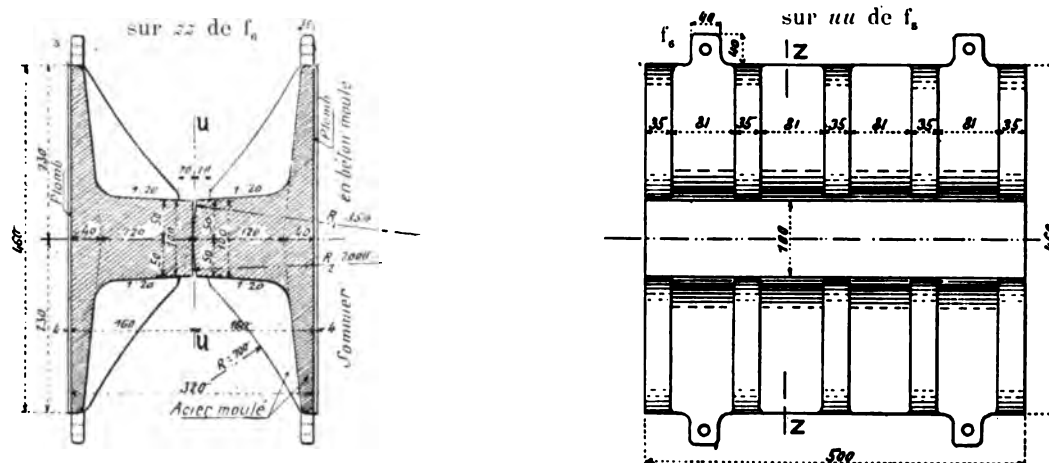
Les voûtes qui traversent les culées sont en ellipse surhaussée : leurs bandeaux n'ont été dessinés qu'au-dessus des reins.

On a sagement montré les voûtes et leurs têtes telles qu'elles ont été moulées (S_1).

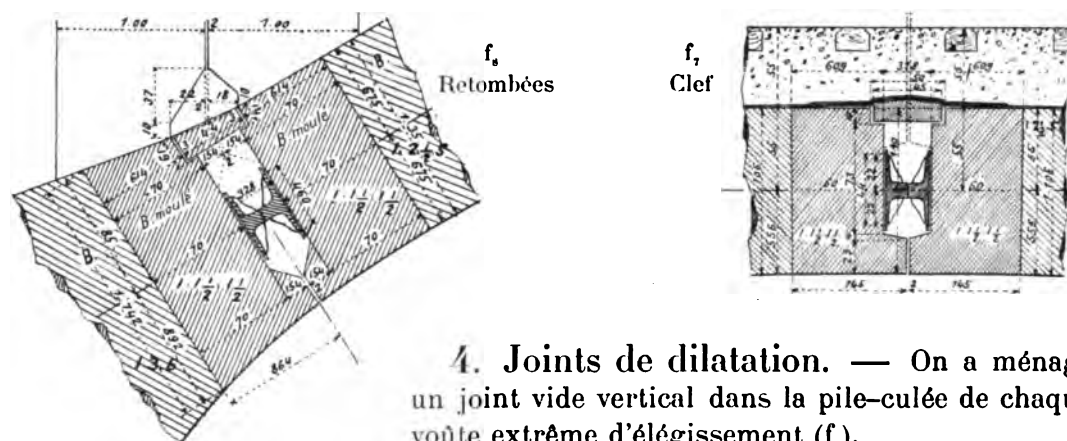
3. Articulations. — Elles sont cachées aux têtes et en douelle.

L'eau qui en tombe a tracé sur le sol une ligne de rouille (S_1).

Rotules
Coupes — 10^m



Rotules et sommiers — 2^m



4. Joints de dilatation. — On a ménagé un joint vide vertical dans la pile-culée de chaque voûte extrême d'élégissement (f_1).

Les voûtes d'élégissement sont armées, en long, de 7 vieux rails espacés de 0^m57 , dont les bouts sont réunis par des fers ronds de 3^m (f_1 , f_2). Ils absorbent la poussée de la dernière voûte.

5. Chapes. — Le béton sous ballast est recouvert de feutre asphalté ; par-dessus, de sable.

L'extrados de la grande voûte sous les petites a été revêtu de ciment, puis d'asphalte (le soleil l'a fait couler).

A quelques places, l'eau a traversé la grande voûte et enlevé le mortier (S_2).



6. Composition et volume des bétons (voir f.).

	Pour 1 ^{vol} de ciment			Cube
	Sable	Gravier cassé Dosage	Grosseur maxima	
Grande voûte (résistance imposée à 28 jours : 240 ^k)..	2 ^r 5	5 ^r	3 ^r 5	387 ^{mc}
Blocs de béton moulé : sommiers des articulations (résistance : 300 ^k)	1 ^r 5	1 ^r 5	3 ^r 5	33 ^{mc}
Partie des culées sous les retombées ; voûtes de décharge et d'évidement.....	3 ^r	6 ^r	3 ^r 5	376 ^{mc}
Culées de la grande voûte et des voûtes de décharge.	4 ^r	8 ^r	3 ^r 5	948 ^{mc}
Fondations.....	5 ^r	9 ^r	4 ^r 5	476 ^{mc}
Remplissage	6 ^r	12 ^r		128 ^{mc}
Consoles, dalles, dés.....	1 ^r 5	3 ^r 75	3 ^r 5	56 ^{mc}

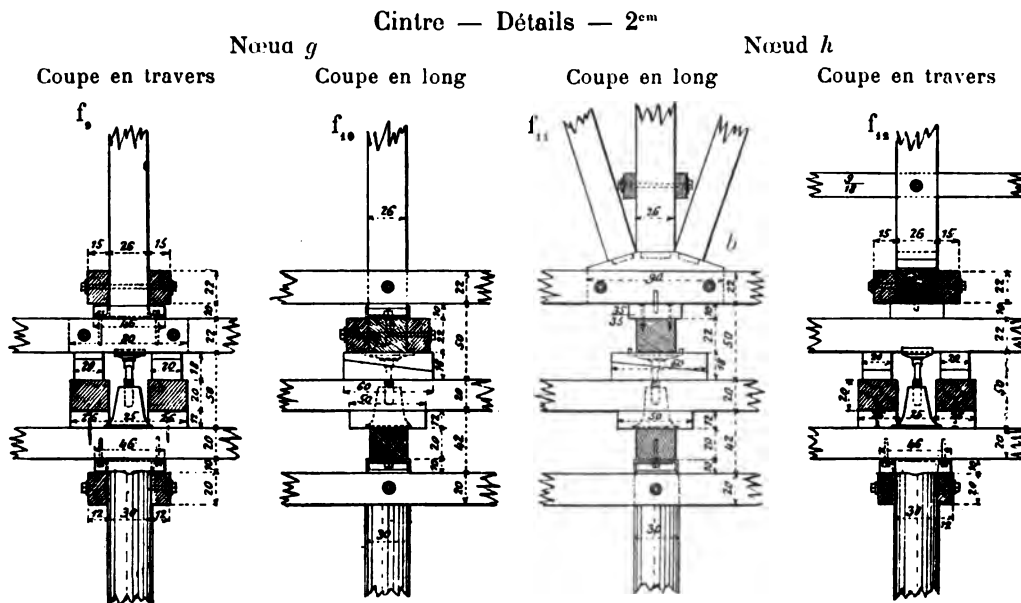
Tout le béton a été fait à la machine.

On a employé 430 tonnes de ciment.

Le sable et le gravier, très argileux, étaient soigneusement lavés.

7. Cintre (f_1, f_2). — Les pieux étaient battus de 40^{cm} à 60^{cm} dans des trous percés dans l'argile dure, au refus de 2^{mm} d'un mouton de 680^k tombant de 1^m80.

Aux nœuds h (f_1, f_{11}, f_{12}), les pièces s'appuyaient sur une semelle en bois dur b .



Aux nœuds g (f_1, f_2, f_{10}), les montants étaient armés à leur pied d'un fer \sqsubset .

On admettait comme résistance du bois, normalement aux fibres :

10 à 12^k pour le bois tendre (5 fois moins que dans le sens des fibres) ;

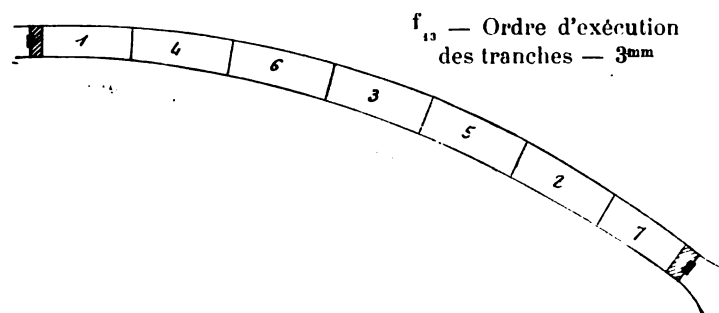
30^k pour le bois dur.

Pour tenir compte des secousses pendant le pilonnage, on a majoré de 50% le poids de la maçonnerie.

Les fermes reposaient sur des vérins à vis, soulagés pendant la construction par deux paires de coins (f_1 à f_{12}).

8. Fondations. — Avant la pose du béton, on enleva 1^{cm} à 2^{cm} de marne ramollie par les pluies.

9. Exécution de la grande voûte (S_1). — On l'a construite en 14 tranches symétriques de 4^m de largeur, dans l'ordre des chiffres de f_{13} .



10. Décintrement. — On enleva les coins, puis on abaissa les vérins à partir de la clef, sans toucher à ceux des naissances.

11. Dates.

Commencement des travaux.....	18 mai 1903
Construction du cintre.....	fin août - fin septembre
Pose des rotules.....	21 septembre
Bétonnage de la voûte.....	25 septembre - 3 octobre
Décintrement.....	2 - 3 novembre
Maçonneries sur les culées et la grande voûte.....	jusqu'à mi-décembre
Achèvement.....	avril 1904

12. Épreuves (15 avril 1904). — Sous la surcharge admise dans les calculs, le pont tassa, puis se releva de 4^{mm}5.

13. Personnel.

Ingénieur. *Projet (1902) et Direction générale des Travaux* : M. Beutel, Ingénieur en chef de la Construction à la Direction Générale des Chemins de fer de l'Etat bavarois, à Munich (S₁).

Entrepreneurs : MM. B. Liebold et C^{ie}, d'Holzminden.

L'Entreprise a obtenu de substituer des tympans évidés aux tympans pleins prévus.

SOURCES :

S₁. — Deutsche Bauzeitung, 1904 : 3 septembre, p. 441 à 443 ; - 10 septembre, p. 453 et 454 : « Eisenbahnbrücke in Stampfbeton über die Iller bei Lautrach (Bayr.-Schwaben), - Holzminden, 24 juillet 1904. L.

S₂. — Dessins de détail que m'a très aimablement remis, à Munich, M. l'Ingénieur en chef Beutel.

S₃. — Ce que j'ai vu — août 1908.

S₄. — Renseignements gracieusement communiqués par M. B. Liebold en juillet 1910.

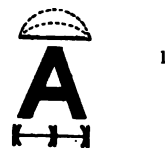
Texte : Ce qui n'est pas spécifié S₂ et S₄ est de S₁.

Dessins : Ils sont réduits de S₂ et rectifiés d'après S₄ pour les modifications en cours d'exécution.

Ce pont a été décrit dans le Génie Civil du 16 février 1907, p. 257 à 260, Pl. XVI : « Ponts en béton à 3 rotules, sur l'Iller, à Lautrach et à Kempten (Bavière) » A, C.

VOÛTES ARTICULÉES
ARTICULATIONS ROULANTES ¹

ARCS TRÈS SURBAISSÉS



(Suite)

PONTS A PLUSIEURS GRANDES ARCHES
SOUS ROUTE

Série  ⁿ r^{le} ($\geq 40^m$) ¹

1. — Pour le classement des voûtes articulées et le sens des symboles, voir Tome IV, Livre I, p. 28 et 29.

PONT A PLUSIEURS GRANDES ARCHES SOUS ROUTE

PONT	PROJET								
	ENSEMBLE		GRANDES VOÛTES					ÉVIDEMENTS DES TYMPANS	
	Longueur entre abouts des parapets	Largeurs entre parapets entre tympans sous la plinthe	INTRADOS	ÉPAISSEURS	ROTULES	MATÉRIAUX	PRESSIONS		
Date	1	2	3	4	5	6	7	8	9
Symbole									
En quoi consiste l'ouvrage									

SÉRIE $\hat{A}^n r^{10} (\geq 40m)$

TABLEAU SYNOPTIQUE



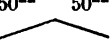


EXÉCUTION										CUBE DE MAÇONNERIE A MORTIER		
FONDATIONS	GRANDES VOÛTES									Q DÉPENSE D Totaux et par unité { de surface utile S _p de volume « utile » W		
	CINTRES				MODE DE CONSTRUCTION	DÉCINTREMENT État d'avancement du pont Temps entre le dernier clavage et le décintrement Date	TASSEMENTS DE LA CLEF sur cintre t _c au décin- trement t' _v après t'' _v					
	FERMES		Cube de bois Poids de fer Dépenses									
	Type Matière Appareils de décintrement	Nombre Épaisseur Écartement d'axe en axe Surhaussement	Totaux	par mq de douelle 2								
	10	11	12	13				14	15			
Marne (Lias) et bancs de rocher » Épuisements dans des batardeaux	» » Vérins	{ 6 15 ^{cm} 1 ^m 25 » 100 ^{mm}										
Rocher (Muschelkalk) flssuré à la culée rive gauche On y a élargi le massif de fondation » Épuisements dans des batardeaux	Fixe Montants et contrefiches » Vérins à vis	{ 5 20 ^{cm} 1 ^m 48 100 ^{mm}	Moyenne des deux cintres : 128 ^{mc} 1500 ^k 7928 ^t	0 ^{mc} 49 5 ^k 7 30 ^t 3	A pleine épaisseur par tranches de 1 ^m de largeur mi-novembre	Tympan achevés 1 mois 1/2 environ						

1. Pour le calcul de la surface de douelle, voir Avertissement, Tome IV, p. III, n° 7 - A. 3. S_p = Longueur (col. 2) × Largeur entre parapets (col. 3) - C'est la surface offerte à la circulation.

4. W = Surface vue de l'élévation × Largeur entre parapets. 5. W' = Surface de l'élévation au-dessus des fondations × Largeur entre parapets.

Pour S_p , W, W', voir Avertissement, Tome IV, p. III, n° 7 - B.

PONT A PLUSIEURS GRANDES ARCHES SOUS ROUTE

PONT	PROJET																			
	ENSEMBLE		GRANDES VOÛTES					1° ÉVIDEMENTS DES TYMPANS 2° DÉCORATION DES TÊTES												
	Longueur <i>entre abouts des parapets</i> Déclivités Hauteur maxima de la chaussée au-dessus du sol ou de l'étiage	Largeurs <i>entre parapets entre tympans sous la plinthe</i> Fruit des tympans Revanche de la chaussée sur l'extrados	INTRADOS Portée Montée Surbaissement Rayons	ÉPAISSEURS CORPS ET TÊTES Clef <i>Joints de rupture Retombées</i>	ROTULES <i>Pour les dimensions, rayons, pressions,... voir Tome IV, Livre III.</i>	MATÉRIAUX Mortier Poids, pour 1 ^{me} de sable, de chaux ou de ciment	PRESSIONS en kg/0 ^m 01 ² Surcharges supposées													
1	2	3	4	5	6	7	8	9												
de Malling <i>Lorraine allemande</i> 1899-1901  Aⁿr^{te} (≥ 40 ^m) ¹ 3 voûtes de 40 ^m	138 ^m » »	$\left\{ \begin{array}{l} 6^m 00 \\ 5^m 72 \end{array} \right.$ Pas de fruit 0 ^m 36	Arc d'anse de panier $\left\{ \begin{array}{l} 40^m 00 \\ 4^m 67 \\ \frac{1}{8,56} = 0,116 \end{array} \right.$ Entre axes des rotules : $\left\{ \begin{array}{l} 40^m 50 \\ 4^m 73 \\ \frac{1}{8,56} = 0,116 \end{array} \right.$	$\left\{ \begin{array}{l} 0^m 88 \\ \text{Corps} \\ 1^m 34 \\ \text{Têtes} \\ 1^m 10 \\ 1^m 00 \end{array} \right.$	Béton Ciment Portland 1 ^r Sable de la Moselle 2 ^r Quartz cassé fin 2 ^r	Béton <table><tr><th></th><th>dans la voûte</th><th>près des rotules</th></tr><tr><td>Ciment</td><td>1^r</td><td>1^r</td></tr><tr><td>Sable</td><td>3^r</td><td>3^r</td></tr><tr><td>Pierre cassée</td><td>6^r</td><td>4^r 5</td></tr></table>		dans la voûte	près des rotules	Ciment	1 ^r	1 ^r	Sable	3 ^r	3 ^r	Pierre cassée	6 ^r	4 ^r 5		1° Pas d'évidements 2° »
	dans la voûte	près des rotules																		
Ciment	1 ^r	1 ^r																		
Sable	3 ^r	3 ^r																		
Pierre cassée	6 ^r	4 ^r 5																		
de Hochberg <i>Wurtemberg</i> 1901-1903  Aⁿr^{te} (≥ 40 ^m) ² 2 voûtes de 39 ^m 40	101 ^m 32 <i>jusqu'aux abouts des culées</i> 50 ^m 50 ^m  13 ^m 46	$\left\{ \begin{array}{l} 5^m 82 \\ 5^m 10 \end{array} \right.$ Fruit : 1/10 0 ^m 65	Entre axes des rotules : $\left\{ \begin{array}{l} 40^m 00 \\ 5^m 40 \\ \frac{1}{7,407} = 0,135 \end{array} \right.$ Entre appuis : $\left\{ \begin{array}{l} 39^m 40 \\ 5^m 40 \\ \frac{1}{7,296} = 0,137 \end{array} \right.$	$\left\{ \begin{array}{l} 0^m 75 \\ 1^m 04 \\ 0^m 75 \end{array} \right.$	Granit Ciment Portland Sable du Mein et du Neckar Muschel- kalk cassé	Béton <table><tr><th></th><th>dans la voûte</th><th>près des rotules</th></tr><tr><td>Ciment</td><td>1^r</td><td>1^r</td></tr><tr><td>Sable</td><td>2^r 5</td><td>2^r</td></tr><tr><td>Muschel- kalk cassé</td><td>5^r</td><td>4^r</td></tr></table>		dans la voûte	près des rotules	Ciment	1 ^r	1 ^r	Sable	2 ^r 5	2 ^r	Muschel- kalk cassé	5 ^r	4 ^r	Pression maxima : Clef : 28 ^k Joints de rupture : 34 ^k Retombées : 28 ^k 400 ^k /1 ^m ² et Rouleau à vapeur de 16 ^r	1° 2 étages de voûtes transversales de 1 ^m 40, sur piles de 0 ^m 60 aveuglées, à 30 ^m en arrière des têtes, par un mur de 30 ^m 2° »
	dans la voûte	près des rotules																		
Ciment	1 ^r	1 ^r																		
Sable	2 ^r 5	2 ^r																		
Muschel- kalk cassé	5 ^r	4 ^r																		
Cornélius à Munich <i>Bavière</i> 1902-1903  Aⁿr^{te} (≥ 40 ^m) ³ 1 route de 44 ^m en muschelkalk, et 2 routes de 38 ^m 50 en béton, avec têtes en muschelkalk	177 ^m Au-dessus de la voûte de 44 ^m :  6 ^m 50	$\left\{ \begin{array}{l} 18^m 00 \\ 18^m 50 \end{array} \right.$ Pas de fruit 0 ^m 60	Arc avec raccord vertical aux retombées Portée entre appuis : 44 ^m 00 Entre axes des rotules : $\left\{ \begin{array}{l} 41^m 00 \\ 3^m 42 \\ \frac{1}{12} = 0,834 \end{array} \right.$ Rayon de courbure de la fibre moyenne à la clef : 55 ^m	$\left\{ \begin{array}{l} 0^m 80 \\ 1^m 20 \\ 0^m 90 \end{array} \right.$	Rotules d'acier moulé prises dans des sabots en fonte, appuyés sur sommiers de granit	PT ¹ Muschelkalk Ciment — 700 ^k	Pression maxima sous la surcharge : Clef : 36 ^k Joints de rupture : 24 ^k Retombées : 35 ^k 500 ^k /1 ^m ² et Rouleau à vapeur de 23 ^r	1° Pas d'évidement Remplissage en gravier 2° »												

1. — Pour le sens de ces abréviations, voir Avertissement, Tome IV, p. II, n° 6.




SÉRIE $\hat{A}^{n^{\text{e}}}$ r^{te} ($\geq 40^{\text{m}}$)

TABLEAU SYNOPTIQUE

EXÉCUTION										CUBE DE MAÇONNERIE A MORTIER		
FONDATEMENTS	GRANDES VOÛTES									<div>Q</div> DÉPENSE <div>D</div>		
	CINTRES					MODE DE CONSTRUCTION	DÉCINTREMENT État d'avancement du pont Temps entre le dernier clavage et le décintrement Date	TASSEMENTS DE LA CLEF sur cintre t_c au décin- trement t_v après t_v'	Totaux et par unité { de surface utile S_p ² de volume « utile » W ⁴			
	FERMES		Cube de bois		Totaux							par mq de douelle ²
	Type	Nombre	Poids de fer	Dépenses								
	Matière	Épaisseur										
Nature du sol	Appareils de décintrement	Écartement d'axe en axe Surhaussement										
Profondeur sous l'étiage												
Pressions sur le sol en kg/0 ^m 1 ²												
Procédé												
10	11	12	13	14	15	16	17	18				
Marne (Lias) et bancs de rocher	»	6 15 ^{cm} 1 ^m 25										
»	»											
Épueissements dans des batardeaux	Vérins	»										
Rocher (Muschelkalk) fissuré à la culée rive gauche On y a élargi le massif de fondation	Fixe Montants et contrefiches	5 20 ^{cm} 1 ^m 48	Moyenne des deux cintres : 128 ^{mc} 1500 ^k		A pleine épaisseur par tranches de 1 ^m de largeur	Tympan achevés 1 mois 1/2 environ		Q = 2867 ^{mc} Q : S _p = 4 ^{mc} 86 Q : W = 0 ^{mc} 46				
»	»			5 ^k 7				D	Fon- dations	Élé- vation	En- semble	
Épueissements dans des batardeaux	Vérins à vis	100 ^{mm}	7928 ^t	30 ^t 3		mi-novembre		18510 ^t	150548 ^t	169038 ^t		
								D : S _p	31 ^t 4	255 ^t 3	286 ^t 7	
								D : W	3 ^t 0	24 ^t 4	27 ^t 4	
								D : Q	»	»	59 ^t 0	
Marne « Flins » - 6 ^m 60	Fixe Montants et contrefiches	10 24 ^{cm} 2 ^m 00	575 ^{mc} 4500 ^k	0 ^{mc} 71 5 ^k 5		Tympan construits 28 jours	$t_c = 45^{mm}$ $t_v' = 22^{mm}$	PT ¹ = 1015 ^{mc} B ¹ = 0345 ^{mc} Q = 11260 ^{mc} Q : S _p = 4 ^{mc} 12 Q : W = 0 ^{mc} 59				
Pression avec surcharge :	Pin	120 ^{mm}						D	Fon- dations	Élé- vation	En- semble	
MAX. : 4 ^k 9 moy. : 3 ^k 7								290337 ^t	513770 ^t	804407 ^t		
Fouille blindée	Vérins à vis					8 mai		D : S _p	106 ^t 1	187 ^t 8	293 ^t 9	
								D : W	15 ^t 3	27 ^t 1	42 ^t 5	
								D : Q	»	»	71 ^t 4	

Pour le calcul de la surface de douelle, voir Avertissement, Tome IV, p. III, n° 7 — A. 3. S_p = Longueur (col. 2) \times Largeur entre parapets (col. 3) — C'est la surface offerte à la circulation.4. W = Surface vue de l'élévation \times Largeur entre parapets. 5. W' = Surface de l'élévation au-dessus des fondations \times Largeur entre parapets.Pour S_p , W, W', voir Avertissement, Tome IV, p. III, n° 7 — B.

PONT A PLUSIEURS GRANDES ARCHES SOUS ROUTE

PONT	PROJET																																		
	ENSEMBLE		GRANDES VOÛTES					1° ÉVIDEMENTS DES TYMPANS 2° DÉCORATION DES TÊTES																											
	Date Symbole En quoi consiste l'ouvrage	Longueur <i>entre abouts des parapets</i> Déclivités Hauteur maxima de la chaussée au-dessus du sol ou de l'étiage	Largeurs <i>entre parapets entre tympans sous la plinthe</i> Fruit des tympans Revanche de la chaussée sur l'extrados	INTRADOS Portée Montée Surbaissément Rayons	ÉPAISSEURS CORPS ET TÊTES Clef Joints de rupture Retombées	ROTULES <i>Pour les dimensions, rayons, pressions,... voir Tome IV, Livre III.</i>	MATÉRIAUX Mortier Poids, pour 1 ^m c de sable, de chaux ou de ciment		PRESSIONS en kg/0 ^m 01 ² Surcharges supposées																										
1	2	3	4	5	6	7	8	9																											
de Reichenbach à Munich Bavière 1902-1903  Aⁿ r^{te} ($\geq 40^m$) ⁴ A partir de la rive gauche : 4 voûtes, de 44 ^m , 28 ^m , 27 ^m , 26 ^m , ces 3 dernières articulées sur plomb	146 ^m 50 Au-dessus de la grande voûte : 30 ^m 20 ^m clef 7 ^m 50	$\left\{ \begin{array}{l} 20^m 00 \\ 20^m 50 \end{array} \right.$ Pas de fruit »	Arc avec raccord vertical aux retombées Portée entre appuis : 44 ^m 00 Entre axes des rotules : 41 ^m 00 4 ^m 10 $\frac{1}{10} = 0,10$ Rayon de courbure de la fibre moyenne à la clef : 60 ^m	$\left\{ \begin{array}{l} 0^m 80 \\ 1^m 20 \\ 0^m 90 \end{array} \right.$	Rotules d'acier moulé prises dans des sabots en fonte, appuyés sur sommiers en granit	Bandeaux : PT ¹ Muschelkalk de Franconie (500 ^k à 800 ^k) Ciment — 0 ^m 500 Corps : B ¹ Ciment... 1 ^r Sable 2 ^r 5 Gravier .. 5 ^r	Pression maxima : Clef : 27 ^k Joints de rupture : 25 ^k Retombées : 26 ^k	1° Entre tympans pleins, voûtes d'arc en béton sur piliers en béton 2° »																											
de Neckargartach Wurtemberg 1903-1905  Aⁿ r^{te} ($\geq 40^m$) ⁵ 5 voûtes de 40 ^m	228 ^m 35 Dos d'âne Déclivité maxima : 11 ^m 1 11 ^m	$\left\{ \begin{array}{l} 10^m 80 \\ 10^m 40 \end{array} \right.$ Fruit : 1/40 0 ^m 48 au-dessus de la chape	Arc d'anse de panier 40 ^m 00 Voûtes de rive : 4 ^m 375 Voûtes interméd. : 4 ^m 825 à 5 ^m 155 $\frac{1}{9,14} = 0,109$ à 1 $\frac{1}{7,75} = 0,129$ Rayons : Clef : 40 ^m Retombées : 42 ^m	$\left\{ \begin{array}{l} 0^m 75 \\ 1^m 00 \\ 0^m 80 \end{array} \right.$ environ	Granit des Fichtel- gebirge	Béton Ciment Portland ¹ de Lauffen Sable du Mein.... 1 ^r } 2 ^r 5 porphyrique 1 ⁵ } Porphyre Gravier..... 1 ⁵ } 4 ^r 5 Pierre cassée 3 ^r } Près des articulations : 1 ^r — 2 ^r 5 — 1 ⁵ Pas de porphyre cassé	Pression maxima dans la voûte : 38 ^k 400 ^k /1 ^m ² et Rouleau à vapeur de 16 ^r	1° 10 voûtes transversales vues, en plein cintre, sur piles de 60 ^m percées de 5 ouvertures de 1 ^m 30 2° »																											
Maximilien à Munich Bavière 1903-1905  Aⁿ r^{te} ($\geq 40^m$) ⁶ 2 voûtes de 45 ^m 87	123 ^m 24 17 ^m 5 RD RG 11 ^m	$\left\{ \begin{array}{l} 22^m 00 \\ 21^m 80 \end{array} \right.$ Pas de fruit 0 ^m 50	Arc avec raccord vertical aux retombées Portée entre appuis : 45 ^m 87 Entre axes des rotules : 44 ^m 00 4 ^m 90 (moy.) $\frac{1}{8,979} = 0,111$ Rayon de courbure de la fibre moyenne à la clef : 60 ^m	$\left\{ \begin{array}{l} 0^m 80 \\ 1^m 09 \\ 1^m 175 \end{array} \right.$	Rotules d'acier moulé prises dans des sabots en fonte, appuyés sur sommiers en granit	PT ¹ Muschelkalk de Franconie (500 ^k à 800 ^k)	Pressions <table><tr><th></th><th>MAX.</th><th>MOY.</th></tr><tr><td>sans surcharge :</td><td></td><td></td></tr><tr><td>Clef</td><td>28^k</td><td>»</td></tr><tr><td>Joints derupt.</td><td>19^k</td><td>»</td></tr><tr><td>Retom- bées</td><td>25^k</td><td>»</td></tr><tr><td>avec surcharge :</td><td></td><td></td></tr><tr><td>Clef</td><td>36^k</td><td>32^k</td></tr><tr><td>Joints derupt.</td><td>36^k</td><td>24^k</td></tr><tr><td>Retom- bées</td><td>32^k</td><td>28^k</td></tr></table> 500 ^k /1 ^m ² et Rouleau à vapeur de 20 ^r		MAX.	MOY.	sans surcharge :			Clef	28 ^k	»	Joints derupt.	19 ^k	»	Retom- bées	25 ^k	»	avec surcharge :			Clef	36 ^k	32 ^k	Joints derupt.	36 ^k	24 ^k	Retom- bées	32 ^k	28 ^k	1° 8 voûtes transversales vues, en arc de 2 ^m 10 à 2 ^m 5, sur piles de 0 ^m 90 percées de 8 voûtes longitudinales en arc de 1 ^m 10 espacées de 0 ^m 80 Voûtes extrêmes d'élégissement armées. Tout en béton sauf les têtes 2° Statue de Pallas au-dessus de la pile
	MAX.	MOY.																																	
sans surcharge :																																			
Clef	28 ^k	»																																	
Joints derupt.	19 ^k	»																																	
Retom- bées	25 ^k	»																																	
avec surcharge :																																			
Clef	36 ^k	32 ^k																																	
Joints derupt.	36 ^k	24 ^k																																	
Retom- bées	32 ^k	28 ^k																																	

1 — Pour le sens de ces abréviations, voir Avertissement, Tome IV, page II, n° 6.

SÉRIE $\hat{A}^{n^{\text{re}}} (\geq 40^{\text{m}})$

TABLEAU SYNOPTIQUE (Suite)


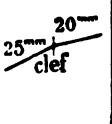

EXÉCUTION										CUBE DE MAÇONNERIE A MORTIER								
FONDATIONS	GRANDES VOÛTES									Q DÉPENSE D Totaux et par unité { de surface utile S _p de volume « utile » W								
	CINTRES					MODE DE CONSTRUCTION	DÉCINTREMENT État d'avancement du pont Temps entre le dernier clavage et le décintrement Date	TASSEMENTS DE LA CLEF										
	FERMES		Cube de bois Poids de fer Dépenses	Totaux	par mq de douelle 2			sur cintre t _c au décin- trement après t _c										
	Type	Nombre						am ¹ 38 10 t _c t _c t _c Culée rive gauche ← 1 ^m 3 ↓ 0 ^m 5 Pile-culée rive droite → 2 ^m Elle se redressa ensuite	av ¹ 35 12 47 18 24					D	Fon- dations	Élé- vation	En- semble	
	Matière	Épaisseur Écartement d'axe en axe Surhaussement																
Nature du sol	11	12	13	14	15	16	17	18										
Profondeur sous l'étiage	Fixe	11 25 ^{cm} 2 ^m 00	635 ^{mc} 5200 ^k	0 ^{mc} 70 5 ^k 8	A pleine épaisseur, par tranches de 1 ^m 20 à 1 ^m 50 entre cloisons normales à la fibre moyenne, bétonnées de 2 en 2 symétrique- ment, par couches de 10 à 15 ^m	Tympan construits Plate-forme commencée 45 jours 12 mai	pendant le béton- nage après t _c t _c t _c Culée rive gauche ← 1 ^m 3 ↓ 0 ^m 5 Pile-culée rive droite → 2 ^m Elle se redressa ensuite	am ¹ 38 10 t _c t _c t _c Culée rive gauche ← 1 ^m 3 ↓ 0 ^m 5 Pile-culée rive droite → 2 ^m Elle se redressa ensuite	av ¹ 35 12 47 18 24	PT ¹ = 1482 ^{mc} B ¹ = 11080 ^{mc} Q = 13471 ^{mc} Q : S _p = 4 ^{mc} 59 Q : W = 0 ^{mc} 66	D	Fon- dations	Élé- vation	En- semble				
Pressions sur le sol en kg 0 ^m 1 ^a	Montants et contrefiches														100 ^{mm}	11742 ^f	698409 ^f	815830 ^f
Procédé	Pin																	
10	11	12	13	14	15	16	17	18										
Marne dure « Flins » Résistance : 15 ^k à 20 ^k - 7 ^m 20 - 5 ^m 80 Pression maxima : 5 ^k 5 Épuisements dans des batardeaux Béton pilonné par couches de 10 ^m à 15 ^m	Fixe Montants et contrefiches Pin Vérins à vis Coins aux retombées	11 25 ^{cm} 2 ^m 00 100 ^{mm}	635 ^{mc} 5200 ^k	0 ^{mc} 70 5 ^k 8	A pleine épaisseur, par tranches de 1 ^m 20 à 1 ^m 50 entre cloisons normales à la fibre moyenne, bétonnées de 2 en 2 symétrique- ment, par couches de 10 à 15 ^m	Tympan construits Plate-forme commencée 45 jours 12 mai	pendant le béton- nage après t _c t _c t _c Culée rive gauche ← 1 ^m 3 ↓ 0 ^m 5 Pile-culée rive droite → 2 ^m Elle se redressa ensuite	am ¹ 38 10 t _c t _c t _c Culée rive gauche ← 1 ^m 3 ↓ 0 ^m 5 Pile-culée rive droite → 2 ^m Elle se redressa ensuite	av ¹ 35 12 47 18 24	PT ¹ = 1482 ^{mc} B ¹ = 11080 ^{mc} Q = 13471 ^{mc} Q : S _p = 4 ^{mc} 59 Q : W = 0 ^{mc} 66	D	Fon- dations	Élé- vation	En- semble				
															D : S _p	D : W	D : Q	
															D : S _p	D : W	D : Q	
Rocher Pression maxima : 7 ^k Épuisements dans des batardeaux et des fouilles blindées	Voûte rive gauche : Retroussé sur 10 ^m 70 Passe marinière de 9 ^m Autres voûtes : Fixe Montants et contrefiches Vérins	8 20 ^{cm} 1 ^m 60 Clef : 100 ^{mm} Retombées : 10 ^{mm}			A pleine épaisseur en 32 tranches de 1 ^m 18	Piles des voûtes d'évidement achevées 28 jours 10 novembre	t _c = 80 ^{mm} t _c = 13 ^{mm} (moyenne)			PT ¹ B ¹ Q Q : S _p Q : W D D : S _p D : W D : Q	Fon- dations » 3000 ^{mc} 1 ^{mc} 21 0 ^{mc} 11 98720 ^f 40 ^f 0 3 ^f 7 32 ^f 9	Élé- vation 928 ^{mc} 6648 ^{mc} 320840 ^f 130 ^f 1 11 ^f 9 48 ^f 3	En- semble 928 ^{mc} 9648 ^{mc} 419560 ^f 170 ^f 1 15 ^f 6 43 ^f 5					
														D : S _p	D : W	D : Q		
														D : S _p	D : W	D : Q		
Marne dure « Flins » - 5 ^m Pression maxima : 5 ^k 5 Épuisements en fouilles blindées	Fixe Montants et contrefiches Pin Vérins à vis	12 24 ^{cm} 2 ^m 00 120 ^{mm}	750 ^{mc} 6000 ^k	0 ^{mc} 72 5 ^k 7		Tympan construits 50 jours 13 juin	t _c = 20 ^{mm}			PT ¹ = 2790 ^{mc} B ¹ = 8354 ^{mc} Q = 11144 ^{mc} Q : S _p = 4 ^{mc} 11 Q : W = 0 ^{mc} 37	D	Fon- dations	Élé- vation	En- semble				
															D : S _p	D : W	D : Q	
															D : S _p	D : W	D : Q	

Pour le calcul de la surface de douelle, voir Avertissement, Tome IV, p. III, n° 7 - A. 3. S_p = Longueur (col. 2) × Largeur entre parapets (col. 3) - C'est la surface offerte à la circulation.

4. W = Surface vue de l'élévation × Largeur entre parapets. 5. W' = Surface de l'élévation au-dessus des fondations × Largeur entre parapets.

Pour S_p , W, W', voir Avertissement, Tome IV, p. III, n° 7 - B.

PONT A PLUSIEURS GRANDES ARCHES SOUS ROUTE

PONT	PROJET							
	ENSEMBLE	GRANDES VOÛTES						1°
Date	Longueur entre abouts des parapets	Largeurs entre parapets entre tympans sous la plinthe	INTRADOS	ÉPAISSEURS	ROTULES	MATÉRIAUX	PRESSIONS	ÉVIDEMENTS DES TYMPANS
Symbole	Déclivités	Fruit des tympans	Portée Montée Surbaissément	CORPS ET TÊTES Clef Joints de rupture Retombées	Pour les dimensions, rayons, pressions, ... voir Tome IV, Livre III.	Mortier Poids, pour 1 ^m c de sable, de chaux ou de ciment	en kg/0 ^m 01 ² Surcharges supposées	2° DÉCORATION DES TÊTES
En quoi consiste l'ouvrage	Hauteur maxima de la chaussée au-dessus du sol ou de l'étiage	Revanche de la chaussée sur l'extrados	Rayons					
1	2	3	4	5	6	7	8	9
de Wittelsbach à Munich <i>Bavière</i> 1904-1905  r ^{te} (≥ 40 ^m) ⁷ A partir de la rive gauche : 4 routes de 44 ^m , 28 ^m , 27 ^m , 26 ^m , les 3 dernières articulées sur plomb	152 ^m Au-dessus de la grande voûte :  25 ^m 20 ^m clef	{ 20 ^m 00 20 ^m 30 Pas de fruit 0 ^m 37	Arc avec raccord vertical aux retombées Portée entre appuis : 44 ^m 00 Entre axes des rotules : 44 ^m 00 4 ^m 10 $\frac{1}{10} = 0,10$ Rayon de courbure de la fibre moyenne à la clef : 60 ^m	0 ^m 80 1 ^m 20 0 ^m 90	Rotules d'acier moulé prises dans des sabots en fonte appuyés sur sommier de granit	Bandeaux : PT ¹ Muschelkalk (500 ^k à 800 ^k) Corps : B ¹ 1 ^r — 2 ^r 5 — 5 ^r	Pressions MAX. moy. sans surcharge : Clef 25 ^k » Joints 17 ^k » disrupt. 17 ^k » Retom- 25 ^k » bées avec surcharge : Clef 29 ^k 27 ^k Joints 25 ^k 19 ^k disrupt. 25 ^k 19 ^k Retom- 28 ^k 26 ^k bées 500 ^k /1 ^m ² et Rouleau à vapeur de 20 ^r	1° Entre tympans pleins voûtes en béton de 1 ^m en long. 1 ^m 50 entravers, sur piliers en béton de 50 ^m × 50 ^m 2° Statue équestre sur la pile cul-
de Moulins- lez-Metz <i>Lorraine allemande</i> 1904-1905  r ^{te} (≥ 40 ^m) ⁸ 3 voûtes de 40 ^m , 44 ^m , 40 ^m	158 ^m 50 30 ^m 30 ^m	{ 7 ^m 00 7 ^m 10 Pas de fruit 0 ^m 45	Arcs d'anse de panier Voûte centrale Entre appuis : 44 ^m 00 5 ^m 68 $\frac{1}{7,746} = 0,129$ Rayons : Clef : 44 ^m 60 Retombées : 44 ^m Entre axes des rotules : 44 ^m 70 5 ^m 59 $\frac{1}{7,996} = 0,125$ Voûtes de rive Entre appuis : 40 ^m 00 4 ^m 78 $\frac{1}{8,368} = 0,120$ Rayons : Clef : 48 ^m Retombées : 48 ^m Entre axes des rotules : 40 ^m 54 4 ^m 79 $\frac{1}{8,463} = 0,118$	0 ^m 95 Corps : 1 ^m 42 Têtes : 1 ^m 19 1 ^m 15	Béton moulé Ciment Portland de Dyckdorf 1 ^r Sable de la Moselle 2 ^r Dolomite cassée fine de Perl 2 ^r	Bandeaux : MEV ¹ Bossages Calcaire de Gravelotte et d'Amanvilliers Ciment — 0 ^m c333 Corps : B ¹ Ciment..... 1 ^r Sable..... 2 ^r 5 Gravier.... 5 ^r Près des articulations : Ciment..... 1 ^r Sable..... 2 ^r Gravier.... 4 ^r	Pressions MAX. moy. Voûte centrale : sans surcharge : Clef 22 ^k » Joints 20 ^k 19 ^k disrupt. 20 ^k 19 ^k Retom- 21 ^k » bées avec surcharge : Clef 25 ^k » Joints 31 ^k 15 ^k disrupt. 31 ^k 15 ^k Retom- 24 ^k » bées Voûtes de rive : sans surcharge : Clef 21 ^k » Joints 20 ^k 14 ^k disrupt. 20 ^k 14 ^k Retom- 21 ^k » bées avec surcharge : Clef 24 ^k » Joints 32 ^k 18 ^k disrupt. 32 ^k 18 ^k Retom- 24 ^k » bées 400 ^k /1 ^m ² et Rouleau à vapeur de 16 ^r	1° 10 voûtes transversales vues, en plein cintre, de 1 ^m 50, en béton Ciment..... Sable..... Gravier.... les voûtes extrêmes seules sont armées Piles de 6 ^m 2° »

1 — Pour le sens de ces abréviations, voir Avertissement, Tome IV, page II, n° 6.

SÉRIE $A^n r^{10} (\geq 40m)$

TABLEAU SYNOPTIQUE (Suite)

EXÉCUTION										CUBE DE MAÇONNERIE A MORTIER			
GRANDES VOÛTES										Q			
FONDATIONS	CINTRES					MODE	DÉCINTREMENT	TASSEMENTS	DÉPENSE				
Nature du sol	FERMES		Cube de bois		DE	État	DE LA CLEF	sur	D				
Profondeur sous l'étiage	Type	Nombre	Poids de fer	Dépenses	CONSTRUCTION	d'avancement du Pont	sur cintre t _c	au décin-	Totaux				
Pressions sur le sol en kg/0 ^m 01 ²	Matière	Épaisseur	Totaux	par mq de douelle ²		Temps entre le dernier clavage et le décintrement	t _v	après t _v	et				
Procédé	Appareils de décintrement	Écartement d'axe en axe				Date			par unité { de surface utile S _p ³				
10	11	12	13	14	15	16	17		18				
Marne dure « Flins »	Fixe	11	625 ^{mc}	0 ^{mc} 70	A pleine épaisseur par tranches de 1 ^m 80 à 3 ^m	Tympan exécutés	t _c = 40 ^{mm}	entre le clavage et le décintrement	PT ¹ = 1522 ^{mc} B ¹ = 12685 ^{mc} Q = 14207 ^{mc} Q : S _p = 4 ^{mc} 67 Q : W = 0 ^{mc} 66				
— 5 ^m	Montants et contrefiches	25 ^{cm} 2 ^m 00	5100 ^k	5 ^k 71		49 jours	t _v = 31 ^{mm}		Fon- dations				
Pression maxima : 4 ^k 1	Pin		»	»					Élé- vation				
Épuisements en fouilles blindées	Vérins à vis	120 ^{mm}				30 mai			En- semble				
									D				
									266004 ^f				
									692410 ^f				
									958411				
									D : S _p				
									87 ^f 5				
									227 ^f 8				
									315 ^f 3				
									D : W				
									12 ^f 4				
									32 ^f 2				
									44 ^f 5				
									D : Q				
									»				
									67 ^f 5				
Marne dure (Lias inférieur)	»	Voûte centrale :	»	»	A pleine épaisseur en 22 tranches symétriques	Tympan exécutés	t _c = 50 ^{mm} ⁶		Q = 5970 ^{mc}				
»	»	6	»	»			t _v = 7 ^{mm} ⁶		Q : S _p = 5 ^{mc} 38 Q : W = 0 ^{mc} 55				
»	»	15 ^{cm} 1 ^m 40	32084 ^f ⁶	97 ^f 7		Voûte centrale : 50 jours	t _v = 0 ⁶		D = 252106 ^f (sans les garde-corps)				
Pression maxima :	»	100 ^{mm}					Les joints de dilatation se sont ouverts de 1 ^{mm} aux retombées et fermés de 0 ^{mm} 5 à la clef		D : S _p = 227 ^f 1				
avec surcharge: 5 ^k	»					29 juillet			D : W = 24 ^f 2				
ans surcharge: 4 ^k	»								D : Q = 42 ^f 2				
Batardeaux enduits étanches par de la toile à voile	Vérins	Voûte rive gauche : Surhaussement 80 ^{mm}					Recul des culées : RG ← 0 ^{mm} 3 RD → 0 ^{mm} 1						


Pour le calcul de la surface de douelle, voir Avertissement, Tome IV, p. III, n° 7 — A. 3. S_p = Longueur (col. 2) × Largeur entre parapets (col. 3) — C'est la surface offerte à la circulation

4. W = Surface vue de l'élévation × Largeur entre parapets. 5. W' = Surface de l'élévation au-dessus des fondations × Largeur entre parapets.

Pour S_p , W, W', voir Avertissement, Tome IV, p. III, n° 7 — B.

6. La source S'', ne spécifie pas à quelle voûte s'appliquent ces renseignements.

PONT A PLUSIEURS GRANDES ARCHES SOUS ROUTE

PROJET																				
PONT	ENSEMBLE		GRANDES VOÛTES					1° ÉVIDEMENTS DES TYMPANS 2° DÉCORATION DES TÊTES												
	Longueur entre abouts des parapets Déclivités Hauteur maxima de la chaussée au-dessus du sol ou de l'étiage	Largeurs entre parapets entre tympans sous la plinthe Fruit des tympans Revanche de la chaussée sur l'extrados	INTRADOS Portée Montée Surbaissement Rayons	ÉPAISSEURS CORPS ET TÊTES Clef Joints de rupture Retombées	ROTULES Pour les dimensions, rayons, pressions,... voir Tome IV, Livre III.	MATÉRIAUX Mortier Poids, pour 1 ^{me} de sable, de chaux ou de ciment	PRESSIONS en kg/0 ^m 01 ² Surcharges supposées													
Date Symbole En quoi consiste l'ouvrage 1	2	3	4	5	6	7	8	9												
de Mannheim Grand-Duché de Bade 1905-1908  ⁿ r ^{te} (≥ 40 ^m) ⁹ Un arc central en acier de 114 ^m à 2 articulations 2 voûtes de rive en béton, de 59 ^m 50	242 ^m entre culées Au-dessus des voûtes de rive : 27 ^m 14 ^m 35 du sommet de l'arc central au niveau moyen de l'eau	{ 15 ^m 00 15 ^m 36 Pas de fruit 0 ^m 25	Arc d'anse de panier Entre appuis : { 59 ^m 50 5 ^m 63 $\frac{1}{10,56} = 0,095$ Rayons : Clef : 66 ^m Retombées : 74 ^m 42 Entre axes des rotules : { 58 ^m 50 5 ^m 52 $\frac{1}{10,60} = 0,094$	{ 1 ^m 07 1 ^m 47 1 ^m 12	Rotules en acier moulé appuyées sur sommiers de granit	Bandeaux : PT ¹ Grès rouge du Palatinat, écaillé aux têtes, plat en douelle Corps : B ¹ Ciment..... 1 ^r Sable 4 ^r Pierre cassée.. 3 ^r (Porphyre)	Pressions sous la surcharge : <table><tr><th></th><th>MAX.</th><th>moy.</th></tr><tr><td>Clef</td><td>37^k</td><td>27^k</td></tr><tr><td>Joints de rupture</td><td>34^k</td><td>31^k</td></tr><tr><td>Retom- bées</td><td>35^k</td><td>31^k</td></tr></table> 400 ^k /1 ^m ² et 2 rouleaux à vapeur de 25 ^r		MAX.	moy.	Clef	37 ^k	27 ^k	Joints de rupture	34 ^k	31 ^k	Retom- bées	35 ^k	31 ^k	1° Entre tympans pleins, plate-forme en béton armé de 22 ^m sur piliers en béton armé, contreventés par des cornières 2° »
	MAX.	moy.																		
Clef	37 ^k	27 ^k																		
Joints de rupture	34 ^k	31 ^k																		
Retom- bées	35 ^k	31 ^k																		

1. — Pour le sens de ces abréviations, voir Avertissement, Tome IV, p. II, n° 6.

VOÛTES ARTICULÉES ARTICULATIONS ROULANTES
ARCS TRÈS SURBAISSÉS
PONTS A PLUSIEURS GRANDES ARCHES SOUS ROUTE

SÉRIE $\overset{\text{A}}{\underset{\text{H}}{\text{A}}}^n r^{te} (\geq 40^m)$

MONOGRAPHIES

PONT SUR LA MOSELLE, PRÈS DE MALLING¹

(LORRAINE ALLEMANDE, - Cercle de Thionville)

Route de Fixem à Oberrentgen

1899-1901

$\overset{\text{A}}{\underset{\text{H}}{\text{A}}}^n r^{te} (\geq 40^m)$ ¹

Φ_1 — aval (S₂)



1. Aspect (S₂). — Il semble qu'il y ait un angle aux sommets des voûtes. Les clefs, en béton plus gras, sont plus foncées. On distingue les tranches de construction par leurs différentes teintes. Elles paraissent avoir été pilonnées parallèlement à la douelle.

1. — en allemand « Mallingen », - station du chemin de fer de Thionville à Trèves, à 12*5 de Thionville.

On voit, en douelle, les empreintes des planches du cintre.

Les becs des piles coupent durement les retombées des voûtes ; ils portent des pilastres en pierre de taille de grès.

Les tympans sont en moellons équarris à taille plate ; les joints de dilatation sont cachés.

La plinthe est en encorbellement sur consoles de grès rouge.

2. Personnel (S₁).

Projet et Direction des Travaux : Service de la Construction des Routes d'Alsace-Lorraine (Wegebauverwaltung in Elsass-Lothringen).

M. Blumhardt « Regierungs-und Baurat » à Strasbourg.

Entrepreneurs : MM. Windschild et Langelott, de Cossebaude, près de Dresde.

•

SOURCES :

S₁. — Renseignements gracieusement communiqués par M. Blumhardt, à Strasbourg.

S₁. — Ce que j'ai vu — août 1909.

PONT SUR LE NECKAR, A HOCHBERG (WURTEMBERG)

Route d'Ossueil à Hochberg

1901-1903

$$\mathbf{A}^n_{r^{te}} (\geq 40^m)^2$$
$$\Phi, (S''',)$$


1. Rotules (S').

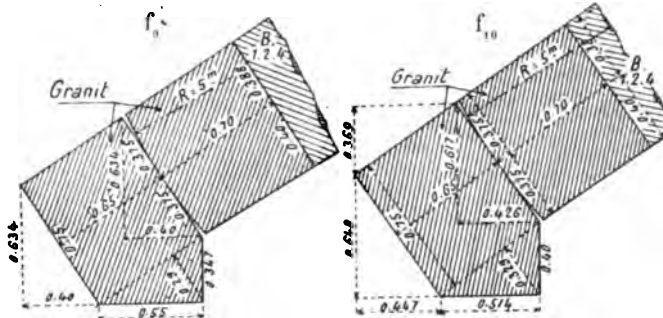
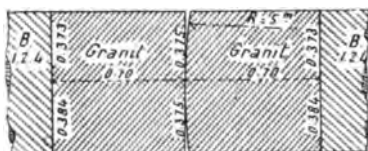
Coupes — 2^{cm}5

Retombées

sur la pile

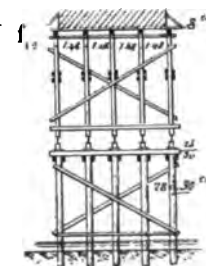
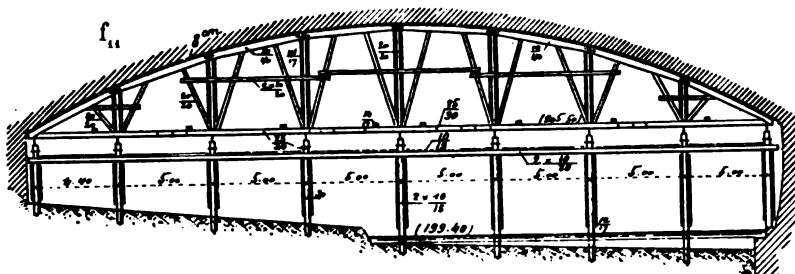
sur les culées

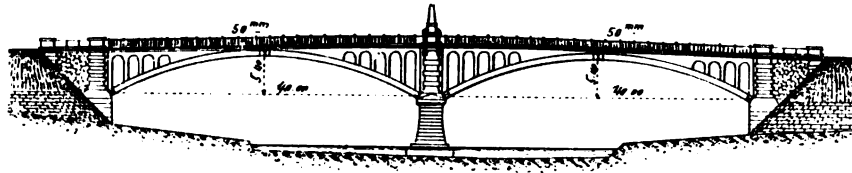
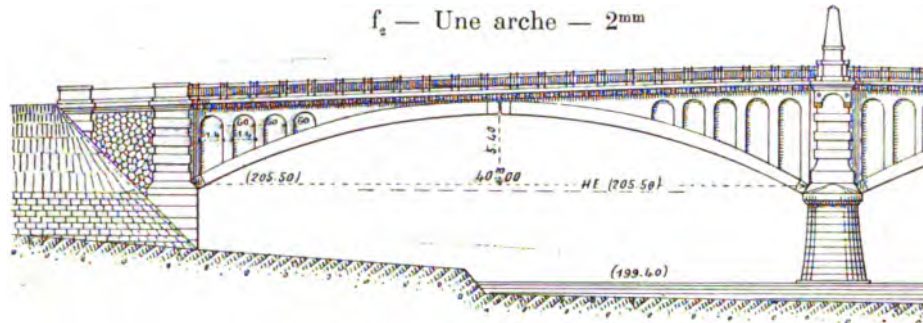
f₈ — Clef



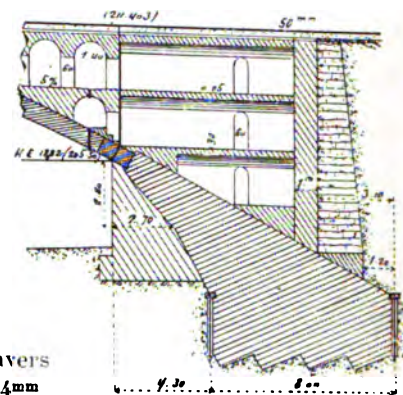
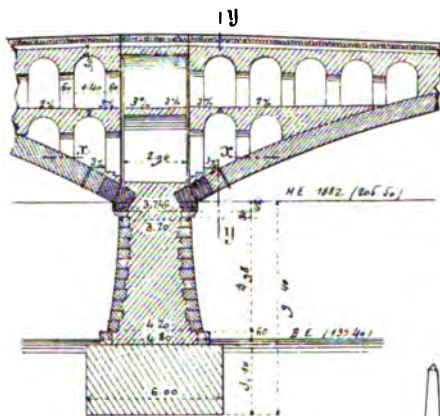
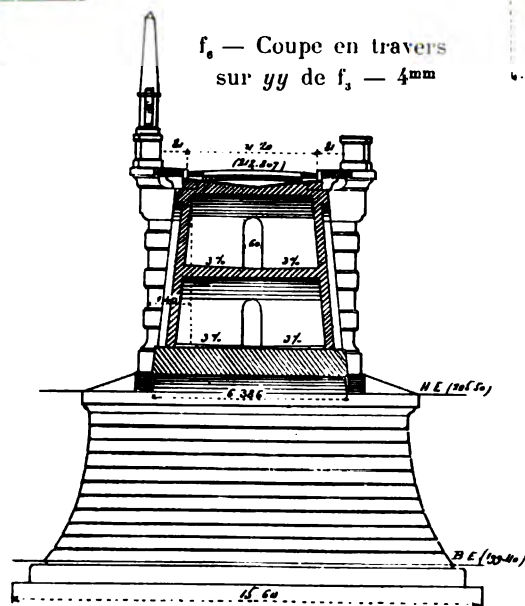
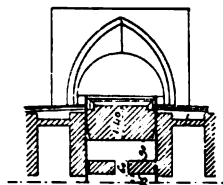
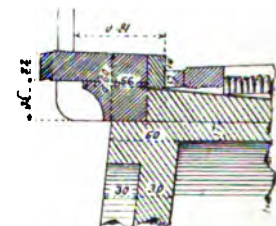
2. Cintres (S₁).

2mm5



f_1 — Ensemble — 1mm f_2 — Une arche — 2mm f_3 — Pile

Coupes en long — 3mm

 f_4 — Culée rive droite f_5 — Coupe en travers sur yy de f_3 — 4mm f_6 — Demi-coupe horizontale sur xx de f_3 — 3mm f_7 — Couronnement 15mm

3. Dates (S'').

Commencement des travaux	octobre 1901
Piles et culées	15 nov. 1901 - juin 1902
Cintres et voûtes	fin juin - fin septembre
Décintrement	mi-novembre
Ouverture à la circulation	6 avril 1903

4. Personnel (S').

Ingénieurs : *Projet et Direction des Travaux* : M. von Schaal, « Oberbaurat » ;
M. Kübler, « Strassenbauinspektor ».

Entrepreneurs : MM. Sahlender et Heinze, de Gotha.

SOURCE :

S₁. — Dessins d'exécution (S'), renseignements (S''), et photographie (S''') qu'a bien voulu communiquer, sur la gracieuse intervention de M. le D^r Weyrauch, Professeur à l'Ecole Polytechnique de Stuttgart, M. Richard Leibbrand « Vorstand der Ministerialabtheilung für den Strassen-und Wasserbau » à Stuttgart.

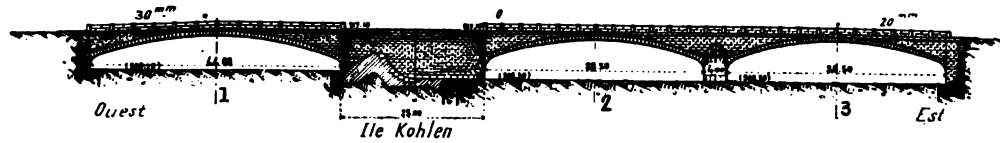
PONT CORNÉLIUS, SUR L'ISAR, A MUNICH (BAVIÈRE)

entre la Corneliusstrasse et la Schweigerstrasse

1902-1903

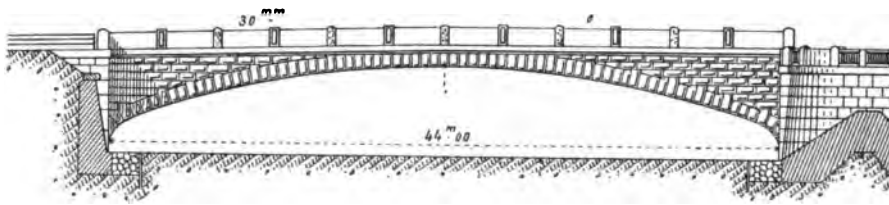
$$\mathbf{A}^{\text{nte}}_{\text{H}} (\geq 40\text{m})^3$$

f₁ — Ensemble amount — 0^{mm}75



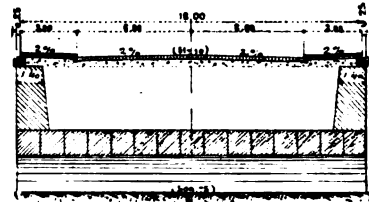
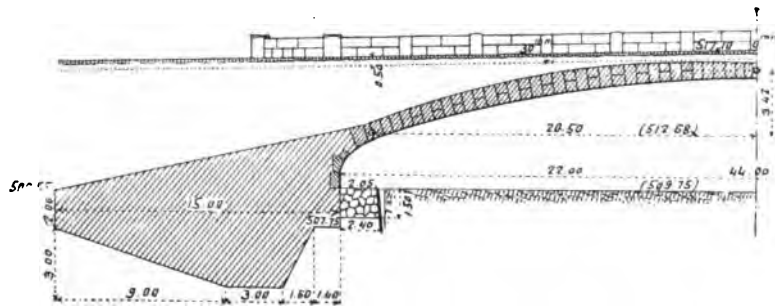
Voûte 1

f_1 — Élévation — 2^{mm}



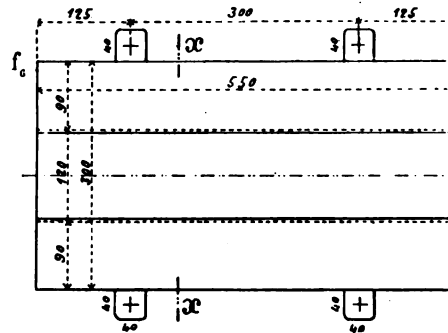
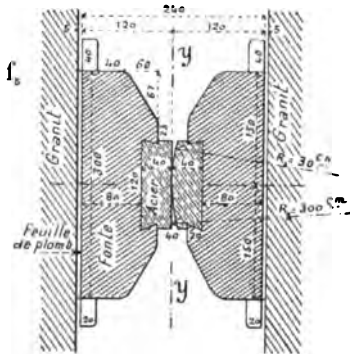
f₃ — Demi-coupe en long — 2^{mm}5

f₁ — Coupe en travers
aux retombées — 2^{mm}5

Rotules — 10^{cm}

Coupe sur $x.r$ de f_6

Vue sur yy de f_3



1. Aspect. — Sur ces minces voûtes, les tympans en gros appareil sont un peu lourds.

Des figures sculptées du parapet, j'aime mieux ne rien dire.

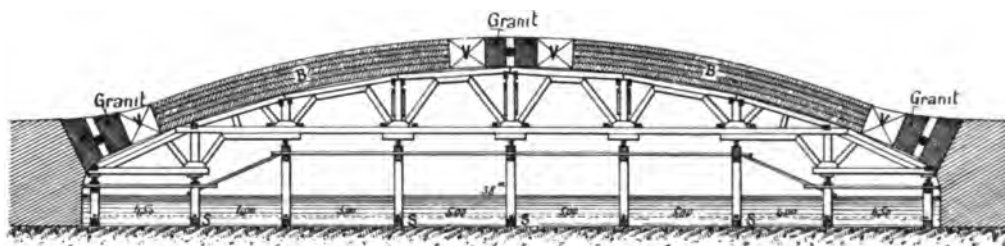
Φ_1 — Voûte 1 — amont (S_1)



2. Accident à la voûte 3 (f_1) (26 août 1902) (S_1).

A. - *Description du cintre.* — Les cintres des voûtes 2 et 3 étaient en pièces de sapin fort trouées, provenant de démolitions. Les palées portaient sur des semelles transversales s (f_1) en sapin de même provenance, posées sur une plateforme en béton. Elles étaient très légèrement contreventées en long.

f_1 — Voûte 3 — Cintre et Mode d'exécution — 3^{mm} (S_1)



B. - *Construction de la voûte.* — On posait d'abord les sommiers des articulations et les bandeaux; puis on pilonnait le béton, non, comme d'usage, par tranches isolées, mais par couches superposées¹ de 15^{cm} à 20^{cm}, ce qui trouble le béton dans sa prise. On avait ménagé des vides V (f_1) de 60^{cm} derrière les sommiers des articulations.

1. — « en peaux d'oignon » (nach der Methode der Zwiebelschalen).

C. - Accident. — Le 26 août 1902, le cintre, chargé des sommiers d'articulation, des bandeaux, et de 650^m de béton posé dans les 30 dernières heures, s'écroula, tuant 2 hommes et en blessant 35.

Étaient intacts les vérins et les plates-formes en béton sous les semelles.

Ces semelles étaient écrasées. Quelques Ingénieurs y ont vu la cause de l'accident.

3. Personnel (S").

Projet et Entreprise : MM. Sager et Wœrner, de Munich.

Direction des Travaux : M. Schwiening, Directeur des Travaux de la Ville

Architecture : M. le Professeur von Thiersch (S₁).

SOURCES :

S₁. — Dessins d'exécution (S'₁) et renseignements (S''₁), qu'ont bien voulu me remettre MM. Sager et Wœrner.

S₂. — Beton und Eisen, 5 Heft 1903, p. 305 à 311 : « *Die Corneliusbrücke und der Einsturz eines Bogens derselben am 26 August 1902* » Dpl. Ing. W. Binswanger.

S₃. — Ce que j'ai vu — août 1908.

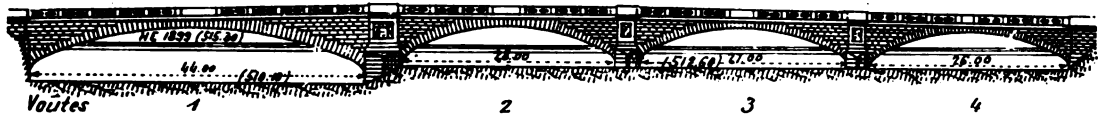
PONT DE REICHENBACH, SUR L'ISAR, A MUNICH (BAVIÈRE)

en prolongement de la Frauenhoferstrasse

1902-1903

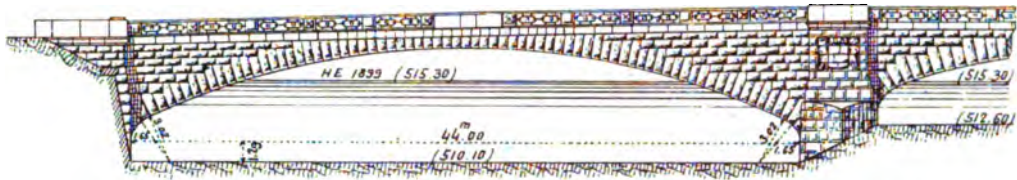
$A^{n} r^{te} \geq 40m^4$

f_1 — Ensemble, amont — 1^{mm}

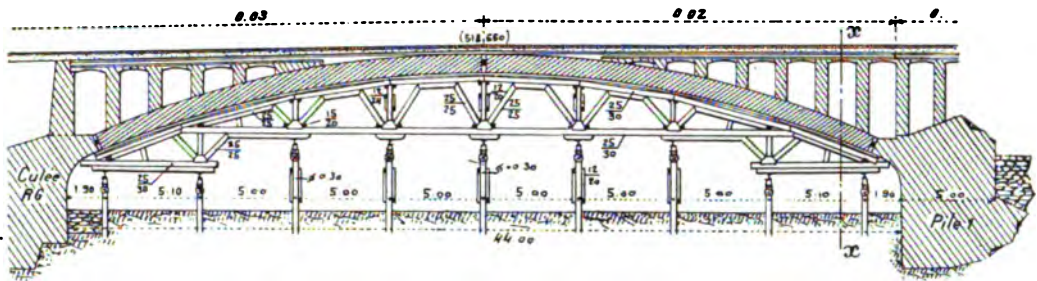


Voûte 1

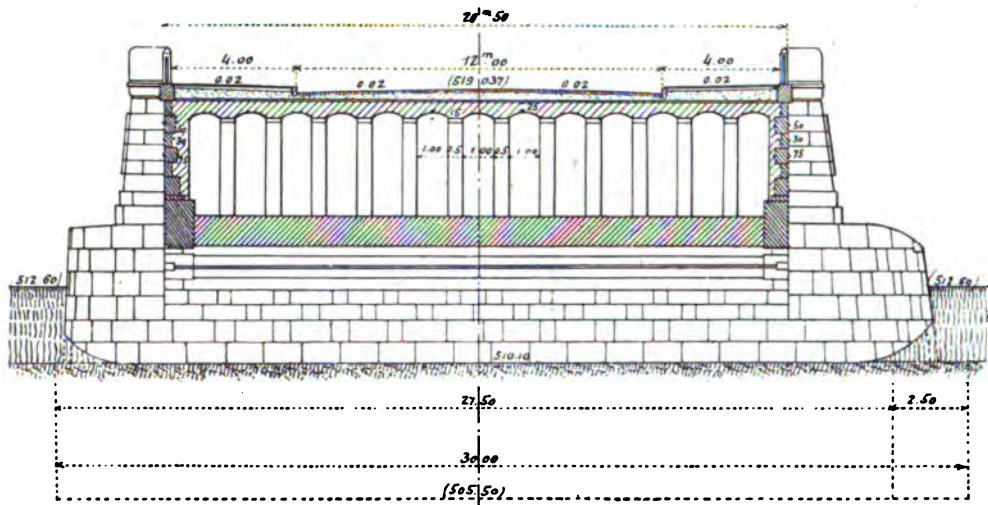
f_2 — Élévation amont — 2^{mm}



f_3 — Coupe en long et cintre — 2^{mm}5



f_4 — Coupe en travers sur $x-x$ de f_3 — 4^{mm}



1. Voûte 1 (f_1 à f_4).

A. - *Tracé*. — La fibre moyenne est la courbe de pression sous le poids propre.

Les épaisseurs de la voûte sont telles que la pression y est à peu près uniforme (25 à 30^k).

B. - *Rotules*. — Les mêmes qu'au pont Cornélius¹.

Φ_1 — Voûte 1 — amont (S_1)



2. Voûtes 2, 3, 4. — Leurs charnières sont de simples bandes de plomb de 200^{mm} × 5^{mm} entre deux voussoirs de granit ; elles sont masquées aux têtes.

3. Tympons. — Les tympons en pierre de taille à gros bossages écrasent la voûte (Φ_1).

Entre eux, de minces piliers de béton soutiennent une plate-forme en béton chapée d'asphalte, qui porte la chaussée et les trottoirs (f_1).

4. Chaussée. Trottoirs. — La chaussée est pavée en granit avec joints bourrés d'asphalte. Les trottoirs sont en asphalte.

Sur la chaussée passent des voies de tramway ; sous les trottoirs, des tuyaux.

Les mâts de l'éclairage électrique, qui portent aussi les fils pour le tramway, sont à 0^m80 de la bordure des trottoirs.

1. — $\widehat{A}^n r^{\infty} (\geq 40^m)^3$ — (f_1 , f_4), Tome IV.

5. Exécution des voûtes. — On posa à sec, d'abord les sommiers, puis les voussoirs des bandeaux.

Ils sont plus épais aux reins que le corps en béton de la voûte : pendant qu'on les posait, on augmenta le surhaussement des fermes de tête en manœuvrant leurs vérins.

On construisit ensuite le corps en béton, par tranches isolées.

Après la prise du béton, on enlevait les cloisons ; on piquait grossièrement les lits pour augmenter l'adhérence avec le nouveau béton ; puis on les recouvrait d'une mince couche de mortier de ciment. On pilonnait ensuite dans le vide entre les tranches.

Pendant qu'on bétonnait une tranche, on matait au mortier à $1\frac{1}{2}$ les voussoirs de ses bandeaux.

Les rotules avaient été posées en même temps que leurs sommiers. Mais on ne les fixa à leur place que lorsqu'on eut chargé le cintre du poids total des matériaux.

6. Dates de construction (1903) et tassements au décintrement.

Numéro des voûtes	Portée	Bétonnage		Décintrement	Nombre de jours sur cintre	Tassement au décintrement en mm.
		Commencement	Fin			
1 (R. G.)	44 ^m	23 mars	28 mars	12 mai	45 ^j	20 ^{mm} ²
2	28	29 janvier	6 février	15 avril	68	12
3	27	8 janvier	12 janvier	14 mars	61	6
4 (R. D.)	26	7 janvier	»	14 mars	»	10

7. Mouvements pendant le décintrement de la voûte 4 (rive droite). — Quand on décintra la voûte 4 (rive droite), sa pile s'inclina de 1 à 2^{mm} vers l'arche 3, alors sur cintre. Elle se redressa, quand on décintra l'arche 3.

8. Personnel.

Projet et Entreprise : MM. Sager et Wœrner, de Munich.

Direction des Travaux : M. Schwiening, Directeur des Travaux de la Ville ;
M. H. Grüb, Ingénieur.

Architecture : M. le Professeur Fr. von Thiersch (S₁).

2. — Il correspond à peu près à un coefficient d'élasticité moyen : $E \text{ (Kg } \overline{0m01^2}) = 2 \times 10^5 \text{ (S}_2\text{)}$

SOURCES :

S₁. — Renseignements qu'ont bien voulu me communiquer MM. Sager et Wœrner

S₂. — Beton und Eisen, 1904, p. 9 à 17, Pl. II : « *Münchner Brückenbauten* » ;
II. « *Die Reichenbachbrücke in München* », E. Burk.

S₃. — Ce que j'ai vu — août 1908.

Ce qui n'est pas spécifié S₁ ou S₂ est de S₃.

PONT SUR LE NECKAR, A NECKARGARTACH¹ (WURTEMBERG)
Route d'Heilbronn à Neckargartach

1903-1905

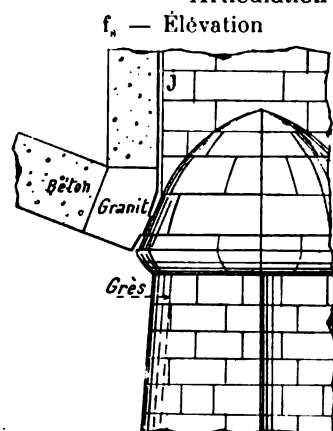
\bar{A}^n r^{te} $\geq 40^m$ 5

Φ (S)

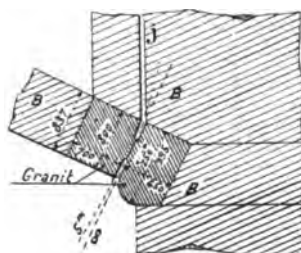


1. Articulations (f_s, f_y). — On a poli à la meule les surfaces de contact (S_s).

Articulation de retombée — 1^{cm}

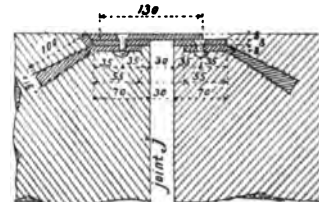


f_y — Coupe



f_{10} — Comment est recouvert le joint de dilatation — 10^{cm}

Coupe en long du pont



2. Joints de dilatation (f_s à f_{10}). — Des rotules de retombées aux parapets, des joints verticaux j coupent les tympans le long des pilastres.

Sur la plate-forme portant la chaussée et sur les trottoirs, ils sont recouverts par des plaques de tôle glissant l'une sur l'autre (f_{10}).

1. — à 3^{km} environ en aval d'Heilbronn (S_s).

Hand-drawn sketch of a bridge structure with multiple arches. The sketch includes dimensions: 11 m, 10 m, and 5 m. It also shows a central section labeled 'E (140 m)' and a section labeled 'RD'.

f₂ — Arche en rivière — 2^{me}

40m

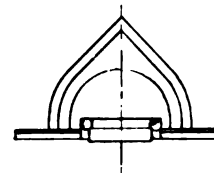
4.85m

40m00

(145.16)

[illegible]

f. — Plan par-dessus

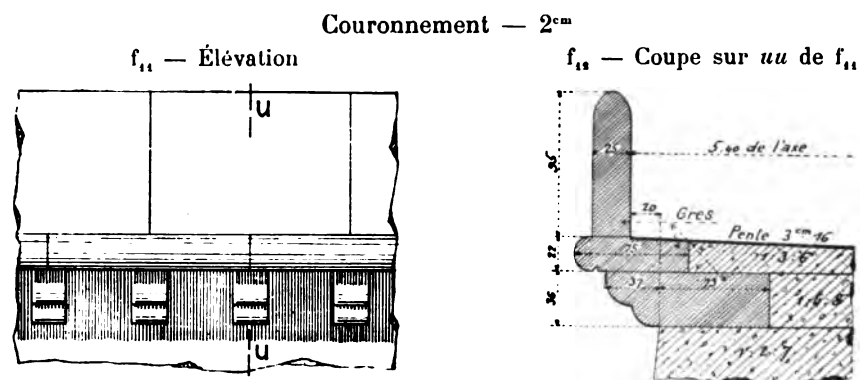


A schematic diagram of a hemispherical shell. A horizontal line at the top represents the shell's edge. Below it, a dashed horizontal line indicates the internal pressure. The shell is shown in cross-section, with a dashed line representing the internal pressure. A downward-pointing arrow is located below the shell, indicating the direction of the internal pressure.

Φ_1 (S₁)

3. Chaussée et trottoirs (S₁). — Les pavés de granit de 17^{cm} reposent sur 6^{cm} de sable et gravier fin.

Les trottoirs sont en béton revêtu de ciment ; les bordures, en granit.



4. Écoulement des eaux (S₁). — Sur le béton sous chaussée, en pente vers l'axe du pont, on a étalé successivement : un enduit lisse de ciment, — de l'« Anthrazin » chaud, — une couche de goudron chaud, — des feuilles de carton de toiture armé de jute, — une épaisse couche de goudron chaud.

Le tout² est recouvert de sable.

2. — « Cette chape s'est jusqu'ici parfaitement comportée » (vorzüglich bewährt) (S₂). Elle revient à 1'30 le m. q., sans l'enduit de ciment (S₂).

Un fer Zorès, dans l'axe du pont, conduit les eaux aux tuyaux traversant les reins des voûtes.

L'eau des rigoles s'écoule hors du pont par des gargouilles en grès (S₂) (Φ, f₂).

L'extrados des voûtes est recouvert de deux couches de « Siderosthen Lubrose ».

5. Matériaux (S₁, S₂, S₃).

A. - Composition du béton.

Massifs de fondation et corps des piles et culées. — Trottoirs (sous le revêtement).....

Voûtes ³
Résistance à 2 mois 1/2 : 400^v.
On exigeait des matériaux tout-à-fait propres.

Près des articulations.....

Tympan et plate-forme.....

Pour 1^{er} de ciment Portland

	Sable	Gravier		Poids de ciment par mc. de béton
		Quantité	Grosceur	
	3 ^v	6 ^v		200 ^k
	Sable du Mein 1 ^v Sable porphyrique (2 à 4 ^{mm}) 1 ^v 5	Gravier porphyrique 1 ^v 5 Porphyre cassé 3 ^v	8 à 12 ^{mm}	280 ^k
	id.	Gravier porphyrique 1 ^v 5		
	2 ^v	7 ^v	12 à 15 ^{mm}	250 ^k

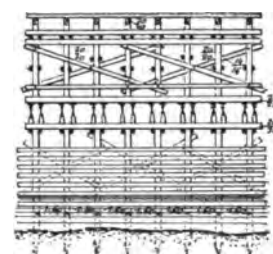
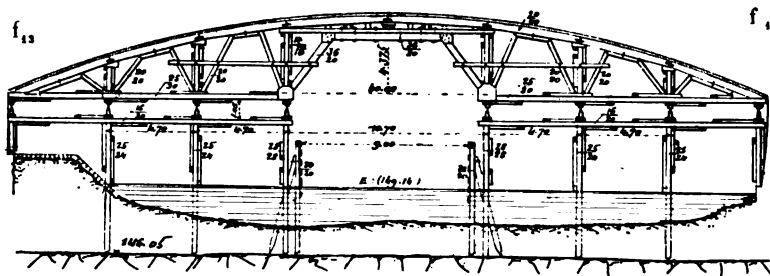
B. - *Maçonnerie* (S₁). — Tous les massifs de fondation sont en béton : celui de la pile en rivière est parementé en moellons de calcaire.

Les parements des piles et culées, les consoles, plinthes, parapets, niche, sont en grès d'Heilbronn.

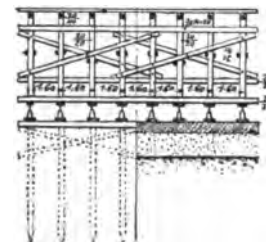
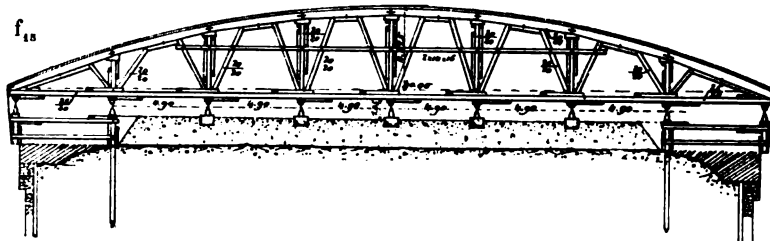
6. Cintres (f₁₁ à f₁₆). — On n'a pas taillé d'assemblages.

Les abouts des pièces sont maintenus par des goujons de 8^{cm} de long, de 3^{cm} de diamètre.

Cintres — 2^{mm}5
Arche rive gauche



Arche sur berge



3. — Dosage déterminé après essais à l'usine de Lauffen (S₂). Le béton de tête était plus fin, afin qu'on n'eût le travailler (S₂).

Les montants et contrefiches portent sur de forts \square en fer, qui empêchent les déplacements latéraux et la pénétration dans les semelles.

On a ménagé sous le cintre de la voûte rive gauche une passe libre de 9^m : les chalands et radeaux y étaient guidés par un remorqueur à pétrole.

7. Fondations (S₁). — A la pile en rivière, on battit une enceinte étanche à 2^m50 de l'emplacement des maçonneries. On épuisa, et on creusa jusqu'au rocher, en laissant en haut une banquette de 1^m.

Les autres fouilles furent descendues de 6^m à 9^m sous le terrain naturel, d'abord sur 3^m en talus, puis par épuisement en fouilles blindées.

8. Exécution des voûtes (S₁). — *A. Construction par tranches.*
Elles ont été faites toutes ensemble en 18 jours (S₁).

Le béton était pilonné par couches de 15^{cm} au plus et par tranches symétriques de 1^m18 d'épaisseur (32 par voûte). Chaque tranche, cubant 12 à 14^m, était faite en 5 ou 6 heures.

On a occupé, en moyenne, 140 ouvriers par jour au bétonnage.

B. Pose des rotules. — Aux retombées, on posa d'abord le bloc inférieur.

Entre ce bloc et la tranche inférieure de la voûte, on a ménagé la place du bloc supérieur avec un jeu de 12^{cm}.

On était assuré que les blocs étaient exactement en place, quand des règles graduées s'enfonçaient de la même quantité au-dessus ou au-dessous de la ligne de contact.

On bourrait de coton les joints d'articulation.

9. Construction des piles des voûtes d'évidement (S'').

On l'a conduite de façon que la charge sur les voûtes fût aussi uniforme que possible (S'').

10. Décintrement (S₁). — On l'opéra en 3 fois, après qu'on eut construit les piles des voûtes d'évidement (S'').

Dates	Nombre de jours après l'achèvement des voûtes	Tassement en mm des clefs des voûtes n ^{os} :					Observations
		1 (R G)	2	3	4	5 (R D)	
1904							
15 octobre	8j	4	4	5	4	4	On abaissa les cintres de quelques millimètres à la clef, - moins vers les retombées : les voûtes ne les quittèrent pas. On abaissa les cintres jusqu'au décollement complet.
21 octobre	14j	2	1	2	2	2	
10 novembre	28j	7	6	1	5	7	
	Totaux...	13	11	8	11	13	

On avait prévu un tassement de 24^{mm}.

Les vérins étaient manœuvrés par 80 hommes.

11. Dates (S'', S₁).

Fondations.....	10 août - 16 décembre 1903
Construction des cintres.....	mars 1904
Achèvement des voûtes.....	7 octobre
Piles et voûtes d'évidement.....	10 octobre - 10 novembre
Ouverture { aux piétons.....	15 juin 1905
{ aux voitures.....	1 ^{er} août

12. Personnel (S'', S₁).

Ingénieurs :

Projet et Direction des Travaux : M. von Schaal, « Oberbaurat », à Stuttgart.

Direction immédiate : M. Wegmann, « Regierungsbaumeister ».

Architecture, Décoration : M. le Professeur Theodor Fischer.

Sculpture : M. Jacob Brüllmann, de Stuttgart.

Entrepreneur : M. C. Baresel, de Stuttgart-Untertürkheim.

SOURCES :

S₁. — Dessins d'exécution (S') et renseignements (S''), que m'a gracieusement communiqués M. le « Baudirektor » Richard Leibbrand, « Vorstand der Strassen-und Wasserbauabteilung », du Ministère de l'Intérieur à Stuttgart.

S₁. — « Bauzeitung für Württemberg, Baden, Hessen, Elsass-Lothringen », 1906 : 1^{er} septembre, p. 275 à 278 ; — 8 septembre, p. 283 à 286 : « *Die neue Strassenbrücke bei Neckargartach* », nach einem Vortrag des Erbauers, Oberbaurats v. Schaal, im Württembergischen Verein für Baukunde.

S₁. — « *Strassenbrücke über den Neckar bei Neckargartach* », Stuttgart, Strecker et Schröder, 1908.

Cette monographie m'a été gracieusement adressée par M. R. Leibbrand.

S₁. — Ce que j'ai vu — septembre 1908.

Les dessins sont réduits de S₁, sauf f₀ qui est de S₂.

PONT MAXIMILIEN, SUR LE BRAS DROIT DE L'ISAR, A MUNICH (BAVIÈRE)

en prolongement de la Maximilianstrasse

1903-1905

$\bar{A}^n r^{te} (\geq 40^m) 6$

$\Phi_1 (S_1)$



1. Aspect. — L'aspect d'un pont à deux arches est, d'ordinaire, fort ingrat : il est sauvé ici par la grande Pallas qui couronne et justifie la pile unique.

Sur ces légères voûtes, les piliers des petites arches sont peut-être un peu lourds, l'attique un peu trop plein.

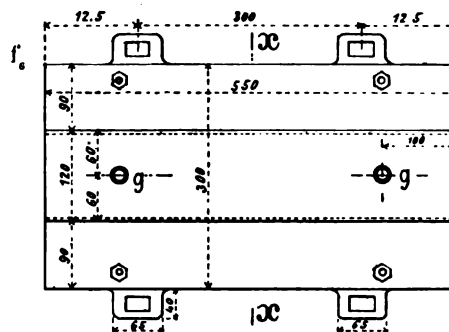
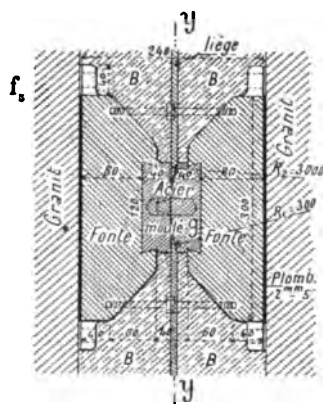
En dépit de ces menues critiques, c'est un fort joli pont.

2. Articulations (S_1). — Aux 3 articulations, il y a 33 rotules semblables (f_1, f_2), espacées de

Coupes — 10^{cm}

sur xx' de f_1

sur yy' de f_1



10^{cm} , masquées aux têtes par des voussoirs.

A la clef, tous les sabots, aux retombées, les sabots inférieurs, sont scellés dans le granit.

Pendant la construction, les sabots supérieurs se dé-

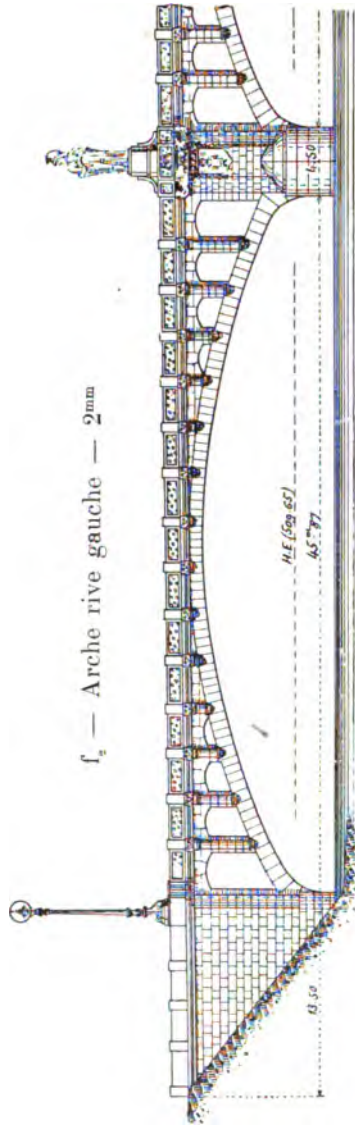
placèrent de 1^{cm} au plus : on eut quelque peine à les ramener.

1. — Les goujons g n'ont été mis qu'après l'accident du 27 juin 1904.

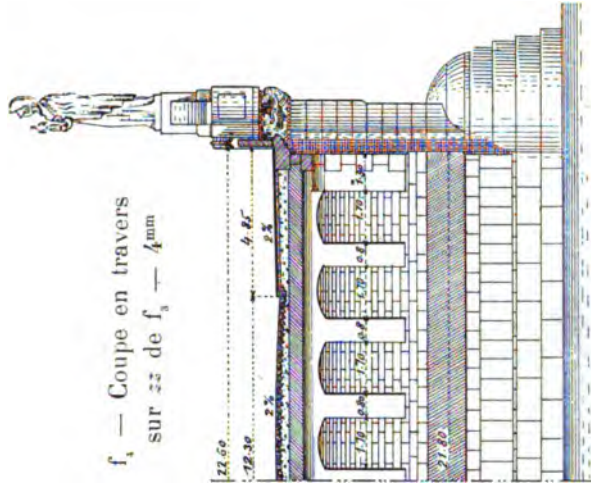
f₁ — Ensemble — 1mm



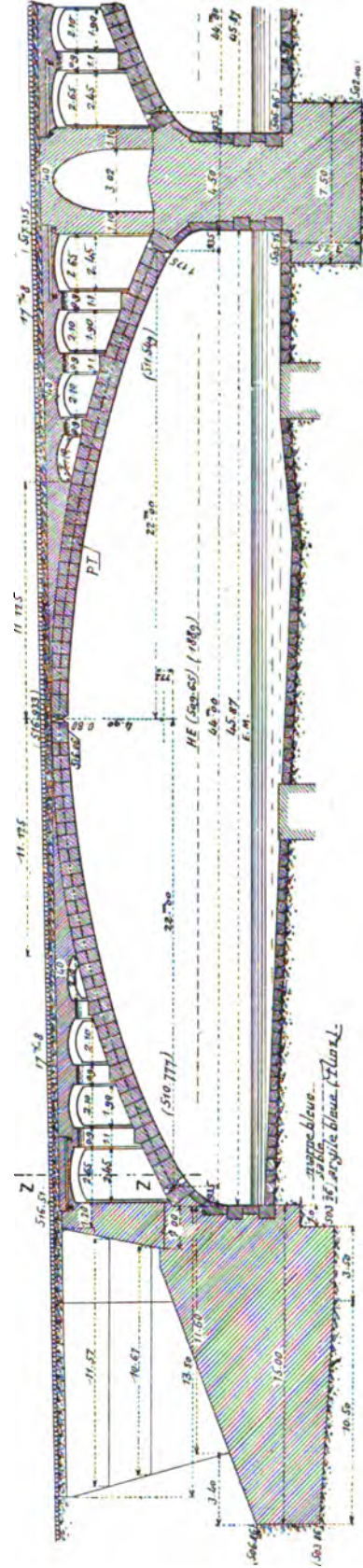
f₂ — Arche rive gauche — 2mm



f₃ — Coupe en travers
sur 22 de f₁ — 4mm

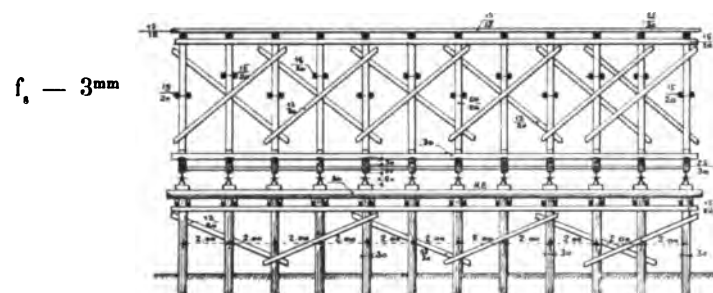
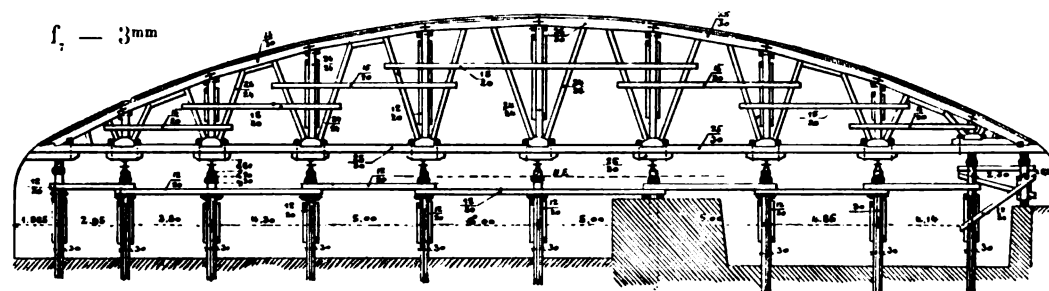


f₄ — Coupe en long — 3mm





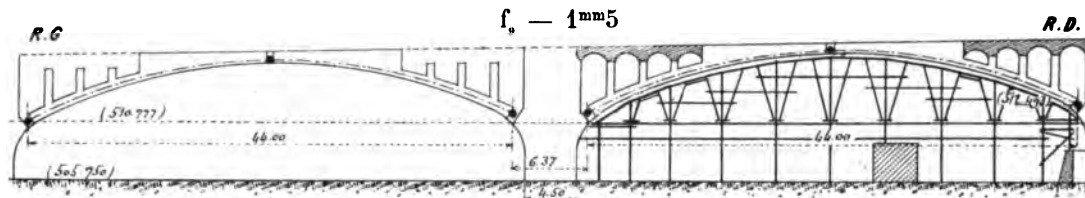
3. Cintre de l'arche rive droite (S').



4. Premier décintrement des deux grandes voûtes (13 juin 1904 ; matin 6^h-8^h1, 2). — Elles portaient à ce moment les piliers des petites arches et le remplissage en béton du cerveau.

5. Chute des grandes voûtes (27 juin 1904) (S₁).

A. - *Etat de l'ouvrage avant l'accident.* — Le croquis f₀ montre l'état de l'ouvrage au moment de l'accident, 14 jours après le décintrement.



Le cintre de rive gauche était enlevé ; celui de rive droite descendu « d'une largeur de main ».

B. - Observations faites.

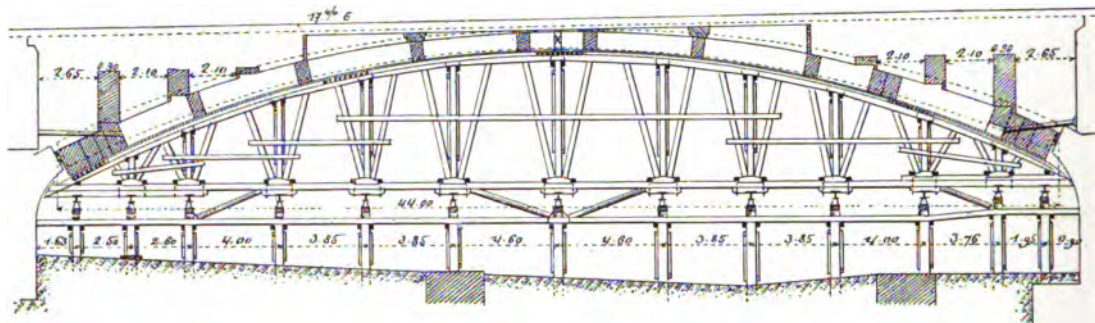
	Arche rive gauche	Arche rive droite		
		Retombée rive gauche	Clef	Retombée rive droite
Matin : 7 ^h	Elle s'élève aux têtes de 11 ^m et 13 ^m
9 ^h	Glissement de 2 ^{mm} sur toute la largeur
Soir : 1 ^h	Glissement uniforme beaucoup plus grand qu'à la retombée rive droite	Glissement de 8 ^{mm}
1 ^h 1, 2...	Glissement visible à l'œil Chute	Chute aussitôt après celle de l'autre retombée
Les deux retombées tombent aussitôt après la chute de l'arche rive droite.		Secousse qui fit croire à un tremblement de terre (S ₁). — Durée de la chute : 0 ^m 4.		

C. - Etat du Pont
(voir f₁₀ à f₁₇)

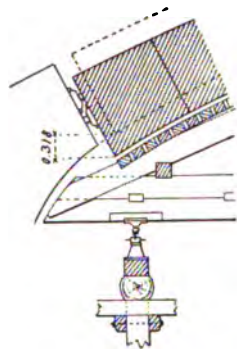
C ₁ - Voûtes.....	Les blocs supérieurs des retombées reposent sur les assises inférieures de granit. Très heureusement, le frottement acier sur granit a arrêté le glissement et prévenu la chute de la voûte.	La voûte porte sur le cintre et sur les assises de granit de la pile et de la culée. — Quelques voussoirs de tête, notamment ceux qui masquent les rotules, sont épaufrés. — Quelques voussoirs de granit sont fissurés.
C ₂ - Cintre de rive droite....	Les semelles transversales sur les vérins sont cassées. — Les fermes portent directement sur eux.
C ₃ - Rotules des retombées...	Les sabots supérieurs sont en partie déplacés ; beaucoup sont tombés.	
C ₄ - Pile et culées.....	Les parements de tête sont épaufrés.	
C ₅ - Piliers des voûtes d'élégissement...	Ils sont pour la plupart déplacés.	

Reconstruction des voûtes (S_2)*On a indiqué par des hachures ce qui a été refait*

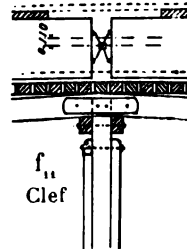
Arche rive gauche

 f_{10} — Etat de la voûte après qu'on eut reconstruit le cintre — 3mm

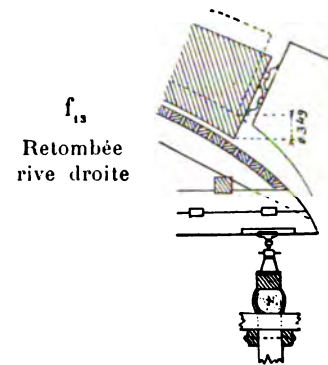
Détails — 1cm



f_{12}
Retombée
rive gauche

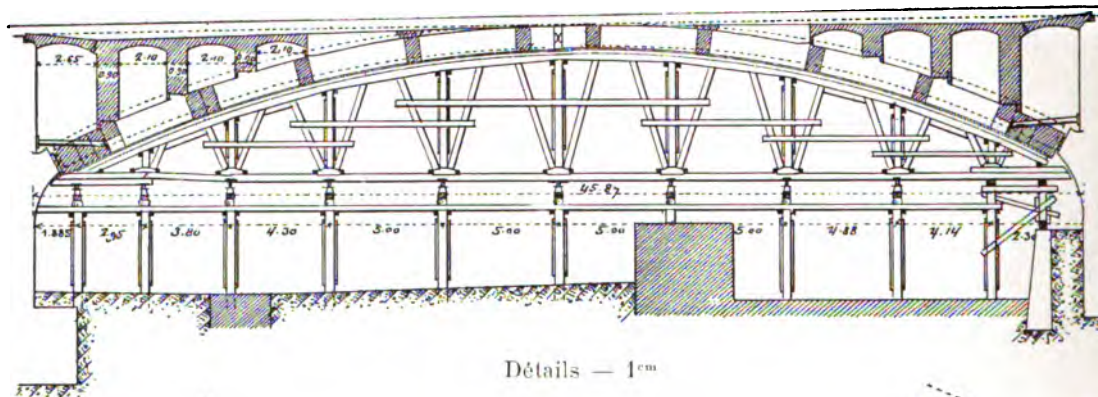


f_{11}
Clef

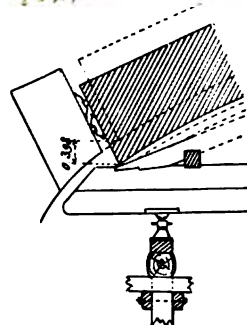


f_{13}
Retombée
rive droite

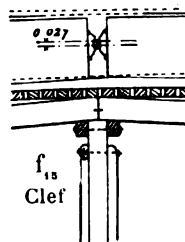
Arche rive droite

 f_{14} — Etat de la voûte après l'accident — 3mm

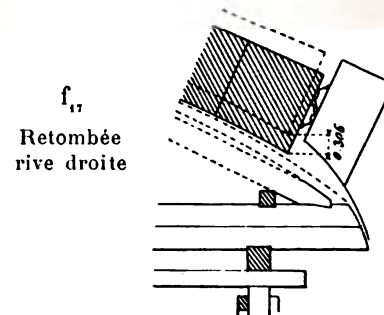
Détails — 1cm



f_{16}
Retombée
rive gauche



f_{15}
Clef



f_{17}
Retombée
rive droite

D. - Causes de l'accident (S₁). — Les surfaces de contact des rotules avaient été polies, puis graissées à la stéarine. Le frottement acier sur acier était ainsi descendu de 0,235-0,216 (sans graissage) à 0,022-0,005 (graissage à la stéarine)².

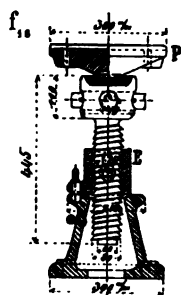
Pour les grandes voûtes nues, les réactions aux retombées sont normales aux surfaces de contact.

Quand le poids des voûtes d'élégissement construites sur la voûte rive droite les eut déviées d'un angle égal à l'angle de frottement des surfaces stéarinées, le glissement s'est produit (il n'y avait pas encore de goujons pour l'arrêter).

Sans graissage à la stéarine, les rotules n'auraient pu glisser que pour une déviation de 12° des réactions : aucune surcharge ne l'eût produite.

6. On reconstruit le cintre de rive gauche, on répare celui de rive droite (S₂). — On boucha provisoirement au mortier de ciment les joints entre les rotules des retombées.

Vérins à plate-forme articulée — 5^m



Sous l'arche rive gauche, on construisit un cintre épousant l'intrados déformé.

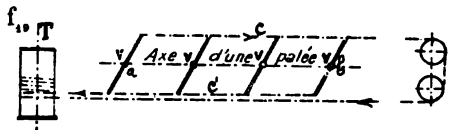
On remplaça les pièces brisées du cintre de rive droite.

Sous les fermes des 2 cintres, on installa des vérins avec plate-forme P, articulée sur un écrou E un peu mobile sur sa base, pour diriger la réaction suivant l'axe (f₁₁).

7. On remonte les 2 voûtes³ (S₃). — On enleva les voussoirs épaufrés, plus nombreux aux têtes, et, de plus, quelques assises entières (f₁₀, f₁₁).

Les vérins d'une même file transversale *ab* (f₁₀) devaient s'élever en même temps de la même quantité.

Manœuvre des vérins — Plan — 5^m



Les extrémités de leurs manivelles étaient mues par deux câbles C et C' s'enroulant autour d'un treuil horizontal T.

On avançait par 1/4 de tour, soit, en hauteur, par 3^{mm}7, jusqu'à l'intrados surhaussé de 40^{mm}.

Le cerveau du cintre fut à hauteur avant les retombées ; on le fixa par des chaînes attachées aux palées et on n'agit plus que sur les vérins des retombées.

8. On répare les 2 voûtes (S₄). — Quand les voûtes furent remontées, on reconstruisit les assises enlevées ; on boucha les joints ouverts ; on plaça les assises d'appui des articulations, puis les rotules. La plupart purent être réemployées. Mais on les munit toutes de 2 goujons de 22^{mm} pour empêcher le glissement.

Les arches refaites furent décintrées en mai 1905.

2. — D'après les expériences de M. Föppl (Voir Tome IV, p. 22).

3. — Cette délicate opération fut habilement conduite par M. Probst, Ingénieur en chef de l'Entreprise.

9. Dates (S₁).

Commencement des travaux	septembre 1903
Construction des grandes voûtes (44 jours).....	16 mars - 9 mai 1904
Ouverture à la circulation.....	9 juin 1905
Achèvement du pont.....	septembre 1905

10. Personnel (S₁).

Projet et Entreprise : MM. Sager et Wœrner, de Munich.

Direction des Travaux : M. Schwiening, Directeur des Travaux de la Ville.

SOURCES :

S₁. — Dessins d'exécution (S'₁) et renseignements (S''₁), gracieusement communiqués par MM. Sager et Wœrner.

S₁. — Zeitschrift des Vereines deutscher Ingenieure, 1904, II, p. 1407 à 1411 : « *Der Bauunfall der äusseren Maximiliansbrücke in München* », von W. Dietz.

S₁. — Schweizerische Bauzeitung, 13 mai 1905, p. 236 à 239 : « *Die Rekonstruktion der Maximiliansbrücke in München* », von Professor Mörsch, in Zürich.

S₁. — Ce que j'ai vu — août 1908.

PONT DE WITTELSBACH, SUR L'ISAR, A MUNICH (BAVIÈRE)
en prolongement de la Kapuzinerstrasse

1904-1905

$\bar{A}^n r^{te} (\geq 40m)^7$

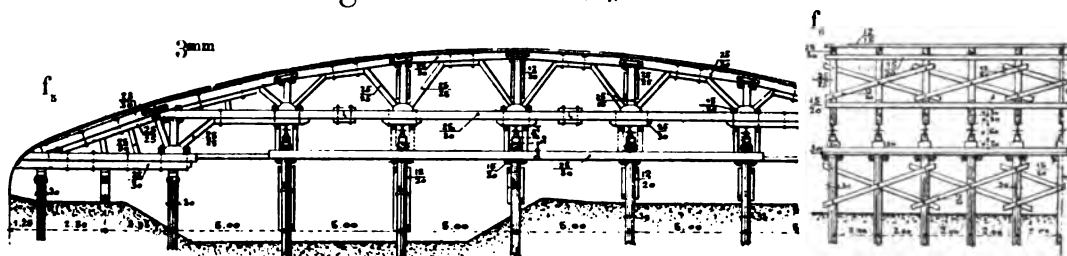
$\Phi_1 (S_1)$



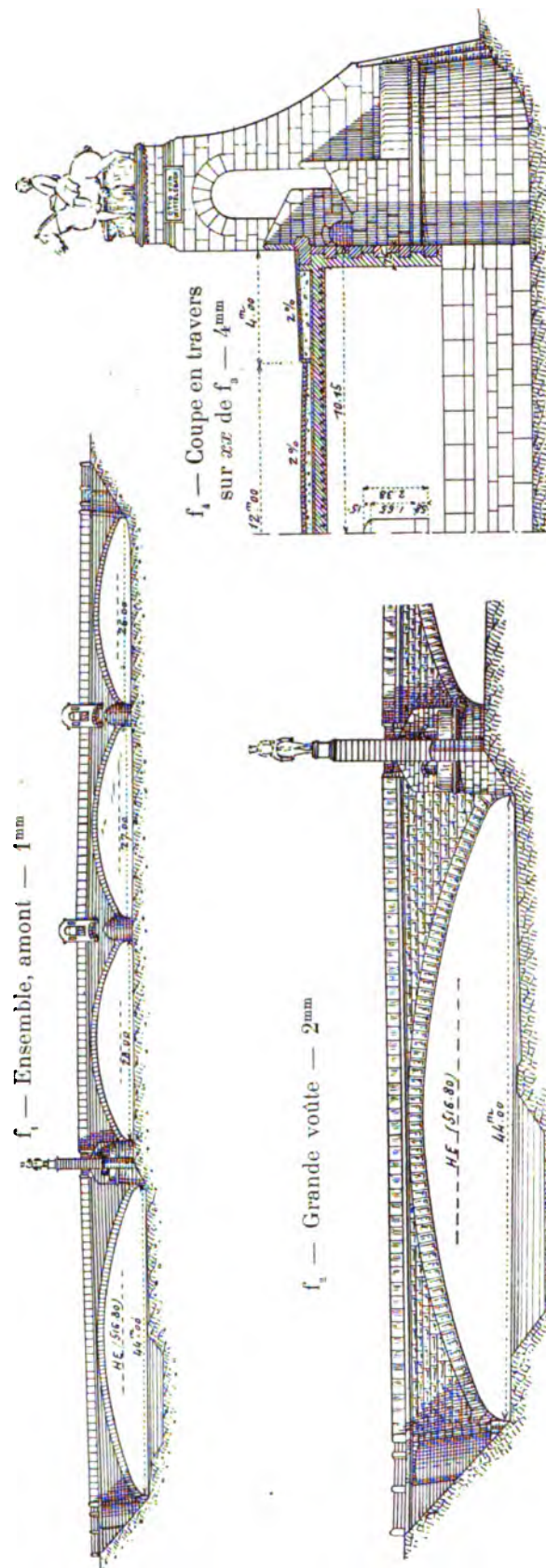
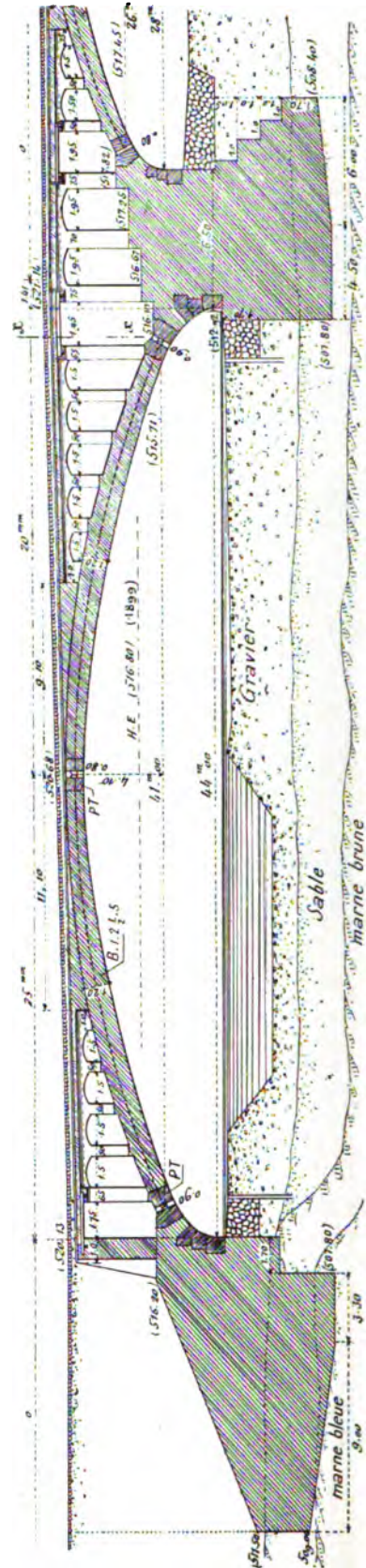
1. Aspect. — Sur l'avant-bec de la pile-culée de rive droite est édifié un piédestal portant la statue équestre d'Otto de Wittelsbach. Ce cheval est juché un peu haut.

2. Articulations. — Les mêmes qu'au pont Maximilien¹.

3. Cintre de la grande voûte (S₁).



1. — $\bar{A}^n r^{te} (\geq 40m)^6$, f_s et f_a , Tome IV, p. 192.

 f_4 — Coupe en long — 3^{mm}

4. Personnel (S₁, S₂).

Projet et Entreprise : MM. Sager et Wœrner, de Munich.

Direction des Travaux : M. Schwiening, Directeur des Travaux de la Ville.

Architecture : M. le Professeur Th. Fischer (S₂).

SOURCES :

Dessins et renseignements gracieusement communiqués :

S₁, — par M. Schwiening ;

S₂, — par MM. Sager et Wœrner.

S₂, — Schweizerische Bauzeitung, 23 septembre 1905, p. 166 : « *Die Eröffnung der Wittelsbacherbrücke in München* ».

S₂, — Ce que j'ai vu, - août 1908.

PONT SUR LA MOSELLE, PRÈS DE MOULINS-LEZ-METZ ¹

(LORRAINE ALLEMANDE)

Route de Moulins à Montigny

1904-1905

$\bar{A}^{n r^{te}} (\geq 40^m)^8$

$\Phi_1 (S_1)$



1. Aspect (S₁). — Le dos d'âne est un peu trop accusé (30^{mm}).

Les lourdes culées arrêtent bien ces arcs légers.

Comme à Malling ², les bords des piles coupent durement les retombées des voûtes.

Les bandeaux, tympans, parements en élévation des culées, sont en moellons équarris jaunes, à bossages.

Aux têtes, les articulations ont l'aspect de libages piqués.

Les voûtes d'élégissement voisines de la clef sont aveuglées par un mur blanc.

Le béton n'apparaît qu'en douelle. Il affleure les retours des bandeaux ; aux voûtes des culées et aux grandes voûtes de rive au-dessus du chemin de halage, il a été piqué, pour effacer l'empreinte des voliges du cintre.

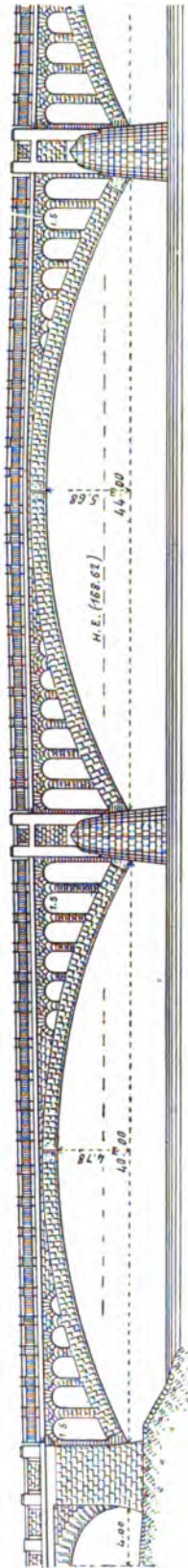
1. — à 6^e en amont de Metz, à 1^e environ de la station de Moulins (Ligne de Metz à Verdun).

2. — $\bar{A}^{n r^{te}} (\geq 40^m)^1$ — Tome IV, p. 175.

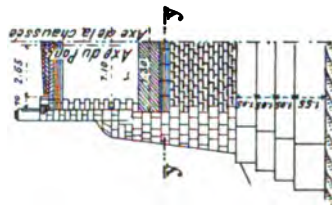
f₁ — Ensemble — 0^m75



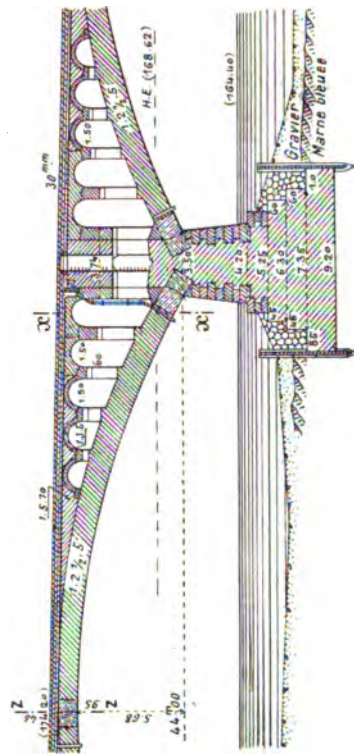
f₂ — Arche centrale et arche de rive — 2^mm



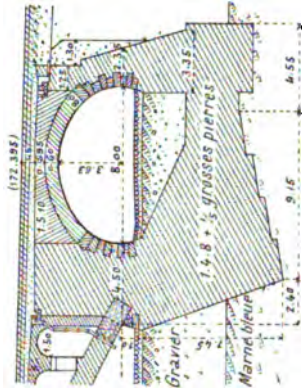
f₄ — Demi-coupe en travers sur xx de f₃ — 2^mm5



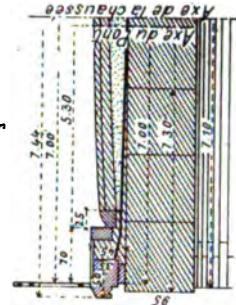
f₃ — Coupe en long au-dessus d'une pile — 2^mm5



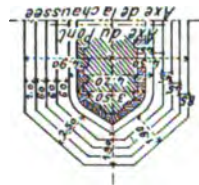
f₅ — Coupe en long d'une culée — 2^mm5

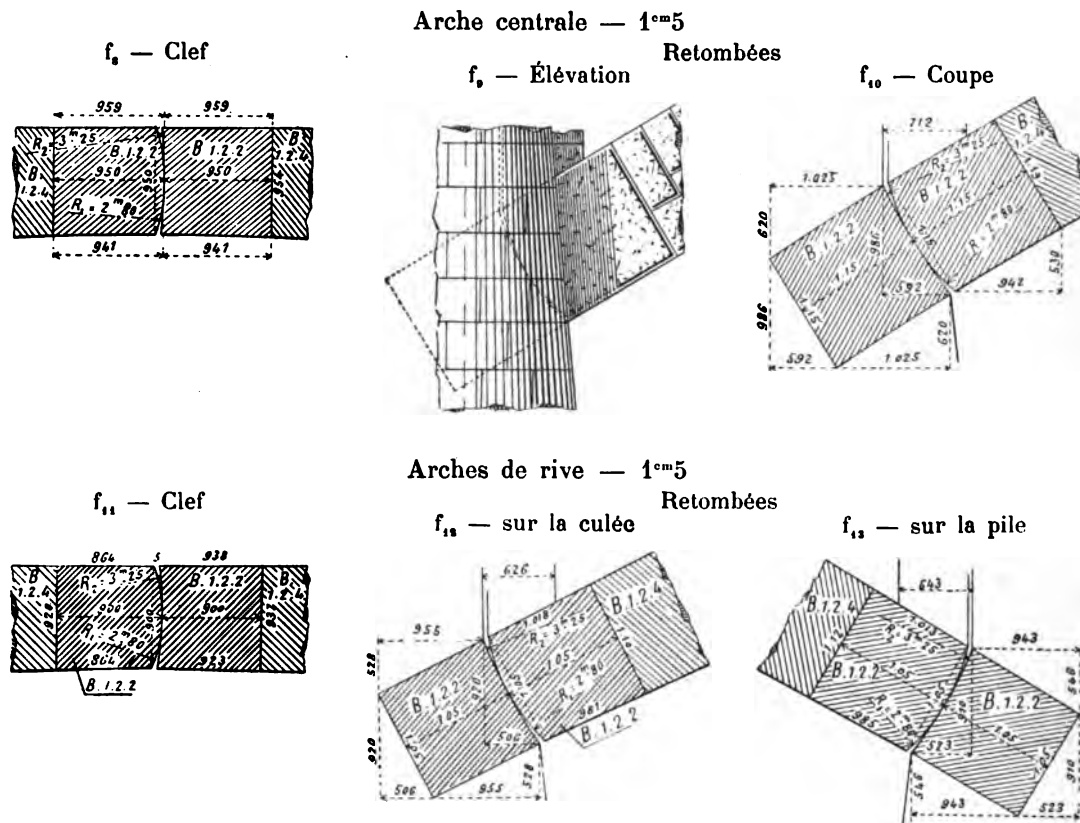
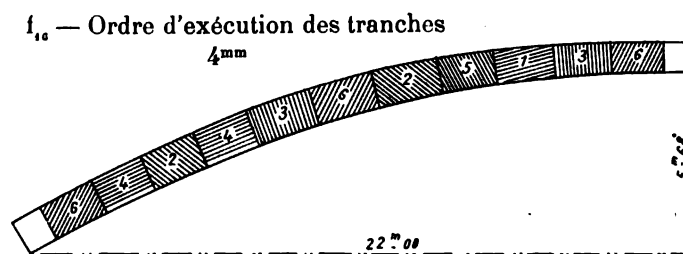


f₆ — Demi-coupe en travers sur zz de f₅ — 1^mm



f₇ — Demi-coupe horizontale sur yy de f₆ — 2^mm5,



2. Articulations en béton³.3. Exécution des grandes voûtes (S_1). — Le béton était pilonné par tranches, dans l'ordre des numéros de f_{10} .

3. — Voici comment on les a moulées :

Les parois latérales des moules sont en bois revêtu de tôle. Le fond, en fer, a la courbure voulue ; il est poli avec soin.

Pour avoir une surface de roulement plus unie, on applique contre le fond 3^m à 4^m de mortier (1^{re} de ciment, 1^{re} de sable fin) ; puis on pilonne le béton par couches de 10^m à 15^m.

Aux naissances, on a, le plus souvent, disposé sur toute la largeur du pont un gabarit convexe en fer, et pilonné en place, contre la culée, les blocs concaves.

Si l'on croisait les joints des deux files d'une articulation, les blocs s'appuieraient l'un sur l'autre par des points isolés (f_{11}). Il vaut mieux que les joints se continuent (f_{12}) : le contact se fait sur toute la largeur des blocs (S_2).



4. Dates d'exécution des voûtes (1905).

	Voûtes		
	de rive	centrale	de rive
Commencement.....	16 mai	2 juin	26 mai
Fin.....	25 mai	9 juin	31 mai
Décintrement des 3 voûtes	29 juillet		

5. Personnel (S₁).

Ingénieur. — *Projet et Direction des Travaux* : M. Blumhardt, « Regierungs-und Baurat » à Strasbourg (Service de la Construction des Routes d'Alsace-Lorraine).

Entrepreneurs : MM. Windschild et Langelott, de Cossebaude, près Dresde.

SOURCES :

S₁. — Dessins d'exécution (S'₁) et renseignements (S''₁) gracieusement communiqués par M. Blumhardt.

S₂. — Deutsche Bauzeitung, 1908, 23 mai, p. 283 à 288 ; - 3 juin, p. 303 et 307 : « Die Anwendung von Gelenken bei Brückenbauten ». Communication faite au XI^e Congrès du « Deutschen Beton-Vereins » tenu à Berlin en 1908, par M. A. Köhler, Ing. Dipl., Directeur technique de la Maison Windschild et Langelott.

S₃. — Ce que j'ai vu — août 1909.

PONT SUR LE NECKAR, A MANNHEIM (ALLEMAGNE - Grand-Duché de Bade)

Route de Neckarstadt à Mannheim

1905-1908

Aⁿ r^{te} ($\geq 40^m$)⁹

Φ_1 (S₁)



1. Voûtes de rive rampantes. — Pour résister à la poussée de l'arc central, les retombées des voûtes de rive sur les culées extrêmes sont à 1^m30 plus bas que leurs retombées sur les piles.

2. Bandeaux. — Les rotules sont cachées aux têtes par des voussoirs de granit, bien distincts des autres voussoirs, qui sont en grès rouge, par leur couleur et la sculpture de leur surface (Φ_1 , Φ_2 , Φ_3).

On voit un peu trop le renflement des reins (S₁).

3. Tympan. — Au droit des articulations des reins, ils sont coupés par un joint vertical ouvert, de 30^{mm}, très apparent (Φ_4 , Φ_5).

Il eût peut-être convenu de bien séparer la partie du tympan mobile avec la voûte, de sa partie fixe avec la pile et la culée, par un appareil différent, par un cadre,... (S₂).

Les tympans sont, comme les bandeaux et le couronnement, en grès rouge. L'arche centrale, les candélabres, les poteaux de trolley, sont peints en vert. Ces deux couleurs complémentaires se heurtent.

Φ_2 (S₂)



4. Plinthe. — Elle a peu de saillie (S₁).

5. Chaussée. Trottoirs. — La chaussée est, sur chaque arche en béton, en rampe assez forte : 1/37, soit 27^{mm} par mètre.

Les trottoirs sont faits de plaques de béton armé recouvertes d'asphalte.

6. Décintrement. — Au décintrement de l'arche rive droite, sa pile-culée s'inclina vers la rivière; la voûte tassa plus qu'on l'avait prévu, et l'arc d'acier se releva; il reprit son niveau sous une charge de 120 tonnes.

Le décintrement de chaque arche dura 4 heures.

7. Achèvement du pont. — Le tablier achevé, on a rempli au mortier de ciment l'intervalle entre les sommiers de granit des rotules, en maintenant le joint d'articulation par une feuille de feutre asphalté.

8. Épreuves. — On chargea chaque arche, puis tout le pont, d'abord d'un seul côté, puis entièrement, de 400^k de gravier par m. q.

On fit ensuite passer sur la chaussée des voitures de 15 et 20 tonnes.

Les épreuves durèrent 10 jours.

On observa une légère inclinaison des piles et culées.



9. Personnel.

Projet (primé au Concours) : MM. Grün et Bilfinger, de Mannheim.

Entreprise : MM. Ph. Holzmann et C^{ie}, de Francfort-sur-le-Mein.

SOURCES :

S₁. — Renseignements qu'ont bien voulu me communiquer MM. Grün et Bilfinger.

S₂. — Zentralblatt der Bauverwaltung, 20 mai 1908, p. 277 à 279 : « *Strassenbrücke über den Neckar in Mannheim* ».

S₃. — Ce que j'ai vu, — août 1908.

Tout ce qui n'est pas spécifié S₁ ou S₂ est de S₃.

VOÛTES ARTICULÉES

ARTICULATIONS ROULANTES ¹

ARCS ASSEZ SURBAISSÉS ²



¹

PONTS A UNE SEULE GRANDE ARCHE


SOUS ROUTE

Série  ¹ **r^{te}** ($\geq 40^m$) ¹

1. — Pour le classement des voûtes articulées et le sens des symboles, voir Tome IV, Livre I, p. 28 et 29.

2. — Série placée ici, après les arcs très surbaissés, au lieu de l'être avant. — J'en ai connu trop tard le seul pont.

PONT A UNE SEULE GRANDE ARCHE SOUS ROUTE

PONT	PROJET								1° ÉVIDEMENTS DES TYPANS 2° DÉCORATION DES TÊTES											
	ENSEMBLE		GRANDE VOÛTE																	
	Longueur <i>entre abouts des parapets</i> Déclivités Hauteur maxima de la chaussée au-dessus du sol ou de l'étiage	Largeurs <i>entre parapets entre tympans sous la plinthe</i> Fruit des tympans Revanche de la chaussée sur l'extrados	INTRADOS Portée <i>Montée</i> Surbaissement <i>Rayons</i>	ÉPAISSEURS CORPS ET TÊTES Clef <i>Joints de rupture</i> Retombées	ROTULES <i>Pour les dimensions, rayons, pressions,... voir Tome IV, Livres III.</i>	MATÉRIAUX <i>Mortier</i> <i>Poids, pour 1^{me} de sable, de chaux ou de ciment</i>	PRESSIONS en kg/0 ^m 1 ² Surcharges supposées													
1	2	3	4	5	6	7	8	9												
de Gräveneck <i>Prusse, - Hesse</i> 1911-1912  1 ^{re} (≥ 40 ^m)1	104 ^m 61 15 ^m 15 ^m 19	$\left\{ \begin{array}{l} 5^m 70 \\ 5^m 00 \end{array} \right.$ Pas de fruit 0 ^m 42	Portée entre appuis : 48 ^m 00 Entre les axes des rotules : $\left\{ \begin{array}{l} 48^m 425 \\ 7^m 75 \\ \frac{1}{6,248} = 0,160 \end{array} \right.$ Rayon de courbure à la clef : 36 ^m 85	$\left\{ \begin{array}{l} 0^m 60 \\ 1^m 02 \\ 0^m 75 \end{array} \right.$	Béton armé par des grillages en fers ronds de 8 ^{mm} normaux à la fibre moyenne Surfaces de roulement en mortier Ciment 1 ^r Sable du Rhin 1 ^r 5 Béton : Ciment 1 ^r Sable du Rhin 1 ^r 5 Eclats de basalte de 10 ^{mm} à 15 ^{mm} 2 ^r 5	Béton Ciment..... 1 ^r Sable du Rhin... 2 ^r Pierre { de 5 à 20 ^{mm} - 2 ^r } 5 ^r cassée { de 40 à 50 ^{mm} - 3 ^r } Rouleau à vapeur de 15 ^r	Pressions maxima : <table><tr><td></td><td>sans surch.</td><td>avec surch.</td></tr><tr><td>Clef</td><td>20^k</td><td>23^k2</td></tr><tr><td>Joints derupt.</td><td>12^k4</td><td>33^k6</td></tr><tr><td>Retom- bées</td><td>19^k4</td><td>22^k5</td></tr></table> Pas de tension 500 ^k /1 ^m ² et Rouleau à vapeur de 15 ^r 1/6 à 1/7 du poids mort		sans surch.	avec surch.	Clef	20 ^k	23 ^k 2	Joints derupt.	12 ^k 4	33 ^k 6	Retom- bées	19 ^k 4	22 ^k 5	1° Plate-forme en béton armé sur piliers carrés de 25 ^{cm} et 30 ^{cm} d'arête 2° »
	sans surch.	avec surch.																		
Clef	20 ^k	23 ^k 2																		
Joints derupt.	12 ^k 4	33 ^k 6																		
Retom- bées	19 ^k 4	22 ^k 5																		

1. — Pour le sens de ces abréviations, voir Avertissement, Tome IV, p. II, n° 6.

VOÛTES ARTICULÉES ARTICULATIONS ROULANTES
ARCS ASSEZ SURBAISSÉS
PONTS A UNE SEULE GRANDE ARCHE SOUS ROUTE

SÉRIE \hat{A}^1 r^{te} ($\geq 40^m$)

MONOGRAPHIES

PONT SUR LA LAHN, A GRÄVENECK (*PRUSSE, - Hesse, - Présidence de Wiesbaden*)

Route de Wirbelau à Gräveneck

1911-1912

\hat{A}^1 r^{te} ($\geq 40^m$)¹

Φ_1 - amont (S''')



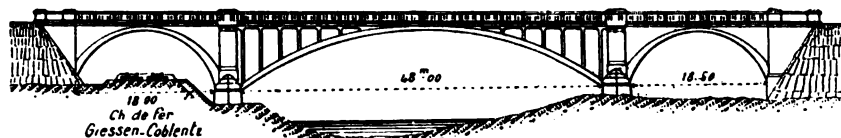
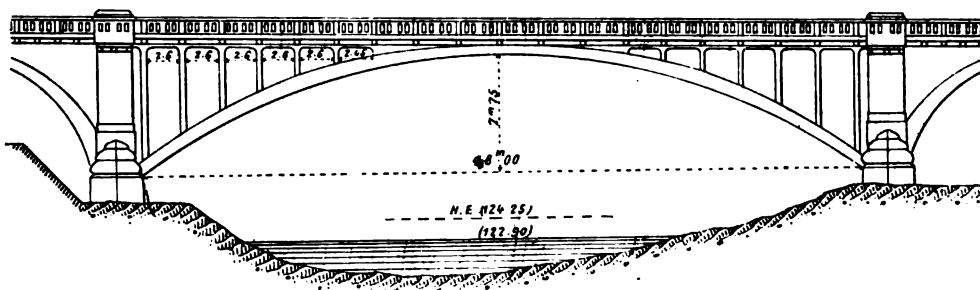
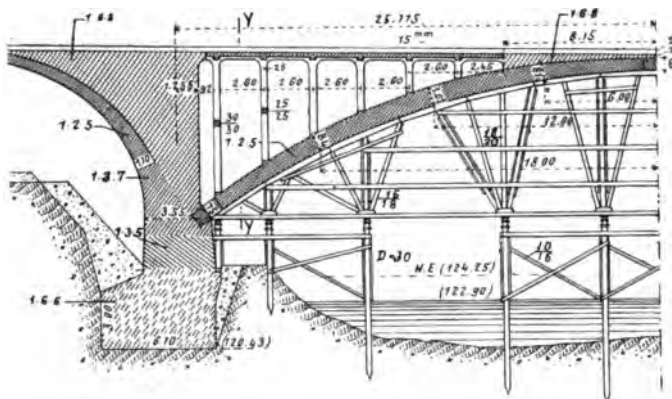
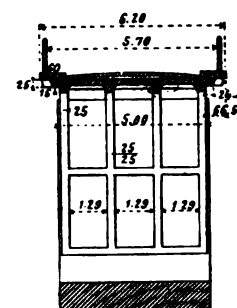
1. Une grande voûte entre deux petites. — Sous l'arche de rive gauche passent deux voies de chemin de fer ; l'arche de rive droite sert de décharge.

Pour qu'elles fissent culées, on les a élargies de 0^m50, et chargées de béton jusqu'à la chaussée (f₁).

2. Pourquoi on a articulé l'arche centrale. — 1° - Parce que cet arc mince, non armé, est soumis à de grands écarts de température ;

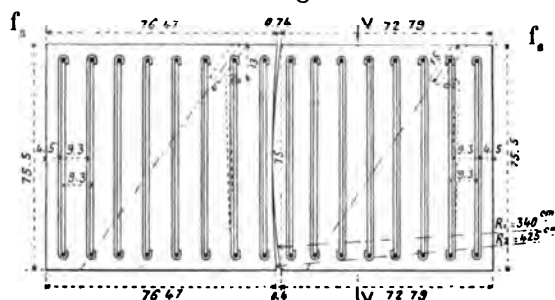
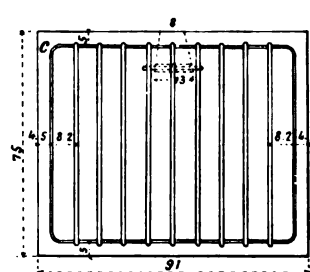
2° - Parce que le sol sous la pile rive gauche est peu résistant.

3. Pourquoi on a fait les rotules en béton armé. — Parce qu'elles sont plus homogènes qu'en pierre.

f_1 — Ensemble, amont — 1^{mm} f_2 — Grande voûte — 2^{mm} f_3 — Demi-coupe en long, et cintre — 2^{mm}5 f_4 — Coupe en travers sur yy de f_2 — 4^{mm}Rotules de retombée — 4^{cm}

Coupes

en long

en travers, sur xx de f_2 

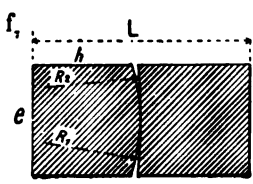
4. Rotules en béton armé. — *A. - Projet.* — Les cadres c (f_5) maintiennent les fers pendant l'exécution, et frettent le béton.
Il n'y a pas de fers dans le sens du pilonnage.

B. - Exécution. — Les moules étaient en bois recouvert de tôle ; la base, en plâtre très exactement dressé suivant la surface cylindrique de roulement : le plâtre a été remplacé à chaque bloc. On l'enduisait de mortier, puis on pilonnait le béton à l'état de terre humide, par couches de 10^{cm}.

Avant de placer les fers, on les enduisit d'un lait de ciment.

On mit les rotules en place au bout de 2 à 3 mois.

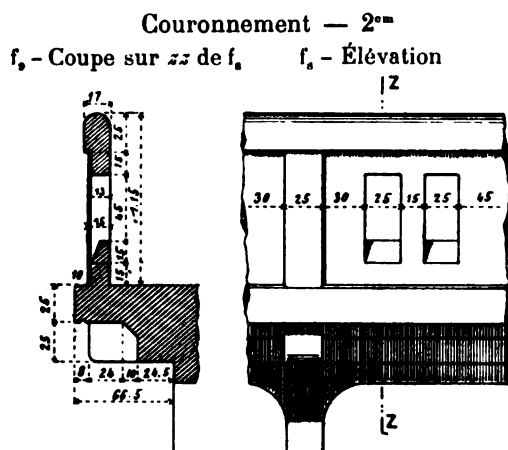
C. - Expériences au Laboratoire mécano-technique de Dresde. — Voici ce qu'ont donné, à un an, des rotules de mêmes dimensions que celles du pont :

		Dimensions en 0 ^m 01		Charge en tonnes par 0 ^m 01 d'arête de contact, provoquant les fissures	Compression, en 0 ^m 001, de la longueur L (f ₁) sous une charge de 11 ^T par 0 ^m 01 d'arête de contact
		e = h =	R ₁	R ₂	
	Clef	60 ^c	350 ^c	450 ^c	10 ^r 10 11 10 10 10
	Retombées	75,5	340	425	2 ^{mm} 06 2 45 1 95 1 86 2 01 2 36

La charge enlevée, les fissures se sont refermées.

Le coefficient de sécurité, par rapport à la charge des premières fissures, est entre 6 et 7.

Les empreintes de contact étaient très irrégulières¹.



5. Joints de dilatation. — Il y en a au-dessus des rotules, puis 2 autres dans la plate-forme, ceux-ci, jusqu'après décintrement.

6. Couronnement (f₁, f₂). — Les bahuts des parapets sont en blocs séparés, longs de 1^m, de béton moulé.

1. — Largeur de contact 2x et pression maxima au contact max β, d'après les formules de Hertz et de Barkhausen (S₁) (Voir Tome IV, p. 11 et 13), avec $E = 1,8 \times 10^5$ (Kg/0^m01²) :

	Charge en Kg par 0 ^m 01 d'arête de contact N	2x (en 0 ^m 01) d'après		max β (en Kg/0 ^m 01 ²) d'après	
		Hertz	Barkhausen	Hertz	Barkhausen
Clef.....	1394 ^a	10 ^m 8	17 ^m 6	164 ^a	90 ^a
Retombées.	1683	12 1	20 4	177	93

7. Chape. — Sur la plate-forme, on a étalé des feuilles de plomb, puis de l'asphalte, puis du béton ; sur l'extrados, un enduit étanche.

8. Matériaux. — Les arêtes des avant-becs sont en pierre.
Les parements vus sont en béton à grain fin.
En douelle, on a enlevé les empreintes du platelage.

9. Dates (S'').

Commencement des travaux.....	20 juin 1911
Grande voûte.....	15-19 novembre
Décintrement.....	4 janvier 1912
Ouverture à la circulation.....	1 ^{er} octobre

10. Personnel. — *Projet (au concours), et Entreprise* : MM. Hüser et C^{ie}, d'Obercassel.

SOURCES :

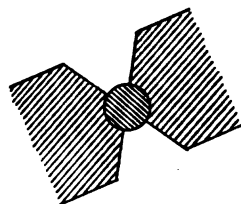
S₁. — Dessins d'exécution (S'), renseignements (S'') et photographie (S'''), gracieusement communiqués par M. Schluckebier, — juillet 1913.

S₂. — Beton und Eisen, 12 juin 1913, p. 217 à 220 : « *Brücke über die Lahn bei Gräveneck* », von Reg.-Baumeister a. D. Schluckebier, - Obercassel (Siegkr.).

Texte. — Ce qui n'est pas spécifié S'' est de S₁.
Dessins. — Ils sont réduits de S₁.

VOÛTES ARTICULÉES

ARTICULATIONS TOURNANTES¹



Symbole : ²

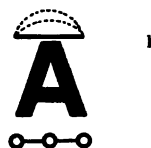


Voir Tome IV, Livre I :

1. — p. 21, pour la définition de l'articulation tournante,
2. — p. 28, pour le sens du symbole.

VOÛTES ARTICULÉES
ARTICULATIONS TOURNANTES ¹

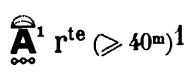
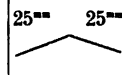
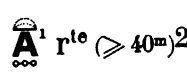
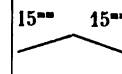
ARCS TRÈS SURBAISSÉS ¹



PONTS A UNE SEULE GRANDE ARCHE
SOUS ROUTE

Série  ¹ r^{te} ($\geq 40^m$) ¹

PONT A UNE SEULE GRANDE ARCHE SOUS ROUTE

PONT	PROJET																							
	ENSEMBLE		GRANDE VOÛTE																					
	Longueur <i>entre abouts des parapets</i> Déclivités Hauteur maxima de la chaussée au-dessus du sol ou de l'étiage	Largeurs <i>entre parapets entre tympans sous la plinthe</i> Fruit des tympans Revanche de la chaussée sur l'extrados	INTRADOS Portée Montée Surbaissement Rayons	ÉPAISSEURS CORPS ET TÊTES Clef Joints de rupture Retombées	ROTULES <i>Pour les dimensions, pressions,... voir Tome IV, Livre III.</i>	MATÉRIAUX Mortier Poids, pour 1 ^m c de sable, de chaux ou de ciment	PRESSIONS en kg/0 ^m 1 ² Surcharges supposées	ÉVIDEMENTS DES TYMPANS 2° DÉCORATION DES TÊTES																
1	2	3	4	5	6	7	8	9																
d' Inzigkofen <i>Hohenzollern</i> 1895 	50 ^m  6 ^m 60 étiage	$\left\{ \begin{array}{l} 3^m 80 \\ 3^m 60 \\ \text{entre} \\ \text{bandeaux} \\ \text{à la clef} \end{array} \right.$ Fruit de la voûte : 1/8,76 Tympans à fruit courbe »	Sur le sol de fondation : $\left\{ \begin{array}{l} 47^m,90 \\ 8^m 30 \\ \text{moyenne} \\ \frac{1}{5,771} = 0,190 \end{array} \right.$ Rayon de courbure à la clef : 65 ^m Entre axes des rotules : $\left\{ \begin{array}{l} 43^m,00 \\ 4^m 38 \\ \frac{1}{9,81} = 0,102 \end{array} \right.$	$\left\{ \begin{array}{l} 0^m,70 \\ 1^m,10 \\ 0^m 78 \end{array} \right.$	Tourillons et balanciers en fonte	B 1 fait à la main 1 ^r Ciment Stuttgarter Zement- fabrik Blaubeuren et <table><tr><th></th><th>Sable</th><th>Grav- ier</th><th>Pierre cassée</th></tr><tr><td>Corps</td><td>2^r5</td><td>0^r5</td><td>4^r</td></tr><tr><td>Près des rotules</td><td>2</td><td>0.5</td><td>2.5</td></tr><tr><td>Som- miers</td><td>1.5</td><td>0.75</td><td>0.75</td></tr></table>		Sable	Grav- ier	Pierre cassée	Corps	2 ^r 5	0 ^r 5	4 ^r	Près des rotules	2	0.5	2.5	Som- miers	1.5	0.75	0.75	Pression maxima : Clef : 43 ^k 9 Joints de rupture : 37 ^k 7 Tension — 1 ^k Retombées : 42 ^k 9 Dans les autres sections : 37 ^k 7 400 ^k /1 ^m 2 et Rouleau à vapeur de 15 ^r	1° Plate-forme en béton sur 3 murs de 0 ^m 70, espacés de 0 ^m 675, percés de 14 voûtes transversales vues, en plein cintre de 1 ^m 15 et 1 ^m 20 sur piles de 0 ^m 60 2° Moulures comme d'un arc en fonte
	Sable	Grav- ier	Pierre cassée																					
Corps	2 ^r 5	0 ^r 5	4 ^r																					
Près des rotules	2	0.5	2.5																					
Som- miers	1.5	0.75	0.75																					
de Neckarhausen <i>Hohenzollern</i> 1899-1900 	55 ^m 50  8 ^m étiage	$\left\{ \begin{array}{l} 5^m,50 \\ 4^m 80 \\ \text{entre} \\ \text{bandeaux} \\ \text{à la clef} \end{array} \right.$ Voûte à fruit parabolique Tympans à fruit courbe »	Sur le sol de fondation : $\left\{ \begin{array}{l} 59^m,40 \\ 12^m 585 \\ \text{moyenne} \\ \frac{1}{4,719} = 0,212 \end{array} \right.$ Rayon de courbure à la clef : 90 ^m Entre axes des rotules : $\left\{ \begin{array}{l} 50^m,00 \\ 4^m 545 \\ \frac{1}{11} = 0,091 \end{array} \right.$	$\left\{ \begin{array}{l} 0^m,85 \\ 1^m,20 \\ 0^m 90 \end{array} \right.$	Tourillons en acier Balanciers en fonte	B 1 Ciment lent..... 1 ^r Stuttgarter Zement- fabrik Blaubeuren Sable..... 2 ^r 5 (Porphyre ou calcaire, broyés) Pierre cassée.... 5 ^r	Pression maxima dans la voûte : 39 ^k 8 Trottoirs: 500 ^k /1 ^m 2 Chaussée: 400 ^k /1 ^m 2 et Rouleau à vapeur de 15 ^r	1° Plate-forme en béton de 0 ^m 32 sur 4 murs de 0 ^m 60, espacés de 0 ^m 73, percés de 14 voûtes transversales vues, en ellipse de 1 ^m 34 sur piles de 0 ^m 52 2° Moulures comme d'un arc en fonte																

ARCS TRÈS SURBAISSÉS

221



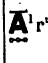
SÉRIE \bar{A}^1 r^{te} ($\geq 40^m$)

TABLEAU SYNOPTIQUE

EXÉCUTION										CUBE DE MAÇONNERIE A MORTIER	
FONDATIONS	GRANDE VOÛTE									Q	DÉPENSE D
	CINTRE				MODE DE CONSTRUCTION	DÉCINTREMENT État d'avancement du pont Temps entre le dernier clavage et le décintrement Date	TASSEMENTS DE LA CLEF				
	FERMES		Cube de bois Poids de fer Dépenses				sur cintre t _c au décin- tremement après t _{c'}	t _{c''}			
	Type Matière Appareils de décintrement	Nombre Épaisseur Écartement d'axe en axe Surhaussement	Totaux	par mq de douelle 2							
Nature du sol Profondeur sous l'étiage Pressions sur le sol en kg : 0 ^m 01 ² Procédé	10	11	12	13	14	15	16	17	18	Totaux et par unité {	de surface utile S _p de volume « utile » W
Rive droite : Rocher » Pression maxima : 28 ^m 6 » »	Fixe Montants et contrefiches	4 Fermes de rive : 16 ^{cm} Fermes intermédiaires : 18 ^{cm} 1 ^m 07	3949 ^f	18 ^f 7	A pleine épaisseur, à partir des retombées, par tranches de 1 ^m à 1 ^m 30	Tympan achevés 35 jours	(121 j.) 12 octobre	am ¹ aval t _c 49 43 t _{c'} 7.5 7.7 t _{c''} 26.5 29.5 Recul de la culée rive gauche au décintrement 0 ^m 3	Q = 634 ^{mc} Q : S _p = 3 ^{mc} 33 Q : W = 0 ^{mc} 45	D = 32 824 ^f D : S _p = 172 ^f 8 D : W = 23 ^f 3 D : Q = 51 ^f 8	
Rive gauche : Gravier » Pression maxima : 3 ^m 7 Quelques épuisements dans une enceinte de pieux et palplanches	Pin Bottes à sable										
Marne dolomitique — 6 ^m	Fixe Montants et contrefiches	4 18 ^{cm} 1 ^m 30	100 ^{mc}	0 ^{mc} 35	A pleine épaisseur, à partir de la clef, par tranches symétriques	Couronnement posé 56 jours	(215 j.) 28 août	am ¹ aval t _c 66.7 78.1 t _{c'} 12.1 12.5 t _{c''} 26.9 31.3	Q = 1440 ^{mc} Q : S _p = 4 ^{mc} 72 Q : W = 0 ^{mc} 62	D = 86 800 ^f D : S _p = 284 ^f 3 D : W = 37 ^f 2 D : Q = 60 ^f 3	
Épuisements en fouille blindée	Pin Vérins à vis										

Pour le calcul de la surface de douelle, voir Avertissement, Tome IV, p. III, n° 7 — A. 3. S_p = Longueur (col. 2) × Largeur entre parapets (col. 3) — C'est la surface offerte à la circulation.
 4. W = Surface vue de l'élévation × Largeur entre parapets. 5. W' = Surface de l'élévation au-dessus des fondations × Largeur entre parapets.
 Pour S_p, W, W', voir Avertissement, Tome IV, p. III, n° 7 — B.

PONT A UNE SEULE GRANDE ARCHE SOUS ROUTE

PONT	PROJET							
	ENSEMBLE		GRANDE VOÛTE					1°
	Longueur entre abouts des parapets Déclivités Hauteur maxima de la chaussée au-dessus du sol ou de l'étiage	Largeurs entre parapets entre tympans sous la plinthe Fruit des tympans Revanche de la chaussée sur l'extrados	INTRADOS Portée Montée Surbaissément Rayons	ÉPAISSEURS CORPS ET TÊTES Clef Joints de rupture Retombées	ROTULES Pour les dimensions, pressions, ... voir Tome IV, Livre III.	MATÉRIAUX Mortier Poids, pour 1 ^m de sable, de chaux ou de ciment	PRESSIONS en kg/0 ^m 01 ² Surcharges supposées	ÉVIDEMENTS DES TYMPANS 2° DÉCORATION DES TÊTES
1	2	3	4	5	6	7	8	9
du Prince-Régent à Munich <i>Bavière</i> 1900-1901  1 ^{re} (≥ 40 ^m) ³	103 ^m Courbe de la chaussée, en profil en long : $x^2 = 2730 y$ Déclivité maxima : 18 [°] 11 ^m 20 étiage	$\left\{ \begin{array}{l} 17^m 20 \\ 17^m 00 \end{array} \right.$ Pas de fruit 0 ^m 46	Arc avec raccord vertical aux retombées Portée entre appuis : 62 ^m 40 Entre les axes des rotules : 63 ^m 00 6 ^m 50 $\frac{1}{9,692} = 0,103$ Rayon de courbure de la fibre moyenne à la clef : 80 ^m	$\left\{ \begin{array}{l} 1^m 00 \\ 1^m 48 \\ 1^m 20 \end{array} \right.$	Tourillons en acier coulé entre balanciers en fonte appuyés sur sommiers en granit	PT 1 Muschelkalk Ciment Portland 700 ^k <i>Fabriques de Karlstadt sur le Mein et Dyckerhoff et fils d'Amöneberg sur le Rhin</i> Sable tamisé Joints de 25 ^{mm}	Pression maxima : Clef : 41 ^k 7 Joints de rupture : 39 ^k Retombées : 43 ^k 500 ^k /1 ^m ² et Rouleau à vapeur de 20 ^r	1° Entre tympans pleins, voûtes d'arête en béton sur piliers en maçonnerie de 52 ^r × 52 ^r 2° A la clef. Cartouche en bronze aux armes royales Sur les tympans. monogramme du Prince-Régent
Max-Joseph à Munich <i>Bavière</i> 1901-1902  1 ^{re} (≥ 40 ^m) ⁴	104 ^m 60 20 [°] 20 [°] 11 ^m 50 étiage	$\left\{ \begin{array}{l} 18^m 10 \\ 18^m 60 \end{array} \right.$ Tympans à fruit courbe 0 ^m 475	Arc avec raccord vertical aux retombées Au-dessus des naissances : 64 ^m 00 8 ^m 00 $\frac{1}{8} = 0,125$ Entre les axes des rotules : 60 ^m 00 6 ^m 00 $\frac{1}{10} = 0,10$ Rayon de courbure de la fibre moyenne à la clef : 67 ^m	$\left\{ \begin{array}{l} 1^m 05 \\ 1^m 40 \\ 1^m 20 \end{array} \right.$	Comme au Pont du Prince- Régent  1 ^{re} (≥ 40 ^m) ³	PT 1 Muschelkalk Ciment Portland Dyckerhoff et fils 700 ^k	Pression maxima (au joint de rupture) 45 ^k 500 ^k /1 ^m ²	1° En travers, 10 voûtes vues, en ellipse, de 2 ^m 53 à 3 ^m ; en long, 6 voûtes, en ellipse, de 2 ^m 20 Piliers de 90 × 70 ^r Tout en béton de gravier 2° A la clef. Cartouche en bronze aux armes de Munich

1. — Pour le sens de ces abréviations, voir Avertissement, Tome IV, p. II, n° 6.

SÉRIE \bar{A}^1 $r^{1e} \geq 40^m$

TABLEAU SYNOPTIQUE (Suite)

EXÉCUTION										CUBE DE MAÇONNERIE A MORTIER	
FONDATIONS	GRANDE VOÛTE									Q DÉPENSE D Totaux et par unité { de surface utile S _p ² de volume « utile » W ⁴ . 18	
	CINTRE				MODE DE CONSTRUCTION	DÉCINTREMENT État d'avancement du Pont Temps entre le dernier clavage et le décintrement Date	TASSEMENTS DE LA CLEF sur cintre t _c au décin- trement t _v après t _v '				
	FERMES		Cube de bois Poids de fer Dépenses								
	Type Matière Appareils de décentrement	Nombre Épaisseur Écartement d'axe en axe Surhaussement	Totaux	par mq de douelle 2							
10	11	12	13	14	15	16	17			18	
Marne Résistance : 40 ^k à 50 ^k / 0 ^{m01} 2 Gravier - 6 ^m sous le lit Pression maxima, avec surcharge: 4 ^k 8 Épaulements	Fixe Montants et contrefiches Pin et Sapin Nœuds en chêne Vérins à vis	{ 9 24 ^{cm} 2 ^m 00 120 ^{mm}	650 ^{mc} 3000 ^k 49360 ^f	0 ^{mc} 61 2 ^k 8 46 ^f 1	Voussoirs posés à sec, avec joints de 2 ^{cm} 5, matés ensuite au mortier à Ciment 1 ^v Sable tamisé 1 ^v	Tympan et la plupart des voûtes d'évidement, exécutés 55 jours 29 mai	t _c = 55 ^{mm} t _v ' = 34 ^{mm} Recul de la culée RG 2 ^{me}	Q = 9800 ^{mc} Q : S _p = 5 ^{mc} 53 Q : W = 0 ^{mc} 65 D = 740 400 ^f D : S _p = 417 ^f 9 D : W = 49 ^f 4 D : Q = 75 ^f 6			
Marne - 6 ^m 10 Pression maxima : 5 ^k Fouille boisée	Fixe Montants et contrefiches Sapin Pièces fatiguées en chêne et mélèze Vérins à vis	{ 9 24 ^{cm} 2 ^m 10 120 ^{mm}	680 ^{mc} 3000 ^k 55530 ^f	0 ^{mc} 55 2 ^k 4 44 ^f 6	A pleine épaisseur	Voûtes d'évidement construites 42 jours 25 juin	t _c = 45 ^{mm} t _v ' { 35 ^{mm} 37 ^{mm}	PT ¹ 1930 ^{me} B ¹ 8145 ^{me} Q = 10075 ^{mc} Q : S _p = 5 ^{mc} 48 Q : W = 0 ^{mc} 55 D D : S _p D : W D : Q		Fon- dations Élé- vation En- semble 182921 ^f 96 ^f 6 9 ^f 7 » 689604 ^f 364 ^f 3 36 ^f 5 » 872522 ^f 460 ^f 9 46 ^f 2 84 ^f 1	

. Pour le calcul de la surface de douelle, voir Avertissement, Tome IV, p. III, n° 7 — A. 3. S_p = Longueur (col. 2) × Largeur entre parapets (col. 3) — C'est la surface offerte à la circulation
 4. W = Surface vue de l'élévation × Largeur entre parapets. 5. W' = Surface de l'élévation au-dessus des fondations × Largeur entre parapets.

Pour S_p , W, W', voir Avertissement, Tome IV, p. III, n° 7 — B.

VOÛTES ARTICULÉES ARTICULATIONS TOURNANTES
ARCS TRÈS SURBAISSÉS
PONTS A UNE SEULE GRANDE ARCHE SOUS ROUTE

SÉRIE $\overset{\text{A}}{\underset{\text{ooo}}{\text{A}}}^1 \text{ r}^{\text{te}} (\geq 40^{\text{m}})$

MONOGRAPHIES

PONT SUR LE DANUBE, A INZIGKOFEN¹ (ALLEMAGNE, - *Hohenzollern*)

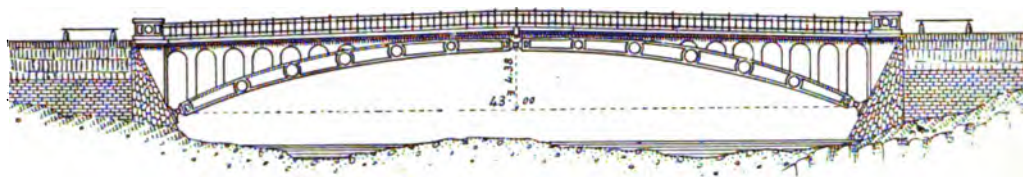
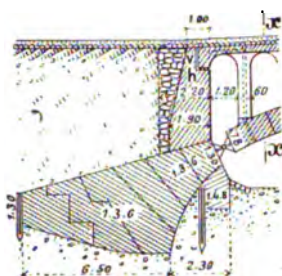
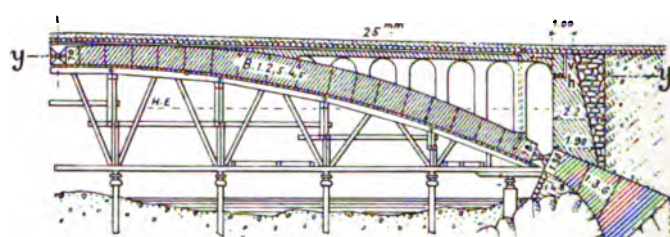
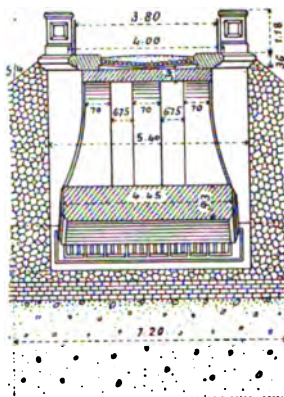
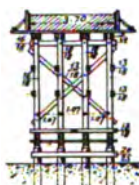
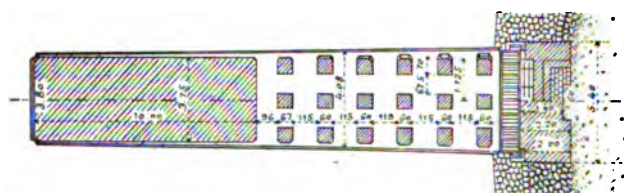
1895

$\overset{\text{A}}{\underset{\text{ooo}}{\text{A}}}^1 \text{ r}^{\text{te}} (\geq 40^{\text{m}})^1$

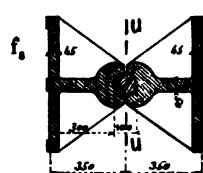
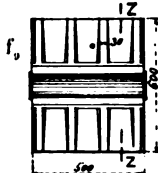
Φ_1 — amont (S.)



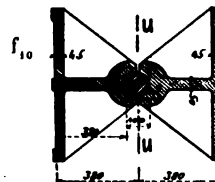
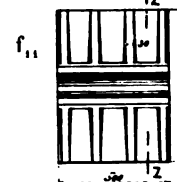
1. — à 6^m en amont de Sigmaringen.

f_1 — Élévation — 2^{mm} f_2 — Culée rive gauche — 3^{mm} f_3 — Coupe en long et cintre, côté rive droite — 3^{mm} f_4 — Coupe en travers sur $x.x$ de f_1 — 5^{mm} f_5 — Coupe en travers du cintre — 3^{mm} f_6 — Coupe horizontale sur yy de f_1 — 3^{mm} f_7 — Coupe le long de l'extradosRotules
Coupes — 3^{cm}

à la clef

sur gg de f_8 sur uu de f_8 

aux retombées

sur zz de f_{11} sur uu de f_{10} 

1. Le pont est en béton. — La voûte est un arc en béton à culées perdues, à 3 rotules découvertes, en fonte.

On a tout fait en béton par économie : on avait, à portée, du gravier, du sable, des cailloux, d'excellent ciment.

On voit de suite que c'est un pont moulé : pas de lits, pas de joints ; aux têtes, des ornements comme de métal coulé, des arêtes chanfreinées. On dirait d'un arc en fonte.

2. Joints de dilatation (f, f). — On a ménagé, au niveau des naissances des dernières voûtes d'élégissement, un joint vide, d'abord horizontal *h* glissant sur des rouleaux (S₁), puis vertical *v* jusqu'à la chaussée.

Si les voûtes extrêmes ne portaient plus sur les rouleaux de *h*, elles seraient tenues par 4 rails de 0^m90.

Le garde-corps en fer est coupé à la clef.

Au-dessus de la clef, la chaussée est soutenue par des fers Zorès.

3. Écoulement des eaux. — La chape est en feutre asphalté de 6^{mm}.

Un fer Zorès dans l'axe du pont conduit l'eau à des gargouilles traversant la voûte près des retombées (f, f).

4. Chaussée. — Sur la chape, on a étalé successivement 10^{cm} de sable ; puis l'empierrement qui a 6^{cm} aux bords, 10^{cm} au milieu ; puis 8^{cm} de gravier ; enfin, une mince couche de sable.

5. Matériaux.

A. - Ciment.

Durée de la prise : 7 h.

Finesse de mouture : résidu de 1 % au tamis de 900 mailles par 0^m01², - de 18 % au tamis de 5000 mailles.

Résistance à la traction (mortier à 1 pour 3 de sable normal) :

à 7 jours.....	18 ⁺ 8
à 28 jours.....	23 ⁺ 5

B. - Sable.

Par rapport au sable normal, il avait :

- 42 % de grains plus fins,
- 42 % de grains plus gros,
- 16 % de grains de même grosseur.

Avec ce sable, le mortier était de 20 % plus résistant qu'avec le sable normal.

C. - Béton.

C. - Béton.	Composition Pour 1 ^r de ciment				Densité	Résistance à la rupture Cubes de 25 ^m d'arête, prélevés au moment de l'emploi	
	Sable	Gravier		Pierre cassée calcaire de 4 à 6 ^m 46 % de vides		Age	Charge de rupture
		fin jusqu'à 2 ^m	de 1 ^m à 5 ^m 37 % de vides				
	extraits des fouilles du Rheinthalgletscher près de Sigmaringen						
Murs en retour des culées.....	4 ^r		8 ^r		2320 ^k	213 ^j	198 ^k
Fondation de la culée rive gauche (avec 1/4 de blocs calcaires, gros comme le poing).. Culée rive droite, piliers et voûtes d'élé- gissement.....	3 ^r		6 ^r				
Corps.....	3 ^r		6 ^r				
	2 ^r 5	0 ^r 5		4 ^r	2290 ^k	160 ^j	181 ^k
Grande \					Pendant la confection et le durcissement des cubes, il faisait très chaud		
voûte /							
Au voisinage des rotules.....	2 ^r	0 ^r 5		2 ^r 5			
Au contact des rotules.....	1 ^r 5	0 ^r 75		0 ^r 75	2250 ^k	160 ^j	259 ^k
Plate-forme supportant la chaussée.....	2 ^r 5	0 ^r 5		4 ^r			
Tous les parements vus (le ciment était coloré avec 6 % d'ocre jaune).....	2 ^r						
Dalles des trottoirs.....	2 ^r		3 ^r				

Le béton était fait à bras. On variait la quantité d'eau suivant la température (elle a atteint 50°).

6. Calculs.

A. - *Hypothèses*. — On a admis comme surcharge roulante une foule pesant 400^k m. q. et un rouleau à vapeur de 15^t, ayant 2^m de largeur et 2^m775 entre essieux.

B. - *Résultats*. — B₁. - *Courbes de pression*. — On obtient la même courbe de pression, soit en plaçant le rouleau à vapeur dans la position la plus défavorable, soit en étalant sur une demi-voûte une surcharge double.

B₁. - *Efforts*.

		Pressions		Tension
		maxima	minima	
dans la voûte	à la clef (appui des rotules).....	43 ^k 9		1 ^k
	aux joints de rupture.....	37 ^k 7		
	aux retombées.....	32 ^k 5		
	(appui des rotules) } sans vent..	42 ^k 9		
sur le sol de fondation	rive gauche (gravier).....	3 ^k 7	2 ^k 1	
	rive droite (rocher).....	7 ^k 7	5 ^k 3	

La culée rive droite a une fois 1 2 la largeur de la voûte à la clef; la culée rive gauche, deux fois.

7. Cintre. — L'espacement des fermes augmentait vers les retombées à cause du fruit.

Le platelage de 6^m débordait pour recevoir les cloisons de tête (f_1).

Les boîtes à sable portaient des coins, avec lesquels on mettait le cintre au niveau voulu.

8. Fondation de la culée rive gauche. — Le fond de la fouille a été soumis à une charge d'épreuve de 3^k6, au moyen de plaques de fonte de 22^c × 22^c. Le tassement du gravier fut de 6^{mm}; il n'augmenta pas en 18 heures.

Le béton, posé à sec, était pilonné par couches horizontales de 15^{cm} au plus, derrière des cloisons sensiblement normales à la courbe de pression (f_1 , f_2).

9. Exécution de la voûte. — Pendant la construction, les coussinets de chaque articulation étaient solidarités par des boulons, qu'on enleva avant le décintrement.

Les rotules de clef ont été posées sur le platelage; celles des reins étaient maintenues par des triangles de bois (f_3).

On chargea d'abord de 40 tonnes le cerveau du cintre sur 6^m de long et 3^m de large.

Puis on bétonna, des naissances vers la clef, en ménageant des vides de 25^{cm} derrière les rotules, de 1^m à 1^m20 aux joints de rupture.

En même temps, on enlevait la charge placée au cerveau.

On pilonnait le béton par minces couches horizontales derrière des cloisons transversales en planches, normales à la courbe de pression, et disposées à 1^m ou 1^m30 de distance.

Les cloisons de tête étaient recouvertes de papier fort; leurs joints avaient été bouchés au plâtre. On y fixait les liteaux et les moules des têtes.

Le crépi de parement était fait avec la voûte.

Le platelage n'était raboté que sur 0^m20 à partir des têtes. Deux liteaux de 2^{cm} d'épaisseur limitaient cette zone.

On clava aux naissances, à la clef, puis aux joints de rupture.

On avait bétonné la voûte en une semaine, soit 36^{m³} par jour.

On y avait employé 11 hommes : 5 pour faire le béton, 3 pour le transporter, 3 pour le pilonner.

10. Décintrement. — On abaissa le sable de 1^m à partir des culées : la clef remonta d'abord de 2^{mm}5, puis descendit de 5^{mm}; la voûte se détacha à partir des retombées.

Un nouvel abaissement de 1^m de toutes les boîtes décolla toute la voûte. La clef tassa encore de 2^{mm}5 à l'amont, de 2^{mm}7 à l'aval.

Le décintrement dura 25 minutes.

11. Tassements de la clef.

Dates	Phases de la construction	Tempé- rature moyenne en degrés Cen- tigrades	Abaissements en mm			
			totaux		partiels	
			amont	aval	amont	aval
1895						
Août	15	Achèvement du cintre.....	15°	»	»	
	29	Commencement de la voûte (après char- gement du cintre).....	17°	12	9	23
Septembre	7	Clavage	20°	a)35	a)34	14
	12	15°	49	43	0
Octobre	12	Avant décintrement.....	6°	49	43	7.5
	12	Après décintrement.....	6°	56.5	50.7	4
	18	3°	60.5	55.2	5.1
	24	6°	65.6	60	3.4
	31	0°	69	62.5	1
Novembre	4	6°	70	63	1
	8	12°	71	65	3
	15	6°	74	70	6
	29	- 1°	80	76	0
1896						
Janvier	8	- 3°	b)83	b)80	3
Février	10	+ 2°	83	80	0

		amont	aval
Tassement total depuis le clavage jusqu'au 8 janvier 1896.	brut, (b-a).....	48mm	46mm
	en tenant compte de l'abaissement de température de 20° à - 3°.....	33mm	31mm ²

12. Épreuves. — Elles furent faites le 1^{er} novembre 1895, 8 semaines après le clavage.

	Mouvements de la clef en mm			
	pendant l'épreuve		permanent	
	Relèvement ↑	Tassement ↓	↓	
Rouleau vide, 3 ^r 5.....	0mm1 rouleau sur le 1 ^{er} 1/3 de la voûte	0mm6 au passage sur la clef	0mm1	
Rouleau plein, 6 ^r 5 (2 passages).....	0 1 »	0 9 id.	»	
Charge uniforme de 300 ^k /m. q.....	» »	0 6 »	»	

2. — Au tassement moyen $t = \frac{33^{mm} + 31^{mm}}{2} = 32^{mm}$ correspondrait un raccourcissement c de l'arc, donné par cette formule :

$$t = \frac{c \times (2a') (\text{portée entre articulations})}{4 b' (\text{montée entre articulations})} \quad (S_1)$$

d'où :

$$c = 13^{mm}03$$

13. Dates.

		1895
Commencement des travaux.....		8 juillet
Grande voûte..	Commencement.....	29 août
	Dernier clavage (joints de rupture).....	7 septembre
	Décintrement.....	12 octobre
Achèvement des travaux.....		8 novembre
Ouverture à la circulation.....		12 novembre

14. Quantités.

Béton.	Culées.....	262 ^{mc}	634 ^{mc}
	Voûte.....	164	
	Piliers.....	33	
	Plate-forme.....	40	
	Trottoirs.....	27	
	Parapets.....	6	
	Murs en retour.....	84	
	Remplissage.....	18	
Fonte pour rotules.....		15 ^r	
Fer pour garde-corps...		2 ^r	

15. Personnel.

Ingénieur. — *Projet et Direction générale des Travaux* : M. Max Leibbrand,
« Landesbaurath » à Sigmaringen.

Entrepreneurs : MM. B. Liebold et C^{ie}, d'Holzminden.

Directeur de l'Entreprise : M. Jean Meyer, d'Holzminden.

SOURCES :

S₁. — Zeitschrift für Bauwesen, 1896, p. 279 à 292, Pl. 37 et 38 : « *Donaubrücke bei Inzigkofen in Hohenzollern. — Betonbrücke mit offenen Gelenken* », Sigmaringen, janvier 1896, Max Leibbrand, Landesbaurath.

S₂. — Ce que j'ai vu, — août 1908.

Ce qui n'est pas spécifié S₂ est de S₁.

PONT SUR LE NECKAR, PRÈS DE LA GARE DE NECKARHAUSEN¹

(ALLEMAGNE - Hohenzollern)

1899-1900

$\bar{A}^1 r^{te} (\geq 40^m)^2$

$\Phi_1 (S_1)$



1. Grande voûte. — C'est, comme celle d'Inzigkofen², un arc en béton à culées perdues, à 3 articulations apparentes.

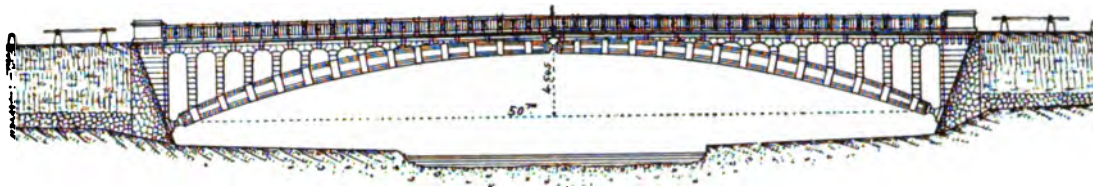
La fibre moyenne est la courbe de pression sous le poids propre du pont : les épaisseurs de la voûte sont calculées pour une pression maxima de 40^t.

La largeur en douelle croît comme les ordonnées d'une parabole, de 4^m80 à la clef à 5^m60 aux retombées.

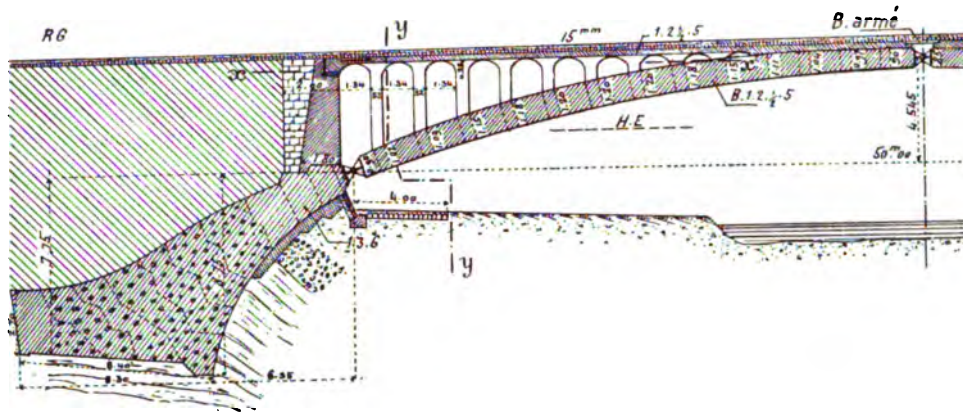
1. — Ligne de Stuttgart à Rottweil, à 73^m de Stuttgart.

2. — $\bar{A}^1 r^{te} (\geq 40^m)^1$, Tome IV, p. 225.

f₁ — Élévation — 2^{mm}



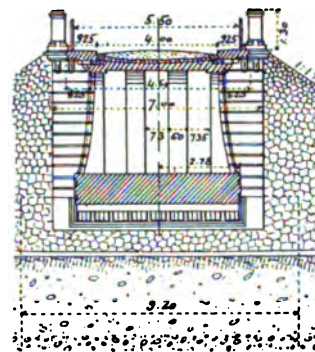
f₂ — Coupe en long — 3^{mm}



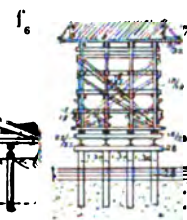
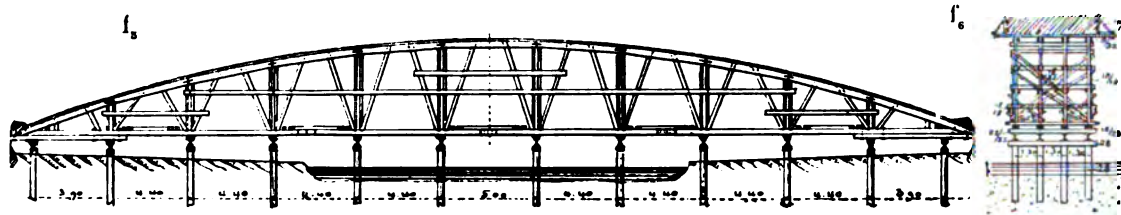
f₃ — Coupe horizontale sur xx de f₂ — 3^{mm}

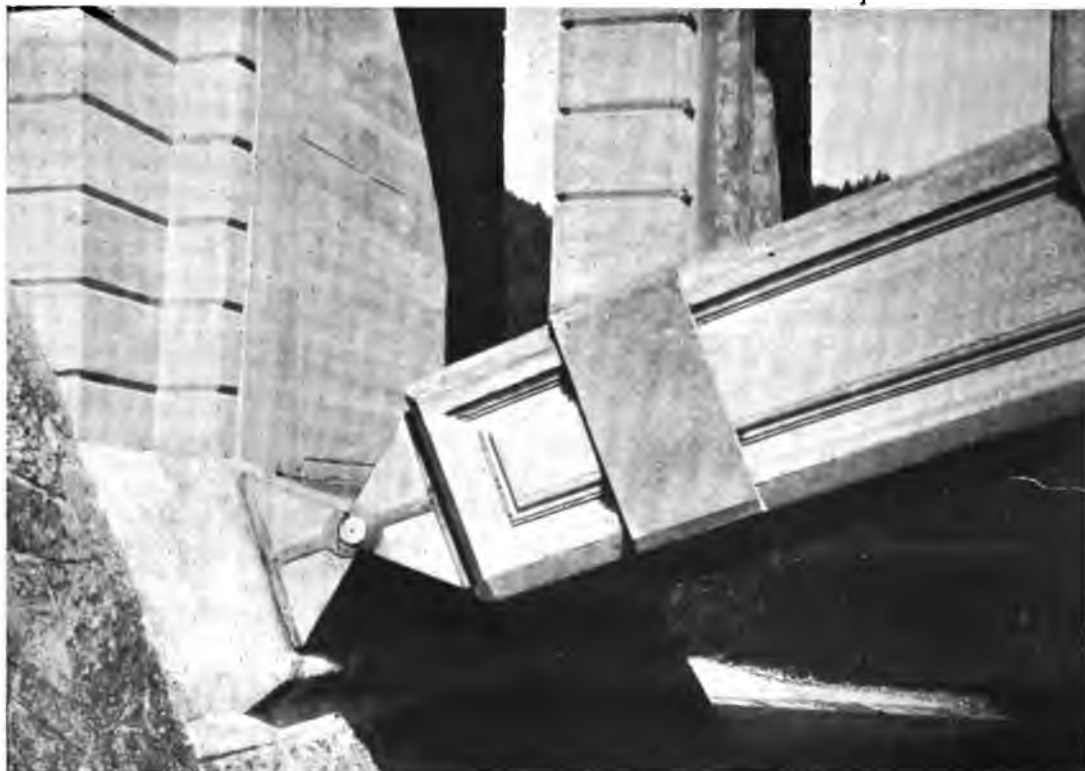


f₄ — Coupe en travers sur yy de f₂ — 4^{mm}



Cintre — 2^{mm}5

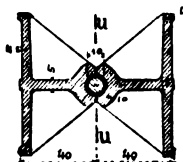




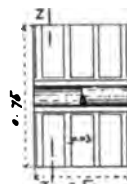
2. Articulations.

Coupes
2^m5

f_r
sur zz
de f_s



f_s
sur uu
de f_r



3. Joints de dilatation (f_s). — Comme au pont d'Inzigkofen³.

4. Culées. — Le sol de fondation est une marne dolomitique résistant assez à la compression, peu au glissement.

Pour résister au renversement, on met les matériaux en profondeur.

Pour résister au glissement, on ne compte pas seulement sur le frottement proprement dit qui, lui, ne dépend que du poids de la culée et non de sa forme, mais, comme on l'a constaté sur un modèle en petit, sur une sorte de bourrelet qui butte le pied de la culée et augmente avec sa largeur : on l'a portée à 9^m20 pour une largeur à la clef de 4^m80.

5. Matériaux. — A. - *Ciment*. — Le ciment lent laissait un résidu de 1/1000 sur le tamis de 900 mailles, de 130, 1000 sur le tamis de 4900 mailles.

B. - *Mortier*. — Voici le résultat des expériences faites au Laboratoire d'Essai de l'Ecole Polytechnique de Stuttgart, par M. le Directeur von Bach :

Nombre de jours de prise	Résistance du mortier à 1/3				
	à la traction			à la compression (Cubes de 7 ^m d'arête, à 10 % d'eau)	
	Sable normal	Porphyre broyé	Calcaire broyé	Sable normal	Porphyre broyé
7 j	21 [±] 2	31 [±] 5	»	218 [±] 2	268 [±] 8
8	22,1	35,3	»	»	»
14	»	35,2	32 [±] 4	»	»
28	24,9	36,0	36,6	»	»
56	26,0	»	40,9	»	»
90	29,1	42,0	»	»	»

Le sable de broyage contient jusqu'à 1/4 de son volume de poussière. D'après les essais que voici, faits à l'usine de Blaubeuren, elle ne diminue pas la résistance :

Nombre de jours de prise	Résistance moyenne (Mortier à 1/3 de porphyre broyé)			
	à la traction		à la compression (Cubes de 5 ^m d'arête)	
	Sable lavé	Sable non lavé	Sable lavé	Sable non lavé
7 j	33 [±] 1	33 [±] 4	162 [±]	162 [±]
14	»	36,6	»	189
28	40,0	40,2	222	211
90	»	48,9	»	»

3. — $\bar{A}^1 r^{te} (\geq 40^m)^1$, Tome IV, p. 225.

C. - Béton (Dosages).

	Pour 1 ^r de ciment		
	Sable	Gravier	Pierre cassée
Massif des fondations.....	3 ^r	6 ^r	»
Voûte.....	2 ^r 5	»	5 ^r
Tablier sous chaussée.....	2 ^r 5	»	5 ^r
Piliers des voûtes d'élégissement, murs en retour....	3 ^r	»	6 ^r
Parements de tête.....	4 ^r	»	»
Blocs moulés (plinthes, consoles, parapets).....	2 ^r	»	4 ^r

On a employé 300 tonnes de ciment pour 1440^m de béton, soit en moyenne 208^k de ciment par m. c. de béton en œuvre.

6. Efforts, en Kg/0^m01².**A. - Dans la voûte. — Pas de tension.**

La compression varie entre 38^k2 et 39^k8, sauf sous les balanciers de fonte; elle atteint là :

	à la clef	aux retombées
sans tenir compte du frottement des tourillons.....	54 ^k 6	46 ^k 2
en tenant compte de ce frottement, avec $f = 0,4$	64 ^k	57 ^k 8

Les moments de flexion dans la voûte, dûs au frottement des tourillons, sont : positifs maxima à la clef; négatifs maxima aux retombées; nuls aux joints de rupture.

B. - Dans les articulations. — Le travail maximum des balanciers à la flexion est :

Tension.....	221 ^k 3
Compression.....	346 ^k

Cette fonte résiste à 1735^k à la traction.

C. - Dans les culées.

	Pression maxima		Coefficient de frottement sur la base	
	Rive droite	Rive gauche	Rive droite	Rive gauche
Poids mort et crues.....	5 ^k 5	4 ^k 4	0,41	0,42
Surcharge complète.....	5,6	4,6	0,23	0,28
Ensemble.....	11 ^k 1	9 ^k 0		

7. Cintre. — Pendant le bétonnage, les vérins se sont enfoncés de 3^{cm} dans leurs semelles. La pression par 0^m01² était alors : sur les semelles inférieures, 80^k; sur les supérieures, 45^k.

Pour les sauver, on a installé à côté des vérins, alors que la voûte était aux 2/3 bétonnée, des billots de bois qui arrêtaient le tassement.

Au moment de décintrer, on les scia.

8. Fondations. — Le béton, fait à la machine, était pilonné par couches horizontales de 10^{cm} à 15^{cm}, derrière des cloisons normales à la courbe de pression : on les enlevait dès que le béton avait fait prise.

On posait 45^m à 75^m de béton par jour.

9. Exécution de la voûte. — On bétonna, à partir de la clef, par tranches symétriques, d'abord les tranches sous les piliers des voûtes d'élégissement.

Le béton des têtes était fait de pierres de différentes couleurs : on le pilonnait en même temps que le corps de la voûte, derrière des cloisons rabotées et huilées.

La voûte (270^m) fut faite en 9 jours.

On clava d'abord aux articulations, puis aux joints de rupture.

On enleva les cloisons de tête 24 heures après le clavage. Les têtes furent vigoureusement lavées à la brosse : on put ainsi donner aux parements le grain de la pierre.

10. Décintrement. — On décintra 8 semaines après le clavage, après avoir posé les modillons et le couronnement qui est en béton moulé.

On tourna deux fois les vérins, en allant de la clef aux retombées, d'abord d'un 1/4 de tour, puis d'un 1/2 tour.

Il n'y a pas eu, aux retombées, de mouvements appréciables.

11. Tassements de la clef, en mm.		Amont (Nord)		Aval (Sud)	
		Totaux	Différences	Totaux	Différences
1900					
25 juin (commencement du bétonnage de la voûte)...		0		0	
			57 ^{mm} 1		67 ^{mm} 8
3 juillet (clavage).....		57 ^{mm} 1		67 ^{mm} 8	
			9.6		10.3
28 août (décintrement)	matin.....	66.7		78.1	
	soir.....	78.8		90.6	
			12.1		12.5
1901					
			26.9		31.3
1 ^{er} avril.....		105.7		121.9	
			—13		—13
3 juin ...		92.7		108.9	
1902					
			20		29
30 janvier.....		112.7		137.9	
			—16		—13
21 mai.....		96.7		124.9	

12. Épreuves. — Au passage d'un rouleau de 6^t5, en octobre 1900, — de 16^t, en mai 1901, — la voûte fléchit de moins de 1^{mm}, puis revint à sa place.

13. Dates.

Projet.....	1896
Fondations.....	automne 1899 (durée 3 mois)
Ouverture à la circulation.....	23 octobre 1900

14. Quantités et Dépenses.	Quantités	Dépenses	
		totales	par unité (m. c. ou 100 ^m)
Fondations (béton des culées).....	850 ^{mc}	26.420 ^f	31 ^f 08
Élévation (béton damé).....	530 ^{mc}	20.419 ^f	38 ^f 52
Béton moulé.....	60 ^{mc}	4.363 ^f	72 ^f 71
Cloisons de tête.....		2.680 ^f	
Cintre.....		6.125 ^f	
Articulations (pose comprise).....		6.848 ^f	33 ^f 32
Garde-corps.....	4700 ^m	2.964 ^f	63 ^f 06
Asphalte. — Fers.....		1.571 ^f	
<i>Pont proprement dit.....</i>		71.390 ^f	
<i>Accessoires. — Pont de service.....</i>		9.426 ^f	
<i>Projet. — Direction des Travaux.....</i>		5.984 ^f	
Dépense totale.....		86.800 ^f	

15. Personnel.

Directeur Général, *Projet et Exécution* : M. Max Leibbrand, « Landesbaurat » à Sigmaringen.

Ingénieurs (Regierungs-Baumeister) :

Projet : MM. Karl Bossert et Adolf Göller.

Vérification des Calculs, Direction des Travaux : M. Friedrich Probst.

Entrepreneurs : MM. Waiss et Freytag, de Neustadt-sur-Haardt.

Directeur de l'Entreprise : M. Rössle, « Regierungs-Baumeister ».

SOURCES :

S₁. — Zeitschrift für Bauwesen, 1903, p. 455 à 476, Pl. 54 et 55 : « *Die Neckarbrücke bei Neckarhausen (Hohenzollern)* », Max Leibbrand, Landesbaurat à Sigmaringen, 20 août 1902.

S₂. — Ce que j'ai vu — août 1908.

PONT DU PRINCE-RÉGENT
SUR L'ISAR, A **MUNICH** (BAVIÈRE)

Prinzregenten Strasse

1900-1901

$\overset{\text{A}^1}{\text{A}} \text{ r}^{\text{te}} \geq 40^{\text{m}})^3$

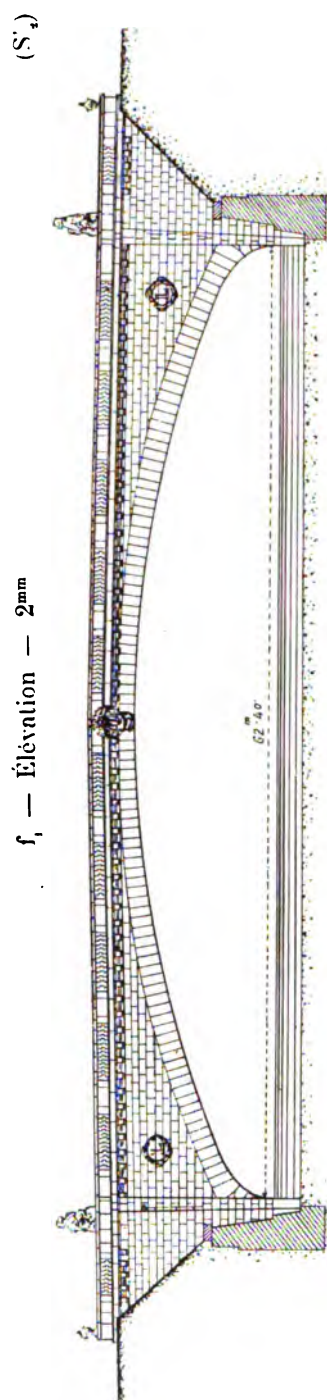
$\Phi_1 (S_1)$



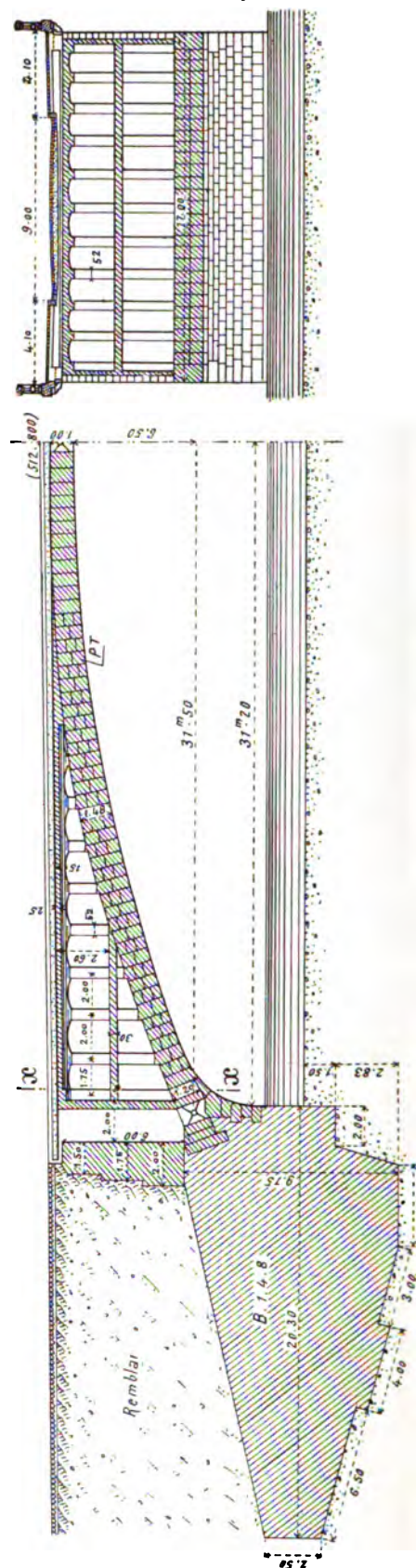
1. Aspect. — La voûte est jetée entre deux grands terre-pleins; elle conduit au monument de la Paix, élevé sur la rive droite de l'Isar.
Le Pont devait être, et a été, traité avec luxe.

2. Culées. — La courbe de pression coupe la base dans le $1/3$ central, sous un angle de 72° .
Les culées sont de 20^{m} plus larges que le pont.

f_i — Élévation — 2^{mm}



f — Demi-coupe en long — 3^{mm}



f_3 — Coupe en travers
sur xx de f_2 — 3mm

Articulation de clef, masquée ensuite (S₁)

Φ_1 — Vue de côté



Φ_1 — Vue par-dessus



3. Fondations. — La marne¹ avait été reconnue par des sondages poussés à 27^m.

On déblaya dans chaque fouille 10.000^m³.

Le béton à 1'-4'-8' (S''), posé jour et nuit sans interruption, était pilonné par minces couches, normales à la courbe de pression.

En 9 à 10 jours, on bétonna les deux culées (5400^m³ environ).

4. Personnel.

Projet et Entreprise : MM. Sager et Wørner, de Munich.

Collaborateurs techniques : MM. Bernard Wørner et Jean Grüb, Ingénieurs.

Direction des Travaux : M. H. Sørgerl, Ingénieur en chef au Ministère de l'Intérieur ; — M. Jules Klein, Ingénieur.

Architecture : M. le Professeur Théodore Fischer.

1. — « Merglicher Flinz ».

SOURCES :

S₁. — Album publié par MM. Sager et Wørner : « Prinzregenten Brücke, - München ».

S₂. — Dessins d'exécution (S'₁) et renseignements (S''₁) que m'ont gracieusement communiqués MM. Sager et Wørner.

S₃. — Ce que j'ai vu — août 1908.

Ce qui n'est pas spécifié S₂ ou S₃ est de S₁.

PONT MAX-JOSEPH, SUR L'ISAR, A MUNICH

Entre le Jardin anglais et le Faubourg de Bogenhausen

1901-1902

$\bar{A}^1 r^{1e} (\geq 40m)^4$

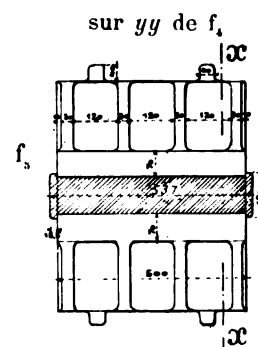
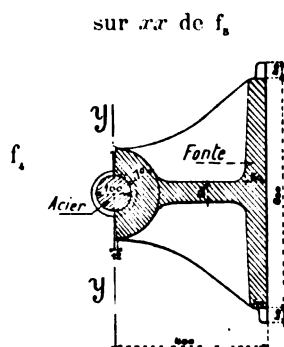
$\Phi_1 (S_1)$



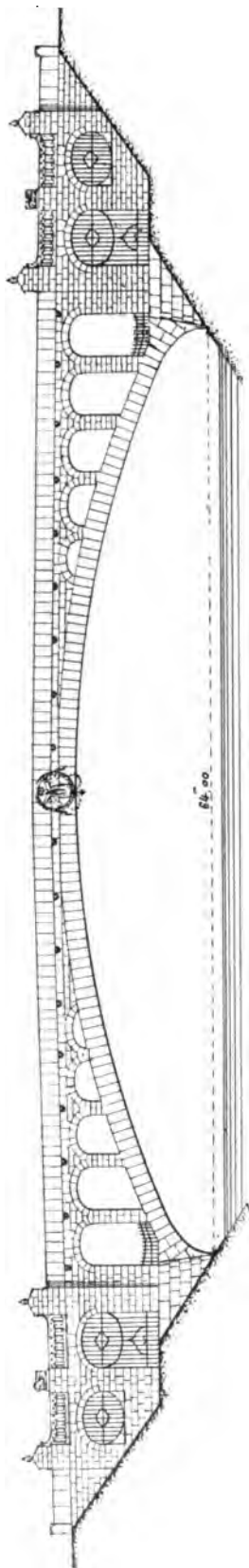
1. Matériaux. — La grande voûte et les têtes sont en pierre de taille ; le reste, en béton de gravier (S'').

2. Articulations (S').

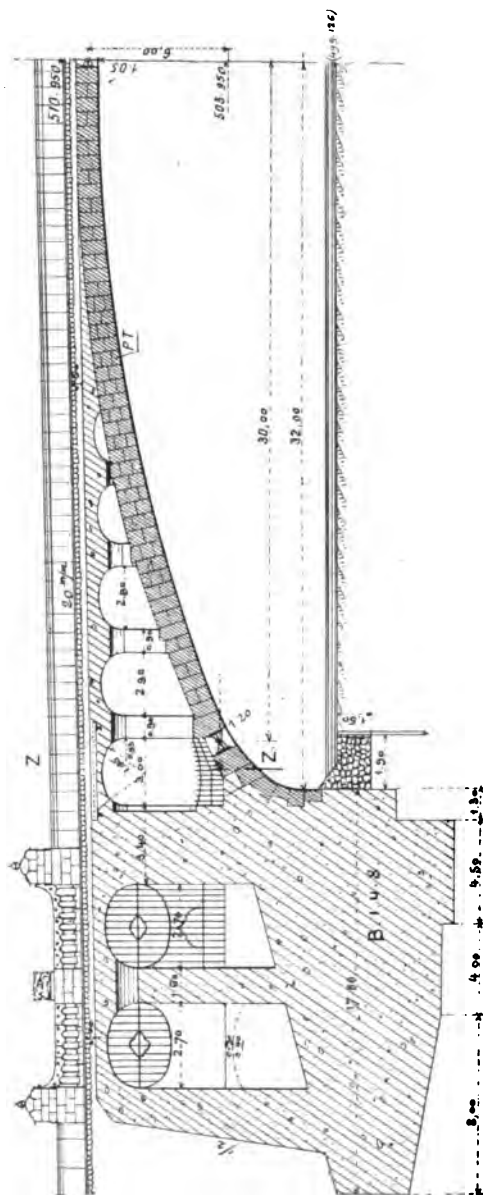
Coupes — 5^{cm}



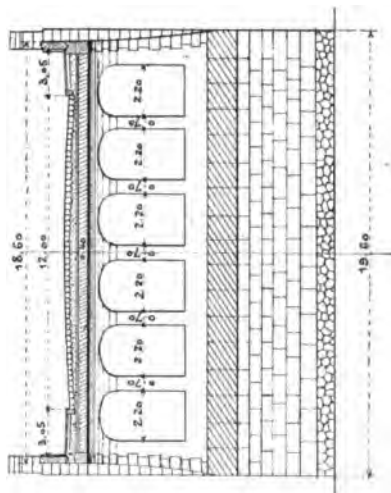
f_1 — Élévation — 2mm



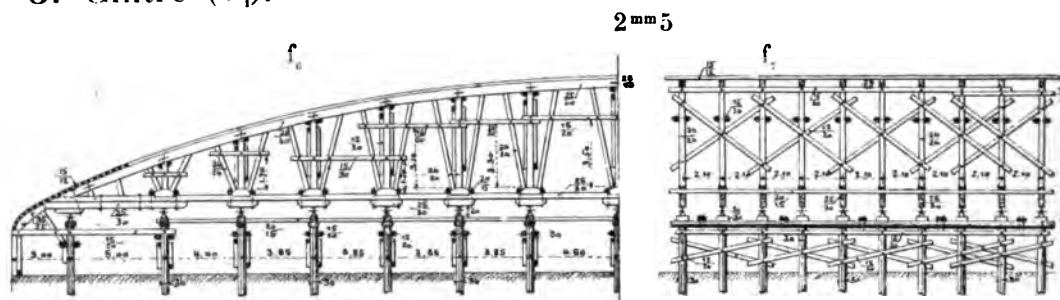
f_2 — Demi-coupe en long — 3mm



f_3 — Coupe en travers sur az de f_2 — 3mm



3. Cintre (S').

4. Ouvriers. — On y a occupé jusqu'à 600 ouvriers (S₁).

5. Dates (S'', S''').

Commencement des travaux.....	4 novembre 1901
Fondations.....	décembre 1901 - mars 1902
Grande voûte.....	24 avril - 14 mai 1902
Ouverture à la circulation.....	août 1902

6. Personnel.

Projet et Entreprise : MM. Sager et Wœrner, de Munich.

Direction des Travaux : M. Schwiening, Directeur des Travaux de la Ville.

SOURCES :

S₁. — Dessins (S') et renseignements (S'') gracieusement communiqués par M. Schwiening.

S₂. — Dessins d'exécution (S') et renseignements (S'') qu'ont bien voulu me donner MM. Sager et Wœrner.

S₃. — Centralblatt der Bauverwaltung, 30 août 1902, p. 427 : « Die Max-Joseph Brücke » in München » A. Kling.

S₄. — Ce que j'ai vu — août 1908.

TABLEAU SYNOPTIQUE GÉNÉRAL

DES PONTS AYANT DES VOÛTES $\geq 40^m$

SEMI-ARTICULÉES

OU

ARTICULÉES





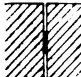



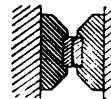
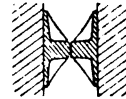
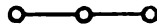
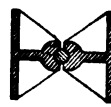
CLASSÉS PAR :

**TYPE ET MATIÈRE DES ARTICULATIONS,
INTRADOS, NOMBRE D'ARCHES, VOIE PORTÉE,
MATÉRIAUX DES VOÛTES**

VOÛTES SEMI-ARTICULÉES¹ ≥ 40^m

Toutes ces voûtes sont à ciment.

Après la date on a indiqué la portée entre culées, puis, *en italique*, entre (), la portée entre rotules.

Toutes ces voûtes sont à ciment.		ARCS TRÈS SURBAISSÉS					Plus grande portée		Nomb	
		UNE SEULE GRANDE ARCHE		PLUSIEURS GDES ARCHES		totale	entre articulations			
		SOUS ROUTE		SOUS CH ^{IN} DE FER A VOIE NORMALE						
		SOUS ROUTE		SOUS ROUTE						
Après la date on a indiqué la portée entre culées, puis, <i>en italique</i> , entre (), la portée entre rotules.		 1 ^{re}	 1 ^{re} F ^r	 n ^{re}						
		EN BÉTON	EN MAÇONNERIE APPAREILLÉE	EN PIERRE DE TAILLE	EN BÉTON					
ARTICULATIONS	SUR PLOMB			Höfen ² 1885 - 41 ^m - (28 ^m) Marbach ³ 18 ⁸⁶ / ₈₇ - 43 ^m 50 - (32 ^m) Baiersbronn ² 1889 - 40 ^m - (33 ^m)			43 ^m 50	33 ^m	3	
				Munderkingen 1893 - 59 ^m - (50 ^m)		Morbegno 19 ⁰² / ₀₃ - 70 ^m - (66 ^m)	Coulouvrenière 18 ⁹⁵ / ₉₆ - 2 x 40 ^m - (40 ^m)	70 ^m	66 ^m	3
	ROULANTES	EN PIERRE								
		EN BÉTON MOULÉ								
		EN BÉTON ARMÉ								
		EN ACIER	Rotules d'acier prises dans des sabots en fonte 							
		EN ACIER	Rotules tout entières en acier moulé 							
TOURNANTES										
Plus grande portée		totale	59 ^m Munderkingen	43 ^m 50 (Marbach) 33 ^m (Baiersbronn)	70 ^m Morbegno	40 ^m Coulouvrenière	70 ^m 66 ^m			
Nombre		d'ouvrages	1	3	1	1		6		
		de voûtes ≥ 40 ^m	1	3	1	2		7		

1. — Pour la définition des voûtes semi-articulées, voir Tome IV, Livre I, p. 28.

2. — En PT^o.3. — Bandeaux en PT^o, corps en MEV^o.

VOÛTES ARTICULÉES ≥ 40^m

247

ELLIPSES E	ARCS PEU SURBAISSÉS	ARCS ASSEZ SURBAISSÉS	ARCS TRÈS SURBAISSÉS				Plus grande portée		Nombre				
	PLUSIEURS DES ARCHES	UNE SEULE G ^{DE} ARCHE	UNE SEULE G ^{DE} ARCHE	UNE SEULE GRANDE ARCHE		PLUSIEURS G ^{DES} ARCHES		totale	entre articulations	d'ouvrages	de voûtes ≥ 40 ^m		
				SOUS ROUTE		SOUS CHEMIN DE FER						SOUS ROUTE	
				A ¹ r ^{te}		A VOIE NORMALE						A ⁿ r ^{te}	
E ⁿ F ^r	A ¹ F ^r	A ¹ r ^{te}	EN BÉTON	EN MAÇONNERIE APPAREILLÉE	A ¹ F ^r	EN BÉTON	EN BÉTON	EN PIERRE DE TAILLE					
Garching 19 ⁰⁷ / ₀₈ 4 ^m 35 - (38 ^m 55)								44 ^m 35	38 ^m 55	1	1		
								Garching					
Chemnitz 1898 1900 - 43 ^m 10			Grasdorf 1899 1900 40 ^m - (40 ^m 39)	Göhren ⁴ 19 ⁰³ / ₀₄ 60 ^m - (60 ^m 56)		Hochberg 19 ⁰¹ / ₀₃ 2 x 39 ^m 40 - (40 ^m)		60 ^m	60 ^m 56	4	5		
								Göhren					

- En MOV⁶. 5. - En PT⁶. 6. - Bandeaux en PT⁶; corps en B⁶. 7. - Bandeaux en MEV⁶; corps en B⁶. 8. - Pour le sens de ces abréviations, voir Avertissement, p. I, n° 6.

VOÛTE ARTICULÉE

QU'ON AURAIT, A TORT, CHERCHÉE

DANS LES SÉRIES DU LIVRE II ¹

Comme on l'a fait pour les voûtes inarticulées², on décrit sommairement ici une voûte articulée en béton peu armé, qu'on aurait pu chercher dans les séries du Livre II.

1. — La « Revista de Obras Públicas » du 25 avril 1901 décrit un pont en béton à 3 articulations de 50^m de portée, 4^m50 de flèche, sur le Río Nalón, pour la route d'Oviedo à Pola de Lena (Asturies), près de la station de Las Segadas, projeté par M. Eugenio Ribera, Ingénieur au Corps des Ponts, Chaussées et Ports.

Ce projet avait été approuvé, mais l'Entrepreneur général de la Route obtint d'y substituer un pont en fer*.

Il a été indiqué comme exécuté dans quelques périodiques techniques.

* Renseignement gracieusement donné par M. Ribera, — mars 1907.

2. — Tome III, p. 283.

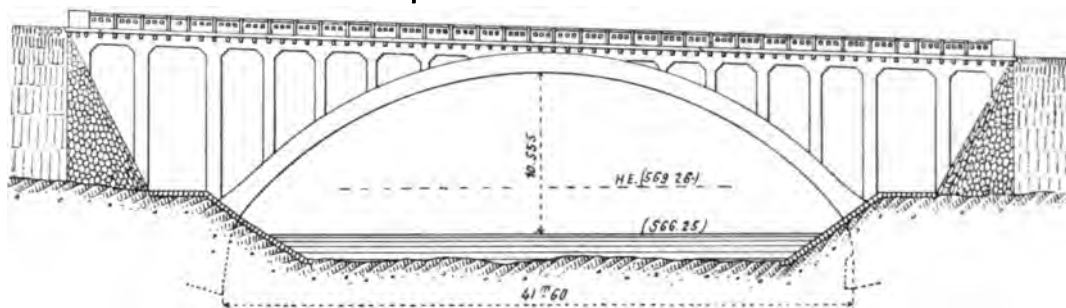
VOÛTE ARTICULÉE > 40^m

PONT		PROJET								
Date	ENSEMBLE		GRANDE VOÛTE							
Symbole	Longueur <i>entre abouts des parapets</i>	Largeurs <i>entre parapets entre tympans sous la plinthe</i>	INTRADOS <i>Portée Montée Surbaissement Rayons de courbure : à la clef aux naissances</i>	ÉPAISSEURS <i>CORPS ET TÊTES Clef Joints de rupture Retombées</i>	COMMENT SONT ARMÉES LES VOÛTES — ROTULES	MATÉRIAUX <i>Mortier Poids, pour 1^{mc} de sable, de chaux ou de ciment</i>	PRESSIONS <i>en kg/0^m01²</i>	1 ^o ÉVIDEMENTS DES TYMPANS 2 ^o DÉCORATION DES TÊTES		
En quoi consiste l'ouvrage	2	3	4	5	6	7	8	9		
1	2	3	4	5	6	7	8	9		
de	60 ^m 50	{ 4 ^m 30 à 4 ^m 97 4 ^m 00 à 6 ^m 70 à cause de la courbe	Courbe d'intrados d'après la courbe de pression Au-dessus des naissances : 41 ^m 60 13 ^m 245 $\frac{1}{3,14} = 0,318$	Corps : 1 ^m 25 1 ^m 25 1 ^m 06	Fers ronds, en long et en travers, au cerveau à l'intrados, aux reins à l'extrados, au-dessous des rotules —	Béton Corps de la voûte : Ciment..... 1 ^r Sable 3 ^r Gravier 4 ^r	Pression avec surcharge : Clef 13 ^k 8 Joints de rupture 23 ^k 1 13 ^k 2 Retom- bées 10 ^k 3 5 ^k 9	1 ^o Plate-forme en béton armé, sur piles en béton de 70 ^{cm} à 90 ^{cm} , espacées de 2 ^m 75 à 3 ^m 00, traversées par un couloir de 0 ^m 80.		
Sigmaringen	23 ^m 2		Fruit courbe	28 ^m 40 9 ^m 00	Têtes : 1 ^m 20 1 ^m 20 1 ^m 06	Tourillons en acier Diamètre : 55 ^{mm} Balanciers en fonte Pression maxima : sur les tourillons 585 ^k sur les sommiers en béton 56 ^k	Sommiers des articulations : Ciment..... 1 ^r Sable 1 ^r 5 Pierre cassée .. 2 ^r 5	6200 ^k /1 ^{mc}	2 ^o "	
Hohenzollern			Entre axes des rotules : 32 ^m 00 5 ^m 562 $\frac{1}{5,753} = 0,173$							
1907-1909										
Arc assez surbaissé, à 3 articulations tournantes, sous chemin de fer à voie normale	12 ^m 53	0 ^m 725								

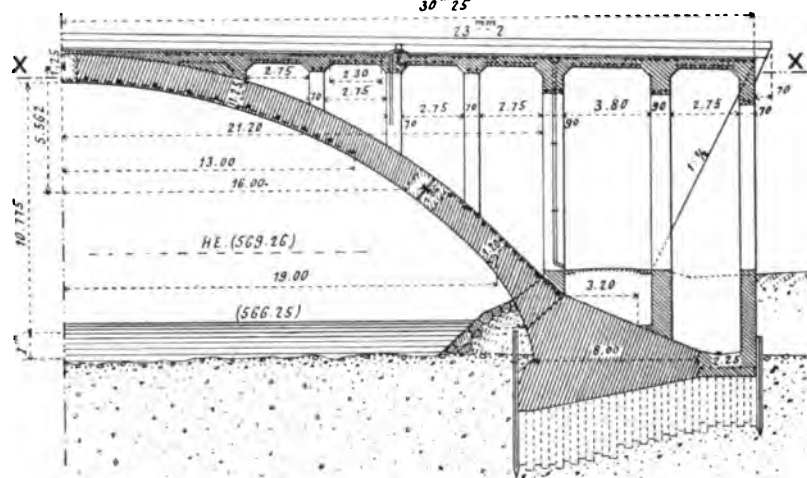
MONOGRAPHIE

*Ligne de Sigmaringen à Gammertingen*¹

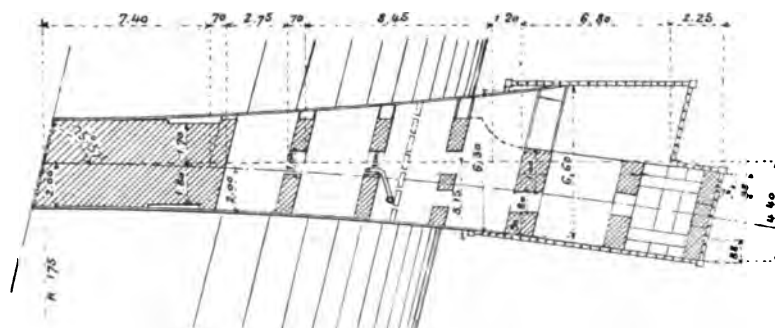
f₁ — Élévation — 2^{mm}



f₁ — Coupe en long — 3^{mm}
30^{mm} 25



f_3 — Coupe horizontale sur xx de f_1 — 3^{mm}



1. — Au P¹ 4^H + 61^m50.

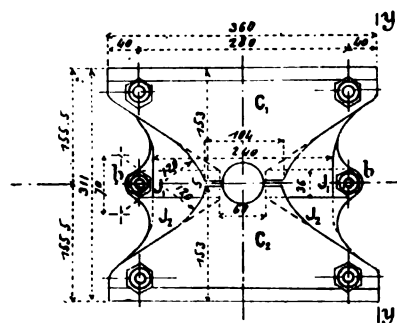
$$\Phi_1 (S''')_1$$



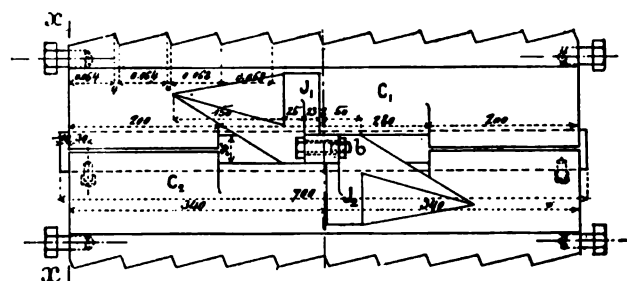
2. Articulations (f_1 à f_7). — Dans ce pont biais, on pouvait craindre un déplacement transversal d'un des deux balanciers C_1, C_2 par rapport à l'autre.

Articulations — 10^m

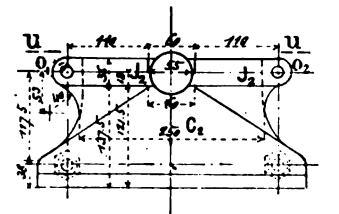
f_1 — Vue sur xx de f_1



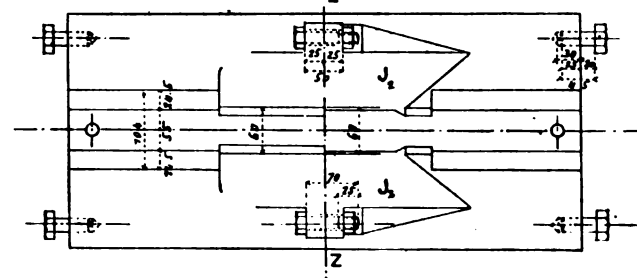
f_2 — Vue sur yy de f_1



f_3 — Coupe sur zz de f_1



f_4 — Vue l_2 sur uu de f_1

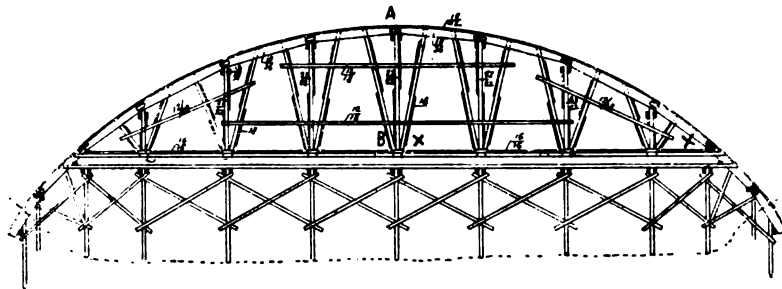


Pour le prévenir, voici l'ingénieux dispositif² imaginé par M. Max Leibbrand :
Les balanciers portent deux joues J_1, J_2 .

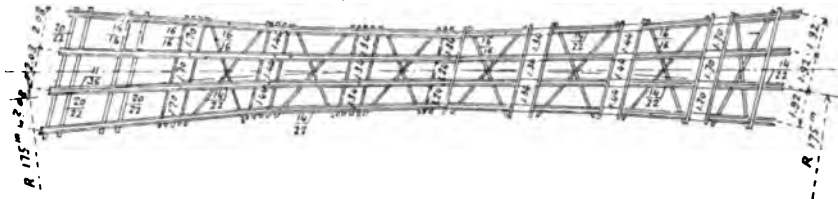
Pendant qu'on met en place les rotules, on solidarise les joues en passant les boulons b (f_1, f_2) par les trous O_1, O_2 (f_3).

3. Cintre.

f_1 — Élévation — 2^m5



f_2 — Plan — 2^m5



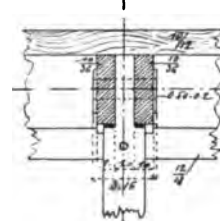
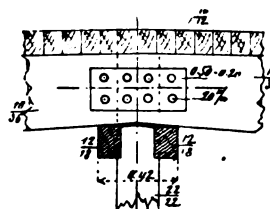
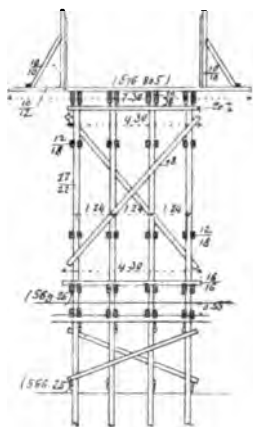
Détails — 2^m5

Nœud A de f_1

f_{11} — Élévation

f_{12} — Coupe en travers

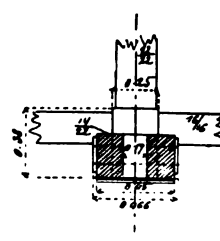
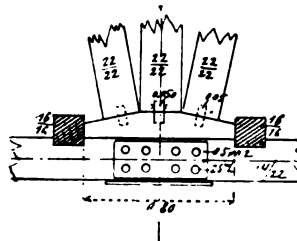
f_{10} — Coupe en travers — 4^mm



Nœud B de f_1

f_{13} — Élévation

f_{14} — Coupe en travers



2. — Dispositif breveté — M. Leibbrand a bien voulu m'autoriser à le décrire ici.

4. Dates (S'').

Culées	{	automne 1907
	}	printemps 1908
Grande voûte		été 1908
Décintrement		20 octobre 1908
Ouverture à la circulation		printemps 1909

5. Personnel (S'').

Projet et Direction des Travaux : M. Max Leibbrand, Geheimer Baurat.

Direction Générale des Travaux : M. Rühle, Regierungsbaumeister ;
M. Leibbrand ³, Geheimer Baurat.

Entreprise : Westdeutsche Eisenbahngesellschaft.

3. — Père de M. Max Leibbrand (S'').

SOURCE :

S₁. — Dessins d'exécution (S'), renseignements (S'') et photographie (S'''), gracieusement communiqués par M. Max Leibbrand, en 1909.

LIVRE III

CE QUE L'EXPÉRIENCE

ENSEIGNE DE SPÉCIAL

AUX

VOÛTES ARTICULÉES

TITRE I

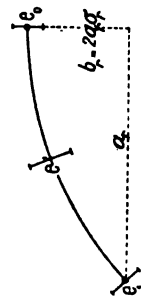
DISPOSITIONS — DIMENSIONS

AVANTAGES — INCONVÉNIENTS

DE

CHAQUE TYPE D'ARTICULATION

ARTICULATIONS SUR PLOMB

Art. 1. — Épaisseurs et Matériaux des voûtes. — Dimensions et Travail des Bandes de Plomb **TABEAU SYNOPTIQUE**

Date	Ponts	Pays	Intrados Rang dans les séries ≥ 40 ^m	Voûte					Bandes de plomb						
				Portée totale 2a	Entre articulations		Épaisseurs en 0 ^m 01			Matériaux		Largeur dans le sens du joint en 0 ^m 01	Pression étalée sur toute la largeur de la bande kg/0 ^m 1 ²		
					Portée baïsse- ment σ _r	à la clef e ₀	aux joints de rupture e'	aux retoi- nées e ₁	Bandeaux	Douelle et Queutage	Sommiers				
				2a _r											
A. - Voûtes semi-articulées															
1885	de Höfen , sur l'Enz.		$\bar{A}^1 r^{te} (\geq 40^m)^1$	41 ^m	28 ^m	1/10	100 ^{cm}		150 ^{cm}	PT ¹ — Grès	35 ^{cm}	0.35	0.33	50 ^{cm}	60 ^k
1886	de Wildbad ² , sur l'Enz.		»	22.60	15.60	1/4.8	50		80	PT ¹ — Grès	20	0.40	0.25	20	46
1886	de Neunack ² , sur la Glatt.		»	23	17	1/5.66	40		80	PT ¹ — Grès	10	0.25	0.25	20	36
1886 1887	de Marbach , sur la Murr.		$\bar{A}^1 r^{te} (\geq 40^m)^2$	43.50	32	1/10.32	120		150	PT ¹ MEV ¹ PT ¹ Keuper Muschelkalk Grès	40	0.33	0.33	50	55
1889	de Baiersbronn , sur la Murg.		$\bar{A}^1 r^{te} (\geq 40^m)^3$	40	33	1/10	60		80	PT ¹ — Grès	17	0.28	0.22	18	115
1890	de Baiersbronn ³ , sur la For- bach.		$\bar{A}^1 r^{te}$	32	25	1/8.33	60		80	PT ¹ — Grès	11	0.18	0.16	13	102
1891	d' Ehingen ³ (Passage supér ¹).		$\bar{A}^1 r^{te}$	23	18	1/5	45		100	PT ¹ Calcaire	10	0.22	0.10	10	61
1892	de Rechtenstein ⁴ , sur le Danube.		$\bar{A}^2 r^{te}$	23	23	1/9.2	65	73	90	B ¹ - 1 ^r , 2 ^r , 5 ^r + 1/8 pierres	18	0.276	0.222	20	60
1895	de Mühlheim ⁵ , sur le Neckar.		$\bar{A} r^{te}$	29.20	22	1/10	45	60 65	60	B ¹ - 1 ^r , 2 ^r , 5 ^r B ¹ - 1 ^r , 2 ^r , 5 ^r	9.3	0.206 0.176	0.192	10.6	100
1895	sur le Lein ⁵ .		»	29.60	23.10	1/6.6	50		80	B ¹ — 1 ^r , 2 ^r , 5 ^r	12	0.24	0.188	15	66
1895 1896	de Gemrigheim ⁵ , sur le Neckar.		$\bar{A}^4 r^{te}$	38	38	1/6.9	80		90	B ¹ — 1 ^r , 2 ^r , 5 ^r	15	0.188	0.20	18	111
1897 1898	d' Ehingen ⁶ , sur le Danube.		»	(2 de 21 20)			70			B ¹ - 1 ^r , 2 ^r , 5 ^r B ¹ - 1 ^r , 2 ^r , 5 ^r B ¹ - 1 ^r , 2 ^r , 4 ^r	15	0.214		15	83
1900	de la Vieille-Route , à Lichtensteig ⁷ .	Suisse	$\bar{A}^1 r^{te}$	18.50	18.50	1.5.3	90		90	MEV ¹ MOV ¹ MOV ¹	15	0.166	0.222	20	

B. - Voûtes articulées de façon permanente

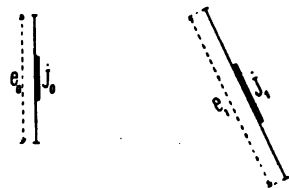
1897 1898	de Miltenberg ⁸ , sur le Mein	Ba- vière	A¹ r^{te}	31-15 (32.70) 34.20 34.20 32.70	30-60	1/8.03	70 ^m 70 70 70 75 75	90 ^m 92 93 98 88 80	80 ^m 80 80 80 85 85	MOV ¹ -Grès MOV ¹ -Grès MOV ¹ -Grès MOV ¹ -Grès MOV ¹ -Grès MOV ¹ -Grès	PT ¹ - Grès	13 ^m 13 13.5 12.5 10.5 9.5	14 ^m 5 14.5 15 14.5 13 11.5	0.18 0.18 0.19 0.18 0.17 0.13	0.16 0.16 0.19 0.16 0.15 0.13	20 ^{mm}	
1901 1902	sur l'Oued Dar-el-Oued ⁹ sur l'Oued Amacin ⁹	Algé- rie, Cons- tantine	C¹ r^{te} A¹ r^{te}	25 27	21.65 27	1/3.46 1/6	70 85	110 110	MAV ¹ - Calcaire dur (Chaux 350 ^v) MAV ¹ - Calcaire dur (Ciment 450 ^v)	PT ¹ PT ¹	PT ¹		0.33 0.33	0.33 0.33	10 17		
1902 1903	de Reichenbach , sur l'Isar, à Munich (<i>Arches rive droite</i>)	Ba- vière	A¹ r^{te} ($\geq 40^m$) A¹ r^{te}	28 27 26			70 70 70	80 80 80	PT ¹ Muschelkalk Muschelkalk	B ¹ - 1 ^v , 2 ^v 5, 5 ^v B ¹ - 1 ^v , 2 ^v 5, 5 ^v B ¹ - 1 ^v , 2 ^v 5, 5 ^v	PT ¹ - Granit	20	0.285 0.285 0.285	0.25 0.25 0.25	5		
1905 1906	sur l'Oued Djemaa ⁹	Algé- rie, Cons- tantine	E¹ r^{te}	29.43	27	1/6	90	115	MAV ¹ - Grès dur (Ciment 450 ^v)	PT ¹	PT ¹		0.33	0.33	21		
1906	de Kempton , sur l'Ille (<i>Arches latérales</i>)		A¹ r^{te} ($\geq 40^m$) ^{1,2,3}	21.60	17.648	1/3.426	70	115.5	B ¹ - 1 ^v , 3 ^v , 6 ^v B ¹ - 1 ^v , 3 ^v , 6 ^v B ¹ - 1 ^v , 3 ^v , 6 ^v	B ¹ - 1 ^v , 2 ^v , 2 ^v B ¹ - 1 ^v , 2 ^v , 2 ^v B ¹ - 1 ^v , 2 ^v , 2 ^v		35	0.50 0.50 0.50	0.50 0.50 0.50	8	48 [*]	
1907 1908	d' Altwasser , sur le Danube, à Neubourg ¹⁰		A¹ r^{te}	23.72	22	1/8.3 et 1/9.3	52	64	PT ¹ Muschelkalk Muschelkalk	B ¹ B ¹ B ¹							
1907 1908	de Garching , sur l'Alz à Mühlthorf à Freilassing		E¹ r^{te} ($\geq 40^m$) ¹ E¹ r^{te}	44.35 33.95 33.80	38.55 28.90 28.90	1/5.33 1/5.43 1/5.43	110 90 90	175 145 145	B ¹ - 1 ^v , 2 ^v 5, 5 ^v B ¹ - 1 ^v , 2 ^v 5, 5 ^v B ¹ - 1 ^v , 2 ^v 5, 5 ^v	B ¹ - 1 ^v , 2 ^v , 2 ^v B ¹ - 1 ^v , 2 ^v , 2 ^v B ¹ - 1 ^v , 2 ^v , 2 ^v		38 » »	0.345 » »	0.474 » »	8 » »		
1907 1908	de Halden ¹² , sur la Lenne, (<i>Arches latérales</i>)	West- phalie	A¹ r^{te}	33.42	20.70		50	65	B ¹ - 1 ^v , 4 ^v , 6 ^v B ¹ - 1 ^v , 4 ^v , 6 ^v B ¹ - 1 ^v , 4 ^v , 6 ^v	B ¹ - 1 ^v , 6 ^v B ¹ - 1 ^v , 6 ^v B ¹ - 1 ^v , 6 ^v		20	0.40 0.40 0.40	0.307 0.307 0.307	20		
1907 1908	de Durbuy ¹³ , sur l'Ourthe	Laxem- bourg belge	A¹ r^{te}	33	33	1/10	100	150	« Petit Granit »	PT ¹ « Petit Granit »		30	0.33 0.33 0.33	0.33 0.33 0.33	20		
1911 1912	entre Ulm et Neu-Ulm ¹⁴ , sur le Danube	Wur- tem- bourg	A¹ r^{te}	28.50 27	28.50 27	1/7.05 1/7.5											

1. — Pour le sens de ces abréviations, voir Avertissement, Tome IV, page II, n° 6.
2. — Karl von Leibbrand, « *Gewölbte Brücken* », Leipzig, 1897, p. 50.
3. — Loc. cit., renvoi 2, p. 66.
4. — Zeitschrift für Bauwesen, 1893, p. 439 à 446, Pl. 50. « *Die Betonbrücke über die Donau bei Reichenstein (Württemberg)* », von Braun, Kgl. Strassen-Bauinspector in Ebingen.
5. — Zeitschrift für Architektur und Ingenieurwesen, 10 septembre 1897, p. 439 à 444. « *Betonbrücke über den Neckar zwischen Kirchheim und Gemmrigheim* ». Präsident von Leibbrand.
6. — Zentralblatt der Bauverwaltung, 1901, p. 506 et 521. — Le plomb était posé dans le béton frais.
7. — Dessins d'exécution, gracieusement communiqués par M. Acatos, Ingénieur en chef du Bodensee-Toggenburgbahn.
8. — Zeitschrift für Bauwesen, 1900, p. 207 à 240, Pl. 35.
9. — Renseignements gracieusement donnés par M. Boissier, Ingénieur en chef à Constantine.
10. — Dessins d'exécution / qu'ont bien voulu me donner MM. Sager et Warner, de Munich.
11. — Renseignements
12. — Deutsche Bauzeitung, 1905 — Mitteilungen über Zement-, Beton-, und Eisenbetonbau, n° 12, p. 45, 46. — Le plomb était posé dans le béton frais. — A l'arche centrale, les articulations sont en béton.
13. — Annales des Travaux publics de Belgique, 1910, p. 799 à 820.
14. — « *Neue Strassenbrücke über die Donau zwischen Ulm und Neu-Ulm* ». Dr Ing. A. Kleinlogel, Darmstadt.

Art. 2. — Dimensions des bandes de plomb, d'après le tableau précédent.

A. *Largeur j dans le sens du joint.* — Plus sont réduites les largeurs j_0, j_1 (f_0, f_1), mieux est déterminée la courbe de pression, mais plus le plomb travaille.

Largeur des bandes de plomb
 f_0 — Clef f_1 — Retombées



Voici comment ont varié $\frac{j_0}{e_0}, \frac{j_1}{e_1}$:

	Maximum	Minimum	Moyenne
$\frac{j_0}{e_0}$	0.50	0.13	0.237
$\frac{j_1}{e_1}$	0.50	0.10	0.242

B. *Épaisseur.* — Presque toujours 20^{mm}; avec 20^{mm}, on ferme facilement le joint au mortier.

C. *Longueur.* — 1^m à 1^m50, avec intervalles entre les bandes de 10^{cm}; aux têtes, de 5^{cm}.

Art. 3. — Plomb employé. — Travail admis. — On a employé, le plus généralement, le plomb mou ordinaire.

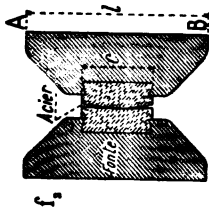
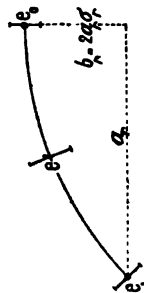
Souvent, on a admis une pression moyenne de 60^k sur toute la largeur de la bande, et supposé que la pression maxima ne dépasse pas 120^k, c'est-à-dire que la résultante se tient dans le 1/3 central de la bande.

A. - Roules d'acier

prises

dans des sabots en fonte

(Voûtes articulées de façon permanente)



Rayons { convexe..... $R_1 = 30''$
des surfaces de roulement { concave..... $R_2 = 300''$
Corde de la courbe de roulement..... $c = 12''$
Largeur du sabot à la base..... $l = 30''$

TABLEAU SYNOPTIQUE

Date	Ponts (Tous sont sous route) Tous sont en Barrière	Symbole	Voûte							Rotules		Efforts ² en kg par o ^{er} d'arête de contact		Effort MAX. en kg/o ^{er} le long de AB (f ₁)
			Portée totale 2 a	Entre rotules		Épaisseurs, en (mm)			Matériaux <i>Les bandeaux sont en PT¹ - Muschelkalk, les sommiers, en PT¹ - Granit, sur eux, une feuille de plomb de 5^{mm}</i> Douelle et Queutage	A-t-on mis des goujons contre le glissement ?	N ^o	N ₁		
				Portée	Surbaisse- ment σ _r	à la clef e ₀	aux joints de rupture e'	aux retombées e ₁						
1902-03	Cornélius,	$\bar{A}^n r^{te} (\geq 40^{m})^3$	41^m 36	$\frac{1}{12}$ $\frac{1}{10}$	80^{mm} 70	120^{mm} 100	90^{mm} 80	PT ¹ - Muschelkalk B ¹	non	2872 ^k	3105 ^k	120 ^k		
1902-03	de Reichenbach,	$\bar{A}^n r^{te} (\geq 40^{m})^4$	44	$\frac{1}{10}$	80	120	90	B ¹ - 1 ^v , 2 ^v 5, 5 ^v	non	2160	2340	96		
1903-05	Maximilien,	$\bar{A}^n r^{te} (\geq 40^{m})^6$	45.87	$\frac{1}{8.979}$	80	109	117.5	PT ¹ - Muschelkalk	oui ³	2460	3241	»		
1904-05	de Wittelsbach,	$\bar{A}^n r^{te} (\geq 40^{m})^7$	44	$\frac{1}{10}$	80	120	90	B ¹ - 1 ^v , 2 ^v 5, 5 ^v	oui	»	2430	»		
1906-07	Elise, sur le Danube, à Neubourg.	$\bar{A}^1 r^{te} (\geq 40^{m})^4$	47.50	$\frac{1}{9.88}$	95	120	115	B ¹ - 1 ^v , 2 ^v 3, 4 ^v 6	oui	2505	2817	125		

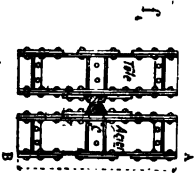
1. — Pour le sens de ces abréviations, voir Avertissement, Tome IV, p. II, n° 6.

2. — Pour la pression maxima sur la bande de contact, les formules de Hertz (Tome IV, p. 11), donnent de 4700¹ à 5600¹ par cm^2 .

3. — Après la chute des voûtes.

b. — Rotules d'acier

B₁. — Voûtes semi-articulées



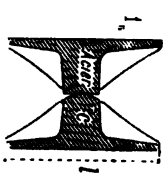
B.₃. — *Voûtes articulées de façon permanente*

[illegible]

C. — *Regles*

tout entiers en acier moulé

(Voûtes articulées de façon permanente)

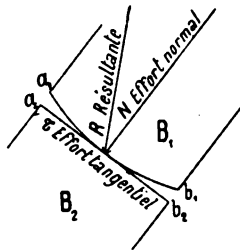


03 19/04	d'Ilberbeuren, sur l'Ilber (Bacière).	$\hat{A}^1 F^1 (\geq 40^m)^1$	59	57.104	1/5.82	110	163 165	140	$\left. \begin{array}{l} B^1 \text{ moulé} \\ 1^v, 1^v5, 1^v5 \\ \text{et feuille} \\ \text{de plomb de } 4^{mm} \end{array} \right\}$	Acier Siemens-Martin surfaces trempées sur 5 ^{mm} 7300 ^k	35	200	non	46	2738 ^k	2932 ^k	68 ^k
04 19/05	de la Wallstrasse, à l'Im (Wurtenberg)	$\hat{A}^1 F^1 (\geq 40^m)^3$	65.45	57	1/0.827	106	160	150	$\left. \begin{array}{l} B^1 \text{ damé} \\ 1^v, 1^v, 2^v5 \end{array} \right\}$	Acier Siemens-Martin surfaces trempées sur 4 ^{mm}	40	55	oui	65	4000	4460	
1906	de Kempen, sur l'Ilber (Bacière)	$\hat{A}^1 F^1 (\geq 40^m)^{1,2,3}$	64.50 63.80	50.60	1/5.50	135	200	185	$\left. \begin{array}{l} B^1 \text{ moulé} \\ 1^v, 2^v5, 5^v \\ \text{et feuille} \\ \text{de plomb de } 4^{mm} \end{array} \right\}$	Surfaces trempées sur 10 ^{mm} au moins, 5500 ^k	Clef 50 180 ^{Des} 60	200	non	(Clef 60) R _{0.100} 72	3132	4207	66
05 19/08	de Mannheim, sur le Neckar (Grand Duché de Bade)	$\hat{A}^1 F^1 (\geq 40^m)^9$	59.50	58.50	1/10.60	107	147	112	$\left. \begin{array}{l} B^1 - 1^v, 4^v, 3^v \\ \text{Bandeaux :} \\ PT^1 - \text{Grès} \\ \text{Corps :} \\ PT^1 \text{ Granit} \\ \text{et feuille} \\ \text{de plomb} \\ \text{de } 4^{mm} \end{array} \right\}$	"	30	60	oui				143

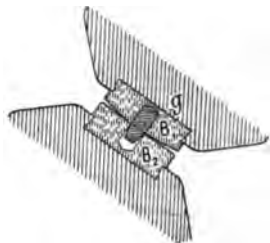
1. — Pour le sens de ces abréviations, voir Avertissement, Tome IV, p. II, n° 6.
2. — Pont à 3 voies. — Ligne de Rome à Pise. — 3 arches semi-articulées de 30^m en arc, entre 2 inarticulées de 20^m en ellipse. — (Rivista tecnica delle ferrovie italiane, mai 1912. « *Nuove ferrovie per tre binari sul fiume Cerna nel km. 282,071 della linea Roma-Fisa* »).
3. — 2 Ponts pareils sur la Route impériale de Goritz (*Görscher Reichsstrasse*), aux km. 2.735 et 2.943. (Österreichische Wochenschrift für den öffentlichen Bauwesen, 30 mai 1903, p. 344 à 350, Pl. 37 à 40. « *Beton Fagelbrücken über der Schlatta bei Jaritz* », Julius Stancik, K. K. Ober-Ingenieur im Ministerium des Innern).
4. — Pont semblable aux précédents. (Österreichische Wochenschrift für den öffentlichen Bauwesen, 2 juillet 1904, p. 476 à 479, Pl. 63, 64. « *Die neue Brücke über die Elsch bei Forst* », C. Haberkamp).
5. — Au Pont de Grünwald sur l'Isar, en amont de Munich (1903-1904). — 2 arcs en béton armé : Portée = 70^m; Montée = 12-70, les rotules en acier moulé, (R. = 20°; R. = 35°), présent, par l'intermédiaire de lames de plomb de 3^m, sur des sommiers en *béton armé*. (« *Strassenbrücke über die Isar bei Grünwald oberhalb München* », von Direktor Ludwig Zöllner, in München).

Art. 2. — Précautions contre le glissement. — Si la surface de roulement $a, b, (f_1)$ est plane, — ou concave avec un très grand rayon, — c'est le frottement seul qui résiste à l'effort tangentiel \mathfrak{G}^6 .

f_1
Effort de glissement \mathfrak{G}
dans une
articulation roulante



f_1
Goujons g
empêchant
le glissement
d'une articulation
roulante



Au pont d'Illerbeuren⁷, les rotules ont glissé au décintrement, de 10^{mm} et 18^{mm}.

Au pont Maximilien⁸, on avait diminué le frottement en lubrifiant les surfaces à la stéarine : les rotules ont glissé, les voûtes sont tombées.

Depuis⁹, dans les articulations métalliques, on a en général prévenu le glissement en encastrant dans le bloc convexe B_2 sur l'arête théorique de contact, des goujons d'acier g^{10} (f_1).

Art. 3. — Avantages et inconvénients. — Avec l'acier, — le plus dur des matériaux pour rotules, — les rayons des surfaces de roulement sont plus petits, la différence de courbure plus grande, la courbe de pression mieux déterminée. Mais les rotules d'acier craignent la rouille, et on ne peut guère les en défendre¹¹.

6. — Voir, pour la valeur du frottement, les expériences de M. Föppl, Tome IV, p. 22.

7. — $\hat{A}^1 Fr (\geq 40^m)^1$, 1903-04, Tome IV, p. 159.

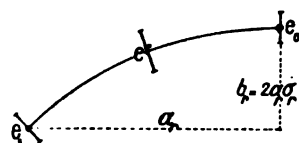
8. — $\hat{A}^n r^{10} (\geq 40^m)^6$, 1903-05, Tome IV, p. 192.

9. — Voir les Tableaux synoptiques, p. 263 et 264.







On n'a pas mis de goujons aux Ponts de Kempten, $\hat{A}^1 Fr (\geq 40^m)^1, 2, 3$ (Tome IV, p. 115), sans doute parce que l'arc articulé est peu surbaissé et que par suite le glissement est moins à craindre.

10. — On les calcule pour résister par cisaillement à l'effort \mathfrak{G} .

11. — Au pont d'Illerbeuren⁷, on a vu sur le sol des taches de rouille sous les rotules.



Art. 1. — Epaisseurs et Matériaux des Voûtes.

Schéma de l'articulation	Date	Ponts On a souligné ceux sous rails	Pays	Intrados Rang dans les séries $\geq 40^m$	Voûte					
					Portée totale $2a$	Entre rotules Portée $2a_r$ Surbais- sement σ_r		Épaisseurs, en 0^m01		
								à la clef e_0	aux joints de rupture e'	aux retombées e_1
a) - En Pierre   	1880	de <u>Langenhennersdorf</u> ²	Saxe	$\hat{A}^n Fr$	13 ^m	13 ^m	1/4.33	50 ^m	»	60 ^m
	1898-1900	de <u>Chemnitz</u>	Saxe	$\hat{E}^n Fr (\geq 40^m)$ ¹	43.10 27.90 (4 ^{vtes}) 26.65 (6 ^{vtes})			110 70 »	150 103 »	125 80 »
	1899-1900	de <u>Grasdorf</u>	Hanovre	$\hat{A}^1 r^{te} (\geq 40^m)$ ¹	40	40.39	1/8.93	85	116	90
	1901-03	de <u>Hochberg</u>	Wurtemberg	$\hat{A}^n r^{te} (\geq 40^m)$ ²	39.40	40	1/7.407	75	104	75
	1902	de <u>Dusseldorf</u> ³	Prusse rhénane	$\hat{A}^1 r^{te}$	30.13	28.02	1/14.6	65	85	70
	1903-04	de <u>Göhren</u>	Saxe	$\hat{A}^1 r^{te} (\geq 40^m)$ ²	60	60.56	1/8.89	110	150	120
	1908-10	de <u>Kubel</u> ⁴ , sur la Sitter	Suisse	$\hat{C}^n Fr$	25	19.04	1/4.327	100	»	126
	1910-11	de <u>Nesslau</u> ⁵ , sur la Thur	Suisse	$\hat{A}^1 Fr$	24.82	25.66	1/7.265	110	140	140
	1896	d' <u>Imnau</u> ⁶ , sur l'Eych	Hohen-zollern	$\hat{A}^1 r^{te}$	»	30	1/10	45	80	50
	1903-05	de <u>Neckargartach</u>	Wurtemberg	$\hat{A}^n r^{te} (\geq 40^m)$ ⁵	40	40	1/7.55 à 1/9.14	75	100 env.	80
b) - En Béton 	1894-96	de <u>Dresde</u> ⁷	Saxe	$\hat{E}^5 Fr$	31.35 (5 ^{vtes})					
	»	de <u>Hauconcourt</u> ⁸		$\hat{A}^5 r^{te}$	33 (5 ^{vtes})	33	1/7.67	65	125	77
	1899-1901	de <u>Malling</u>	Lorraine allemande sur la Moselle	$\hat{A}^n r^{te} (\geq 40^m)$ ¹	40	40.50	1/8.56	88	110	100
	1904-05	de <u>Moulins-lez-Metz</u>		$\hat{A}^n r^{te} (\geq 40^m)$ ⁸	44 40 (2 ^{vtes})	44.70 40.54	1/7.906 1/8.463	95 90	119 112	115 105
	1906-07	de <u>Sauvage</u> ⁹		$\hat{A}^1 r^{te}$	36 34 (2 ^{vtes}) 30	36 34 30	1/7.04 1/7.53 et 1/8.27 1/7.75	70 70 70	115 100 98	80 80 80
	»	de <u>Halden</u> ¹⁰ , sur la Lenne (arche centrale)	Westphalie	»	»	25	1/9.09	50		50
	1904-05	de <u>Britz</u> ¹¹ , sur le canal de Teltow (au sud de Berlin)	Prusse	$\hat{A}^1 r^{te}$	39	36.42	1/7.5	75	112	80
	1909-10	de <u>Dennhausen</u> ¹² , sur la Fulda	Prusse, Hesse	$\hat{A}^3 r^{te}$	38 (3 ^{vtes})	36	1/8.93 et 1/9.39	70	92	75
	1907	de <u>Rothenburg</u> ¹³ , sur la Neisse	Silésie	$\hat{A}^5 Fr$	30 (5 ^{vtes})	30.50	1/7.26	55	100	70
	1907-10	de <u>Frédéric-Auguste</u> ¹⁴ , à <u>Dresde</u>	Saxe	$\hat{A}^3 r^{te}$	39.30 (2 ^{vtes}) et 4 ^{vtes} de 36 ^m 15 à 28 ^m 33	34.10	1/6.9	95		125
c) - En Béton armé  	1911-12	de <u>Gräveneck</u>	Prusse, Hesse	$\hat{A}^1 r^{te} (\geq 40^m)$ ¹	48	48.425	1/6.248	60	102	75


Dimensions et Travail des Rotules.

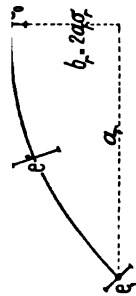
TABLEAU SYNOPTIQUE

Matériaux	Rotules				Effort en kg par cm ² d'arête de contact		Pression maxima en kg/cm ² sur la bande de contact, indiquée par l'auteur du projet	
	Matériaux Résistance à l'écrasement en kg/cm ²	Dispositif entre les surfaces de roulement	Rayons, en cm 01 des surfaces de roulement		à la clef N ₀	aux retombées N ₁		
			convexe R ₁	concave R ₂				
	Grès - 289 ^k		97.7	110.5			31 ^k	
	de façon permanente							
B ¹ — 1 ^v , 4 ^v , 4 ^v 5	1099 ^k		Clef 185 Ret ^{bées} 200	270			3510 ^k	Pr. moyenne 300
B ¹ — 1 ^v , 5 ^v , 6 ^v 5							1830	
B ¹ — 1 ^v , 2 ^v 5, 4 ^v 5								145
B ¹ { 1 ^v , 2 ^v 5, 5 ^v 1 ^v , 2 ^v , 4 ^v								346
B ¹ — 1 ^v , 4 ^v , 4 ^v 278 ^k à 6 mois								
MOV ¹ — Granulite	1006 ^k	Bandes de plomb de 5 ^m et 2 feuilles de cuivre	Clef 985 Ret ^{bées} 1086	2000	3850 ^k	3960		150
MEV ¹			Clef 100 Ret ^{bées} 240	120 300				
MEV ¹			Clef 325 Ret ^{bées} 400	385 475	1540	2177		70.5 75.5
B ¹ — 1 ^v , 2 ^v 5, 5 ^v			10	10.4	1414	1061		150
B ¹ { 1 ^v , 2 ^v 5, 4 ^v 5 1 ^v , 2 ^v 5, 1 ^v 5			500	∞			3200	538
B é t o n	1 ^v , 5 ^v , 6 ^v 75 1 ^v , 5 ^v , 5 ^v	1 ^v , 2 ^v 5, 2 ^v 5	250	320	2310		Pr. moyenne 143 à 204	7. — 4 voies. — 5 voûtes de décharge en anse de panier de 15 ^m à 31 ^m , articulées à la clef et à 60°. — Aux plus grandes voûtes, les rotules sont en béton, aux autres, en grès. — (<i>Gewölbte Brücken</i> , Karl von Leibbrand, Leipzig 1897, p. 73 et 74). 8. — Centralblatt der Bauverwaltung, 22 juillet 1908, p. 395, 396. — Dessins d'exécution gracieusement remis par M. Blumhardt, Ingénieur en chef à Strasbourg. 9. — Deutsche Bauzeitung, 1907. — Mitteilungen über Zement-, Beton-, und Eisenbetonbau, n° 18 et 19. 10. — Id., 1905, p. 45, 46. — Arches latérales articulées sur plomb. 11. — Deutsche Bauzeitung, 9 septembre 1905, p. 433 à 436. 12. — F. von Emperger. — Handbuch für Eisenbetonbau, 2 ^e édition, Vol. VI. Brückenbau, p. 511 et 664.
	1 ^v , 3 ^v , 4 ^v 5	1 ^v , 2 ^v 5, 2 ^v 5	235	300	1590	1920	120 (Barkhausen)	
	1 ^v , 3 ^v , 6 ^v 1 ^v , 3 ^v , 4 ^v 5	1 ^v , 2 ^v , 2 ^v	280	325	2280			
	1 ^v , 2 ^v 5, 5 ^v 1 ^v , 2 ^v , 4 ^v Bandeaux en PT ¹	1 ^v , 2 ^v , 2 ^v	280	325	2330	2710		
	1 ^v , 2 ^v 5, 5 ^v	1 ^v , 2 ^v , 2 ^v	250	327		1500	104 (Barkhausen)	
	1 ^v , 4 ^v , 6 ^v	1 ^v , 2 ^v , 2 ^v 300 ^k	200	313			60	
	1 ^v , 5 ^v , 6 ^v 5 1 ^v , 4 ^v , 4 ^v Bandeaux en grès	1 ^v , 2 ^v 5, 2 ^v 5 172 ^k à 28 j.	280	325				
	1 ^v , 3 ^v 5, 3 ^v 5	1 ^v , 1 ^v , 2 ^v 5						
B é t o n	1 ^v , 5 ^v	1 ^v , 3 ^v	290	350				13. — Deutsche Bauzeitung, 1908. — Mitteilungen über Zement-, Beton-, und Eisenbetonbau, n° 20, p. 101, 102, n° 21, p. 106, 107. 14. — A 3 arches de 17 ^m 60, 22 ^m , 24 ^m 05, les articulations sont des bandes de plomb occupant le 1/4 central du joint. (Deutsche Bauzeitung, 1910; 8 juin, p. 354, 355; 11 juin, p. 363, 367; 22 juin, p. 383 et 384).
	Bandeaux en grès	1 ^v , 2 ^v 5, 2 ^v 5					90	
	1 ^v , 2 ^v , 5 ^v	1 ^v , 1 ^v 5, 2 ^v 5	Clef 350 Ret ^{bées} 340	450 425	1394	1683	177	

Art. 2. — Avantages et inconvénients des articulations roulantes en pierre, en béton. — En pierre ou en béton, les articulations ne craignent pas l'humidité; elles n'exigent pas d'entretien; mais elles sont lourdes et il est malaisé de les mettre en place ¹⁵.

Il est très difficile de bien dresser les surfaces de roulement.

15. — Pont de Grasdorf  1^{re} (≥ 40m)¹, Tome IV, p. 129.



ARTICULATIONS TOURNANTES (Balanciers tournant autour d'un tourillon)

Art. 1. — Epaisseurs et Matériaux des voûtes. — Dimensions et Travail des rotules **TABEAU SYNOPTIQUE**

Schéma de l'articulation	Date	Ponts	Intrados Rang dans les séries ≥ 40 ^m	Voûte						Rotules		Efforts en kg par o ⁰¹ de génératrice de contact	Efforts maxima en kg o ^{0.1} 2		Les rotules sont-elles apparentes ?			
				Por- tée totale 2a	Entrerrotules		Épaisseurs en (m/01)		Matériaux Voûte (V ¹⁰) Sommiers (Somm.)	Tourillon	Balanciers		à la clef N ^o	aux re- tom- bées N ¹		Tou- rillon	Balan- ciers	Sommiers
					Por- baï- sée	Sur- bais- sement	à la clef	aux joints de rup- ture										
	1865	d'Inzigkofen (Hohenzollern)	$\bar{A}^1 r^{1e} (\geq 40^m)^1$	47.00	43 ^m	1/9.81	70 ^o	110 ^o	78 ^o	B^1 $V^{10} : \begin{cases} 1^v, 2^v, 4^v, 5^v \\ 1^v, 2^v, 3^v \end{cases}$ Somm.	Fente 2	Clef 60 ^o Retomb. 68 ^o	Clef 232 ^k Tig. 202	Flexion 128 ^k 131	44 ^k 43 ³			
	1899 1900	de Neckarhausen (Hohenzollern)	$\bar{A}^1 r^{1e} (\geq 40^m)^2$	50.40	50	1/11	85	120	90	$B^1 - 1^v, 2^v, 5^v$ Somm.		75	3820	3648	Tension 221 Compr. 340	Clef 64 Rab. 58 ^k		
	1900 1901	du Prince-Régent à Munich.	$\bar{A}^1 r^{1e} (\geq 40^m)^3$	62.40	63	1/9.002	100	148	120	$V^{10} - PT^1$ Muschelkalk Somm. (PT ¹ - Granit) feuille de plomb de 5 ^{mm}	10 ^o		4170	4300		100		
	1901 1902	Max-Joseph à Munich.	$\bar{A}^1 r^{1e} (\geq 40^m)^4$	60		1/10	105	140	120	V^{10} Muschel- kalk Somm. (Granit)								
	1897	de Burzweiler ⁷ sur la Doller (Alsace)	$\bar{A}^1 r^{1e}$	34.20	34	1/8.30	75	105	75	$B^1 - 1^v, 3^v, 4^v, 5^v$	8						oui	
	1906	de Brookside Park ⁸ sur le Big Creek, à Cleveland (États-Unis, Ohio)	$\bar{A}^1 r^{1e}$	28.04	20.33	1/16.5	61		91	$B^1 - 1^v, 2^v, 5^v$	3.8	15.2					non	
	1906	par-dessus la gare d'eau Branla ⁹ sur la Saône, près de Lyon	$\bar{A}^1 \bar{A}^1 r^{1e}$	25	25	1/10	30	30	30	PT ¹ Joints en zinc coulé	7	Acier 30	260				oui	

1. — Pour le sens de ces abréviations, voir Avertissement, Tome IV, p. II, n° 6.
2. — 8 rotules à la clef, 9 aux retombées. — L'ensemble pèse 15' et coûte 3700'.
3. — en tenant compte du vent ; sans vent, 32^k.
4. — en tenant compte du frottement des tourillons.
5. — 30 rotules par articulation.
6. — Les rotules pèsent ensemble 60'.
7. — Dr Ing. F. von Emperger. — Handbuch für Eisenbetonbau. — Dritter Band — Berlin, Wilhelm Ernst et fils, p. 22 à 24.
8. — Engineering News, 10 mai 1906, p. 507 et 508. « Three hinged concrete arch bridge, Brookside Park, Cleveland, O. », H. F. Hackborn.
9. — Annales des Ponts et Chaussées, 1907, V, p. 6 à 59. « Pont à arcs de pierre de taille articulés à la clef et aux naissances, avec joints coulés en zinc. » M. Henri Tavernier, Ingénieur en chef des Ponts et Chaussées.

Art. 2. — Avantages et inconvénients des articulations tournantes. — D'après M. Max Leibbrand¹⁰, auteur des ponts d'Inzigkofen¹¹, de Neckarhausen¹², de Sigmaringen¹³, l'articulation tournante serait moins chère, plus sûre, plus facile à poser, que l'articulation roulante.

L'expérience ne paraît pas avoir décidé.

10. — Zeitschrift für Bauwesen, 1903, - p. 455 à 476, Pl. 54 et 55 : « Die Neckarbrücke bei Neckarhausen (Hohenzollern) », Max Leibbrand, Landes-Baurat, 20 août 1902.

11. — \bar{A}^1 r^{te} ($\geq 40^m$)¹, Tome IV, p. 225.

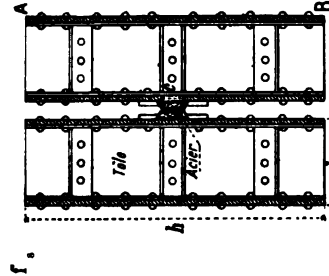
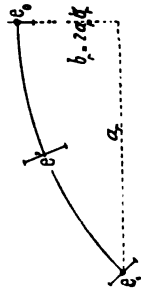
12. — \bar{A}^1 r^{te} ($\geq 40^m$)², Tome IV, p. 232.

13. — Tome IV, p. 253.

ARTICULATIONS A GENOU

EMPLOYÉES SEULEMENT COMME ARTICULATIONS PROVISOIRES,
PUIS CONDAMNÉES

Rotules d'acier prises dans des caissons en tôle.



Epaisseurs et Matériaux des Voûtes. — Dimensions et Travail des rotules.

TABEAU SYNOPTIQUE

Date	Ponts On a souligné ceux sous rails	Pays	Intrados Rang dans les séries ≥ 40 ^m	Voûte						Rotules d'acier Surfaces de roulement		Caissons en tôle		Effort en Kg par o'oi de génératrice de contact	Efforts maxima en Kg/o'oi ²
				Entre rotules			Épaisseurs, en 0 ^m 01								
				Portée totale 2a	Portée 2a _r	Surbais- sement σ _r	à la clef e _o	aux joints de rupture e'	aux retom- bées e _i	Rayon R	Hauteur h	à la clef N _o	à aux retom- bées N _i		
1893	de <u>Munderkingen</u> .	Wurtemberg	$\hat{A}^1_{1^{te}} \geq 40^{m1}$	59 ^m	50 ^m	1/10	100 ^c	140 ^c	110 ^c	B ¹ - 1 ^c , 2 ^c 5, 5 ^c	15 ^c	80 ^c	3413 ^a	3846 ^a	au contact 681 ^a dans les cais- sons (flexion) 870 sur AB de f _o 59
1895-96	de la <u>Coulouvrenière</u> , à Genève.	Suisse	$\hat{A}^n_{1^{te}} \geq 40^{m1}$	40	40	1/7.407	100	140	120	B ¹ - 42 ^c 1, 0 ^m 5, 0 ^m 8	10	100	2014	2357	
1901	de <u>Sinigaglia</u> ² , sur le Rosso.	Italie	$\hat{A}^3_{1^{te}} F^r$	»	22	1/10	80		100						
1902 03	de <u>Morbegno</u> .	Italie	$\hat{A}^1_{1^{te}} F^r \geq 40^{m1}$	70	66 environ	1/7	150		220	PT ¹ - Granit	25	(Clef 80) Retombées 100	5080	5507	au contact 500 dans les caissons Clef 750 ^a Retombées 880

1. — Pour le sens de ces abréviations, voir Avertissement, Tome IV, p. II, n° 6. 2. — Ligne de Bologne à Foggia (Genio Civile, septembre 1902).

3. — en tenant compte du mortier de ciment entre les caissons d'une même pile, et en lui attribuant un coefficient d'élasticité = $\frac{1}{10}$ de celui de la tôle.
sans en tenir compte, la tôle des caissons travaille à 1150^a à la clef, et 1300^a aux retombées (S^o, Tome IV, p. 73).


CHAPITRE V


DISPOSITIONS DES ARTICULATIONS DANS LES PONTS BIAIS

Aux ponts de Munderkingen ¹ biais à 75°, et Elise ² biais à 81°20', les articulations sont en échelons perpendiculaires à l'axe longitudinal.

Au pont de Sigmaringen ³, biais à 75°57', on a disposé les rotules parallèlement à l'axe transversal du pont, en prévenant le glissement latéral.

Dans les ponts larges très biaux, il vaudrait mieux construire la voûte par anneaux indépendants.

1. —  r^{te} ($\geq 40^m$)¹ — Tome IV, p. 45.

2. —  r^{te} ($\geq 40^m$)⁴ — Tome IV, p. 151.

3. — Tome IV, p. 253.

TITRE II

QUELQUES DIMENSIONS ET DISPOSITIONS SPÉCIALES AUX VOÛTES ARTICULÉES

§ 1. — RENFLEMENT AUX « JOINTS DE RUPTURE »

Pour ne pas avoir de tension entre les articulations de clef et des reins, on a souvent renflé la voûte en fuseau, forme désagréable, surtout quand l'arc n'est pas très surbaissé.

Si les tympans sont pleins, on peut le dissimuler; non, s'ils sont évidés.

§ 2. — ÉPAISSEURS

Art. 1. — Les voûtes articulées sont moins épaisses que les inarticulées. — Dans les voûtes à 3 articulations, on est sûr des efforts : comme ils sont, du moins près des articulations, concentrés vers les milieux, les matériaux sont mieux utilisés.

Pour ces deux motifs, les épaisseurs y peuvent être moindres que dans les voûtes inarticulées.

De combien ?

Art. 2. — Formules empiriques provisoires. — Il n'existe pas encore assez de voûtes articulées pour établir des formules empiriques d'épaisseurs auxquelles on se puisse fier.

Voici les timides indications permises.

Entre leurs rotules, les ponts articulés sont toujours en arc, assez ou très surbaissé; pour ces arcs, inarticulés, voici les formules empiriques établies : ¹

$$e_0 \left(\begin{smallmatrix} \text{épaisseur} \\ \text{à la} \\ \text{clef} \end{smallmatrix} \right) = \alpha \left(\begin{smallmatrix} \text{coefficient} \\ \text{numérique} \end{smallmatrix} \right) \left[1 + \sqrt{2a \text{ (portée)}} \right] \times \frac{4}{3} \left[1 - \sigma \text{ (surbaissement)} + \sigma^2 \right]$$

$$e_1 \left(\begin{smallmatrix} \text{épaisseur} \\ \text{aux reins} \end{smallmatrix} \right) = \lambda e_0 = e_0 \times (1 + 12 \sigma^2)$$

Entendons ici par $2a$ la portée, et par σ le surbaissement, entre articulations et non plus entre naissances.

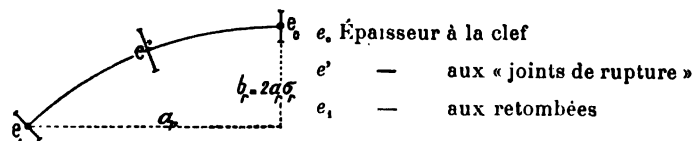
$$\text{Soit } e' \left(\begin{smallmatrix} \text{épaisseur au « joint de rupture »} \\ \text{c'est-à-dire au joint le plus renflé} \\ \text{entre les articulations de clef et des reins} \end{smallmatrix} \right) = \lambda' e_0$$

Au tableau suivant, on donne α , λ , λ' , pour 74 voûtes semi-articulées ou articulées.

D'après lui, il semble qu'on puisse provisoirement conserver pour l'épaisseur à la clef des voûtes articulées les formules des voûtes inarticulées, en abaissant le coefficient numérique α , — par exemple pour un pont-route de 0,15 à 0,09 ².

1. — Tome III, Livre II, Titre I, Chapitre III.

2. — α est réduit à 0,095 pour les voûtes inarticulées en arc très surbaissé de 40^m et plus, de Ziegenhals, Michelau, Schwusen, Kupferhammer (Tome III, p. 208, 209, 213, 214); il descendrait même à 0,075 au pont de Huzenbach (Tome III, p. 206).



VOÛTES SEMI-ARTICULÉES

Rapports : $\alpha_r = \frac{e_0}{\left(1 + \sqrt{2a_r}\right) \frac{4}{3} (1 - \sigma_r + \sigma_r^2)}$

Pont de ³	Portée		Ma- tériaux ⁴ du corps de la voûte	α_r	λ	λ'	Pont de ³	Portée		Ma- tériaux ⁴ du corps de la voûte	α_r	λ	λ'
	totale	entre rotules						totale	entre rotules				

I. — VOÛTES SEMI-ARTICULÉES

A. — PONTS-ROUTE

Articulations sur plomb

Höfen	41 ^m	28 ^m	PT	0.132	1.5
Wildbad	22.60	15.60		0.090	1.6
Neuneck	23	17	MEV	0.068	2
Marbach	43.50	32		0.148	1.25
Baiersbronn sur la Murg	40	33	PT	0.074	1.33
Baiersbronn sur la Forbach	32	25		0.084	1.33
Ehingen Passage supérieur	23	18	B	0.078	2.22
Rechtenstein	23	23		0.093	1.38
Mühlheim	29.20	22	B	0.066	1.33
sur le Lein	29.60	23.10		0.077	1.60
Gemrigheim	38	38		0.094	1.12
			MAX.	0.148	2.22
			min.	0.068	1.12
moyenne	sans compter Höfen et Marbach			0.091	1.51
				0.080	»

Articulations à genou

Munderkingen	59	50	B	0.101	1.1	1.4
Coulouvrenière	40	40		0.115	1.2	1.4

B. — PONTS SOUS CHEMIN DE FER

A VOIE NORMALE

Articulations sur plomb

sur la Vieille-Route, à Lichtensteig	18.50	18.50	MOV	0.151	1	»
---	-------	-------	-----	-------	---	---

Articulations roulantes

en pierre

Langenhennersdorf	13	13	»	0.098	1.20
en acier					
sur la Cecina	30	30	B	0.128	1.25

Articulations à genou

Sinigaglia	»	22	»	0.115	1.25
Morbegno	70	66 env.	PT	0.137	1.47

II. — VOÛTES ARTICULÉES

DE FAÇON PERMANENTE

A. — PONTS-ROUTE

Articulations sur plomb

Miltenberg	31 ^m 15	30 ^m 60	MOV	0.091	1.14	1.40
	31.20	30.64		0.100	1.13	1.17
Oued Dar-el-Oued	25	21.65	MAV	0.117	1.57	»
Oued Amacin	27	27		0.119	1.29	»
Reichenbach (Voûtes R D)	28-27-26		B		1.14	»
Oued Djemaa	29.43	27	MAV	0.126	1.28	»
Altwasser	23.72	22	B	0.080	1.15	1.24
Halden (Arches latérales)		18.50		0.078	1.30	»
Durbuy		33	PT	0.124		1.50
			MAX.	0.126	1.57	
			min.	0.078	1.13	
			moy.	0.104	1.25	

Articulations roulantes

en pierre

Grasdorf	40	40.39	B	0.095	1.05	1.36
Hochberg	39.40	40		0.090	1	1.38
Dusseldorf	30.13	28.02	MOV	0.083	1.09	1.31
Göhren	60	60.56		0.104	1.09	1.36
Imnau		30	B	0.058	1.11	1.78
Neckargartach	40	40		0.086	1.06	1.33

en béton

Hauconcourt	33	33	B	0.082	1.18	1.92
Malling	40	40.50		0.100	1.13	1.25
Moulins-lez-Metz	44	44.70	B	0.105	1.21	1.25
	40	40.54		0.102	1.16	1.24
	36	36	B	0.085		1.61
Sauvage	34	34		0.087	1.14	1.43
	30	30	B	0.086		1.40
		25		0.091		1.40
Halden (Arche centrale)		25		0.070	1	1.31
Britz	39	36.42		0.089	1.06	1.49
Dennhausen	38	36		0.083	1.07	1.31

3. — Pour ces ponts, voir les Tableaux synoptiques, p. 260, 261, 263, 264, 266, 269, 271.

4. — Pour le sens des abréviations, voir Avertissement, Tome IV, page II, n° 6.

$$\lambda = \frac{e_1}{e_0} \quad \lambda' = \frac{e'}{e_0}$$

TABLEAU SYNOPTIQUE

Pont de ^s	Portée		Ma- tériaux ⁴ du corps de la voûte	α_r	λ	λ'	Pont de ^s	Portée		Ma- tériaux ⁴ du corps de la voûte	α_r	λ	λ'
	totale	entre rotules						totale	entre rotules				
	2 a	2 a _r						2 a	2 a _r				

II. — VOÛTES ARTICULÉES

DE FAÇON PERMANENTE (Suite)

A. — PONTS-ROUTE (Suite)

Articulations roulantes (Suite)

en béton armé

Frédéric-Auguste, à Dresde	39 ^m 30	34 ^m 10	B	0.120	1.31	
Gräveneck	48	48.425		0.065	1.25	

en acier

Cornélius	44	41	PT	0.088	1.12	1.50
	38.50	36	B	0.082	1.14	1.43
Reichenbach	44	41	B	0.090	1.12	1.50
Maximilien	45.87	44	PT	0.087	1.46	1.36
Wittelsbach	44	41		0.090	1.12	1.50
Élise	47.50	43.50		0.103	1.21	1.26
Tarvis	30	30.40	B	0.090	1.	1.17
Forst				0.090	1.	»
Wallstrasse	65.45	57		0.103	1.41	1.51
Mannheim	59.50	58.50		0.102	1.04	1.37

Pour toutes les articulations roulantes	MAX.	0.120	1.46	1.92
	min.	0.058	1.	1.17
	moy.	0.0895	1.14	1.41

Articulations tournantes

Inzigkofen	47.90	43	B	0.078	1.11	1.57
Neckarhausen	59.40	50		0.086	1.05	1.41
Prince-Régent	62.40	63	PT	0.092	1.2	1.48
Max-Joseph	64	60		0.099	1.14	1.33
Burzweiler	34.20	34	B	0.092	1.	1.40
Brookside Park	28.04	26.33		0.079	1.49	»
Branla	25	25	PT	0.041	1.	»

MAX.	0.099	1.49	1.57
min.	0.041	1.	1.33
moy.	0.081	1.14	1.44

Pour toutes les voûtes articulées, sous route	MAX.	0.148	2.22	1.92
	min.	0.041	1.	1.12
	moy.	0.091	1.16	1.41

B. — PONTS SOUS CHEMIN DE FER

A VOIE NORMALE

Articulations sur plomb

Kempton (Arches latérales)	21 ^m 60	17 ^m 648	B	0.127	1.65	
	44.35	38.55		0.135	1.59	
Garching	33.95	28.90		0.124	1.61	

Articulations roulantes

en pierre

Chemnitz	43.10		B		1.14	1.36
Kubel	25	19.04	MEV	0.169	1.26	
Nesslau	24.82	25.66		0.154	1.27	1.27

en béton armé

Rothenburg	30	30.50	B	0.072	1.27	1.81
------------	----	-------	---	-------	------	------

en acier

Illerbeuren	59	57.164	B	0.112	1.27	
Kempton (Grandes arches)	64.50	50.60		0.148	1.37	1.48
	63.80					

§ 3. — JOINTS DE DILATATION

Au-dessus des voûtes inarticulées, on n'a que très exceptionnellement prévu des joints de dilatation.

Dans les voûtes articulées, les mouvements dûs aux variations de température sont plus grands : les joints de dilatation y sont nécessaires au-dessus des articulations.

Ces joints verticaux qui coupent les tympans sont d'aspect assez fâcheux⁵. On les dissimule, si on le peut.

TITRE III

QUELQUES ÉLÉMENTS DE COMPARAISON ENTRE LES VOÛTES INARTICULÉES ET ARTICULÉES

§ 1. — PRIX DE REVIENT

Les voûtes articulées coûtent-elles moins que les inarticulées ?

Sans doute, elles sont plus minces. Mais les articulations sont chères, difficiles à placer.

Il n'est guère possible de comparer utilement les unes aux autres : les projets, les matériaux, les conditions locales, les prix des carrières, des ouvriers, les fondations, diffèrent trop.

Si on compare quelques voûtes qui semblent à peu près comparables⁶, on n'a

5. — Voir dans les monographies (Tome IV), les photographies des ponts de : Garching, p. 95, 97; Kempen, p. 119; Elise, p. 151; Illerbeuren, p. 159; Hochberg, p. 178; Mannheim, p. 207, 208.

6.					Prix	
Pont de :	Symbole	Matériaux	2a	σ	du m. q. en plan	du m. c. du solide circonscrit
VOÛTES ARTICULÉES						
Neckargartach	$\bar{A}^n r^{te} (\geq 40m)5$	B	5 v ^m de 40m	1/7,75 à 1/9,14	170'1	15'6
Wallstrasse	$\bar{A}^1 r^{te} (\geq 40m)3$	B	65m45	1/5,48	216,4	19,0
Neckarhausen	$\bar{A}^1 r^{te} (\geq 40m)2$	B	59m40	1/11	284,4	37,2
Moulins-l.-Metz	$\bar{A}^n r^{te} (\geq 40m)8$	Bandeaux en PT Corps en B	44m et 2 v ^m de 40m	1/7,72 et 1/8,37	227,1	24,2
Maximilien	$\bar{A}^n r^{te} (\geq 40m)6$	PT	2 v ^m de 45m87	1/8,98	431,5	39,0
Illerbeuren	$\bar{A}^1 Fr (\geq 40m)1$	B	59m	1/5,82	274,9	21,7
Moyennes.....					267'4	26'1
VOÛTES INARTICULÉES						
Schweich	$\bar{A}^n r^{te} (\geq 40m)7$	B	3 v ^m de 46m	1/7,45	135'2	13'0
Guggersbach	$\bar{A}^1 r^{te} (\geq 40m)11$	B	50m20	1/6,11	156,6	15,6
Claix	$\bar{A}^1 r^{te} (\geq 40m)5$	PT, MEV, MOV	52m	1/6,46	251,6	26,6
Boucicaut	$\bar{A}^n r^{te} (\geq 40m)2$	PT, MAV	5 v ^m de 40m	1/8	259,7	21,3
Orléans	$\bar{A}^n r^{te} (\geq 40m)4$	PT, MAV	7 v ^m de 43m85	1/7,56	482,2	39,2
Gour-Noir	$\bar{A}^1 Fr (\geq 40m)6$	PT, MEV	62m	1/3,73	383,2	22,3
Moyennes.....					278'1	23'0

pas l'impression qu'il y ait économie à articuler.

§ 2. — *MOUVEMENTS DE LA CLEF*

AU DÉCINTREMENT, AUX CHANGEMENTS DE TEMPÉRATURE

Dans les voûtes inarticulées, les sections d'appui et de clef restent dans le même plan : elles contrarient les mouvements de la clef.

Dans les voûtes articulées, elles se meuvent librement.

Ces mouvements y devraient être plus grands.

En comparant ce qu'indiquent nos tableaux synoptiques, on ne le constate guère.

Nombre de voûtes inarticulées, très bien faites, en excellents matériaux (par exemple, celles de Valence), ont tassé tout autant qu'un pont articulé d'intrados comparable.

C'est que les tassements dépendent d'une foule de causes qui masquent l'effet de l'articulation : forme de la voûte, — portée totale et entre rotules, — type de rotules, — matériaux (pierre, mortier), — soins dans l'exécution, — mode d'exécution (rouleaux, tranches), temps sur cintre, — époque du décintrement, — écart de température entre le clavage et le décintrement, — sécheresse ou humidité du cintre, de la voûte, — résistance des appuis, etc....

TITRE IV

QUELLES VOÛTES FAUT-IL ARTICULER ?

§ 1. — *LES VOÛTES ARTICULÉES, PLUS SOUPLES,
SE PRÊTENT A DES MOUVEMENTS QUI TROUBLENT LES AUTRES.*

*ELLES PEUVENT ÊTRE ACCEPTÉES
SUR DES SOLS OU CONTRE DES APPUIS QUI CÈDENT.*

Dans les voûtes à 3 articulations, la courbe de pression est toujours fixée en trois points.

Elles supportent, sans fissures :

pendant la construction, les mouvements du cintre : tassement sous la charge, gonflement des bois par l'humidité, leur contraction par la sécheresse ;

puis, le tassement au décintrement ;

puis, l'ouvrage achevé, les mouvements au passage des surcharges ; — les montées et descentes dues aux élévations ou abaissements de température (mouvements qui n'augmentent pas leur travail) ; — le gonflement des voussoirs à l'imbibition, — leur contraction à la dessiccation ; — un mouvement des appuis

(culées ou piles) dû à un tassement du sol^{7, 8, 9}; — le recul d'une culée trop faible, la courbure élastique d'une culée trop haute¹⁰.

§ 2. — DISTRIBUTION GÉOGRAPHIQUE DES VOÛTES ARTICULÉES

Art. 1. — Pays où l'on n'a articulé que très exceptionnellement les voûtes. — Je connais seulement :

en France¹¹, les deux anneaux de 25^m du pont Branla¹², les 10 voûtes de 25 à 29^m43 des Ponts algériens de l'Oued Dar-el-Oued¹³, de l'Oued Amacin¹⁴, et de l'Oued Djemaa¹⁵;

en Autriche, les voûtes de 30^m des deux ponts de Tarvis¹⁶ et du pont de Forst¹⁷; aux Etats-Unis, la voûte de 28^m04 du pont de Brookside Park, à Cleveland¹⁸.

On a articulé :

en Italie : au poids mort seulement, la voûte de 70^m du pont de Morbegno¹⁹, les deux voûtes de 22^m du pont de Sinigaglia²⁰;

en Suisse : au poids mort seulement, les deux voûtes de 40^m du pont de la Coulouvrenière²¹ à Genève; la voûte de 18^m50 du pont sur la Vieille-Route à Lichtensteig²²; — et aussi sous les surcharges : les 2 voûtes en plein cintre de 25^m du viaduc sur la Sitter²³, encadrant la travée métallique du milieu; la voûte en arc de 24^m82 du pont de Nesslau²⁴.

Art. 2. — Allemagne. — C'est en Allemagne qu'on a commencé à articuler les ponts et qu'on en articule le plus.

7. — A un arc de 13^m, surbaissé à 1/7,86, à articulations roulantes en béton, la culée rive gauche avait, à la suite d'une inondation, tassé au point que le contact de clef ne se faisait plus qu'à l'arête supérieure.

On consolida la culée en mouvement; on remit la voûte sur cintre; on remplaça les blocs de clef qu'on fit se toucher plus bas qu'au milieu.

Deux ans après, on n'avait pas constaté de nouveau mouvement.

Deutsche Bauzeitung, 1908, 23 mai, p. 283 à 288; — 3 juin, p. 303 à 307 : « Die Anwendung von Gelenken bei Brückenbauten ». Communication faite au XI^e Congrès du « Deutschen Beton Vereins » tenu à Berlin en 1908, par M. l'Ing. dipl. A. Köhler, Directeur technique de la maison Windschild et Langelott, de Cossebaude près Dresde.

8. — Au pont de la Schwimmschule, à Steyr (arc en béton armé de 42^m à 1/16, à 3 articulations) la culée tassa beaucoup au décintrement. — La voûte ne souffrit pas.

Kersten. *Brücken in Eisenbeton*. — II « Bogenbrücken », p. 143.

9. — MM. Dyckerhoff et Widmann ont construit, en 1902, pour l'Exposition de Dusseldorf, un pont en béton à 3 articulations roulantes en granit (Tableau synoptique, p. 266).

Bien que le sol de fondation fût peu résistant, le pont se comporta très bien pendant 6 ans.

Avant de le démolir, en octobre 1908, on l'essaya à outrance, en chargeant une 1/2 voûte.

Des fissures se produisirent sous les efforts de :

196^t à la compression dans la 1/2 voûte chargée; 30^t à la tension, dans la 1/2 voûte non chargée.

Les articulations de clef seules s'exfolièrent.

On dut faire sauter le pont.

D^r Ing. F. von Emperger. — *Handbuch für Eisenbetonbau*, 2^e édition, vol. I, p. 214 à 230.

10. — Voir Tome III, Livre II, Titre III, chap. IV, § III, art. 4.

11. — M. Mesnager a articulé, en réduisant la section en 3 points, les voûtes en béton armé : 1^e - du Canal Saint-Martin à Paris (Annales des Ponts et Chaussées, 1910, vol. IV, p. 176); 2^e - d'Amélie-les-Bains (arche de 44^m à 1,6,66) (Génie Civil, 27 août 1910).

12 à 24. — Voir, pour ces ponts, les Tableaux synoptiques, Tome IV, pages 261, 264, 266, 269, 271.

Voici, par État, le nombre des voûtes allemandes $\geq 40^m$, articulées ou non :

Voûtes $\geq 40^m$:		articulées				inarticulées			
		Pont de (On a souligné les ponts sous rails)	Matériaux	Nombre d'ou- vrages	de voûtes $\geq 40^m$	Pont de (On a souligné les ponts sous rails)	Matériaux	Nombre d'ou- vrages	de voûtes $\geq 40^m$
Nord et de l'Est	Prusse rhénane					Mehring ²⁵ Schweich Trittenheim Longuich	B	4	13
	Hesse	Gräveneck	B	1	1				
	Hanovre	Grasdorf	B	1	1				
	Saxe ²⁶	Göhren ²⁷ Chemnitz	MOV B	2	2	Kleinwolmsdorf sur la Chemnitz ²⁷ Plauen ²⁷	MEV MOV	3	3
	Silésie					Wengern ²⁷ Ziegenhals Michelau Neuhammer Schwusen Kupferhammer Krappitz Gross-Kunzendorf	MOV	8	8
Total				4	4	Total			
du Sud	Lorraine	Malling Moulins-lez-Metz	B Band*MEV Corps : B	2	6				
	Grand Duché de Bade	Mannheim	Land* : PT Corps : B	1	2	Weisenbach Gutach Schwändelholzobel Langenbrand	B PT	4	4
	Wurtemberg	Höfen Marbach Baiersbronn Munderkingen Wallstrasse Hochberg Neckargartach	PT Band* PT Corps MEV PT B	7	12	Teinach ²⁸ Huzenbach	PT	2	2
	Hohen- zollern	Inzigkofen Neckarhausen	B	2	2				
	Bavière	Prince-Régent Max-Joseph Maximilien Cornélius Reichenbach Wittelsbach Elise ²⁹ Garching Kempten Illerbeuren	PT Bandeaux PT Corps B B	12	13				
Total				24	35	Total			

25. — Projet et Entreprise : MM. Liebold et C^e, d'Holzminden (Brunswick).

26. — C'est en Saxe que Köpcke a pour la 1^{re} fois articulé des voûtes. 27. — Projet et Entreprise : MM. Liebold et C^e, de Langebrück (Saxe).

28. — C'est parce qu'on a observé des fissures au décintrement, qu'on a articulé, depuis, la plupart des grandes voûtes du Wurtemberg.

29. — Projet et Entreprise : MM. Sager et Woerner, de Munich.

§ 3. — QUELLES VOÛTES CONVIENT-IL D'ARTICULER ?

Art. 1. — Voûtes sur appui invariable.

A. - En maçonnerie appareillée : pas d'articulations. — Soit à construire une voûte sur un appui rigoureusement invariable, par exemple sur du rocher.

Dans la construction, on prévient les fissures sur cintre en y ménageant des vides aux bonnes places ; les fissures au décintrement, en matant énergiquement les joints vides et en la laissant longtemps sur cintre.

On n'y a d'ailleurs rien à craindre plus tard des changements de température : on observera, au-dessus des reins, des fentes dans les tympans, le parapet, mais non dans la voûte.

B. - En béton : il est prudent d'articuler au moins les arcs très tendus. Mais, au lieu d'une voûte appareillée, supposons une voûte en béton.

Une voûte en maçonnerie est divisée par ses joints ; les efforts, par conséquent les raccourcissements ou allongements, leur sont à peu près normaux : s'il y a fissure, c'est suivant un joint.

Dans un monolithe en béton, les mouvements ne sont ni localisés ni régularisés par l'appareil. Il peut se produire des écrasements, des fissures irrégulières aux angles rentrants, aux changements de forme, — spécialement entre une culée massive et la naissance d'un arc très surbaissé.

On aura évité les fissures sur cintre en construisant par tranches. Mais on n'est pas garanti des fentes au décintrement, aux changements de température.

Sans doute, on a construit sans les articuler de grandes voûtes en béton ; toutefois elles sont récentes, et peu sont très surbaissées³⁰.

On en a articulé de très grandes³⁰, les unes peu surbaissées, — ce n'était guère

30.

VOÛTES EN BÉTON $\geq 40^m$

Date	Pont de :	Pays	Intrados Voie portée	Por- tée	Sur- baisse- ment	Date	Pont de :	Pays	Intrados Voie portée	Por- tée	Sur- baisse- ment
1° INARTICULÉES						2° ARTICULÉES (Suite)					
1870-73	Pont-sur-Yonne	France	E	aq	40 ^m	1/5	1898-1900	Chemnitz	E Fr	43 ^m 40	»
1885	Weisenbach	Allem ^{...}	A		40	1/8	1899-1900	Neckarhausen		59.40	1/11
1901-03	Big-Muddy	Et ^{...} -Unis	E	Fr	42.67	1/4.67	1899-1900	Grasdorf		40	1/8.88
1903-04	Mehring	Allem ^{...}	A	r ^{te}	46	1/7.45	1899-1901	Malling	A r ^{te}	40	1/8.56
1905-06	Schweich		A		46	1/7.45	1901-03	Hochberg		40	1/7.41
1904-08	Connecticut Av ^r	Et ^{...} -Unis	C		45.72	1/2	1902-03	Reichenbach		44	1/10
1906	Guggersbach	Suisse	A		50.20	1/6.11	1903-04	Illerbeuren	A Fr	59	1/5.82
1906-08	Walnut-Lane	Et ^{...} -Unis	AA	r ^{te}	70.71	1/3.32	1903-05	Neckargartach		40	1/9.14
1907-08	Tritenheim	Allem ^{...}	A		46	1/7.45	1904-05	Wallstrasse		65.45	1/5.48
1908-09	Edmondson Av ^r	Et ^{...} -Unis	E		42.37	1/3.17	1904-05	Wittelsbach	A r ^{te}	44	1/10
1908-10	Rocky River		AA		85.34	1/3.46	1904-05	Moulins-l.-Metz		44	1/7.72
1909-11	Longuich	Allem ^{...}	A		46	1/7.45	1904-05	Moulins-l.-Metz		40	1/8.37
					43	1/8.05	1905-08	Mannheim		59.50	1/10.56
							1906	Kempton	A Fr	64.50	1/2.34
							1906-07	Elise	A r ^{te}	47.50	1/9.88
1893	Munderkingen	Allem ^{...}	A	r ^{te}	59	1/10	1907-08	Garching	E Fr	44.35	1/3.32
1895	Inzigkofen				47.90	1/9.81	1911-12	Gräveneck	A r ^{te}	48	1/6.24
1895-96	Coulouvrenière	Suisse			40	1/7.41					

nécessaire, — les autres très surbaissées : pour celles-ci, grandes ou petites, à peine de fissures graves, il le fallait.

Art. 2. — Voûtes sur appui qui peut céder : articuler au moins les très surbaissées. — La grande voûte peut être imposée par motif d'aspect, sur terrain un peu compressible³¹,³² : d'ailleurs, il y a quelquefois des surprises en fondation.

On peut être forcé d'appuyer contre une haute pile-culée, qui se courbera sous la poussée, les voûtes d'accès à une travée métallique³³, de jeter une voûte plate d'élégissement entre deux grandes voûtes, qui oscilleront sous les variations de température³⁴.

Dans tous les cas où les appuis de la voûte peuvent reculer, s'enfoncer inégalement, il convient vraiment d'articuler.

Une voûte articulée est souple, flexible : il n'est plus nécessaire de l'appareiller : le béton y suffit.

Art. 3. — Réserves sur la durée des articulations métalliques. Les premières grandes voûtes articulées (à partir de 1885) ne l'étaient qu'au poids mort : on condamnait les articulations avant l'ouverture à la circulation, ce qui préservait de la rouille les rotules en fonte, en acier.

C'est seulement de 1895 que datent les premières grandes voûtes articulées de façon permanente.

Il y a donc encore lieu de faire toutes réserves sur la durée et le fonctionnement de tout système d'articulation, — sur la conservation d'articulations métalliques qu'il est très difficile d'entretenir, impossible de remplacer.

31. — Ponts sur pilotis de Vizille, Tome I, p. 93 ; de Turin, Tome III, p. 199.

32. — Pont de Chester, Tome III, p. 29.

33. — Viaduc métallique de Kubel sur la Sitter. — Arches d'accès de 25^m butant contre une pile-culée de 87^m de hauteur. — On les a articulées (Tableau synoptique, Tome IV, p. 266).

34. — Au pont des Amidonniers, Tome I, p. 193, avant d'être chargées de la dalle en béton armé, les voûtes d'élégissement en ellipse de 11^m60 et de 10^m10 au 1/4 s'ouvraient :

	à la clef	aux retombées
en été.....	à l'extrados	à l'intrados
en hiver	à l'intrados	à l'extrados

Elles s'étaient articulées elles-mêmes.

PONTES DÉCRITS DANS LE TOME IV

INDEX ALPHABÉTIQUE

PONT	Rivière ou voie traversée	Pays	Symbole dans les séries ≥ 40 ^m	Pages	
				Tableau synoptique	Mono- graphie
d'Altwasser, à Neu- bourg	Danube	Bavière	»	261	»
de Baiersbronn	Murg	Wurtemberg	$\bar{A}^1 r^{10} (\geq 40^m)^3$	38	48
de Baiersbronn	Forbach		»	260	»
Branla	Saône	France,-Rhône	»	269	»
de Britz	Canal de Teltow	Prusse	»	266	»
de Brookside Park, à Cleveland	Big Creek	États-Unis, - Ohio	»	269	»
de Burzweiler	Doller	Alsace	»	269	»
sur la Cecina	Cecina	Italie	»	264	»
de Chemnitz	Chemnitz	Saxe	$E^n Fr (\geq 40^m)^1$	104	107
de Brookside Park, à Cleveland (<i>cité plus haut, sous la lettre B</i>)	Big Creek	Etats-Unis, - Ohio	»	269	»
Cornélius, à Munich.	Isar	Bavière	$\bar{A}^n r^{10} (\geq 40^m)^3$	166	180
de la Coulouvrenière, à Genève	Rhône	Suisse	$\bar{A}^n r^{10} (\geq 40^m)^1$	78	81
de Dennhausen	Fulda	Prusse, Hesse	»	266	»
de Dresde (<i>Chemin de fer</i>)	Elbe	Saxe	»	266	»
Frédéric-Auguste, à Dresde (<i>Route</i>)	Elbe	Saxe	»	266	»
de Durbuy	Ourthe	Luxembourg belge	»	261	»
de Dusseldorf	»	Prusse rhénane	»	266	»
d'Ehingen	Danube	Wurtemberg	»	260	»
d'Ehingen (Passage su- périeur)	»		»	260	»
Élise, à Neubourg	Danube	Bavière	$\bar{A}^1 r^{10} (\geq 40^m)^4$	126	151

PONT	Rivière ou voie traversée	Pays	Symbole dans les séries ≥ 40 ^m	Pages	
				Tableau synoptique	Mono- graphie
de Forst	Etsch	<i>Autriche, - Tyrol</i>	»	264	»
Frédéric-Auguste , à <i>Dresde, (cité plus haut, sous la lettre D)</i>	Elbe	<i>Saxe</i>	»	266	»
de Garching	Alz	<i>Bavière</i>	$\overline{\text{E}}^{\text{II}} \text{Fr} (\geq 40^{\text{m}})^1$	92	95
de Gemmrigheim	Neckar	<i>Wurtemberg</i>	»	260	»
de la Coulouvrenière, à Genève (<i>cité plus haut, sous la lettre C</i>).....	Rhône	<i>Suisse</i>	$\overline{\text{A}}^{\text{II}} \text{r}^{\text{te}} (\geq 40^{\text{m}})^1$	78	81
de Göhren	Zwickauer Mulde	<i>Saxe</i>	$\overline{\text{A}}^{\text{I}} \text{r}^{\text{te}} (\geq 40^{\text{m}})^2$	124	139
de Grasdorf	Leine	<i>Hanovre</i>	$\overline{\text{A}}^{\text{I}} \text{r}^{\text{te}} (\geq 40^{\text{m}})^1$	124	129
de Gräveneck	Lahn	<i>Prusse, -Hesse</i>	$\overline{\text{A}}^{\text{I}} \text{r}^{\text{te}} (\geq 40^{\text{m}})^1$	210	213
de Halden { arche centrale arches latérales	Lenne	<i>Westphalie</i>	»	266 261	» »
de Hauconcourt	Moselle	<i>Lorraine allemande</i>	»	266	»
de Hochberg	Neckar	<i>Wurtemberg</i>	$\overline{\text{A}}^{\text{II}} \text{r}^{\text{te}} (\geq 40^{\text{m}})^2$	166	177
de Höfen	Enz	<i>Wurtemberg</i>	$\overline{\text{A}}^{\text{I}} \text{r}^{\text{te}} (\geq 40^{\text{m}})^1$	38	41
d' Illerbeuren	Iller	<i>Bavière</i>	$\overline{\text{A}}^{\text{I}} \text{Fr} (\geq 40^{\text{m}})^1$	156	159
d' Imnau	Eyach	<i>Hohenzollern</i>	»	266	»
d' Inzigkofen	Danube	<i>Hohenzollern</i>	$\overline{\text{A}}^{\text{I}} \text{r}^{\text{te}} (\geq 40^{\text{m}})^1$	220	225
de Kempton { arches centrales arches latérales	Iller	<i>Bavière</i>	$\overline{\text{A}}^{\text{I}} \text{Fr} (\geq 40^{\text{m}})^{1,2,3}$	112 261	115 »
de Kubel	Sitter	<i>Suisse</i>	»	266	»
de Langenhennersdorf	»	<i>Saxe</i>	»	266	»
de Las Segadas	Nalon	<i>Espagne, - Asturies</i>	»	»	249
sur le Lein	Lein	<i>Wurtemberg</i>	»	260	»
sur la Vieille-Route, à Lichtensteig	Vieille-Route	<i>Suisse</i>	»	260	»

PONT	Rivière ou voie traversée	Pays	Symbole dans les séries ≥ 40 ^m	Pages	
				Tableau synoptique	Mono- graphie
de Malling	Moselle	Lorraine	$\bar{A}^n r^{te} (\geq 40^m) 1$	166	175
de Mannheim	Neckar	allemande Grand Duché de Bade	$\bar{A}^n r^{te} (\geq 40^m) 9$	172	206
de Marbach	Murr	Wurtemberg	$\bar{A}^1 r^{te} (\geq 40^m) 2$	38	45
de Maximilien { à	Isar	Bavière	$\bar{A}^n r^{te} (\geq 40^m) 6$	168	192
de Max-Joseph { Munich			$\bar{A}^1 r^{te} (\geq 40^m) 4$	222	242
de Miltenberg	Mein	Bavière	»	261	»
de Morbegno	Adda	Italie, - Valtelline	$\bar{A}^1 Fr (\geq 40^m) 1$	62	65
de Moulins-lez-Metz ...	Moselle	Lorraine allemande	$\bar{A}^n r^{te} (\geq 40^m) 8$	170	202
de Mühlbach	»	Bavière	»	261	»
de Mühlheim	Neckar	Wurtemberg	»	260	»
de Munderkingen	Danube	Wurtemberg	$\bar{A}^1 r^{te} (\geq 40^m) 1$	52	55
de Munich { Cornélius... Maximilien... (cités aussi Max-Joseph... sous les lettres Prince-Régent... C, M, P, R, W) Reichenbach... Wittelsbach.	Isar	Bavière	$\bar{A}^n r^{te} (\geq 40^m) \left\{ \begin{matrix} 2 \\ 6 \end{matrix} \right.$	166	180
			$\bar{A}^1 r^{te} (\geq 40^m) \left\{ \begin{matrix} 4 \\ 3 \end{matrix} \right.$	168	192
			$\bar{A}^1 r^{te} (\geq 40^m) \left\{ \begin{matrix} 4 \\ 3 \end{matrix} \right.$	222	242
			$\bar{A}^1 r^{te} (\geq 40^m) \left\{ \begin{matrix} 4 \\ 3 \end{matrix} \right.$	222	239
			$\bar{A}^n r^{te} (\geq 40^m) \left\{ \begin{matrix} 4 \\ 7 \end{matrix} \right.$	168	183
			$\bar{A}^n r^{te} (\geq 40^m) \left\{ \begin{matrix} 4 \\ 7 \end{matrix} \right.$	170	199
de Neckargartach	Neckar	Wurtemberg	$\bar{A}^n r^{te} (\geq 40^m) 5$	168	186
de Neckarhausen	Danube	Hohenzollern	$\bar{A}^1 r^{te} (\geq 40^m) 2$	220	232
de Nesslau	Thur	Suisse	»	266	»
d'Altwasser, à Neubourg (cité plus haut, sous la lettre A).....	Danube	Bavière	»	261	»
Elise, à Neubourg (cité plus haut, sous la lettre E).....			$\bar{A}^1 r^{te} (\geq 40^m) 4$	126	151
de Neuneck	Glatt	Wurtemberg	»	260	»
sur l'Oued Amacin	Oued Amacin	Algérie, Constantine	»	261	»
sur l'Oued Dar el Oued ...	Oued Dar el Oued		»		
sur l'Oued Djemaa	Oued Djemaa		»		

PONT	Rivière ou voie traversée	Pays	Symbole dans les séries $\geq 40^m$	Pages	
				Tableau synoptique	Mono- graphie
du Prince-Régent , à Munich (<i>cité plus haut, sous la lettre M</i>).....	Isar	Bavière	$\bar{A}^1 r^{te} (\geq 40^m)^3$	222	239
de Rechtenstein	Danube	Wurtemberg	»	260	»
de Reichenbach $\left. \begin{array}{l} \text{Gr}^{de} \text{ arche} \\ \text{à Munich (cité plus} \\ \text{haut, sous la lettre M)} \end{array} \right\} \begin{array}{l} \\ \text{P}^{tes} \text{ arches} \end{array}$	Isar	Bavière	$\bar{A}^n r^{te} (\geq 40^m)^4$	168 261	183 »
de Rothenburg	Neisse	Silésie	»	266	»
de Sauvage	Moselle	Lorraine allemande	»	266	»
de Sigmaringen	Danube	Hohenzollern	»	250	253
de Sinigaglia	Rosso	Italie	»	271	»
de Kubel, sur la Sitter (<i>cité plus haut, sous la lettre K</i>).....	Sitter	Suisse	»	266	»
de Tarvis	Schlitza	Autriche, - Carinthie	»	264	»
de Nesslerau, sur la Thur (<i>cité plus haut, sous la lettre N</i>).....	Thur	Suisse	»	266	»
de la Wallstrasse, à Ulm	»	Wurtemberg	$\bar{A}^1 r^{te} (\geq 40^m)^3$	124	143
entre Ulm et Neu-Ulm	Danube		»	261	»
de la Wallstrasse , à Ulm (<i>cité plus haut, sous la lettre U</i>).....	»	Wurtemberg	$\bar{A}^1 r^{te} (\geq 40^m)^3$	124	143
de Wildbad	Enz		»	260	»
de Wittelsbach , à Mu- nich (<i>cité plus haut, sous la lettre M</i>).....	Isar	Bavière	$\bar{A}^n r^{te} (\geq 40^m)^7$	170	199

TABLE DES MATIÈRES

DU TOME IV

	Pages
AVERTISSEMENT (<i>déjà donné en tête des Tomes I, II, III</i>).....	I
1. Divisions de l'ouvrage. — 2. Classement des Ponts en séries. — 3. Classement dans chaque série par date d'exécution. — 4. Tableaux synoptiques. — Monographies (p. I). — 5. Suite, dans chaque monographie, de figures, planches, photographies, renvois, sources. — 6. Désignation abrégée des matériaux aux tableaux synoptiques et aux dessins (p. II). — 7. Unités adoptées pour comparer les quantités et dépenses. — A. Cintres. — B. Ouvrage (p. III).	

2^{ME} PARTIE. — VOÛTES ARTICULÉES

INTRODUCTION A L'ÉTUDE DES VOÛTES ARTICULÉES.....	3
---	---

LIVRE I. - POURQUOI ET COMMENT ON A ARTICULÉ DES VOÛTES

TYPES D'ARTICULATIONS. — *PRINCIPES*. — *FORMULES*. — *EXPÉRIENCES*
HISTORIQUE. — CLASSEMENT DES VOÛTES ARTICULÉES

TITRE I. — POURQUOI ON A ARTICULÉ DES VOÛTES	7
--	---

TITRE II. — PROPRIÉTÉ DE LA MATIÈRE QUI PERMET LES ARTICULATIONS.....	7
--	---

TITRE III. — COMMENT ON A ARTICULÉ LES VOÛTES : QUATRE TYPES D'ARTICULATIONS	
---	--

CHAPITRE I. — ARTICULATIONS SUR PLOMB

§ 1. PRINCIPE.....	8
§ 2. PROPRIÉTÉS DU PLOMB.....	8
§ 3. COMMENT UNE BANDE DE PLOMB RÉALISE UNE ARTICULATION.....	10

TITRE III. — TYPES D'ARTICULATIONS (Suite)**CHAPITRE II. — ARTICULATIONS ROULANTES**

	Pages.
§ 1. PRINCIPE.....	10
§ 2. FORMULES THÉORIQUES DONNANT :	
1° LA LARGEUR EN 0°01 DE LA BANDE DE CONTACT ;	
2° LE TRAVAIL MAXIMUM PAR 0°01 ² AU CONTACT.	
Art. 1. Notations et unités, employées dans les formules.....	10
Art. 2. Formules de Hertz	11
Art. 3. Formules de Köpcke.....	12
Art. 4. Formules de Barkhausen	13
§ 3. EXPÉRIENCES SUR DES ARTICULATIONS ROULANTES EN PIERRE, EN BÉTON	14
Art. 1. Expériences de M. Bach sur des blocs de granit et de grès, l'un convexe, l'autre plan, pour vérifier les formules de Hertz.	
A. <i>Ce qui a été observé</i>	14
B. <i>Ce qui résulte des expériences</i>	16
Art. 2. Expériences faites à Berlin et à Dresde sur des rotules en béton.....	17
Art. 3. Expériences de M. Krüger sur des rotules en béton (1906).....	18
Art. 4. Expériences faites au Laboratoire de l'Ecole des Ponts et Chaussées, à Paris, sur des rotules en porphyre, en calcaire, en béton (1911-1912)	20
Art. 5. Que conclure des formules et des essais de laboratoire pour déterminer les dimensions des sommiers ?	21

CHAPITRE III. — ARTICULATIONS TOURNANTES

§ 1. PRINCIPE.....	21
§ 2. CALCULS.	
Art. 1. Diamètre du tourillon	21
Art. 2. Dimensions des balanciers	22
§ 3. ESSAIS DE M. LE PROFESSEUR FÖPPL, A MUNICH, AU LABORATOIRE D'ESSAIS DE MATÉRIAUX (1901).....	22
§ 4. ROTATIONS AUTOUR DES APPUIS, MOUVEMENTS DE LA CLEF, POUR UN CHANGEMENT DE TEMPÉRATURE ET UN DÉPLACEMENT DES APPUIS.	
Art. 1. Comment change la ligne des 3 articulations.....	23
Art. 2. Conventions pour les signes.....	23
Art. 3. Calcul des rotations.....	23
Art. 4. Mouvements de l'articulation de clef :	
1° vertical, 2° horizontal.....	24
Art. 5. Formules	25

CHAPITRE IV. — ARTICULATIONS A GENOU. 26

TITRE IV. — HISTORIQUE.

ARTICULER LES VOUTES EST UNE IDÉE FRANÇAISE

	Pages.
§ 1. C'EST DUPUIT QUI A ÉMIS LE PREMIER (EN 1870) L'IDÉE D'ARTICULER LES VOÛTES.....	26
§ 2. APPLICATION EN ALLEMAGNE, APRÈS 1880, DE L'IDÉE DE DUPUIT	28

TITRE V. — CLASSEMENT DES VOÛTES ARTICULÉES

§ 1. CLASSEMENT DES VOÛTES ARTICULÉES SUIVANT LE TYPE D'ARTICULATION.....	28
§ 2. DISTINCTION ENTRE LES VOÛTES « SEMI - ARTICULÉES » (C - A - D ARTICULÉES TEMPORAIREMENT, AU POIDS MORT SEULEMENT, LES ARTICULATIONS ÉTANT CONDAMNÉES AVANT L'OUVERTURE A LA CIRCULATION), ET LES VOÛTES « ARTICULÉES » (C-A-D DE FAÇON PERMANENTE, SOUS LE POIDS MORT, LES SURCHARGES, POUR LES VARIATIONS DE TEMPÉRATURE,.....)	28
§ 3. SÉRIES DANS LESQUELLES ONT ÉTÉ CLASSÉES LES VOÛTES ARTICULÉES $\geq 40^m$	29

LIVRE II. - DESCRIPTION DES PONTS QUI ONT OU AVAIENT
DES VOÛTES ARTICULÉES DE 40^m ET PLUS DE PORTÉE.
TABLEAUX SYNOPTIQUES. — MONOGRAPHIES.

1° -- VOÛTES SEMI-ARTICULÉES

ARTICULATIONS SUR PLOMB

ARCS TRÈS SURBAISSÉS

PONTS A UNE SEULE GRANDE ARCHE SOUS ROUTE

SÉRIE $\overset{\text{A}}{\text{A}}^1 r^{1e} (\geq 40^m)$

TABLEAU SYNOPTIQUE.....	38
MONOGRAPHIES :	

$\overset{\text{A}}{\text{A}}^1 r^{1e} (\geq 40^m)^1$. — Pont sur l'Enz, près de Hófen (ALLEMAGNE, - Wurtemberg) (1885)	41
--	----

TEXTE. — 1. Articulations. — 2. Trottoirs (p. 41). — 3. Chape. — 4. Ciment employé. — 5. Cintre. — 6. Fondations. — 7. Exécution de la voûte (p. 42). — 8. Décintrement. — 9. Variation de l'épaisseur des lames de plomb. — 10. Comment on a condamné les articulations (p. 43). — 11. Épreuves. — 12. Dépenses. — 13. Personnel. — SOURCE (p. 44).

DESSINS. — f_1 . Élévation. — f_2 . Coupe en long et cintre. — f_3 . Coupe en travers (p. 41).

VOÛTES SEMI-ARTICULÉES ARTICULATIONS SUR PLOMB

ARCS TRÈS SURBAISSÉS

(Suite)

PONTS A UNE SEULE GRANDE ARCHE SOUS ROUTE

SÉRIE $\overset{\text{A}}{\underset{\text{III}}{\text{A}}}^1 r^{te} (\geq 40^m)$ (Suite)

	Pages
$\overset{\text{A}}{\underset{\text{III}}{\text{A}}}^1 r^{te} (\geq 40^m)^2$. — Pont sur la Murr, près de Marbach (ALLEMAGNE, — Wurtemberg) (1886-1887)	45
<i>TEXTE.</i> — 1. Articulations. — 2. Plinthes. — 3. Chape. — 4. Matériaux des culées (p. 45). — 5. Cintre. — 6. Exécution de la voûte. — 7. Décintrement. — 8. Comment on a condamné les articulations (p. 46). — 9. Dépenses. — 10. Personnel. — <i>SOURCE</i> (p. 47).	
<i>DESSINS.</i> — f_1 . Élévation. — f_2 . Coupe en long et cintre. — f_3 . Coupe en travers (p. 45). — f_4 . Mouvements des joints d'articulation au décintrement (p. 46).	
$\overset{\text{A}}{\underset{\text{III}}{\text{A}}}^1 r^{te} (\geq 40^m)^3$. — Pont sur la Murg, près de Baiersbronn (ALLEMAGNE, — Wurtemberg) (1889)	48
<i>DESSINS.</i> — f_1 . Élévation. — f_2 . Coupe en long et cintre. — f_3 . Coupe en travers (p. 48).	

ARTICULATIONS A GENOU

ARCS TRÈS SURBAISSÉS

PONTS A UNE SEULE GRANDE ARCHE SOUS ROUTE

SÉRIE $\overset{\text{A}}{\underset{\text{III}}{\text{A}}}^1 r^{te} (\geq 40^m)$

TABLEAU SYNOPTIQUE.....	52
MONOGRAPHIES :	
$\overset{\text{A}}{\underset{\text{III}}{\text{A}}}^1 r^{te} (\geq 40^m)^1$. — Pont sur le Danube, à Munderkingen (ALLEMAGNE, — Wurtemberg) (1893)	55
<i>TEXTE.</i> — 1. Pourquoi on a fait la voûte en béton. — 2. Courbes d'intrados et d'extrados (p. 55). — 3. Articulations. — 4. Joints de dilatation dans les tympans. — 5. Parements (p. 57). — 6. Chaussée et trottoirs. — 7. Matériaux. — <i>A. Composition du béton.</i> — <i>B. Béton de la voûte.</i> — 8. Fondations (p. 58). — 9. Exécution de la voûte. — 10. Mouvement des rotules des retombées. — 11. Tassements de la clef après le clavage (p. 59). — 12. Comment on a condamné les articulations. — 13. Dépenses. — 14. Quelques prix d'unité. — 15. Personnel. — <i>SOURCES</i> (p. 60).	
<i>DESSINS.</i> — f_1 . Élévation amont. — f_2 . Demi-coupe en long rive gauche, et cintre. — f_3 . Culée rive droite. — Coupes en travers : f_4 . aux retombées, — f_5 . à la clef — Articulations : f_6 , f_7 , f_8 . Rotule et caisson ; — f_9 . Rotule (p. 56).	
<i>PHOTOGRAPHIES.</i> — Φ_1 . (p. 55). — Φ_2 . (p. 57).	

VOÛTES SEMI-ARTICULÉES ARTICULATIONS A GENOU

ARCS TRÈS SURBAISSÉS

(Suite)

PONTS A UNE SEULE GRANDE ARCHE
SOUS CHEMIN DE FER A VOIE NORMALESÉRIE $\overset{\text{A}}{\underset{\text{Fr}}{\text{A}}}^1 \text{ Fr} (\geq 40^m)$

TABLEAU SYNOPTIQUE.....	Pages. 62
MONOGRAPHIES :	

$\overset{\text{A}}{\underset{\text{Fr}}{\text{A}}}^1 \text{ Fr} (\geq 40^m)$ 1. — Pont sur l'Adda, près de Morbegno (ITALIE, — Valteline) (1902-1903).....	65
---	----

TEXTE. — 1. Pourquoi on a fait une grande voûte (p. 65). — 2. Aspect. — 3. Intradados. — 4. Extradados (p. 67). — 5. Articulations. — 6. Dispositif permettant aux tympans de suivre les mouvements de la grande voûte (p. 68). — 7. Calcul des efforts. — 8. Cintre (p. 70). — 9. Exécution de la voûte. — 10. Décintrement et achèvement. — 11. Épreuves (p. 72). — 12. Effet des changements de température. — A. *Mouvements de la voûte* (p. 73). — B. *Variation du travail par \overline{mOI}^2* . — 13. Personnel (p. 74). — SOURCES (p. 75).

DESSINS. — f_1 . Élévation amont. — f_2 . Coupe en long (p. 66). — Articulations de la grande voûte : f_3 . Clef, — f_4 . Retombées (p. 68). — Articulations des voûtes d'évidement au-dessus des retombées de la grande voûte. Joints vides dans les tympans : f_5 . Élévation, — f_6 . Coupe en long (p. 69). — f_7 . Pressions maxima à l'intradados et à l'extrados (p. 70). — Cintre : f_8 . Élévation, — f_9 . Coupe en travers ; — f_{10} , f_{11} . Appuis, — f_{12} . Coins de décintrement (p. 71). — f_{13} . Exécution du 1^{er} rouleau. — f_{14} . Épreuves : Position des appareils (p. 72). — Effet des changements de température : f_{15} , f_{16} . Emplacement des thermomètres, — f_{17} . Graphique des températures, — f_{18} . Variation du niveau du parapet, à la clef (p. 73).

PHOTOGRAPHIES. — Φ_1 . (p. 65). — Φ_2 . (p. 67). — Φ_3 , Φ_4 . Avant qu'on ait condamné les articulations (p. 68). — Φ_5 . Voûtes d'évidement articulées au-dessus des retombées de la grande voûte (p. 69).

PONTS A PLUSIEURS GRANDES ARCHES SOUS ROUTE

SÉRIE $\overset{\text{A}}{\underset{\text{r}^{\text{te}}}{\text{A}}}^n \text{ r}^{\text{te}} (\geq 40^m)$

TABLEAU SYNOPTIQUE.....	78
MONOGRAPHIES .	

$\overset{\text{A}}{\underset{\text{r}^{\text{te}}}{\text{A}}}^n \text{ r}^{\text{te}} (\geq 40^m)$ 1. — Pont de la Coulouvrenière, sur le Rhône, à Genève (SUISSE) (1895-1896).....	81
--	----

TEXTE. — 1. Articulations (p. 81). — 2. Voûtes d'évidement. — 3. Matériaux. — A. *Béton*. — A₁. *Grandes voûtes*. — A₂. *Culées*. — B. *Parements des têtes*. — 4. Fondation de la culée rive gauche. — 5. Voûtes (p. 83). — 6. Décintrement. — A. *Grande arche rive droite*. — B. *Grande arche rive gauche* (p. 84). — 7. Épreuves. — 8. Dates. — 9. Quantités (p. 85). — 10. Personnel. — SOURCES (p. 86).

DESSINS. — f_1 . Ensemble, amont. — f_2 . Grande voûte rive droite. — f_3 . Demi-coupe en long et cintre de la grande voûte rive gauche. — f_4 . Demi-coupe en travers aux retombées. — Articulations : f_5 . Rotule et caisson, — f_6 . Rotule (p. 82). — f_7 . Division des grandes voûtes en tranches (p. 83).

PHOTOGRAPHIE. — Φ_1 (p. 81).

2° -- VOÛTES ARTICULÉES (DE FAÇON PERMANENTE)**ARTICULATIONS SUR PLOMB****ELLIPSES****PONTS A PLUSIEURS GRANDES ARCHES
SOUS CHEMIN DE FER A VOIE NORMALE****SÉRIE E^{n}_{Fr} ($\geq 40^{\text{m}}$)**

TABLEAU SYNOPTIQUE.....	Pages. 92
MONOGRAPHIES :	

E^{n}_{Fr} ($\geq 40^{\text{m}}$) ¹ . — Pont sur l'Alz, à Garching (ALLEMAGNE, — Bavière) (1907-1908).....	95
--	----

TEXTE. — 1. Quelques observations (p. 95). — 2. Articulations sur plomb (p. 97). —
3. Effort limite admis sur les sommiers en béton. — 4. Résistance du béton. —
5. Cintre (p. 98). — 6. Fondations. — 7. Personnel. — SOURCES (p. 99).

DESSINS. — f_1 . Ensemble. — f_2 . Arche centrale. — f_3 . Coupe en long. — f_4 . Coupe
en travers sur l'axe d'une pile. — f_5 . Plan au-dessus d'une pile. — f_6 . Couronne-
ment (p. 96). — Articulations. Bandes de plomb et sommiers : f_7 . Clef, — f_8 . Retom-
bées (p. 97). — Cintre : f_9 . Élévation, — f_{10} . Coupe en travers (p. 98).

PHOTOGRAPHIES. — Φ_1 (p. 95). — Φ_2 (p. 97).

ARTICULATIONS ROULANTES**ELLIPSES****PONTS A PLUSIEURS GRANDES ARCHES
SOUS CHEMIN DE FER A VOIE NORMALE****SÉRIE E^{n}_{Fr} ($\geq 40^{\text{m}}$)**

TABLEAU SYNOPTIQUE.....	104
MONOGRAPHIES :	

E^{n}_{Fr} ($\geq 40^{\text{m}}$) ¹ . — Pont sur la Chemnitz, à Chemnitz (ALLEMAGNE, — Saxe) (1898-1900).....	107
---	-----

TEXTE. — 1. Matériaux. — 2. Articulations et joints de dilatation. — 3. Béton.
Composition. Efforts (p. 108). — 4. Cintre. — 5. Epreuve de la grande voûte. —
6. Personnel. — SOURCES (p. 109).

DESSINS. — f_1 . Ensemble (p. 107). — Grande voûte : f_2 . Élévation, — f_3 . Coupe en
long (p. 108). — Cintre : f_4 . Élévation, — f_5 . Coupe en travers (p. 109).

PHOTOGRAPHIE. — Φ_1 (p. 107).

VOÛTES ARTICULÉES ARTICULATIONS ROULANTES (Suite)

ARCS PEU SURBAISSÉS

**PONTS A UNE SEULE GRANDE ARCHE
SOUS CHEMIN DE FER A VOIE NORMALE**

SÉRIE \hat{A}^1 Fr ($\geq 40^m$)

	Pages.
TABEAU SYNOPTIQUE.....	112
MONOGRAPHIES :	
\hat{A}^1 Fr ($\geq 40^m$) 1, 2, 3. — 3 Ponts sur l'Iller, près de la gare de Kempton (ALLEMAGNE, — Bavière) (1906).....	115
<i>TEXTE.</i> — 1. Emplacement des trois ponts. — 2. Dispositions communes (p. 115). — 3. Articulations des grandes voûtes (p. 118). — 4. Joints de dilatation des tympan (p. 119). — 5. Sommiers en béton des rotules. — 6. Articulations sur plomb et joints de dilatation des voûtes latérales (p. 120). — 7. Cintre. — 8. Exécution des grandes voûtes. — 9. Décintrement (p. 121). — 10. Quantités. — 11. Personnel. — SOURCES (p. 122).	
<i>DESSINS.</i> — f_1 . Plan d'ensemble (p. 115). — Ponts aval : f_2 . Ensemble, — f_3 . Grande voûte (p. 116), — f_4 . Coupe en long et cintre, — f_5 , f_6 , f_7 . Coupes en travers (p. 117). — Articulations des grandes voûtes : f_8 , f_9 . Rotules (p. 118), — f_{10} , f_{11} . Rotules et sommiers (p. 119). — f_{12} . Articulations des voûtes latérales (p. 120). — Construction des grandes voûtes : f_{13} . Ordre d'exécution des tranches, — f_{14} . Bétonnage entre les sommiers d'articulation (p. 121). — f_{15} . Marche du décintrement (p. 122).	
<i>PHOTOGRAPHIES.</i> — Φ_1 . Ensemble des 3 Ponts (p. 118). — Φ_2 . Pont amont (p. 119).	

ARCS TRÈS SURBAISSÉS

PONTS A UNE SEULE GRANDE ARCHE SOUS ROUTE

SÉRIE \hat{A}^1 r^{te} ($\geq 40^m$)

	124
TABEAU SYNOPTIQUE.....	124
MONOGRAPHIES :	
\hat{A}^1 r ^{te} ($\geq 40^m$) 1. — Pont sur la Leine, près de Grasdorf (ALLEMAGNE, — Hanovre) (1899-1900).....	129
<i>TEXTE.</i> — 1. Grande voûte. — 2. Articulations (p. 130). — 3. Joints de dilatation. — 4. Joints mobiles du tuyau de conduite d'eau. — 5. Ecoulement des eaux (p. 131). — 6. Chaussée et trottoirs. — 7. Plinthes et dés. — 8. Parements simulant le granit. — 9. Matériaux. — A. <i>Ciment</i> . — B. <i>Gravier du lit de la Leine</i> . — C. <i>Pierre cassée</i> . — D. <i>Béton</i> (p. 132). — E. <i>Granit des rotules</i> . — 10. Appareils de décintrement (p. 133). — 11. Fondations. — 12. Exécution de la grande voûte. — A. <i>Pose des rotules de retombées</i> . — A ₁ . <i>Pose des blocs concaves</i> ; — A ₂ . <i>Pose des blocs convexes</i> . — B. <i>Bétonnage de la grande voûte</i> (p. 134). — C. <i>Clavages</i> . — C ₁ . <i>aux retombées</i> ; — C ₂ . <i>à la clef</i> . — 13. Construction des voûtes d'évidement et de décharge. — 14. Décintrement (p. 136). — 15. Tassements. — 16. Achèvement du pont. — 17. Dates (p. 137). — 18. Dépenses. — 19. Personnel. — SOURCES (p. 138).	

VOÛTES ARTICULÉES ARTICULATIONS ROULANTES

ARCS TRÈS SURBAISSÉS (Suite)

PONTS A UNE SEULE GRANDE ARCHE SOUS ROUTE

SÉRIE $\overset{\text{A}}{\text{A}}^1 r^{te} (\geq 40^m)$ (Suite)

- $\overset{\text{A}}{\text{A}}^1 r^{te} (\geq 40^m)^1$. — **Pont de Grasdorf** (Suite). Pages.
- DESSINS. — f_1 . Élévation. — f_2 . Demi-coupe en long et cintre. — f_3 . Coupe en travers du cintre. — Articulations : f_4 . Clef, — f_5 . Retombées (p. 130). — Joints de dilatation : f_6 . Ensemble, — f_7 . Détail. — f_8 . Joints de la conduite d'eau. — f_9 . Chape au-dessus des joints de dilatation (p. 131). — f_{10} . Coupe en travers à la clef (p. 132). — f_{11} . Appareil de décintrement (p. 133). — f_{12} . Pose des blocs concaves des rotules de retombées. — f_{13} . Pose des blocs convexes des rotules de retombées (p. 134). — Bétonnage de la grande voûte : f_{14} . Retombée rive gauche, — f_{15} . Retombée rive droite. — f_{16} . Dates d'exécution des différentes parties du pont (p. 135). — f_{17} . Comment doit être l'articulation de clef après décintrement. — f_{18} . Pose du bloc concave de l'articulation de clef (p. 136).
- PHOTOGRAPHIE. — Φ_1 (p. 129).
- $\overset{\text{A}}{\text{A}}^1 r^{te} (\geq 40^m)^2$. — **Pont sur la Zwickauer Mulde, près de Góhren** (ALLEMAGNE, — Saxe) (1903-1904)..... 139
- TEXTE. — 1. Articulations (p. 139). — 2. Joints de dilatation au-dessus des articulations des naissances. — 3. Matériaux et exécution de la voûte (p. 141). — 4. Dates. — 5. Cube de maçonnerie. — 6. Personnel. — SOURCES (p. 142).
- DESSINS. — f_1 . Élévation. — f_2 . Coupe en long et cintre. — f_3 . Coupe en travers du cintre (p. 140). — Articulations : f_4 . Clef, — f_5 . Retombées (p. 139). — Joint de dilatation : f_6 . Ensemble, — f_7 . Détail (p. 141).
- PHOTOGRAPHIES. — Φ_1 . aval (p. 139). — Φ_2 . aval (p. 141).
- $\overset{\text{A}}{\text{A}}^1 r^{te} (\geq 40^m)^3$. — **Pont de la Wallstrasse, à Ulm** (ALLEMAGNE, — Wurtemberg) (1904-1905)..... 143
- TEXTE. — 1. Matériaux employés. — 2. Tracé de la voûte (p. 143). — 3. Articulations. — 4. Élévissement des tympans. — 5. Chape. — 6. Joints de dilatation (p. 145). — 7. Trottoirs. — 8. Parapet. — 9. Culées. — 10. Aspect du pont. — 11. Béton. — A. Pierre cassée. — B. Dosages (p. 146). — C. Essais faits pendant la construction. — D. Mortier des parements. — 12. Cintre. — 13. Fondations (p. 147). — 14. Exécution de la grande voûte. — 15. Pose des rotules (p. 149). — 16. Décintrement. — 17. Mouvements dus à la température. — 18. Dates. — 19. Personnel. — SOURCES (p. 150).
- DESSINS. — f_1 . Élévation. — Coupes en long : f_2 . Demi-voûte Nord, — f_3 . Culée Sud. — f_4 . Demi-coupe en travers aux reins (p. 144). — f_5 , f_6 . Rotules. — Joints de dilatation : f_7 , f_8 . Clef, — f_9 , f_{10} , f_{11} . Retombées (p. 145). — Cintre : f_{12} . Élévation, — f_{13} , f_{14} . Platelage et vaux, — f_{15} , f_{16} , f_{17} . Appuis (p. 148). — f_{18} . Ordre d'exécution des tranches de la voûte. — Pose des rotules : f_{19} . Clef, — f_{20} . Retombées (p. 149).
- PHOTOGRAPHIE. — Φ_1 (p. 143).
- $\overset{\text{A}}{\text{A}}^1 r^{te} (\leq 40^m)^4$. — **Pont Élise, sur le bras droit du Danube, à Neubourg** (ALLEMAGNE, — Bavière) (1906-1907)..... 151
- TEXTE. — 1. Dates (p. 151). — 2. Mouvements de la clef pendant la construction et après (p. 153). — 3. Personnel. — SOURCES (p. 154).
- DESSINS. — f_1 . Élévation. — f_2 . Coupe en long. — f_3 . Coupe en travers. — f_4 . Coupe horizontale. — Cintre : f_5 . Élévation, — f_6 . Coupe en travers (p. 152). — f_7 . Mouvements de la clef pendant la construction et après (p. 153).
- PHOTOGRAPHIE. — Φ_1 (p. 151).

VOÛTES ARTICULÉES ARTICULATIONS ROULANTES

ARCS TRÈS SURBAISSÉS

(Suite)

PONTES A UNE SEULE GRANDE ARCHE
SOUS CHEMIN DE FER A VOIE NORMALESÉRIE \hat{A}^1 Fr ($\geq 40^m$)

Pages.

TABLEAU SYNOPTIQUE.....	156
MONOGRAPHIES :	

\hat{A}^1 Fr ($\geq 40^m$) ¹ . — Pont sur l'Ille, à Illerbeuren (ALLEMAGNE, — Souabe bavaroise) (1903-1904).....	159
---	-----

TEXTE. — 1. Le pont est en béton (p. 159). — 2. Quelques observations. — 3. Articulations. — 4. Joints de dilatation. — 5. Clapes (p. 161). — 6. Composition et volume des bétons (p. 162). — 7. Cintre. — 8. Fondations. — 9. Exécution de la grande voûte (p. 163). — 10. Décintrement. — 11. Dates. — 12. Épreuves. — 13. Personnel. — SOURCES (p. 164).

DESSINS. — f_1 . Élévation. — f_2 . Demi-coupe en long et cintre. — Coupes en travers : f_3 à la clef, — f_4 aux reins (p. 160). — f_5 , f_6 . Rotules. — f_7 , f_8 . Rotules et sommiers (p. 161). — f_9 , f_{10} , f_{11} , f_{12} . Appuis du cintre. — f_{13} . Ordre d'exécution des tranches de la voûte (p. 163).

PHOTOGRAPHIES. — Φ_1 (p. 159). — Φ_2 (p. 162).

PONTES A PLUSIEURS GRANDES ARCHES SOUS ROUTE

SÉRIE \hat{A}^n r^{te} ($\geq 40^m$)

TABLEAU SYNOPTIQUE.....	166
MONOGRAPHIES :	

\hat{A}^n r ^{te} ($\geq 40^m$) ¹ . — Pont sur la Moselle, près de Malling (ALLEMAGNE, — Lorraine, — Cercle de Thionville) (1899-1901).....	175
--	-----

TEXTE. — 1. Aspect (p. 175). — 2. Personnel. — SOURCES (p. 176).

PHOTOGRAPHIE. — Φ_1 - aval (p. 175).

\hat{A}^n r ^{te} ($\geq 40^m$) ² . — Pont sur le Neckar, à Hochberg (ALLEMAGNE, — Wurtemberg) (1901-1903).....	177
--	-----

TEXTE. — 1. Rotules. — 2. Cintres (p. 177). — 3. Dates. — 4. Personnel. — SOURCE (p. 179).

DESSINS. — f_1 . Ensemble. — f_2 . Une arche. — Coupes en long : f_3 . Pile, — f_4 . Culée rive droite. — f_5 . Coupe horizontale aux retombées. — f_6 . Coupe en travers aux retombées. — f_7 . Couronnement (p. 178). — Rotules : f_8 . Clef, — f_9 , f_{10} . Retombées. — Cintres : f_{11} . Élévation, — f_{12} . Coupe en travers (p. 177).

PHOTOGRAPHIE. — Φ_1 (p. 177).

\hat{A}^n r ^{te} ($\geq 40^m$) ³ . — Pont Cornélius, sur l'Isar, à Munich (ALLEMAGNE, — Bavière) (1902-1903).....	180
---	-----

TEXTE. — 1. Aspect. — 2. Accident à la voûte 3. — A. Description du cintre. — B. Construction de la route (p. 181). — C. Accident. — 3. Personnel. — SOURCES (p. 182).

VOÛTES ARTICULÉES ARTICULATIONS ROULANTES

ARCS TRÈS SURBAISSÉS (Suite)

PONTS A PLUSIEURS GRANDES ARCHES SOUS ROUTE

SÉRIE $\overset{\text{A}}{\text{A}}^n r^{te} (\geq 40^m)$ (Suite)

$\overset{\text{A}}{\text{A}}^n r^{te} (\geq 40^m)^3$. — Pont Cornélius, à Munich (Suite).	Pages.
DESSINS. — f_1 . Ensemble, amont. — Voûte de 44^m (voûte 1) : f_2 . Élévation, — f_3 . Demi-coupe en long, — f_4 . Coupe en travers aux retombées, — f_5, f_6 . Rotules (p. 180). — f_7 . Voûte 3. Cintre et Mode d'exécution (p. 181). PHOTOGRAPHIE. — Φ_1 . Voûte 1, amont (p. 181).	
$\overset{\text{A}}{\text{A}}^n r^{te} (\geq 40^m)^4$. — Pont de Reichenbach, sur l'Isar, à Munich (ALLEMAGNE, — Bavière) (1902-1903).....	183
TEXTE. — 1. Voûte de 44^m (voûte 1). — A. Tracé. — B. Rotules. — 2. Voûtes 2, 3, 4. — 3. Tympan. — 4. Chaussée. Trottoirs (p. 184). — 5. Exécution des voûtes. — 6. Dates de construction et tassements au décintrement. — 7. Mouvements pendant le décintrement de la voûte 4 (rive droite). — 8. Personnel. — SOURCES (p. 185). DESSINS. — f_1 . Ensemble, amont. — Voûte de 44^m (voûte 1) : f_2 . Élévation amont, — f_3 . Coupe en long et cintre, — f_4 . Coupe en travers (p. 183). PHOTOGRAPHIE. — Φ_1 . Voûte 1, amont (p. 184).	
$\overset{\text{A}}{\text{A}}^n r^{te} (\geq 40^m)^5$. — Pont sur le Neckar, à Neckargartach (ALLEMAGNE, — Wurtemberg) (1903-1905).....	186
TEXTE. — 1. Articulations. — 2. Joints de dilatation (p. 186). — 3. Chaussée et trottoirs. — 4. Écoulement des eaux (p. 188). — 5. Matériaux. — A. Composition du béton. — B. Maçonnerie. — 6. Cintres (p. 189). — 7. Fondations. — 8. Exécution des voûtes. — A. Construction par tranches. — B. Pose des rotules. — 9. Construction des piles des voûtes d'évidement. — 10. Décintrement (p. 190). — 11. Dates. — 12. Personnel. — SOURCES (p. 191). DESSINS. — f_1 . Ensemble, amont. — f_2 . Arche en rivière. — Coupes en long : f_3 . Demi-voûte de rive, — f_4 . Pile en rivière. — f_5 . Coupe en travers aux retombées. — f_6, f_7 . Becs (p. 187). — Articulation de retombée : f_8 . Élévation, — f_9 . Coupe. — f_{10} . Comment est recouvert le joint de dilatation (p. 186). — Couronnement : f_{11} . Élévation, — f_{12} . Coupe (p. 188). — Cintres : f_{13}, f_{14} . Arche rive gauche, — f_{15}, f_{16} . Arche sur berge (p. 189). PHOTOGRAPHIES. — Φ_1 . (p. 186). — Φ_2 . (p. 188).	
$\overset{\text{A}}{\text{A}}^n r^{te} (\geq 40^m)^6$. — Pont Maximilien, sur le bras droit de l'Isar, à Munich (ALLEMAGNE, — Bavière) (1903-1905).....	192
TEXTE. — 1. Aspect. — 2. Articulations (p. 192). — 3. Cintre de l'arche rive droite (p. 194). — 4. Premier décintrement des 2 grandes voûtes (13 juin 1904). — 5. Chute des grandes voûtes (27 juin 1904). — A. État de l'ouvrage avant l'accident. — B. Observations faites. — C. État du Pont. — C_1 . Voûtes. — C_2 . Cintre de rive droite. — C_3 . Rotules des retombées. — C_4 . Pile et culées. — C_5 . Piliers des routes d'élégissement (p. 195). — D. Causes de l'accident. — 6. On reconstruit le cintre de rive gauche, on répare celui de rive droite. — 7. On remonte les 2 voûtes. — 8. On répare les 2 voûtes (p. 197). — 9. Dates. — 10. Personnel. — SOURCES (p. 198).	

VOÛTES ARTICULÉES ARTICULATIONS ROULANTES

ARCS TRÈS SURBAISSÉS

(Suite)

PONTS A PLUSIEURS GRANDES ARCHES SOUS ROUTE

SÉRIE $\hat{A}^n r^{te}$ ($\geq 40^m$) (Suite)

Pages.

 $\hat{A}^n r^{te}$ ($\geq 40^m$)⁶. — **Pont Maximilien, à Munich (Suite).**

DESSINS. — f_1 . Ensemble. — f_2 . Arche rive gauche. — f_3 . Coupe en long. — f_4 . Coupe en travers aux retombées (p. 193). — f_5 , f_6 . Articulations (p. 192). — Cintre de l'arche rive droite : f_7 . Élévation, — f_8 . Coupe en travers (p. 194). — f_9 . État de l'ouvrage avant l'accident du 27 juin 1904 (p. 195). — Reconstruction des voûtes. — Arche rive gauche : f_{10} . État de la voûte après qu'on eût reconstruit le cintre; — Détails : f_{11} . Clef, — f_{12} , f_{13} . Retombées. — Arche rive droite : f_{14} . État de la voûte après l'accident; — Détails : f_{15} . Clef, — f_{16} , f_{17} . Retombées (p. 196). — f_{18} . Vêrins à plate-forme articulée. — f_{19} . Manœuvre des vêrins (p. 197).

PHOTOGRAPHIES. — Φ_1 . (p. 192). — Φ_2 . (p. 194).

 $\hat{A}^n r^{te}$ ($\geq 40^m$)⁷. — **Pont de Wittelsbach, sur l'Isar, à Munich (ALLEMAGNE, — Bavière) (1904-1905).....**

199

TEXTE. — 1. Aspect. — 2. Articulations. — 3. Cintre de la grande voûte (p. 199). — 4. Personnel. — SOURCES (p. 201).

DESSINS. — f_1 . Ensemble, amont. — f_2 . Grande voûte. — f_3 . Coupe en long. — f_4 . Coupe en travers aux retombées (p. 200). — Cintre de la grande voûte : f_5 . Élévation, — f_6 . Coupe en travers (p. 199).

PHOTOGRAPHIE. — Φ_1 . (p. 199).

 $\hat{A}^n r^{te}$ ($\geq 40^m$)⁸. — **Pont sur la Moselle, près de Moulins-lez-Metz (ALLEMAGNE, — Lorraine) (1904-1905).....**

202

TEXTE. — 1. Aspect (p. 202). — 2. Articulations en béton. — 3. Exécution des grandes voûtes (p. 204). — 4. Dates d'exécution des voûtes. — 5. Personnel. — SOURCES (p. 205).

DESSINS. — f_1 . Ensemble. — f_2 . Arche centrale et arche de rive. — f_3 . Coupe en long au-dessus d'une pile. — f_4 . Coupe en long d'une culée. — f_5 , f_6 . Coupes en travers à la clef, aux retombées. — f_7 . Coupe horizontale d'une pile (p. 203). — Articulations en béton. — Arche centrale : f_8 . Clef, — f_9 , f_{10} . Retombées; — Arches de rive : f_{11} . Clef, — f_{12} , f_{13} . Retombées. — f_{14} , f_{15} . Joints des blocs d'articulation parallèles aux têtes. — f_{16} . Ordre d'exécution des tranches des grandes voûtes (p. 204).

PHOTOGRAPHIE. — Φ_1 . (p. 202).

 $\hat{A}^n r^{te}$ ($\geq 40^m$)⁹. — **Pont sur le Neckar, à Mannheim (ALLEMAGNE, — Grand-Duché de Bade) (1905-1908).....**

206

TEXTE. — 1. Voûtes de rive rampantes. — 2. Bandeaux. — 3. Tympan (p. 206). — 4. Plinthe. — 5. Chaussée. Trottoirs. — 6. Décintrement. — 7. Achèvement du pont (p. 207). — 8. Épreuves. — 9. Personnel. — SOURCES (p. 208).

PHOTOGRAPHIES. — Φ_1 . Ensemble (p. 206). — Φ_2 . Une voûte de rive (p. 207). — Φ_3 . Retombée d'une voûte de rive (p. 208).

VOÛTES ARTICULÉES ARTICULATIONS ROULANTES (Suite)

ARCS ASSEZ SURBAISSÉS

PONTS A UNE SEULE GRANDE ARCHE SOUS ROUTE

SÉRIE \hat{A}^1 r^{te} ($\geq 40^m$)

	Pages.
TABLEAU SYNOPTIQUE.....	210
MONOGRAPHIES :	
\hat{A}^1 r ^{te} ($\geq 40^m$) ¹ . — Pont sur la Lahn, à Gräveneck (ALLEMAGNE, — Prusse, — Hesse) (1911-1912).....	213
<i>TEXTE.</i> — 1. Une grande voûte entre deux petites. — 2. Pourquoi on a articulé l'arche centrale. — 3. Pourquoi on a fait les rotules en béton armé (p. 213). — 4. Rotules en béton armé. — A. <i>Projet</i> (p. 214). — B. <i>Exécution</i> . — C. <i>Expériences au Laboratoire mécano-technique de Dresde</i> . — 5. Joints de dilatation. — 6. Couronnement (p. 215). — 7. Chape. — 8. Matériaux. — 9. Dates. — 10. Personnel. — SOURCES (p. 216).	
<i>DESSINS.</i> — f ₁ . Ensemble, amont. — Grande voûte : f ₁ . Élévation, — f ₂ . Demi-coupe en long et cintre, — f ₃ . Coupe en travers aux reins. — f ₄ , f ₅ . Rotules en béton armé (p. 214). — f ₆ . Schéma d'une articulation. — f ₇ , f ₈ . Couronnement (p. 215).	
<i>PHOTOGRAPHIE.</i> — Φ_1 — amont (p. 213).	

ARTICULATIONS TOURNANTES

ARCS TRÈS SURBAISSÉS

PONTS A UNE SEULE GRANDE ARCHE SOUS ROUTE

SÉRIE \hat{A}^1 r^{te} ($\geq 40^m$)

TABLEAU SYNOPTIQUE.....	220
MONOGRAPHIES :	
\hat{A}^1 r ^{te} ($\geq 40^m$) ¹ . — Pont sur le Danube, à Inzigkofen (ALLEMAGNE, — Hohenzollern) (1895).....	225
<i>TEXTE.</i> — 1. Le pont est en béton. — 2. Joints de dilatation. — 3. Écoulement des eaux. — 4. Chaussée. — 5. Matériaux. — A. <i>Ciment</i> . — B. <i>Sable</i> (p. 227). — C. <i>Béton</i> . — 6. Calculs. — A. <i>Hypothèses</i> . — B. <i>Résultats</i> . — B ₁ . <i>Courbes de pression</i> . — B ₂ . <i>Efforts</i> (p. 228). — 7. Cintre. — 8. Fondation de la culée rive gauche. — 9. Exécution de la voûte. — 10. Décintrement (p. 229). — 11. Tassements de la clef. — 12. Épreuves (p. 230). — 13. Dates. — 14. Quantités. — 15. Personnel. — SOURCES (p. 231).	
<i>DESSINS.</i> — f ₁ . Élévation. — f ₂ . Coupe en long et cintre, côté rive droite. — f ₃ . Culée rive gauche. — f ₄ , f ₅ . Coupes en travers, à la clef, aux retombées. — f ₆ . Coupe horizontale. — f ₇ . Coupe le long de l'extrados. — Rotules : f ₈ , f ₉ . Clef, — f ₁₀ , f ₁₁ . Retombées (p. 226).	
<i>PHOTOGRAPHIE.</i> — Φ_1 — amont (p. 225).	

VOÛTES ARTICULÉES ARTICULATIONS TOURNANTES

ARCS TRÈS SURBAISSÉS (Suite)

PONTS A UNE SEULE GRANDE ARCHE SOUS ROUTE

SÉRIE $\overset{\circ}{A}^1_{\infty}$ 1^{re} ($\geq 40^m$) (Suite)

	Pages.
$\overset{\circ}{A}^1_{\infty}$ 1 ^{re} ($\geq 40^m$) ² . — Pont sur le Neckar, près de Neckarhausen (ALLEMAGNE, — Hohenzollern) (1899-1900).....	232
<p><i>TEXTE.</i> — 1. Grande voûte (p. 232). — 2. Articulations. — 3. Joints de dilatation. — 4. Culées. — 5. Matériaux. A. <i>Ciment</i>. — B. <i>Mortier</i> (p. 235). — C. <i>Béton (dosages)</i>. — 6. Efforts. — A. <i>Dans la route</i>. — B. <i>Dans les articulations</i>. — C. <i>Dans les culées</i>. — 7. Cintre (p. 236). — 8. Fondations. — 9. Exécution de la voûte. — 10. Décintrement. — 11. Tassements de la clef. — 12. Épreuves. — 13. Dates (p. 237). — 14. Quantités et dépenses. — 15. Personnel. — SOURCES (p. 238).</p> <p><i>DESSINS.</i> — f_1. Élévation. — f_2. Coupe en long. — f_3. Coupe horizontale. — f_4. Coupe en travers aux retombées. — Cintre : f_5. Élévation, — f_6. Coupe en travers (p. 233). — f_7, f_8. Articulations (p. 235).</p> <p><i>PHOTOGRAPHIES.</i> — Φ_1 (p. 232). — Articulations : Φ_2. Clef, — Φ_3. Retombée (p. 234).</p>	
$\overset{\circ}{A}^1_{\infty}$ 1 ^{re} ($\geq 40^m$) ³ . — Pont du Prince-Régent , sur l'Isar, à Munich (ALLEMAGNE, — Bavière) (1900-1901).....	239
<p><i>TEXTE.</i> — 1. Aspect. — 2. Culées (p. 239). — 3. Fondations. — 4. Personnel. — SOURCES (p. 241).</p> <p><i>DESSINS.</i> — f_1. Élévation. — f_2. Coupe en long. — f_3. Coupe en travers aux retombées (p. 240).</p> <p><i>PHOTOGRAPHIES.</i> — Φ_1 (p. 239). — Articulation de clef, masquée ensuite : Φ_2. Vue de côté, — Φ_3. Vue par-dessus (p. 241).</p>	
$\overset{\circ}{A}^1_{\infty}$ 1 ^{re} ($\geq 40^m$) ⁴ . — Pont Max-Joseph , sur l'Isar, à Munich (ALLEMAGNE, — Bavière) (1901-1902).....	242
<p><i>TEXTE.</i> — 1. Matériaux. — 2. Articulations (p. 242). — 3. Cintre. — 4. Ouvriers. — 5. Dates. — 6. Personnel. — SOURCES (p. 244).</p> <p><i>DESSINS.</i> — f_1. Élévation. — f_2. Coupe en long. — f_3. Coupe en travers (p. 243). — f_4, f_5. Articulations (p. 242). — Cintre : f_6. Élévation, — f_7. Coupe en travers (p. 244).</p> <p><i>PHOTOGRAPHIE.</i> — Φ_1 (p. 242).</p>	

TABLEAU SYNOPTIQUE GÉNÉRAL DES PONTS	
AYANT DES VOÛTES $\geq 40^m$ SEMI-ARTICULÉES OU ARTICULÉES	246

VOUTE ARTICULÉE > 40^m EN BÉTON PEU ARMÉ

QU'ON AURAIT, A TORT, CHERCHÉE AU LIVRE II

	Pages
TABLEAU SYNOPTIQUE.....	250
MONOGRAPHIE :	
Pont sur le Danube, à Sigmaringen (ALLEMAGNE, -Hohenzollern) (1907-1909)	253
<i>TEXTE.</i> — 1. Tracé de la voie (p. 253). — 2. Articulations (p. 254). — 3. Cintre (p. 255). — 4. Dates. — 5. Personnel. — <i>SOURCE</i> (p. 256).	
<i>DESSINS.</i> — f_1 . Élévation. — f_2 . Coupe en long. — f_3 . Coupe horizontale (p. 253). — f_4 à f_7 . Articulations (p. 254). — Cintre : f_8 . Élévation, — f_9 . Plan, — f_{10} . Coupe en travers, — f_{11} à f_{12} . Détails (p. 255).	
<i>PHOTOGRAPHIE.</i> — Φ_1 (p. 254).	

LIVRE III. - CE QUE L'EXPÉRIENCE ENSEIGNE DE SPÉCIAL AUX VÔUTES ARTICULÉES

TITRE I - DISPOSITIONS - DIMENSIONS. AVANTAGES - INCONVÉNIENTS DE CHAQUE TYPE D'ARTICULATION

CHAPITRE I. - ARTICULATIONS SUR PLOMB

Art. 1. — Épaisseurs et Matériaux des voûtes. — Dimensions et Travail des bandes de plomb. (<i>Tableau synoptique</i>).	
A. <i>Voûtes semi-articulées</i>	260
B. <i>Voûtes articulées de façon permanente</i>	261
Art. 2. — Dimensions des bandes de plomb d'après le tableau précédent.	
A. <i>Largeur dans le sens du joint</i>	262
B. <i>Épaisseur</i>	262
C. <i>Longueur</i>	262
Art. 3. — Plomb employé. — Travail admis.....	262

CHAPITRE II. — ARTICULATIONS ROULANTES

Pages.

§ 1. — ARTICULATIONS ROULANTES EN ACIER.

- Art. 1. — Épaisseurs et Matériaux des voûtes. — Dimensions et Travail des rotules
(*Tableau synoptique*).
 A. *Rotules d'acier prises dans des sabots en fonte (Voûtes articulées de façon permanente)*..... 263
 B. *Rotules d'acier prises dans des caissons en tôle.*
 B₁ - Voûtes semi-articulées. — B₂ - Voûtes articulées de façon permanente. 264
 C. *Rotules tout entières en acier moulé (Voûtes articulées de façon permanente)* 264
 Art. 2. — Précautions contre le glissement..... 265
 Art. 3. — Avantages et inconvénients..... 265

§ 2. — ARTICULATIONS ROULANTES EN PIERRE, EN BÉTON, EN BÉTON ARMÉ

- Art. 1. — Épaisseurs et Matériaux des voûtes. — Dimensions et Travail des rotules
(*Tableau synoptique*).
 A. *Voûtes semi-articulées. — B. Voûtes articulées de façon permanente*..... 266
 Art. 2. — Avantages et inconvénients..... 268

CHAPITRE III. — ARTICULATIONS TOURNANTES*Balanciers tournant autour d'un tourillon*

- Art. 1. — Épaisseurs et Matériaux des voûtes. — Dimensions et Travail des rotules
(*Tableau synoptique*)..... 269
 Art. 2. — Avantages et inconvénients..... 270

CHAPITRE IV. — ARTICULATIONS A GENOU

Employées seulement comme articulations provisoires, puis condamnées.

Rotules d'acier prises dans des caissons en tôle.

- Épaisseurs et Matériaux des voûtes. — Dimensions et Travail des rotules (*Tableau synoptique*)..... 271

CHAPITRE V. — DISPOSITIONS DES ARTICULATIONS**DANS LES PONTS BIAIS..... 272****TITRE II. — QUELQUES DIMENSIONS ET DISPOSITIONS
SPÉCIALES AUX VOÛTES ARTICULÉES**

- § 1. — RENFLEMENT AUX « JOINTS DE RUPTURE » 273
 § 2. — ÉPAISSEURS.
 Art. 1. — Les voûtes articulées sont moins épaisses que les inarticulées..... 273
 Art. 2. — Formules empiriques provisoires..... 273
 § 3. — JOINTS DE DILATATION 276

TITRE III. — QUELQUES ÉLÉMENTS DE COMPARAISON ENTRE LES VOÛTES INARTICULÉES ET ARTICULÉES

§ 1. PRIX DE REVIENT.....	276
§ 2. MOUVEMENTS DE LA CLEF : AU DÉCINTREMENT, AUX CHANGEMENTS DE TEMPÉRATURE..	277

TITRE IV. — QUELLES VOÛTES FAUT-IL ARTICULER ?

§ 1. LES VOÛTES ARTICULÉES, PLUS SOUPLES, SE PRÉTENT A DES MOUVEMENTS QUI TROUBLENT LES AUTRES. ELLES PEUVENT ÊTRE ACCEPTÉES SUR DES SOLS OU CONTRE DES APPUIS QUI CÈDENT	277
§ 2. DISTRIBUTION GÉOGRAPHIQUE DES VOÛTES ARTICULÉES.	
Art. 1. — Pays où l'on n'a articulé que très exceptionnellement les voûtes.....	278
Art. 2. — Allemagne.....	278
§ 3. QUELLES VOÛTES CONVIENT-IL D'ARTICULER ?	
Art. 1. — Voûtes sur appui invariable.	
A. <i>En maçonnerie appareillée : pas d'articulations</i>	280
B. <i>En béton : il est prudent d'articuler au moins les arcs très tendus</i>	280
Art. 2. — Voûtes sur appui qui peut céder : articuler au moins les très surbaissées.....	281
Art. 3. — Réserves sur la durée des articulations métalliques.....	281

PONTS DÉCRITS DANS LE TOME IV. — Index alphabétique.....	283
--	-----

TABLE DES MATIÈRES.....	287
-------------------------	-----

ERRATA

DU TOME IV

Page 143, Monographie \hat{A}^1 r^{te} ($\geq 40^m$)³, — Titre, — 1^{re} ligne :

au lieu de : *BAVIÈRE*, lire *WURTEMBERG*.

Voir aussi l'**Errata général**, à la fin du Tome V.

GRANDES VOÛTES

PAR

Paul SÉJOURNÉ

INGÉNIEUR EN CHEF DES PONTS ET CHAUSSEES
INGÉNIEUR EN CHEF DU SERVICE DE LA CONSTRUCTION
DE LA COMPAGNIE PARIS-LYON-MÉDITERRANÉE
PROFESSEUR A L'ÉCOLE NATIONALE DES PONTS ET CHAUSSEES

TOME IV

2^{ME} PARTIE — VOÛTES ARTICULÉES

BOURGES

IMPRIMERIE V^{VE} TARDY-PIGELET ET FILS
15, RUE JOYEUSE, 15

1913

Tous droits de reproduction, de traduction et d'adaptation
réservés pour tous pays.

Copyright by Paul Séjourné — 1913.



89078557634



B89078557634A